

T.C.
NEVŞEHİR HACI BEKTAŞ VELİ ÜNİVERSİTESİ
FEN BİLİMLERİ ENSTİTÜSÜ

**KAPADOKYA-GÖREME MİLLİ PARKI (NEVŞEHİR)'NIN BRİYOFİT
FLORASI**



Tezi Hazırlayan
Seda SERİN

Tez Danışmanı
Doç. Dr. Recep KARA

Biyoloji Anabilim Dalı
Yüksek Lisans Tezi

ŞUBAT 2022
NEVŞEHİR

T.C.
NEVŞEHİR HACI BEKTAŞ VELİ ÜNİVERSİTESİ
FEN BİLİMLERİ ENSTİTÜSÜ

**KAPADOKYA-GÖREME MİLLİ PARKI (NEVŞEHİR)'NIN BRİYOFİT
FLORASI**



Tezi Hazırlayan
Seda SERİN

Tez Danışmanı
Doç. Dr. Recep KARA

Biyoloji Anabilim Dalı
Yüksek Lisans Tezi

ŞUBAT 2022
NEVŞEHİR

TEŞEKKÜR

Tez konumun belirlenmesinde, arazi ve laboratuvar çalışmalarımada, Türkiye Briyofit Florası için yeni kayıt türlerinin teşhis aşamasında, tez düzenlenmesi konusunda gerek bilimsel gerekse maddi ve manevi desteğini benden esirgemeyen, tezimde büyük katkısı olan değerli danışman hocam Doç. Dr. Recep KARA'ya en içten teşekkürlerimi sunarım.

Bugünlere gelmemde büyük katkısı olan annem Fatma GÜNDÜZ, babam Ali GÜNDÜZ ve tüm aileme, çalışmalarımın her aşamasında göstermiş olduğu anlayış ve desteği için eşim Yavuz SERİN ve oğlum Erkan Efe SERİN'e teşekkür ederim.

Bu çalışma Türkiye Bilimsel ve Teknolojik Araştırmalar Kurumu (TÜBİTAK) tarafından 119Z205 nolu proje ile desteklenmiştir. Maddi desteği için TÜBİTAK'a teşekkür ederim.

Kapadokya-Göreme Milli Parkı'nın Briyofit Florası

(Yüksek Lisans Tezi)

Seda SERİN

NEVŞEHİR HACI BEKTAS VELİ ÜNİVERSİTESİ

FEN BİLİMLERİ ENSTİTÜSÜ

Şubat 2022

ÖZET

Bu çalışmada, Nevşehir sınırları içindeki Kapadokya-Göreme Milli Parkı'nın briyofit florası araştırılmıştır. Yaklaşık 670 Briyofit örneğinin değerlendirilmesi sonucu, 14 familya ve 43 cinse ait 100 takson tespit edilmiştir. En fazla takson içeren familyalar sırasıyla *Pottiaceae* (34), *Brachytheciaceae* (16), *Orthotrichaceae* (14), *Bryaceae* (10), *Grimmiaceae* (8) ve *Amblystegiaceae* (7)'dir. En çok taksonu olan cinslerden *Orthotrichum*, *Tortula*, *Didymodon*, *Syntrichia* ve *Tortula*'da 8, *Grimmia*'da 6 takson vardır. Taksonların tamamı Bryophyta şubesine aittir, Marchantiophyta ve Anthocerotophyta'ya ait herhangi bir taksona rastlanmamıştır. Teşhisini yapılan taksonlardan *Pterygoneurum compactum* M.J. Cano, J. Guerra & Ros, *Syntrichia rigescens* (Broth. & Geh.) Ochyra, *Hennediella polyseta* (C. Müll.) Zand. *Coscinodon monchiquensis* R.D. Porley, Ochyra & Ignatova ve *Bryum arachnoideum* C. Müller Türkiye Karayosunu Florası için yeni kayıttır. *Tortula vlassovii* (Laz.) Ros & Herrnst ve *Sciuro-hypnum glaciale* (Schimp.) Ignatov & Huttunen Türkiye'den ikinci, *Pohlia lescuriana* (Sull.) Ochi ise bu çalışma ile Türkiye'den üçüncü kez kaydedilmiştir. IUCN koruma kriterlerine göre nesli tehlikede (EN) olarak değerlendirilen *Tortula vlassovii* (Laz.) Ros & Herrnst, 48 yıl sonra ilk defa bu çalışma ile tekrar toplanmıştır. *Syntrichia ruralis* (Hedw.) F. Weber & D. Mohr, *Grimmia pulvinata* (Hedw.) Sm. ve *Lewinskya affinis* (Schrad. ex Brid.) F. Lara, Garilleti & Goffinet ise alanda en yaygın türlerdir. Alanda kserofit karakterli akrokarp türler daha fazla bulunmaktadır. Ayrıca (*) ile işaretlenen 94 tür/tür altı, 33 cins ve 9 familya Henderson (1961) kareleme sistemine göre Nevşehir ili için yeni kayıttır.

Anahtar Kelimeler: *Briyofit, Flora, Kapadokya, Göreme Milli Park, Nevşehir, Türkiye*

Sayfa Adedi: 204

The Bryophyte Flora of Cappadocia-Göreme National Park (Nevşehir)

(M. Sc. Thesis)

Seda SERİN

NEVŞEHİR HACI BEKTAS VELİ UNIVERSITY

GRADUATE SCHOOL OF NATURAL AND APPLIED SCIENCES

February 2022

In this study, the bryophyte flora of the Cappadocia-Göreme National Park within the borders of Nevşehir was investigated. As a result of the evaluation of approximately 670 bryophyte specimens, 100 taxa belonging to 14 families and 43 genera were identified. The families with the most taxa are Pottiaceae (34), Brachytheciaceae (16), Orthotrichaceae (14), Bryaceae (10), Grimmiaceae (8) and Amblystegiaceae (7), respectively. Among the genera with the most taxa, *Orthotrichum*, *Tortula*, *Didymodon*, *Syntrichia* and *Tortula* have 8 taxa and *Grimmia* has 6 taxa. All of the taxa belong to the Bryophyta branch, no taxa belonging to Marchantiophyta and Anthocerotophyta were found. Among the identified taxa, *Pterygoneurum compactum* M.J. Cano, J. Guerra & Ros, *Syntrichia rigescens* (Broth. & Geh.) Ochyra, *Hennediella polyseta* (C. Müll.) Zand. *Coscinodon monchiquensis* R.D. Porley, *Ochyra* & Ignatova and *Bryum arachnoideum* C. Müller are new records for the Moss Flora of Turkey. *Tortula vlassovii* (Laz.) Ros & Herrnst and *Sciuro-hypnum glaciale* (Schimp.) Ignatov & Huttunen were recorded for the second time from Turkey, and *Pohlia lescuriana* (Sull.) Ochi was recorded for the third time from Turkey with this study. *Tortula vlassovii* (Laz.) Ros & Herrnst, which is considered as endangered (EN) according to IUCN conservation criteria, was collected again with this study for the first time in 48 years. *Syntrichia ruralis* (Hedw.) F. Weber & D. Mohr, *Grimmia pulvinata* (Hedw.) Sm. and *Lewinskya affinis* (Schrad. ex Brid.) F. Lara, Garilletti & Goffinet are the most common species in the area. There are more xerophytic acrocarp species in the area. In addition, 94 species/subspecies, 33 genera and 9 families marked with (*) are new records for Nevşehir province according to the Henderson (1961) grid system.

Keywords: Bryophytes, Flora, Cappadocia, Göreme National Park, Nevşehir, Turkey

Page Number: 204

İÇİNDEKİLER

| | |
|---|-----------|
| KABUL VE ONAY | .i |
| TEZ BİLDİRİM SAYFASI..... | ii |
| TEŞEKKÜR | iii |
| BÖLÜM 1 | |
| GİRİŞ | 1 |
| 1.1. BRİYOFİTLERİN GENEL ÖZELLİKLERİ | 1 |
| 1.2. BRİYOFİTLERİN YAŞAM ALANLARI | 5 |
| 1.3. BRİYOFİTLERDE KURUMA TOLERANSI | 6 |
| 1.4. BRİYOFİTLERİN EKOLOJİK ÖNEMLERİ VE KULLANIM ALANLARI | 7 |
| 1.5. BRİYOFİTLERİN ÇEVRE KİRLİLİĞİNE TEPKİLERİ | 12 |
| BÖLÜM 2 | |
| LİTERATÜR ÖZETLERİ | 13 |
| 2.1. BAŞLANGIÇ AŞAMASI (1829-1950)..... | 13 |
| 2.2. GELİŞME AŞAMASI (1950-1980) | 13 |
| 2.3. OLGUNLAŞMA AŞAMASI (1980-2020)..... | 14 |
| 2.3.1. 1. DÖNEM (1980-1990)..... | 14 |
| 2.3.2. 2. DÖNEM (1991-2000)..... | 15 |
| 2.3.3. 3. DÖNEM (2001-2010)..... | 15 |
| 2.3.4. 4. DÖNEM (2010-2020)..... | 17 |
| 2.3.5. 5. DÖNEM (2020-2030)..... | 18 |
| BÖLÜM 3 | |
| ÇALIŞMA ALANININ TANITILMASI | 19 |
| 3.1. ARAŞTIRMA ALANININ ÖZELLİKLERİ | 19 |
| 3.1.1. ARAŞTIRMA ALANININ COĞRAFİK KONUMU | 19 |
| 3.1.2. JEOLOJİ | 20 |
| 3.1.3. TOPRAKLARI | 21 |
| 3.1.4. ARAŞTIRMA ALANININ İKLİMSEL ÖZELLİKLERİ | 21 |
| BÖLÜM 4 | |
| MATERYAL VE YÖNTEM..... | 24 |
| 4.1. ÖRNEKLERİN TOPLANMASI | 24 |
| 4.2. KARAYOSUNU ÖRNEKLERİNİN TEŞHİS YÖNTEMİ | 24 |

BÖLÜM 5

| | |
|---------------------------------|-----------|
| ARAŞTIRMA BULGULARI..... | 27 |
|---------------------------------|-----------|

| | |
|--|----|
| 5.1. TAKSONLARIN KARAKTERİSTİK YAPILARININ MİKROSKOPİK GÖRÜNTÜLERİ | 57 |
|--|----|

BÖLÜM 6

| | |
|-----------------------------------|------------|
| SONUÇLAR VE ÖNERİLER | 157 |
|-----------------------------------|------------|

| | |
|----------------|-----|
| ÖNERİLER | 171 |
|----------------|-----|

| | |
|-----------------|-----|
| KAYNAKLAR | 172 |
|-----------------|-----|

| | |
|----------------|-----|
| ÖZGEÇMİŞ | 187 |
|----------------|-----|

TABLOLAR LİSTESİ

| | |
|---|-----|
| TABLO 3. 1. NEVŞEHİR METEOROLOJİ İSTASYONUNA AİT YAĞIŞ DEĞERLERİ (MM)..... | 22 |
| TABLO 3. 2. NEVŞEHİR METEOROLOJİ İSTASYONUNA AİT SICAKLIK DEĞERLERİ (°C). | 22 |
| | |
| TABLO 4. 1. ARAZİ ÇALIŞMALARINDA KULLANILAN STANDART TOPLAMA ZARFI ÖRNEĞİ..... | 25 |
| | |
| TABLO 6. 1. PTERYGONEURUM COMPACTUM VE PTERYGONEURUM CROSSIDIOIDES TÜRLERİ ARASINDAKİ AYIRTEDİCİ KARAKTERLER | 157 |
| TABLO 6. 2. SYNTRICHIA RIGESCENS VE SYNTRICHIA CANINERVIS TÜRLERİ ARASINDAKİ AYIRTEDİCİ KARAKTERLER | 158 |
| TABLO 6. 3. COSCINODON MONCHIQUENSIS VE COSCINODON CRIBROSUS TÜRLERİ ARASINDAKİ AYIRTEDİCİ KARAKTERLER | 159 |
| TABLO 6. 4. HENNEDIELLA POLYSETA VE HENNEDIELLA HEİMİİ TÜRLERİ ARASINDAKİ AYIRTEDİCİ KARAKTERLER | 159 |
| TABLO 6. 5. BRYUM ARACHNOIDEUM VE BRYUM LANATUM TÜRLERİ ARASINDAKİ AYIRTEDİCİ KARAKTERLER | 160 |
| TABLO 6. 6. KARAYOSUNU FAMILÝALARININ İÇERDİKLERİ TAKSON SAYISI VE YÜZDE ORANLARI..... | 160 |
| TABLO 6. 7. KARAYOSUNU CİNSLERİNİN İÇERDİKLERİ TAKSON SAYISI VE YÜZDE ORANLARI | 162 |
| TABLO 6. 8. TAKSONLARIN SUBSTRATLARA DAĞILIMI VE YÜZDESİ | 164 |
| TABLO 6. 9. TAKSONLARIN İŞIK DURUMUNA GÖRE DAĞILIMI VE YÜZDESİ | 164 |
| TABLO 6. 10. TAKSONLARIN NEM DURUMUNA GÖRE DAĞILIMI VE YÜZDESİ | 165 |
| TABLO 6. 11. NEVŞEHİR İLİ İÇİN DAHA ÖNCE KAYDI YAPILAN KARAYOSUNLARI | 166 |
| TABLO 6. 12. NEVŞEHİR İLİ İÇİN YENİ KAYIT OLAN KARAYOSUNU TAKSONLARI | 166 |
| TABLO 6. 13. ÇALIŞMA SONUÇLARININ YAKIN DİĞER ALANLarda YAPILMIŞ OLAN BAZI BRİYOFLORİSTİK ÇALIŞMALAR İLE FAMILÝA BAZINDA KARŞILAŞTIRILMASI..... | 169 |

ŞEKİLLER DİZİNİ

| | |
|--|----|
| ŞEKİL 1. 1. KARAYOSUNLARININ HAYAT DÖNGÜSÜ [168]..... | 4 |
| ŞEKİL 1. 2. EPİFİTİK BRİYOFİT | 5 |
| ŞEKİL 1. 3.. SYNTRICHIA RURALİS (HEDW.) F.WEBER & D.MOHR' İN KURU VE NEMLİ HALLERİ..... | 7 |
| ŞEKİL 1. 4. PHYSCOMITRIUM PATENS (HEDW.) MİTT. [167]..... | 10 |
| | |
| ŞEKİL 2. 1. TÜRKİYE'DEKİ BRİYOFİT ÇALIŞMALARI VE AŞAMALARI | 14 |
| ŞEKİL 2. 2. TÜRKİYE'DEKİ 1980-1990 YILARI ARASINDA YAPILAN BRİYOFİT ÇALIŞMALARI | 15 |
| ŞEKİL 2. 3. TÜRKİYE'DEKİ 1990-2000 YILARI ARASINDA YAPILAN BRİYOFİT ÇALIŞMALARI | 16 |
| ŞEKİL 2. 4. TÜRKİYE'DEKİ 2000-2010 YILARI ARASINDA YAPILAN BRİYOFİT ÇALIŞMALARI | 16 |
| ŞEKİL 2. 5. TÜRKİYE'DEKİ 2010-2018 YILLARI ARASINDA YAPILAN BRİYOFİT ÇALIŞMALARI | 17 |
| ŞEKİL 2. 6. TÜRKİYE'DEKİ 2019-2022 YILLARI ARASINDA YAPILAN BRİYOFİT ÇALIŞMALARI | 18 |
| | |
| ŞEKİL 5. 1. AMBLYSTEGIUM SERPENS'İN MİKROSKOBİK GÖRÜNTÜLERİ..... | 57 |
| ŞEKİL 5. 2. HYGROAMBLYSTEGIUM TENAX'IN MİKROSKOBİK GÖRÜNTÜLERİ | 58 |
| ŞEKİL 5. 3. HYGROAMBLYSTEGIUM HUMILE'NİN MİKROSKOBİK GÖRÜNTÜLERİ | 59 |
| ŞEKİL 5. 4. HYGROAMBLYSTEGIUM VARİUM'UN MİKROSKOBİK GÖRÜNTÜLERİ | 60 |
| ŞEKİL 5. 5. CONARDIA COMPACTA'NIN MİKROSKOBİK GÖRÜNTÜLERİ | 61 |
| ŞEKİL 5. 6. CRATONEURON FILICINUM'UN MİKROSKOBİK GÖRÜNTÜLERİ.... | 62 |
| ŞEKİL 5. 7. DREPANOCLADUS SORDIDUS'UN MİKROSKOBİK GÖRÜNTÜLERİ | 63 |
| ŞEKİL 5. 8. BRACHYTHECİUM CAPILLACEUM'UN MİKROSKOBİK GÖRÜNTÜLERİ | 64 |
| ŞEKİL 5. 9. BRACHYTHECİUM ALBICANS'IN MİKROSKOBİK GÖRÜNTÜLERİ . | 65 |
| ŞEKİL 5. 10. BRACHYTHECİUM SALEBROSUM'UN MİKROSKOBİK GÖRÜNTÜLERİ | 66 |
| ŞEKİL 5. 11. BRACHYTHECİASTRUM VELUTİNUM'UN MİKROSKOBİK GÖRÜNTÜLERİ | 67 |
| ŞEKİL 5. 12. BRACHYTHECİASTRUM COLLİNUM'UN MİKROSKOBİK GÖRÜNTÜLERİ | 68 |

| | |
|---|----|
| ŞEKİL 5. 13. HOMALOTHECİUM LUTESCENS' İN MİKROSKOBİK GÖRÜNTÜLERİ | 69 |
| ŞEKİL 5. 14. HOMALOTHECİUM PHİLIPPEANUM' UN MİKROSKOBİK GÖRÜNTÜLERİ | 70 |
| ŞEKİL 5. 15. HOMALOTHECİUM SERİCEUM' UN MİKROSKOBİK GÖRÜNTÜLERİ | 71 |
| ŞEKİL 5. 16. HOMALOTHECİUM AUREUM' UN MİKROSKOBİK GÖRÜNTÜLERİ | 72 |
| ŞEKİL 5. 17. RHYNCHOSTEGİELLA TENELLA' NIN MİKROSKOBİK GÖRÜNTÜLERİ | 73 |
| ŞEKİL 5. 18. EURHYNCHİASTRUM PULCELLUM' UN MİKROSKOBİK GÖRÜNTÜLERİ | 74 |
| ŞEKİL 5. 19. EURHYNCHİASTRUM DİVERSİFOLİUM' UN MİKROSKOBİK GÖRÜNTÜLERİ | 75 |
| ŞEKİL 5. 20. KİNDBERGİA PRAELONGA' NIN MİKROSKOBİK GÖRÜNTÜLERİ | 76 |
| ŞEKİL 5. 21. SCİURO-HYPNUM POPULEUM'UN MİKROSKOBİK GÖRÜNTÜLERİ | 77 |
| ŞEKİL 5. 22. SCİURO-HYPNUM GLACİALE'NİN MİKROSKOBİK GÖRÜNTÜLERİ | 78 |
| ŞEKİL 5. 23. RHYNCHOSTEGİUM MEGAPOLİTANUM'UN MİKROSKOBİK GÖRÜNTÜLERİ | 79 |
| ŞEKİL 5. 24. BRYUM ARGENTEUM'UN MİKROSKOBİK GÖRÜNTÜLERİ | 80 |
| ŞEKİL 5. 25. BRYUM DİCHOTOMUM'UN MİKROSKOBİK GÖRÜNTÜLERİ | 81 |
| ŞEKİL 5. 26. BRYUM RADİCULOSUM'UN MİKROSKOBİK GÖRÜNTÜLERİ | 82 |
| ŞEKİL 5. 27. BRYUM ARACHNOİDEUM'UN MİKROSKOBİK GÖRÜNTÜLERİ | 83 |
| ŞEKİL 5. 28. IMBRİBRYUM MİLDEANUM'UN MİKROSKOBİK GÖRÜNTÜLERİ | 84 |
| ŞEKİL 5. 29. PTYCHOSTOMUM CAPİLLARE'NİN MİKROSKOBİK GÖRÜNTÜLERİ | 85 |
| ŞEKİL 5. 30. PTYCHOSTOMUM İNCLİNATUM'UN MİKROSKOBİK GÖRÜNTÜLERİ | 86 |
| ŞEKİL 5. 31. PTYCHOSTOMUM PALLENS'İN MİKROSKOBİK GÖRÜNTÜLERİ | 87 |
| ŞEKİL 5. 32. PTYCHOSTOMUM İMBRİCATULUM'UN MİKROSKOBİK GÖRÜNTÜLERİ | 88 |
| ŞEKİL 5. 33. PTYCHOSTOMUM BORNHOLMENSE'NİN MİKROSKOBİK GÖRÜNTÜLERİ | 89 |
| ŞEKİL 5. 34. DİCRANELLA HETEROMALLA'NIN MİKROSKOBİK GÖRÜNTÜLERİ | 90 |
| ŞEKİL 5. 35. CERATODON PURPUREUS'UN MİKROSKOBİK GÖRÜNTÜLERİ | 91 |
| ŞEKİL 5. 36. DİSTİCHİUM İNCLİNATUM'UN MİKROSKOBİK GÖRÜNTÜLERİ | 92 |
| ŞEKİL 5. 37. DİTRİCHUM PUSİLLUM'UN MİKROSKOBİK GÖRÜNTÜLERİ | 93 |

| | |
|--|-----|
| ŞEKİL 5. 38. FLEXİTRİCHUM FLEXICAULE'NİN MİKROSKOBİK GÖRÜNTÜLERİ | 94 |
| ŞEKİL 5. 39. ENCALYPTA VULGARİS'İN MİKROSKOBİK GÖRÜNTÜLERİ | 95 |
| ŞEKİL 5. 40. FUNARİA HYGROMETRİCA'NIN MİKROSKOBİK GÖRÜNTÜLERİ | 96 |
| ŞEKİL 5. 41. GRİMMİA OVALİS'İN MİKROSKOBİK GÖRÜNTÜLERİ | 97 |
| ŞEKİL 5. 42. GRİMMİA PULVINATA'NIN MİKROSKOBİK GÖRÜNTÜLERİ | 98 |
| ŞEKİL 5. 43. GRİMMİA LAEVİGATA'NIN MİKROSKOBİK GÖRÜNTÜLERİ | 99 |
| ŞEKİL 5. 44. GRİMMİA CRİNİTA'NIN MİKROSKOBİK GÖRÜNTÜLERİ | 100 |
| ŞEKİL 5. 45. GRİMMİA PLAGİOPODİA'NIN MİKROSKOBİK GÖRÜNTÜLERİ | 101 |
| ŞEKİL 5. 46. GRİMMİA TERGESTİNA'NIN MİKROSKOBİK GÖRÜNTÜLERİ | 102 |
| ŞEKİL 5. 47. SCHİSTİDİUM HELVETİCUM'UN MİKROSKOBİK GÖRÜNTÜLERİ | 103 |
| ŞEKİL 5. 48. COSCİNODON MONCHİQUENSİS'İN MİKROSKOBİK GÖRÜNTÜLERİ | 104 |
| ŞEKİL 5. 49. HYPNUM CUPRESSİFORME'NİN MİKROSKOBİK GÖRÜNTÜLERİ | 105 |
| ŞEKİL 5. 50. LEUCODON İMMERSUS'UN MİKROSKOBİK GÖRÜNTÜLERİ | 106 |
| ŞEKİL 5. 51. POHLİA LESCURİANA'NIN MİKROSKOBİK GÖRÜNTÜLERİ | 107 |
| ŞEKİL 5. 52. ORTHOTRİCHUM PELLUCİDUM'UN MİKROSKOBİK GÖRÜNTÜLERİ | 108 |
| ŞEKİL 5. 53. ORTHOTRİCHUM ALPESTRE'NİN MİKROSKOBİK GÖRÜNTÜLERİ | 109 |
| ŞEKİL 5. 54. ORTHOTRİCHUM DİAPHANUM'UN MİKROSKOBİK GÖRÜNTÜLERİ | 110 |
| ŞEKİL 5. 55. ORTHOTRİCHUM ANOMALUM'UN MİKROSKOBİK GÖRÜNTÜLERİ | 111 |
| ŞEKİL 5. 56. ORTHOTRİCHUM PUMİLUM'UN MİKROSKOBİK GÖRÜNTÜLERİ | 112 |
| ŞEKİL 5. 57. ORTHOTRİCHUM SPRUCEİ'NİN MİKROSKOBİK GÖRÜNTÜLERİ | 113 |
| ŞEKİL 5. 58. ORTHOTRİCHUM TENELLUM'UN MİKROSKOBİK GÖRÜNTÜLERİ | 114 |
| ŞEKİL 5. 59. ORTHOTRİCHUM VİTTİİ'NİN MİKROSKOBİK GÖRÜNTÜLERİ | 115 |
| ŞEKİL 5. 60. LEWİNSKYA AFFİNİS'İN MİKROSKOBİK GÖRÜNTÜLERİ | 116 |
| ŞEKİL 5. 61. LEWİNSKYA ACUMİNATA'NIN MİKROSKOBİK GÖRÜNTÜLERİ | 117 |
| ŞEKİL 5. 62. LEWİNSKYA RUPESTRİS'İN MİKROSKOBİK GÖRÜNTÜLERİ | 118 |
| ŞEKİL 5. 63. LEWİNSKYA SORDİDA'NIN MİKROSKOBİK GÖRÜNTÜLERİ | 119 |
| ŞEKİL 5. 64. LEWİNSKYA SPECİOSA'NIN MİKROSKOBİK GÖRÜNTÜLERİ | 120 |
| ŞEKİL 5. 65. LEWİNSKYA BREVİSETA'NIN MİKROSKOBİK GÖRÜNTÜLERİ | 121 |
| ŞEKİL 5. 66. DİCRANOWEİSİA CİRRATA'NIN MİKROSKOBİK GÖRÜNTÜLERİ | 122 |
| ŞEKİL 5. 67. SYNTRİCHİA RURALİS'İN MİKROSKOBİK GÖRÜNTÜLERİ | 123 |
| ŞEKİL 5. 68. SYNTRİCHİA RİGESCENS'İN MİKROSKOBİK GÖRÜNTÜLERİ | 124 |
| ŞEKİL 5. 69. SYNTRİCHİA VİRESCENS'İN MİKROSKOBİK GÖRÜNTÜLERİ | 125 |

| | |
|--|-----|
| ŞEKİL 5. 70. SYNTRICHİA CANİNERVİS VAR. GYPSOPHILA'NIN MİKROSKOBİK GÖRÜNTÜLERİ | 126 |
| ŞEKİL 5. 71. SYNTRICHİA CANİNERVİS'İN MİKROSKOBİK GÖRÜNTÜLERİ.... | 127 |
| ŞEKİL 5. 72. SYNTRICHİA CALCİCOLA'NIN MİKROSKOBİK GÖRÜNTÜLERİ .. | 128 |
| ŞEKİL 5. 73. SYNTRICHİA HANDELİİ'NİN MİKROSKOBİK GÖRÜNTÜLERİ | 129 |
| ŞEKİL 5. 74. SYNTRICHİA CANİNERVİS MİTT. VAR. CANİNERVİS'İN MİKROSKOBİK GÖRÜNTÜLERİ..... | 130 |
| ŞEKİL 5. 75. PTERYGONEURUM OVATUM'UN MİKROSKOBİK GÖRÜNTÜLERİ | 131 |
| ŞEKİL 5. 76. PTERYGONEURUM COMPACTUM'UN MİKROSKOBİK GÖRÜNTÜLERİ | 132 |
| ŞEKİL 5. 77. DİDYMODON FALLAX'İN MİKROSKOBİK GÖRÜNTÜLERİ | 133 |
| ŞEKİL 5. 78. DİDYMODON ACUTUS'UN MİKROSKOBİK GÖRÜNTÜLERİ | 134 |
| ŞEKİL 5. 79. DİDYMODON CORDATUS'UN MİKROSKOBİK GÖRÜNTÜLERİ | 135 |
| ŞEKİL 5. 80. DİDYMODON TOPHACEUS'UN MİKROSKOBİK GÖRÜNTÜLERİ.. | 136 |
| ŞEKİL 5. 81. DİDYMODON VİNEALİS'İN MİKROSKOBİK GÖRÜNTÜLERİ..... | 137 |
| ŞEKİL 5. 82. DİDYMODON RİGİDULUS'UN MİKROSKOBİK GÖRÜNTÜLERİ | 138 |
| ŞEKİL 5. 83. DİDYMODON TOMACULOSUS'UN MİKROSKOBİK GÖRÜNTÜLERİ | 139 |
| ŞEKİL 5. 84. DİDYMODON TOPHACEUS'UN MİKROSKOBİK GÖRÜNTÜLERİ.. | 140 |
| ŞEKİL 5. 85. TORTULA VLASSOVİİ'NİN MİKROSKOBİK GÖRÜNTÜLERİ | 141 |
| ŞEKİL 5. 86. TORTULA SUBULATA'NIN MİKROSKOBİK GÖRÜNTÜLERİ | 142 |
| ŞEKİL 5. 87. TORTULA MURALİS'İN MİKROSKOBİK GÖRÜNTÜLERİ | 143 |
| ŞEKİL 5. 88. TORTULA BREVISSIMA'NIN MİKROSKOBİK GÖRÜNTÜLERİ .. | 144 |
| ŞEKİL 5. 89. TORTULA MUCRONİFOLİA'NIN MİKROSKOBİK GÖRÜNTÜLERİ | 145 |
| ŞEKİL 5. 90. TORTULA LİNGULATA'NIN MİKROSKOBİK GÖRÜNTÜLERİ .. | 146 |
| ŞEKİL 5. 91. TORTULA MURALİS SUBSP. OBTUSIFOLİA'NIN MİKROSKOBİK GÖRÜNTÜLERİ | 147 |
| ŞEKİL 5. 92. TORTULA REVOLVENS'İN MİKROSKOBİK GÖRÜNTÜLERİ..... | 148 |
| ŞEKİL 5. 93. TORTELLA İNCLİNATA'NIN MİKROSKOBİK GÖRÜNTÜLERİ..... | 149 |
| ŞEKİL 5. 94. BARBULA UNGUİCULATA'NIN MİKROSKOBİK GÖRÜNTÜLERİ . | 150 |
| ŞEKİL 5. 95. MİCROBRYUM FLOERKEANUM'NIN MİKROSKOBİK GÖRÜNTÜLERİ | 151 |
| ŞEKİL 5. 96. HENNEDİELLA POLYSETA'NIN MİKROSKOBİK GÖRÜNTÜLERİ. | 152 |
| ŞEKİL 5. 97. BRYOERYTHROPHYLLUM RUBRUM'UN MİKROSKOBİK GÖRÜNTÜLERİ | 153 |
| ŞEKİL 5. 98. CROSSİDİUM SQUAMİFERUM'UN MİKROSKOBİK GÖRÜNTÜLERİ | 154 |

| | |
|---|-----|
| ŞEKİL 5. 99. PSEUDOCROSSİDİUM HORNSCHUCHİANUM'UN MİKROSKOBİK GÖRÜNTÜLERİ | 155 |
| ŞEKİL 5. 100. PSEUDOCROSSİDİUM OBTUSULUM'UN MİKROSKOBİK GÖRÜNTÜLERİ | 156 |
| ŞEKİL 6. 1. KARAYOSUNU TAKSONLARININ FAMILİYALARA GÖRE DAĞILIMI | 161 |
| ŞEKİL 6. 2. KARAYOSUNU TAKSONLARININ CİNSLERE GÖRE DAĞILIMI | 163 |

SİMGE VE KISALTMALAR LİSTESİ

| | |
|------|------------------------------|
| % | Yüzde |
| °C | Santigrat derece |
| ' | Dakika |
| " | Saniye |
| ** | Türkiye için yeni kayıt |
| * | Nevşehir ili için yeni kayıt |
| ± | Yaklaşık |
| K | Kuzey |
| G | Güney |
| D | Doğu |
| B | Batı |
| GPS | Coğrafi Konum |
| T.S. | Takson Sayısı |
| kut | Kum Taşı |
| kö | Kayaları örten |
| mm | Milimetre |
| µm | Mikrometre |
| S.S. | Seda Serin |
| Yük. | Yükseklik |
| Min. | En düşük |
| Max. | En yüksek |
| Ort. | Ortalama |
| ark. | Arkadaşları |

BÖLÜM 1

GİRİŞ

Günümüzde briyofitler ile ilgili Türkçe kaynaklar incelendiğinde briyologlar arasında “briyofit” teriminin Türkçe olarak yazımında bir ihtilaf olduğu görülmektedir. Türkçe imla kuralları gereğince “biryofit” yazımı doğru olsa da bu tezde “İnsan olmak tercih yapabilmektir” kaidesince, galatimeşhur olan “briyofit” teriminin kullanılması uygun görülmüştür. Bu nedenle tezin başlangıcından sonuna kadar Boynuzotlarını (=Anthocerophyta), Ciğerotlarını (=Hepatophyta) ve Karayosunlarını (=Bryophyta) kapsayacak anlamda “Briyofit” terimi kullanılacaktır. Bu çalışma ile Kapadokya-Göreme Milli Parkı’nın Briyofit Florası’nın belirlenmesi ve Türkiye Briyofit Florası’na yeni kayıtlar vererek katkıda bulunmak amaçlanmıştır.

1.1.Briyofitlerin Genel Özellikleri

Briyofit kelimesi Latince kökenli olup “su aldığında şişen, açılan bitki” anlamındadır [1]. Embiryoya ve selüloz hücre çeperine sahip çok hücreli organizmalar olan briyofitler taksonomik açıdan bitkiler aleminde yeşil algler (Streptophyta) ile Eğreltiotları (Pteridophyta) arasında yer almaktadırlar. Sistemik olarak Bryobiyotina alt alemi içerisinde Embryophyta (Karasal bitkiler) kladına dahil edilen Briyofitler Bryophyta (Mosses-Yapraklı karayosunları), Hepatophyta (Liverworts-Ciğerotları) ve Anthocerophyta (Hornworts-Boynuzlu ciğerotları) olmak üzere üç şubeye ayrılmışlardır [2].

Briyofitlerin yaklaşık olarak 20.000 türü vardır. Bu bitkilerin vasküler demetleri yoktur. Dünyanın hemen hemen her yerinde bulundukları halde en çok nemli ve gölgeli alanlarda yayılış göstermektedirler. Briyofitler içerisinde özellikle yapraklı karayosunları (Mosses) arktik ve alpin gibi soğuk bölgelerde de yayılış gösterebilmektedirler. Bazı türleri ise çöllerde yaşamaya adapte olmuşlardır. Briyofitler lignin içermedikleri gibi trakeidleri veya damarları da yoktur. Bu nedenle trakeofitler olarak adlandırılan (= vasküler bitkiler) bitkilerdeki gibi bir iletim sistemine sahip değildir. Birkaç mm'den 70 cm'ye kadar

uzayabilen küçük boyutlu bitkilerdir. Ligin eksikliğinin beklenen sonucu sadece boy kısalığı değil, aynı zamanda trakeid ve damarların tikanabilmesidir. Bu durum briyofitlerin gerçek yapraklardan yoksun olduğu anlamına da gelmektedir. Briyofitlerde yaprak olarak adlandırdığımız fotosentetik uzantılar “fillidler” olarak adlandırılmaktadır. Ancak birçok briyolog, onlara yaprak demeyi tercih etmektedir. Briyofitler (vasküler olmayan bitkiler yerine) daha uygun bir şekilde “trakeofit olmayanlar” olarak adlandırılır. Ancak bazı üyelerinde ksilem yerine geçebilecek hidroidler ve floem yerine geçecek leptoidler bulunur. Bu yapıların varlığı briyofitler için su ortamından kara ortamına geçiş göstermektedir [3]. Vasküler bitkilerde bulunan bir iç farklılaşmadan yoksun olan briyofitlerin yaprakları genellikle küçük ve homojen bir şekilde dağılmış tek bir hücre tabakasından ibarettir. Bazı yapraklı karayosunlarında orta damar olmasına rağmen, hiçbir ciğerotunda kalınlaşmış bir orta damar bulunmaz ve homojen bir yapı söz konusudur. Briyofitlerde yapraklar hiçbir zaman yaprak sapına sahip değildir. Karayosunları gövde ve yaprak şeklinde bir morfolojiye sahipken boynuzotlarının tamamı ve ciğerotlarının bazıları gövde ve yaprak şeklinde farklılaşmamış tallus yapısındadır [4].

İletim dokusu bulunmayan karayosunları ve ciğerotları, suyu tüm yüzeyleri ile absorbe ederler. Habitatları kuraklığında karayosunlarının yaprakları büzüşür ve rengi kahverengileşir. Bu durumda dormant hale gelen bitkiler tekrar suya kavuşuncaya kadar metabolizmalarını durdururlar [5]. Ciğerotları ise kuraklığa daha hassastırlar ve uzun süre kuraklığa dayanamazlar. Birkaç toleranslı ciğerotu dışında büyük çoğunluğu kurak alanlarda uzun süre hayatta kalamazlar ve ölürlер [6].

Briyofitler, yaklaşık 350 bin kadar tür içeren kara bitkileri (=Embryophyta) içerisinde 23 bin kadar tür ithiya ederler [3]. Fazla gösterişli olmayan ve bitki bilimcilerin ihmali ettiği bu bitkiler yeryüzünde fitocoğrafik olarak oldukça geniş bir bölgeye yayılmışlardır [7].

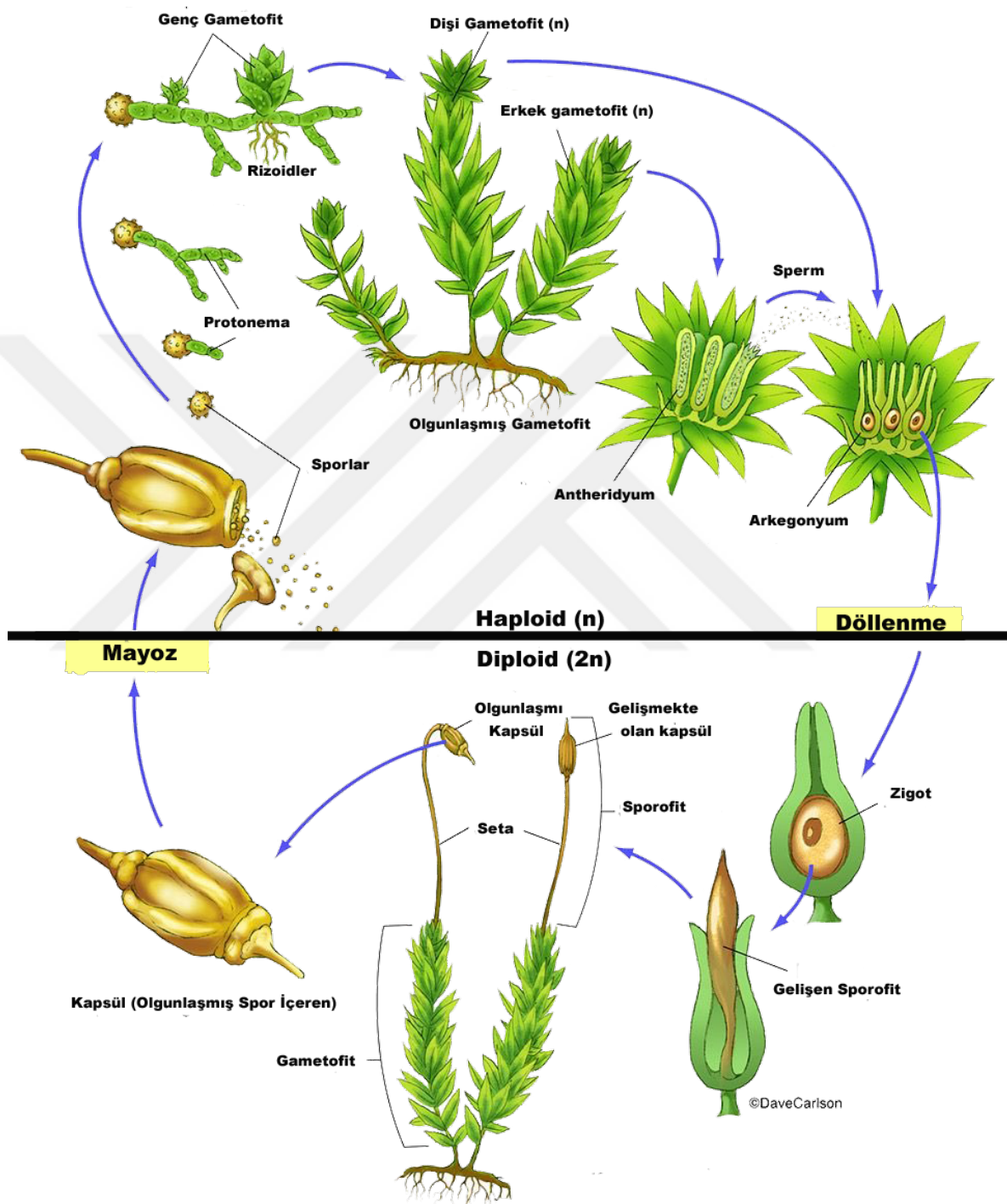
Trakeofitlerde yaprak gövde ve kök yapıları sporofite dahilken gametofitler hücresel boyuta indirgenmiştir. Ayrıca gövde ve yaprakları iletim demetlerine sahiptir [1]. Trakeofitlerin aksine briyofitlerde gerçek kök, gövde, yaprak, kütikula ve epiderma gibi doku ve organ farklılaşmaları bulunmaz. Bu yüzden ihtiyaçları olan su ve inorganik maddeleri, bulundukları atmosferden tüm dokularıyla direkt olarak alırlar [8]. Bu özellikleri onları

çevre kirliliği araştırmalarında başlıca indikatör bitkiler olarak kullanılmalarına neden olmuştur [9].

Briyofitlerin yeşil olarak görünen kısımları gametofit olarak adlandırılır. Sporofitleri ise daima tek yıllık olup gametofite bağımlıdır. Gametofit genellikle çok yıllık olup bulundukları substrata rizoit adı verilen kök benzeri yapılarla tutunurlar [1].

Monoik ve dioik olarak eşyesel özellik gösterebilen briyofitler eşyeli üremelerinde suya bağımlıdırlar. Spermatazoitleri ancak bir su filmi ile kemotaksik yolla yumurta hücresinde ulaşmaktadır [10]. Döllenme arkegonyum içerisinde gerçekleşir. Oluşan zigot, ardışık mitoz bölünmeler geçirerek embriyonu, o da gelişerek sporofiti oluşturur. Sporofit içinde oluşan sporlar olgunlaştiktan sonra, briyofit gruplarına bağlı olarak değişebilen farklı dağılım mekanizmaları ile kapsülden dışarı atılarak kurak dönemlerde çevreye dağılırlar. Karayosunlarında higroskopik özelliğe sahip olan peristom dişleri sporların dağılmasında önemli bir rol oynar. Sporlar kapsülden çıkış uygun bir habitata düştükten sonra şartlar olgunlaşlığında çimlenerek ilk olarak ipliksi bir protonema oluştururlar. Haploid olan protonema çevresinden beslenerek gelişir ve gametofiti meydana getirir. Böylece hayat döngüsü tekrardan başlamış olur. Bu kapsamda briyofitlerin hayat döngüsünde, haploit (n) gametofit safhayı, diploit ($2n$) sporofit safhanın takip ettiği, haplodiplont döl değişimidir diyebiliriz [11] (Şekil 1.1.).

Briyofitlerin eşeyesiz üremesi bitkiden kopan parçalarla, tuberlerle, gemmalarla, bulbillerle olmaktadır [10, 12, 13].



Şekil 1. 1. Karayosunlarının hayat döngüsü [168]

1.2.Briyofitlerin Yaşam Alanları

Briyofitler, kutuplardan tropiklere kadar çok nemli iklimlerden çöllere kadar birçok biyomdaki vejetasyonun bir parçasını oluştururlar. Ormanlarda bakteri ve mantarların aşırı üremesini engelleyerek ormanın ekolojik dengesini korurlar (Şekil 1.2.). Ayrıca birçok farklı habitatta epilitik, epifitik, epigaeik, submerc, rheofitik, kortikal, lignikol ve epiksilik olarak yaşayabilmektedirler [14]. Briyofitlerin habitat tercihinde, subtsratın nem durumu, kimyasal özellikleri ve pH'sı da rol oynamaktadır. Epifitik briyofitler, üzerinde yaşadığı bitkinin gövde, dal veya kök gibi organlarının dış yüzeyini sadece tutunma amaçlı olarak kullanırlar. Bitkinin canlı dokularından su veya besin almazlar [15]. Epifitik briyofitlerin gelişimi, üzerinde yaşadığı ağaç kabuğunun yenilenme süresi, su tutma kapasitesi ve pH'sına bağlıdır. Ayrıca ortamın nem durumu, mikroklimatik değişimler ve ormanın korunma durumu gibi faktörler de epifitik briyofitlerin gelişiminde etkilidirler [16-19].



Şekil 1. 2. Epifitik briyofit

Orman yangınlarından sonra süksesyonu başlatan öncü bitkilerdir. Özellikle vasküler bitkiler için her türlü substratta toprak oluşumunu sağlayarak uygun şartlar hazırlarlar [9].

1.3.Briyofitlerde Kuruma Toleransı

Kuruma toleransı, bir organizmanın orta dereceli kuru havalarda kendi iç su potansiyelini dengelemesi ve nemlenme sonrası normal işlevselligine devam etmesi yeteneğidir [20]. Kuruma toleransı birçok karayosununda iyi gelişmiştir. Vejetatif kuruma toleransı vasküler bitkilerde nadir olmasına rağmen briyofitlerde yaygındır. Yapraklı karayosunlarının 158 türü, ciğerotlarının 51 türü ve boynuzlu ciğerotlarının 1 türü deneylerde vejetatif kuruma toleransı göstermiştir. Fakat bu sayı büyük olasılıkla daha fazla deneysel çalışma yapıldığında hızla artacaktır. Kuruma toleransı, türler arasında büyük ölçüde değişir. Örneğin sürekli olarak nemli habitatlarda yaşayan bazı yapraklı karayosunları ve yapraklı ciğerotlarında kuruma toleransı gelişmemiştir veya kaybolmuştur. Diğer yandan, *Uloota crispa* (Hedw.) Brid. gibi zaman zaman çok kurak habitatlarda yaşayan birçok epifitte kuruma toleransı gelişmiştir ve korunur [21].

Kuruma toleransı, özellikle kurak alan karayosunlarında son derece iyi gelişmiştir. Bu konu ile ilgili olarak *Syntrichia* (*Tortula*) türleri çok çalışılmıştır. Bunlar hücre yapılarında bozulma olmadan, hücre membranları ve yapıları bozulmadan neredeyse tüm sularını kaybedebilirler. *Syntrichia ruralis* (Hedw.) F.Weber & D.Mohr deneyleri su varlığında, fotosentezin yeniden çok hızlı bir şekilde kurulduğunu göstermiştir (Şekil 1.3.). Klorofil floresans teknikleri kullanılarak yapılan diğer deneyler göstermiştir ki fotosentezin tekrar kurulumu, kloroplast ya da sitoplazmik protein sentezini etkilememektedir. Dolayısıyla ‘kurucu’ olarak bilinen kuruma toleransı, yeni maddelerin sentezinden ziyade, önceden var olan bileşenlerin yeniden birleştirilmesi gibi görülmektedir. Yine kurakçı karakterli *Syntrichia caninervis* Mitt. üzerine yapılan çalışmalar da bu karayosunun hızla kuruyarak (30 dakika içinde) hayatı kaldıgı ve tekrar nemlendiği zaman normal metabolik aktivitelerine döndüğü görülmüştür [22].

Kuruma toleransında önemli rol oynayan kalınlaşma yapıları bulunmayan briyofitlerde kuruma toleransında hangi faktörlerin belirleyici rol aldığı tam olarak anlaşılamamıştır. Fakat hücre içerisinde bulunan bileşenlerin (şekerler, büyük ölçüde sükroz, antioksidan

İçeren koruyucu proteinler ve enzimler) kuruma toleransında rol aldığı bilinmektedir. Kuruma toleransı yakın gelecekte sıcaklık ve yağışın değişeceği ve muhtemelen bölgesel kuraklıkların yaşanacağı ileri sürülen iklim değişikliği senaryoları için oldukça önemlidir [21].



Şekil 1. 3. *Syntrichia ruralis* (Hedw.) F.Weber & D.Mohr' in kuru ve nemli halleri

1.4.Briyofitlerin Ekolojik Önemleri ve Kullanım Alanları

Briyofitler, habitat alanlarının çeşitliliği, tüm kıtalardaki coğrafik dağılımları ve tür sayıları bakımından Angiospermeler dışında en başarılı bitki grubudur. 6.000'den fazla ciğerotu ve 10.000'den fazla karayosunu türü vardır. Briyofitlerin üç grubu da yeşil bitkilerden daha önce karaya çıkmışlardır ve muhtemelen çok uzun, 400 milyon yıldan daha fazla devam etmekte olan geçmişe sahiplerdir [21].

Briyofitlerde, kısa ömürlü diploid sporofit yerine haploid yeşil gametofitin baskın olması onu kara bitkileri arasında eşsiz kılmaktadır. Ayrıca karayosunları mükemmel çevresel monitör olmaları nedeniyle de vasküler bitkilerden ayrırlırlar. Onlar, vasküler bitkilerin yaşayamayacakları ekosistemlerde, habitatlarda ve spesifik mikrohabitatlarda çok geniş bir yelpazede yaşamaktadırlar. Birçok türü kötü besin koşullarında yaşayabilirler [21]. Aynı zamanda briyofitler tıbbi amaçlı kullanılmaktadırlar [23]. Briyofitler ekosistemdeki nişleri

gereğince ekosistemin kilit taşı türleridir. Orman tabanlarında ve kortikol olarak ağaç gövdeleri ve orman tabanlarını sararak nemi korumaya yardım ederler. Epifit briyofitlerin besinlerini yağmur sularındaki elementler, ağaç kabuğunun bozulmasıyla ortaya çıkan maddeler ve havadaki toz partikülleri oluşturmaktadır. Bu yüzden epifit briyofitler orman ekosistemindeki besin maddelerinin dinamiğinde çok önemli bir yere sahiptirler [23].

Bitki örtüsünün korunması ve yenilenmesi açısından önemli bir rol oynamaktadırlar. Atrichum, Pogonatum, Trematodon, Pohlia, Nardia ve Blasia gibi karayosunları toprak erozyonunu önlemede rol oynarlar [25]. Ayrıca sakladıkları nem içeriği ile içerdikleri sekonder metabolitlerle ve esnek bir yapıya sahip olmaları nedeniyle toprak oluşumunu ve kalitesini artırmaktadırlar. Bu sebeple seracılıkta ve saksı çiçekçiliğinde yaygın olarak kullanılmaktadırlar [9].

Briyofitlerin; yakıt, süs eşyası, sargı bezi, ilaç ham maddesi, su filtresi, biyofiltrasyon, oksijen kaynağı, pestisit ve fungisit olarak birçok kullanım alanı vardır. Bu kullanım şekilleri bölgeden bölgeye ve fitocoğrafik yayılışlara göre değişmektedir [26].

Geçmişte biyosfer içerisinde oksijen ve karbon kaynağı oluşturmak gibi önemli işlevi yerine getirmiş olan briyofitlerin süksesyonda toprak oluşumuna katkıda bulunmaları, yumuşak ve elastiki yapılarından dolayı toprak kalitesini artırmaları, orman tabanında ortam neminin stabilizesini sağlamaları ve siyanobakteriler, nematodlar ve akarlar gibi organizmalar için habitat oluşturmaları ve vejetasyonda dengeleyici olmaları nedeniyle ekoistem için önemlidirler [27, 28].

Briyofit toplulukları, ormandaki ağaçların tohumları için uygun bir zemin oluşturabilirler [4]. Aynı zamanda, orman yangınlarından sonra öncü tür (*Funaria hygrometrica* Hedw.) olmaları ve toprak oluşumuna katkılarından dolayı önemlidirler. Bunun yanında, Briyofitler su tutma kapasitelerinden dolayı bünyelerinde birçok böceği barındırırlar. Briyofitler içerisinde en zengin faunayı içeren karayosununun Sphagnum olduğu tespit edilmiştir [1].

Briyofitler yeryüzünün hemen her alanında yayılış gösterirler ve bulundukları ekosistemin kilit organizmalarıdır. Çevresel faktörlerin en küçük değişikliklerine duyarlıdır ve bu özellikleri onların indikatör olarak kullanılmasını sağlar. Yayılışlarında anatomik ve

morfolojik adaptasyonlarının etkisi vardır. Bunun yanı sıra içerdikleri etkin kimyasal bileşiklerinde bugünün florasında sağ kalmalarında büyük rolleri vardır. Bryofitlerin sentezledikleri bu bileşiklere sekonder metabolit adı verilir. Kimyasal bariyer olarak nitelendirilir ve en etkili savunma mekanizmasıdır.

Briyofitlerin bilinen antifungal bileşikleri terpenlere, bibenzillere, bisbibenzillere, yağ asiti türevlerine ve assetofenolara bağlıken, basit toprak bitkisi olan karayosunlarının ekstratlarında bulunan isoflavonoid, flavanoid ve bioflavanoid mikroorganzimalara karşı kimyasal bariyer olarak kaydedilmiştir [29]. Yapılan araştırmalarda bazı türlerin (*Sphagnum*) yüksek antibiyotik aktivitesine sahip olduğu görülürken, bazı türlerin, örneğin *Funaria hygrometrica*'nın, ise test edilen bakteri ve mantar türlerine karşı aktivite göstermediği görülmüştür. Bu durumun, türün yaşadığı habitatla ilgili olduğu düşünülmektedir [30].

Himalayalarda kırsal köylerde insanlar, zarar görmesini önlemek için meyvelerini kendi yapımları yosun çantalarında taşımışlardır. Kuzey Amerika'da briyofitler emicilik ve yalıtkan özelliğinden dolayı; yastık, silte, yatak, mobilya dolgusu olarak kullanılmışlardır. Diğer kullanımı arasında; sütün ılık veya sıcak tutulması için yosun örtüsü olarak, ayakkabıların temizliğinde sünger gibi, kapı önüne serilen paspaslarda, sıcak tutması için bebek beşiklerinde kullanılmışlardır. Hastanelerde baş ve boyun desteği olarak da kullanılmışlardır. 1940'lı yıllarda malzeme eksikliğinden ve antimikrobiyal özelliklerinden dolayı *Sphagnum* türleri ameliyat elbiselerinin, sargı bezlerinin imalatında kullanılmıştır. Bu bitkiler aynı zamanda yüksek emici özelliğinden dolayı bebek bezlerinin yapımında da kullanılmıştır [10].

Günümüzde karayosunları, gen teknolojileri sayesinde daha farklı amaçlarda kullanılabilmektedir. Buna örnek *Physcomitrium patens* (Hedw.) Mitt. verilebilir. Yaklaşık olarak 20 yıldır model organizma olarak kullanılan bu bitki gen fonksiyon analizi açısından baskın rol oynamaktadır. Bu baskın rol *Physcomitrium patens*'in tüm genomunun çıkarılmasıyla daha da önem kazanmıştır [31]. *Physcomitrium patens*'in yaşam döngüsü ağırlıklı olarak haploiddir ve bu durum bitkilerdeki gen fonksiyonunu anlamak için homolog rekombinasyon veya genom düzenleme yoluyla fonksiyonel genomik

çalışmalarını kolaylaştırır [32]. Aynı zamanda iyi çalışılmış sporlu bitkilerden biri haline gelmiş ve özellikle soylar arası karşılaştırmalı genomik çalışmalar için iyi bir referans oluşturmaktadır. Bu nedenle bu bitki ABD DOE gen atlas projesine dahil edilmiştir [33].

Günümüzde bitki ıslahı alanında gen düzenleme çalışmaları ön plana çıkmaktadır. Çok yönlü ve verimli CRISPR-Cas9 sistemi aracılığıyla genom düzenleme, çeşitli türlerde hem fonksiyonel çalışmalar hem de bitki ıslahı için önemli bir araç olarak ortaya çıkmıştır. CRISPR-Cas9 gibi araçların kullanılabilmesi için uyumlu bitkiler devreye girmektedir. Tam da bu noktada hâlihazırda model organizma olan *Physcomitrium patens* devreye girmektedir. Özellikle zirai ürünler olan domates ve patateslerle yapılan gen çalışmalarında *Physcomitrium patens* etkin olarak kullanılarak olumlu sonuçlar elde edilmektedir [34-35].



Şekil 1. 4. *Physcomitrium patens* (Hedw.) Mitt. [167]

Physcomitrium patens, bitki evriminin incelenmesi için gerekli olan briyofit model bitkidir. Bir briyofit olarak, vasküler bitkilere olan kardeş konumu, evrimsel gelişimsel (evo-devo) yaklaşımları gerçekleştirmek için özel ilgi çekicidir [32, 36].

Physcomitrum patens'in kesin gen hedeflemesi özelliğinin tespit edilmesi [32, 36], kültür ortamında üretim imkânı, protoplast izolasyonu ve rejenerasyonu, tek bir deneyde birden çok farklı genin eşzamanlı olarak kesilmesine olanak sağlayacak şekilde optimize edilebilmesi ortaya konulmuştur [39-42]. Yüksek gen hedefleme oranı, tohumlu bitkilerdeki benzer yaklaşımlarla karşılaşıldığında briyofitlerin gliko-mühendisliği için açık bir avantajdır [43, 44].

Tüm bu avantajları ile birlikte çalışmalarda esneklik sağlayan *Physcomitrum patens* ile biyofarmasötik alanında da çalışmalar yapılmaktadır [31, 45, 46].

Physcomitrum patens ile aynı zamanda tıbbi alanda da çalışmalar yapılmaktadır [45]. Aslında doktorlar tıbbi alanda briyofitlerle 18. Yüzyıldan itibaren ilgilenmeye başlamışlardır [47]. Fakat günümüzde *Physcomitrum patens* bu olayı daha teknolojik bir şekilde biyoteknoloji ile gerçekleştiren briyofit olmuştur. Günümüzde gen teknolojileri sayesinde bu bitkiden insan kan pihtlaşma faktörü olan ve eksikliğinde sonucu ölüme kadar giden ciddi böbrek rahatsızlıklarına sebep olan Factor-H üretimi sağlanabilmştir [45, 48, 49].

Avrupalı araştırmacılar, özellikle tohumlu bitki topluluklarının nitelendirilmesinde briyofitlerden faydalansılmışlardır. Bazı briyofitlerin, ayırt edici özelliği olan tohumlu bitki topluluklarının uyumlu yerleşikleri olduğu ve bu briyofitlerin sözü edilen ağaç türlerini nitelendirmekte karakter türler olarak kullanılabileceği bildirilmektedir [8, 50].

Bazı briyofitlerin toprağın mineral durumunun belirlenmesinde ve metal parametrelerini ortaya çıkarmada kullanılması, bu bitkilerin bazlarının belli ortamların göstergesi bitkileri olduğunu işaret etmektedir. *Mielichhoferia mielichhoferi* ve *Scopelophila* spp. karayosunları bakırca zengin topraklarda daha iyi gelişme gösterir [50-52]. Sphagnum ve Polytrichum karayosunu cinsleri demir mineralini depo ettikleri hatta Japonya'da kullanılabilir demir kaynakları çok az olduğundan, karayosunlarının demirce zengin alanlarda kültüre alınarak demir cevheri elde edilmesinde yararlanıldığı bildirilmiştir [51]. Aynı şekilde toprağın N, Ca, Mg, K ve Na elementlerinin tespitinde ve pH indikatörü olarak da kullanıldığı ifade edilmektedir. Toprağın asitlik derecesinin tespitinde Polytrichum ile Leucobryum'un iyi göstergesi bitkiler oldukları belirtilmiştir. Bu bitkilerin

asitli topraklarda yaşamalarına imkân veren, hidroid ve leptoid olarak adlandırılan içsel doku elemanlarıdır. Ayrıca *Leucobryum* karayosunu kuru, verimsiz ve derinde humus içeren asitli toprak indikatörüdür [51, 52].

1.5. Briyofitlerin Çevre Kirliliğine Tepkileri

Karayosunları şehir ve endüstriyel alanların hava kirliliğinin ölçülmesinde önemli bir potansiyel kaynaktır [53, 54]. Bazı bryofitlerin belirli kirleticilere hassasiyeti ve bu kirleticilerin yoğun olduğu bölgelerde bulunmaması dikkate değer bir kirlilik işaretleri olarak benimsenmektedir. Genellikle şehir merkezleri ve sanayi kuruluşlarına yakın alanlarda bryofitlerin yaşamsal faaliyetleri etkilendiği için bu bölgelerde bryofloristik çeşitlilik de az olmaktadır. Buna karşın, bazı karayosunları belirli sınırlar çerçevesinde endüstriyel kirliliğe tahammül edecek yetenektedir. İliman iklimlerde, örneğin *Ceratodon purpureus* ve *Bryum argenteum* karayosunları kent merkezlerinde sıklıkla bulunur. Bilhassa, epifitik bryofitlerin hava kirliliğine karşı daha fazla duyarlı oldukları bildirilmektedir [8, 50]. SO₂'nin karayosunlarında dağılım, yeniden üreme ve kapsül oluşumunda sınırlayıcı bir faktör olduğu belirtilmektedir [51, 55]. *Grimmia pulvinata*'nın İngiltere'de SO₂ indikatörü olarak başarılı bir şekilde kullanıldığı yapılan araştırmalardan anlaşılmaktadır [51, 56]. Taoda [57, 58], Japonya'da hava kirliliğini izleme çalışmalarında karayosunu (*Bryum argenteum*) ve çigerotlarından (*Lunularia cruciata*, *Marchantia polymorpha*) faydalanymıştır [51].

Briyofitler aynı zamanda radyoaktif izotopların ve ağır metallerin pasif toplayıcılarıdır. Briyofit örtüsünün kimyasal analizi, ekosistemdeki ağır metal ve radyoaktif izotop yoğunluğunun araştırılması için hızlı ve ucuz bir yöntemdir. Sucul karayosunları hem floristik çeşitliliklerinden hem de ağır metalleri tutma özelliklerinden dolayı kirliliği göstermeleri açısından faydalı bitkilerdir [50, 51].

Marchantia polymorpha'nın bakıra, *Pottia truncata*, *Dicranella heteromalla* ve *Bryum argenteum* türlerinin de kadmiyum, bakır ve çinkoya belli oranlarda tahammül edebildikleri bildirilmektedir. *Hypnum cupressiforme*'nın çinko, bakır ve kadmiyumu likenler veya tohumlu bitkiler gibi bünyelerinde üç katına kadar biriktirme eğiliminde olduğu tespit edilmiştir [51, 59].

BÖLÜM 2

LİTERATÜR ÖZETLERİ

Briyofitler ilk olarak Oxford Üniversitesi’nde profesör olan Alman botanikçi Johann Jacob Dillenius tarafından 1717 yılında "Eğreltiotlarının ve yosunların çoğaltılması" adlı eseriyle çalışmaya başlanmıştır [60]. Bugünkü anlamıyla çalışılması ise 1792 yılında briyofitlerin üreme sistemini netleştiren ve taksonomilerini düzenleyen Johannes Hedwig tarafından başlatıldı [50]. Türkiye’de ise biryofitler ile ilgili ilk kayıtlar Müller tarafından 1829 yılında başlatılmıştır [61].

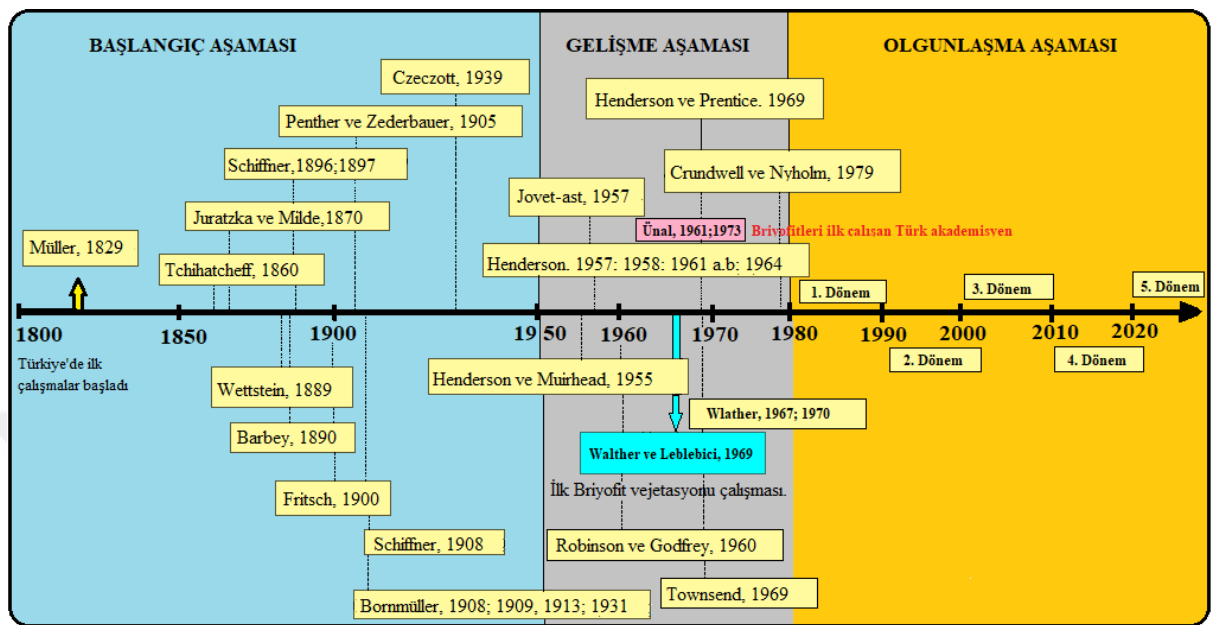
O günden bugüne kadar geçen iki asırlık dönemde “Türkiye Briyofit Florası” üzerine 550 civarında çalışma yapılmış ve yaklaşık 1060 takson tespit edilmiştir [62]. Bu yayınların yapıldıkları zamanlar ve oluşturdukları etkiler göz önüne alındığında iki asırlık “Türkiye Briyoloji Tarihini” 3 aşama ve 5 döneme ayırarak özetlemek mümkündür.

2.1. Başlangıç Aşaması (1829-1950)

Yaklaşık 130 yıllık süreyi kapsayan bu aşama, yabancı botanikçilerin ülkemizi ziyaretleri sırasında topladıkları briyofit örneklerini peyder pey teşhis edilip yayınlandıkları dönemdir. Bu dönemde toplanan örnekler yabancı bilim insanların herbaryumlarında koleksiyon haline getirilerek saklanmıştır. Müller, Tchihatcheff, Juratzka ve Milde, Wettstein, Barbey ve Schiffner gibi botanikçiler bu dönemin öne çıkan araştırmacılarıdır [63-69] (Şekil 2.1.).

2.2. Gelişme Aşaması (1950-1980)

Yaklaşık 30 yıllık dönemi kapsayan bu aşamada yine yabancı araştırmacılar çalışmaları yürütülmüşlerdir. Zaman zaman yerli araştırmacılar da bu araştırmacılara katılarak ülkemiz briyoforasına katkı sağlamışlardır. Ünal ilk defa briyofitler üzerine bir doktora tezi hazırlamış [70]. Walter ve Leblebici, ilk briyofit vejetasyonu çalışmalarını bu dönemde gerçekleştirmiştir [71]. Gelişme dönemi dediğimiz bu aşamaya en çok katkı sağlayan araştırmacı Henderson ‘dur. Henderson ve Prentice bu dönemde çeklisti olarak kabul edebileceğimiz bir çalışma yayinallyarak o zamana kadar yurdumuzdan kaydedilmiş taksonların bir listesini kareleme sistemi oluşturarak vermişlerdir [71] (Şekil 2.1.).



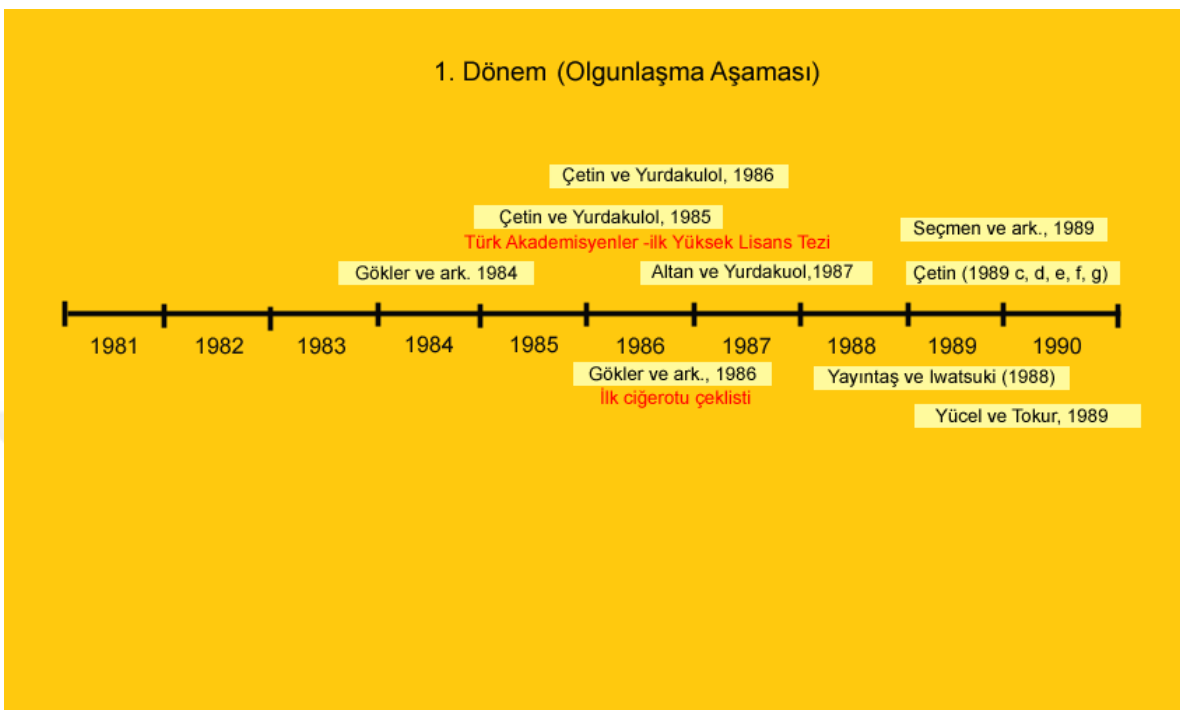
Şekil 2. 1. Türkiye'deki briyofit çalışmaları ve aşamaları

2.3. Olgunlaşma Aşaması (1980-2020)

Türk araştırmacılarının sahaya çıktığı ve en çok katkının sağlandığı bu aşama onar yıllık periyotlara ayrılarak 5 dönem halinde incelenmiştir.

2.3.1. 1. dönem (1980-1990)

Bu dönemde Briyofitler Türkiye üniversitelerinde lisansüstü tezlerde konu olmaya başlamış ve kaynakların kısıtlı olması gereklisiyle karayosunları ve çiğerotları ayrı uzmanlık alanı olarak incelenmeye başlanmıştır. Özellikle karayosunları konusunda Yayıntaş ve Çetin, çiğerotları konusunda da Gökler bu dönemde öncü araştırmacılar olmuşlardır [73-75]. Seçmen ve Yücel bu dönemde briyofitler konusunda çalışma yapmalarına rağmen daha sonraki yıllarda tohumlu bitkiler konusunda çalışmalarına devam etmişlerdir [76, 77] (Şekil 2.2.).



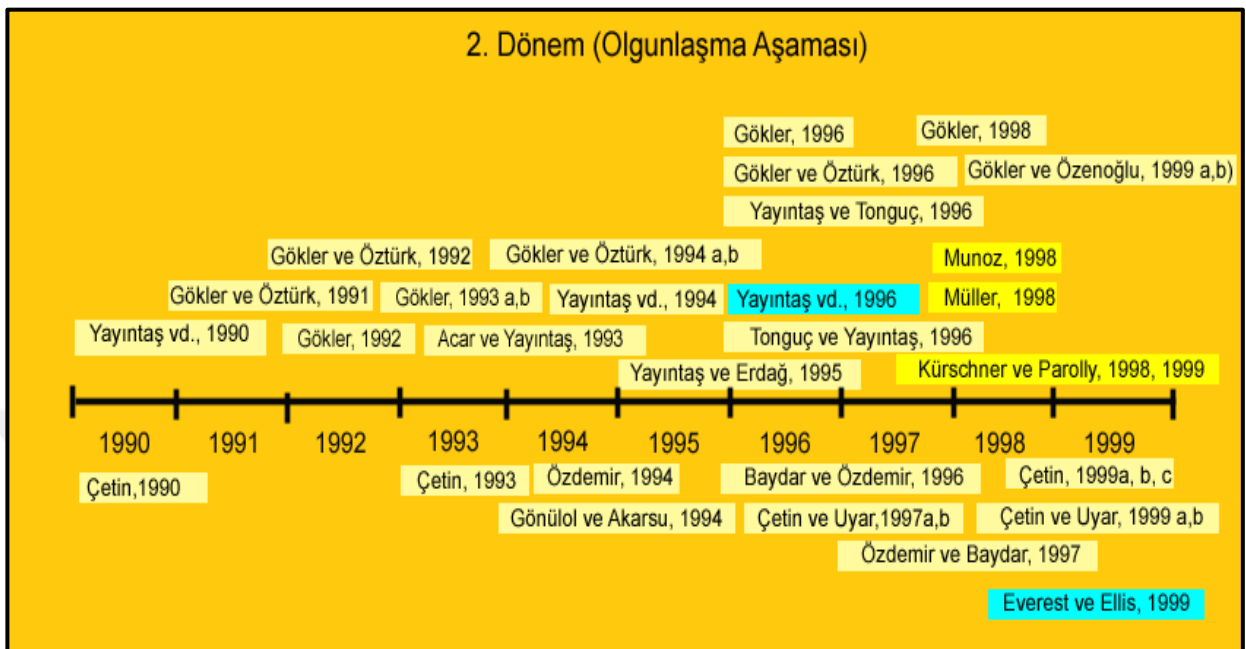
Şekil 2. 2. Türkiye'deki 1980-1990 yılları arasında yapılan briyofit çalışmaları

2.3.2. 2. dönem (1991-2000)

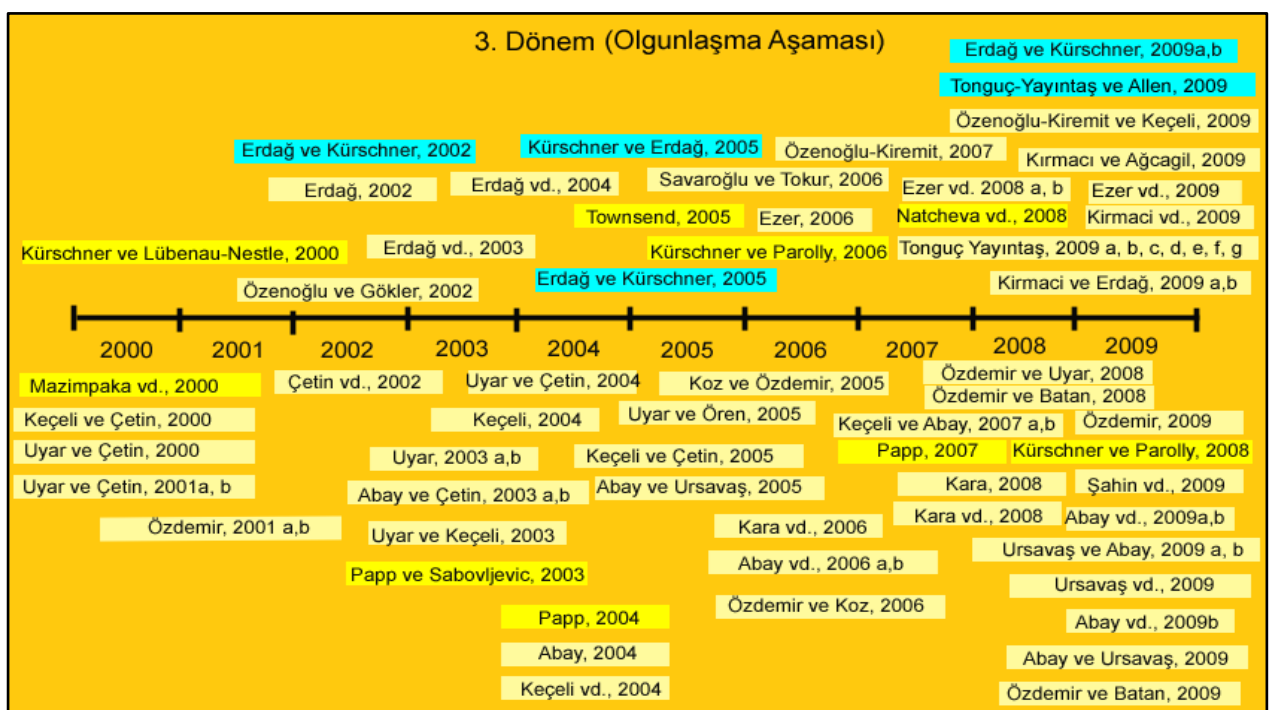
Bu dönemde briyofit florası konusundaki çalışmalar hızlanmış ve öncü olan akademisyenler bu konuda uzmanlar yetiştirmeye başlamışlardır [78-81]. Bazı araştırmacılar da ülkemizi ziyaret eden briyofitler konusunda uzman yabancı araştırmacılar ile birlikte yeni çalışmalar yapmışlardır [82, 83]. Ayrıca yabancı araştırmacılar münferit olarak çalışmalar yapmaya bu dönemde de devam etmişlerdir [84, 85].

2.3.3. 3. dönem (2001-2010)

Bu dönem o zamana kadar briyofit tarihindeki en çok çalışmanın yayınlandığı dönem olmuştur. Özellikle ikinci kuşak diyeceğimiz Türk briyologları uzmanlıklarını tamamladıktan sonra doktoralarını tamamlamışlar ve tezlerinden üretikleri ulusal ve uluslararası yayınlar “Türkiye Briyofit Florası”na büyük katkılar sağlamıştır. Ayrıca üçüncü kuşak diyeceğimiz uzmanlar da bu dönemde yetişmeye başlamıştır. Briyofit vejetasyonu konusunda özellikle epifitik vejetasyon konusundaki doktora çalışmaları da bu dönemde başlamış ve tamamlanmıştır [24]. Bu dönemde de yabancı araştırmacılar hem münferit hem de yerli araştırmacılarla ortak çalışmalarına devam etmişlerdir (Şekil 2.4).



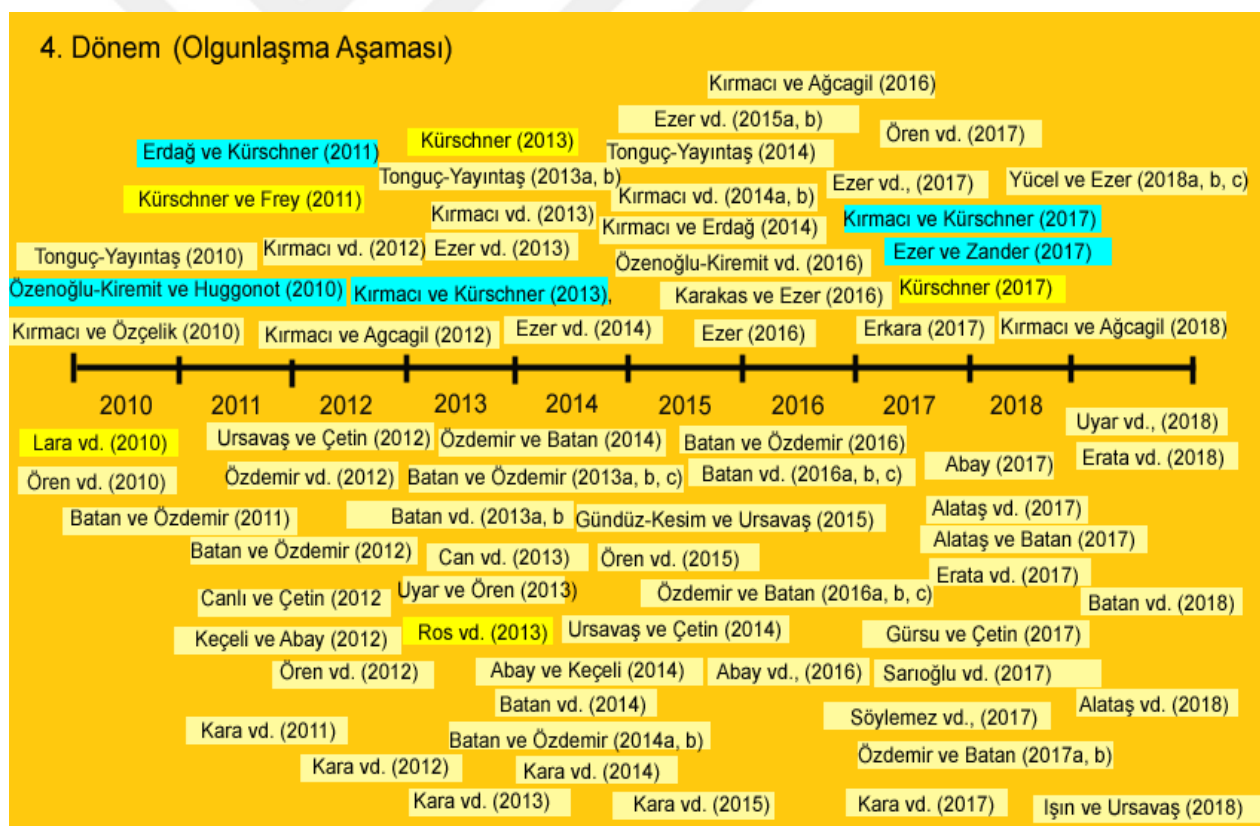
Şekil 2. 3. Türkiye'deki 1990-2000 yılları arasında yapılan briyofit çalışmaları



Şekil 2. 4. Türkiye'deki 2000-2010 yılları arasında yapılan briyofit çalışmaları

2.3.4. 4. dönem (2010-2020)

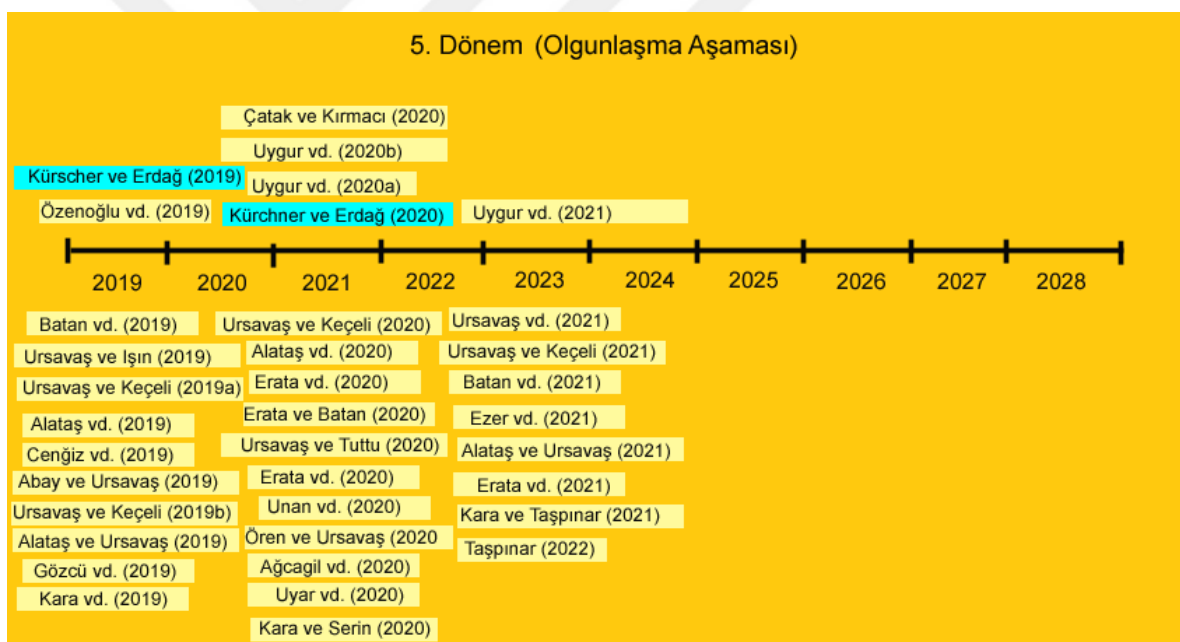
Briyofitler konusunda uzman olan araştırmacıların sayısının artmasıyla ve üçüncü kuşak doktoralarını tamamlamalarıyla birlikte yayın sayısı pik yapmıştır. Bu dönem şimdije kadar briyofit tarihindeki en çok çalışmanın yayınlandığı dönem olmuştur. Revizyon çalışmalarına bu dönemde başlanmıştır ve dördüncü kuşak diyebileceğimiz uzmanlar da yetişmeye başlamıştır. Briyofit vejetasyonu konusunda da özellikle epifitik briyofit vejetasyonu konusunda çok fazla yayın yapılmıştır [86-90]. Bu dönemde de yabancı araştırmacılarla hem münferit [91-93] hem de yerli araştırmıcılarla ortak çalışmalarına devam etmişlerdir [94-96] (Şekil 2.5. ve 2.6.).



Şekil 2. 5. Türkiye'deki 2010-2018 yılları arasında yapılan briyofit çalışmaları

2.3.5. 5. dönem (2020-2030)

Üç yıllık bir sürecini geçirdiğimiz bu dönemde dördüncü kuşak yetişmiş ve hocalarıyla birlikte yayın yapmaya başlamıştır. Dört kuşağın da yayın yapmaya başladığı bu dönemde yabancı araştırmacılar henüz münferit olarak çalışma yapmamıştır. Yerli araştırmacılarla birlikte yaptıkları çalışmalar kitap şeklinde olmuştur [97]. Bu dönemin sonuna kadar yerli araştırmacılar dört kuşak olarak hep birlikte çalışıklarında “Türkiye Briyofit Florası”nın kitaplaştırılabileceği bir dönem olabilir. Ayrıca bu dönemde flora çalışmaları dışında vejetasyon çalışmaları daha da ilerleyerek epifitik vejetasyonun yanında epigaeik ve epilitik olarakca çalışmaya başlanmıştır [98].



Şekil 2. 6. Türkiye’deki 2019-2022 yılları arasında yapılan briyofit çalışmaları

İki asırlık çalışmaları yukarıda özellikle şekilleri kullanarak özetlemeye çalıştığımız tezin bu bölümünde flora çalışmalarına odaklanmış diğer çalışmalara (vejetasyon gibi) mümkün olduğunda yer verilmemiştir. Şimdiye kadar ülkemizde briyofit florası ile ilgili 35 yüksek lisans ve 14 doktora tezi yapılmıştır [99]. Bu sonuçlara göre ülkemizin “Briyofit Florası”nı yazmak hala çalışılması gereken çok alan vardır.

BÖLÜM 3

ÇALIŞMA ALANININ TANITILMASI

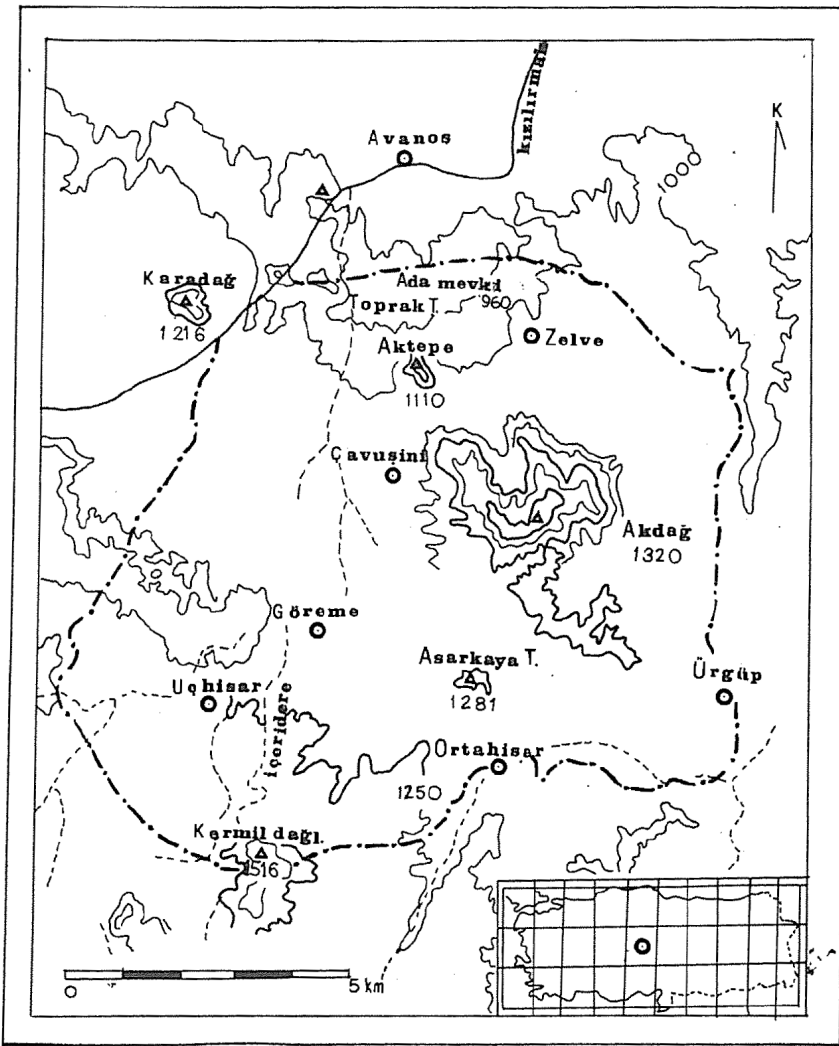
3.1. Araştırma Alanının Özellikleri

3.1.1. Araştırma alanının coğrafik konumu

Araştırma alanı Kapadokya bölgesinin merkezinde yer alan Nevşehir ili sınırları içerisindeki Göreme Milli Parkı'dır [100]. Nevşehir'in kuzeydoğusunda ve Uçhisar-Ürgüp-Avanos üçgeni arasında kalan bu alanın yüzölçümü 9.614 hektardır. $38^038'53.66''$ K – $34^049'53.66''$ D koordinatları arasında yer alır. Bölge 1941 Türk Coğrafya Kongresi'ndeki bölgeleme sistemine göre İç Anadolu Bölgesi, Orta Kızılırmak bölümüne girmektedir [101].

Milli Park'ın en yüksek yerleri Uçhisar'ın güneyindeki Kermil Dağı (1516 m) ve orta kesimdeki Akdağ'dır (1320 m). En alçak yeri ise Aktepe-Avonos arasındaki Ada Mevkii düzlidür (960 m). Milli Park'ın bulunduğu alan, tuf yapısındaki ana materyalin zamanla akarsu ve rüzgarla kolay aşınması sonucunda, irili-ufaklı çok sayıda vadi içerir. Alanın merkezinde yer alan Akdağ kütlesi, tarımsal amaçla kullanılmayan ve doğallığını koruyabilen tek yerdır. Bu dağın çevresi dik yamaçlı, fazla girintili çıkıntılı (ondüleli) ve peri bacaları ile kaplı derin vadilerden oluşur. Küçük otsu türlerin baskın olduğu steple kaplı Akdağ, özellikle Zelve ve Kızılçukur mevkiinde büyüleyici panoramik özelliğe sahiptir. Kermil Dağı'nın kuzey eteklerinden Göreme'ye açılan Arılıburun Dere, İçeri Dere ve Göreme Vadisi alanın en önemli kesimleridir. Bu vadilerde sulak ve nemli yerleri seven Avrupa-Sibirya fitocoğrafi bölgelerine özgü türlere de rastlanır. Briyofitler için elverişli habitatlar olan vadi tabanlarında, yer yer yutularak kesilen ve tekrar ortaya çıkan zayıf, ince akarsular ve bu suların geçtiği yerlerde de yaklaşık 10-50 m uzunluklara sahip geniş, çok sayıda doğal tüneller vardır. Tabanında, diz boyunu geçmeyen sıç suların aktığı bu tünelerin içi çok karanlık ve serindir [102].

Milli parkta, Erciyes ve Hasan Dağı'nın büyük volkanik konileri, kuzeyden Kızılırmak Vadisi'nin bir kısmı ve bazıları bazaltla kaplı aşınmış tuf yatakları araziye hâkim olan fizyolojik yapılmalardır. Göreme Milli Parkı'nın kayaçları volkanitlerden ibarettir.



Şekil 3. 1. Araştırma alanın konumu [102]

3.1.2. Jeoloji

Kapadokya'nın Tersiyer öncesi kayaçları; Paleozoyik yaşılı metamorfikler, Mesozoyik yaşılı ofiyolitler ve çökel kayaçlarla Üst-Kretase-Paleosen yaşılı granotoitler, bunları uyumsuz olarak üzerleyen Tersiyer-Kuvaterner yaşılı denizel karasal çökeller ve karasal volkaniklerden oluşmaktadır. Bölgede volkanik etkinlik Miyosen' den Kuvaterner' e kadar devam etmiştir. Orta Miyosen' de bazaltik ve andezitik bileşimli lav ve piroklastitlerle temsil edilen volkanizma, Üst Miyosen'den itibaren yoğunlaşmış ve çeşitlenmiştir.

Üst Miyosen volkanizması egemen olarak andezitik ve dasitik domlar ile bazaltik lav akıntılarından oluşmuştur. Üst Pliyosen yine bölgenin volkanizma açısından aktif olduğu bir devredir. Kışladağ kireçtaşı bu zaman aralığında oluşmuş gölsel nitelikli kireçtaşlarından oluşmaktadır. Kuvaterner' de etkinliğini sürdürden volkanizma Hasandağ ve Erciyes Dağı' ni oluşturan iki büyük stratovulkan ile piroklastikler ve obsidyenler ve çok sayıda riyolitik domlardan oluşur [102].

3.1.3. Toprakları

Göreme Milli Parkı'nda merkezi kısımda yoğunlaşan ve hayli geniş yer tutan peribacalarının bulunduğu kesimlerdeki erozyonlu yamaçlar dışında üç büyük toprak grubu vardır. Bunlar; regosel topraklar, alüvyal topraklar ve koluovskyal topraklardır. Ürgüp-Nevşehir arasında, gevşek dış püskürük materyal üzerinde ayrışma ve organik materyal katılımıyla oluşmuş volkanik regoseller yaygındır. Toprağın su ve besin tutma kapasitesi düşüktür. Organik madde doğal örtünün bozulmadığı hallerde %1- 1.5 arasındadır. pH hafif baziktir. Bu topraklara Nevşehir-Ürgüp arasında ve bu hattın daha güneyinde rastlanır. Alandaki bu topraklarda otlatmaya açık step birlikleri bulunduğu gibi, bu toprakların büyük bir kısmı da kuru tarım ve bağcılıkla ayrılmıştır. Milli Park alanında Çavuşin-Avanos arasındaki geniş ova derin alüvyal topraklarla kaplıdır. Alandaki bu topraklar üzerinde *Artemisia campestris'in* (Pelin otu, Yavşan) baskın olduğu step birliği yer alır. Aynı zamanda, yöredeki inşaat faaliyetleri için gereken kum, bu alandaki kum ocaklarından sağlanmaktadır. Milli Park alanında Zelve ve Çavuşin yakınlarındaki Akdağ, Aktepe, Topraktepe eteklerinde geniş bir yayılım gösteren koluovskyal topraklarda genellikle bağ, bahçe ve tahıl bitkileri tarımı yapılmaktadır [102].

3.1.4. Araştırma alanının iklimsel özelliklerı

Bölgede genellikle karasal iklimi hüküm sürmektedir. Kışlar soğuk ve kar yağışlı olup kar örtüsü uzun süre yerde kalmaktadır. Bununla birlikte, yazlar sıcak ve kurak geçmekte, ilkbaharda ise yağışlar genellikle yağmur şeklinde gerçekleşmektedir. Nevşehir meteoroloji istasyonu verileri esas alınarak yapılan değerlendirmeye göre, yıllık toplam yağışın 419,5 mm kaydedildiği belirlenmiştir. Kurak mevsimin ise, Haziran ve Eylül ayları arasında

gerçekleştiği, en düşük sıcaklığın ise -27°C olarak kaydedildiği belirlenmiştir [100]. Göreme Milli Parkı'nın iklimi Nevşehir Meteoroloji İstasyonu'nun yaklaşık 60 yıllık verilerine dayanılarak yıllık ortalama sıcaklığı $10,7^{\circ}$ olarak hesaplanmıştır. Nevşehir'in Ortalama yüksek sıcaklıklar Temmuz ($28,5^{\circ}\text{C}$) ve Ağustos'ta ($28,5^{\circ}\text{C}$) en yüksek değerlere ulaşır. Ocak ve şubat ayları en soğuk ay olup, bu aylarda ortalama düşük sıcaklıklar $-3,8$ ve $-2,7^{\circ}\text{C}$ kadardır. Nevşehir'de rasat yılları boyunca rastlanan en yüksek sıcaklık $39,5^{\circ}\text{C}$ ile Temmuz ayına, en düşük sıcaklık $-23,6^{\circ}\text{C}$ ile Şubat ayına rastlamıştır.

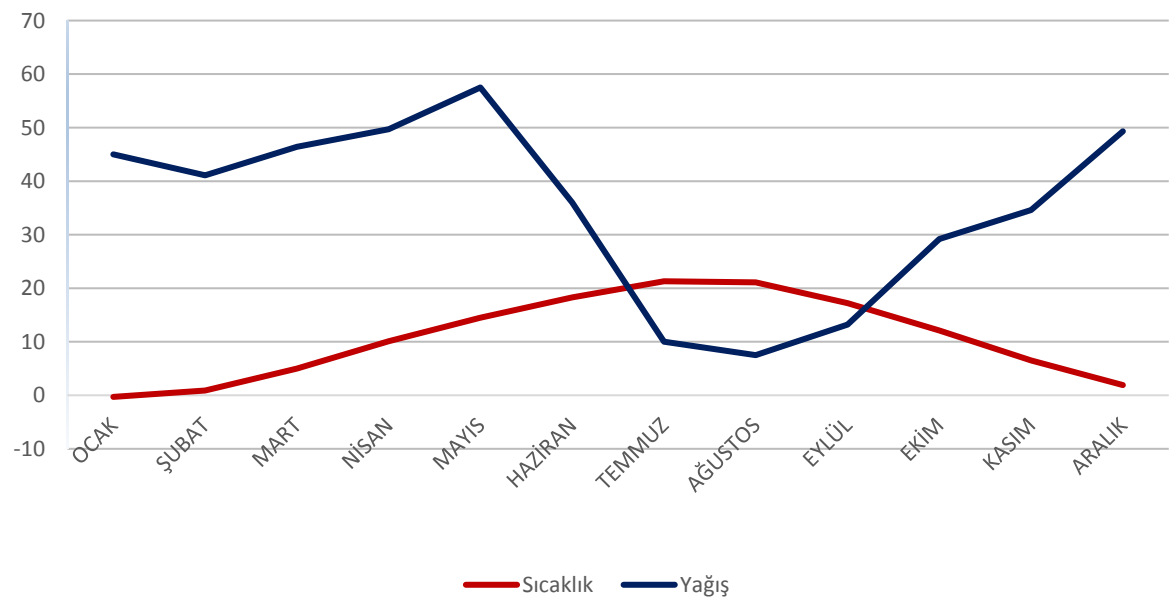
Nevşehir, Avanos ve Ürgüp meteoroloji istasyonlarından elde edilen iklimsel verilerin ortalaması milli parkın iklim tipini belirlemektedir. Her üç istasyondaki yağış rejimi ilkbahar, kış, sonbahar, yaz (IKSY) şeklindedir. Haziran, Temmuz, Ağustos ve Eylül kurak aylardır. Dört ay gibi uzun süren bu kurak periyot Temmuz ve Ağustos'ta en şiddetli değerlere ulaşır. Ocak ve şubat ayları ise mutlak donlu aylardır [102].

Tablo 3. 1. Nevşehir meteoroloji istasyonuna ait yağış değerleri (mm)

| Aylar | 1 | 2 | 3 | 4 | 5 | 6 | 7 | 8 | 9 | 10 | 11 | 12 | Yıllık |
|---------------------|------|------|------|------|------|------|------|-----|------|------|------|------|--------|
| Toplam Yağış | 45,0 | 41,1 | 46,4 | 49,7 | 57,5 | 36,0 | 10,0 | 7,5 | 13,2 | 29,2 | 34,6 | 49,3 | 419,5 |

Tablo 3. 2. Nevşehir meteoroloji istasyonuna ait sıcaklık değerleri ($^{\circ}\text{C}$)

| Aylar | 1 | 2 | 3 | 4 | 5 | 6 | 7 | 8 | 9 | 10 | 11 | 12 | Yıllık |
|---------------------------|-------|-------|-------|-------|------|------|------|------|------|------|-------|-------|--------|
| Ort. Sıcaklık | -0,3 | 0,9 | 5,0 | 10,1 | 14,5 | 18,3 | 21,3 | 21,1 | 17,2 | 12,1 | 6,5 | 1,9 | 10,7 |
| Ort. Mak. Sıcaklık | 3,8 | 5,5 | 10,3 | 15,8 | 20,6 | 24,8 | 28,5 | 28,5 | 24,5 | 18,3 | 11,7 | 6,0 | 16,5 |
| Ort. Min. Sıcaklık | -3,8 | -2,7 | 0,6 | 5,0 | 8,8 | 11,6 | 13,5 | 13,4 | 10,3 | 6,8 | 2,3 | -1,5 | 5,4 |
| Mak. Sıcaklık | 18,6 | 19,6 | 28,0 | 31,6 | 32,6 | 35,0 | 39,5 | 38,2 | 37,4 | 32,0 | 27,6 | 23,0 | 39,5 |
| Min. Sıcaklık | -21,2 | -23,6 | -18,0 | -12,5 | -2,3 | 1,3 | 3,8 | 3,1 | -1,2 | -7,6 | -14,0 | -19,5 | -23,6 |



Şekil 3. 2. Göreme milli parkının (Nevşehir) iklim diyagramı

BÖLÜM 4

MATERİYAL VE YÖNTEM

4.1. Örneklerin Toplanması

15 Kasım 2019-15 Kasım 2021 tarihlerini kapsayan bu çalışma UNESCO Dünya Mirası Listesi’nde yer alan Göreme Milli Parkı’nda yapılmıştır. Çalışmaya öncelikle harita üzerinden Göreme Milli Parkı sınırları çizilerek başlanmıştır. Daha sonra bu alanlar ziyaret edilerek gezi rotaları ve habitatlar belirlenmiştir. İki yıl boyunca iklim koşulları el verdiği sürece arazinin karla kaplı olduğu Aralık, Ocak ve çok kurak olduğu Temmuz, Ağustos ayları hariç diğer aylarda araziye çıkılarak farklı habitatlarından briyofit örnekleri toplanmıştır. Özellikle karın erimeye başladığı ve yağışın bol olduğu ilkbahar mevsiminde arazi çalışmaları sıklaştırılmıştır. Her arazi çalışması sırasında arazinin durumu, karayosunlarının genel görünümleri, habitatları ve substratları fotoğraflanmıştır. Briyofit örnekleri kazıcı aletlerin yardımıyla bulundukları substratlardan doğal görünümleri bozulmadan toplanmıştır. Toplanan briyofit örnekleri, önceden hazırlanmış olan standart toplama zarflarına konulmuştur. Bu özel zarfların üzerine toplayan kişinin adı, bitkilerin habitatı, toplama tarihi, GPS kaydı, yön, deniz seviyesinden yüksekliği (rakım) ve lokalite ile ilgili diğer bilgiler yazılmıştır. Su içinden aldığımız örnekler ise kilitli saklama poşetleri içerisine etiket bilgileri de kaydedilerek konulmuştur.

4.2. Karayosunu Örneklerinin Teşhis Yöntemi

Çalışmanın bu aşamasında arazi ortamından toplanan örnekler, Nevşehir Hacı Bektaş Veli Üniversitesi Fen Bilimleri Enstitüsü Biyoloji Laboratuvarı’nda, zarların ağızı açık bir şekilde birkaç gün kurutulmaya bırakılmıştır. Kurutma aşamasında ortamın doğrudan güneş ışığı ve rüzgâra maruz kalmamasına dikkat edilmiştir. Örnekler kuruduktan sonra geçici zarflara konularak teşhis edilmek üzere düzenlenmiştir.

Tablo 4. 1. Arazi çalışmalarında kullanılan standart toplama zarfı örneği

| | |
|--|--------------------------|
| GPS: | Florası S.S. |
| Arazi Kayıtları: | |
| Işık: Güneşli, Açık, Kısmen Gölge, Tam gölge | |
| Su: Kuru, Orta, Nemli, Islak, Suya batık | |
| Topograf: Sırt, Yamaç, Vadi, Yol kenarı, Orman, Tarla, Nehir, Dere, Göl, Havuz | |
| Substrat: | |
| Toprak: Kum, Toprak, Kil, Humus, Taş ve kayaları örten toprak / Çakıl | |
| Kaya: Uçurum (yar), Kaya kütlesi, Taş duvar / Vertikal-Horizontal / Silisli, Kalkerli | |
| Ağacı: Gövde, Dal, Küttük, Kök, Yaprak / Çalı-yüzey, Tırmanıcı 0 1 2 ()m | |
| Kütük: Devrik, Çürümekte, Kabuksuz, Çürük, Üst veya Alt yüzey 0 1 2 ()m | |
| Yükseklik: | Yön: N S E W |
| Ağacı veya kayanın adı: | |
| Tarih: | Toplayan: |

Karayosunu örneklerinin isimlendirilmesinde çeşitli araştırmacıların flora eserlerinden ve revizyon çalışmalarından faydalanyılmıştır [103-137]. Teşhis edilerek isimlendirilen taksonların ülkemizdeki durumu öncelikle Uyar ve Çetin (2004) ve Kürschner ve Erdağ (2005)'a göre, daha sonra son yıllarda çeşitli tez ve makalelere göre düzenlenmiştir [61,138]. Teşhisini yapılacak olan örneklerin öncelikle kuru halleri fotoğraflanmıştır. Daha sonra damlalık yardımıyla ıslatılıp ıslak halleri de fotoğraflanmıştır. İnce uçlu pensler yardımıyla bitkinin mikroskop altında diseksiyonu yapılmıştır. İncelenen bitkiyi diğer bitkilerden ayıran karakterleri (örneğin; yaprak enine kesiti, kapsül, stoma vb.) gösterecek bitki kısımlarının su ortamında preparati hazırlanmıştır. Präparatlar trinoküler ışık mikroskobunda incelenerek teşhis edilmiştir. Briyofit örneklerinin teşhis edilmesinde çeşitli araştırmacıların flora eserlerinden, monograf ve revizyon çalışmalarından faydalanyılmıştır [112, 113, 117, 126, 140-154]. Teşhisleri tamamlanan örnekler herbaryum materyali haline getirilip Nevşehir Hacı Bektaş Veli Üniversitesi Fen Edebiyat Fakültesi herbaryumunda koruma altına alınmıştır. Çalışmanın son aşamasında gerek arazi çalışmalarıyla gerekse laboratuvar çalışmalarıyla elde edilen veriler değerlendirilip Göreme Milli Parkı'nın Briyofit listesi çıkarılmıştır.



Şekil 4. 1. Arazi çalışmalarında kullanılan malzemeler

BÖLÜM 5

ARAŞTIRMA BULGULARI

Kapadokya-Göreme Milli Parkı'nın briyofit florasını ortaya çıkarmak amacıyla farklı lokalite ve habitatlardan toplanmış ±670 karayosunu örneği, laboratuvar ortamında çeşitli floralar kullanılarak mikroskopik incelemelerin sonucunda teşhis edilmiştir. Karayosunlarının teşhisini sonucunda 14 familya ve 43 cinse ait 100 takson tespit edilmiştir. Toplanan ve teşhis edilen örnekler arasında Boynuzotları (Anthocerotophyta) ve Ciğerotları (Marchantiophyta) bölümüne ait örnek tespit edilmemiştir. Teşhisini yapılan taksonların yayılışlarında [155-158] kaynaklarından faydalانılmıştır.

Tespit edilen türlerden Nevşehir ili için yeni olanlara bir yıldız (*), Türkiye için yeni kayıt olanlara iki yıldız (**) konulmuştur.

Amblystegiaceae G. Roth

***Amblystegium* Schimp.**

1. **Amblystegium serpens* (Hedw.) Schimp.

| S.S. | MEVKİ | Işık | Nem | Substrat | Yön | Tarih | Yük. | GPS(N/E) |
|------|-----------------------|--------------|------|------------------|-----|------------|-------|----------------------------|
| 1 | Aşk Vadisi Bağlı Dere | Güneşli | Kuru | Kaya | GB | 9.06.2020 | 1108m | 38° 40'46.00" 34°50'58.00" |
| 2 | Rose Valley | Kısmen Gölge | Orta | Kütük(Çürümekte) | K | 25.07.2020 | 1090m | 38° 39'22.00" 34°51'13.00" |
| 3 | Güvercinlik Vadisi | Kısmen Gölge | Orta | Ağaç(iğde) | K | 22.08.2020 | 1240m | 38° 37'43.00" 34°48'38.00" |
| 4 | Güvercinlik Vadisi | Güneşli | Orta | Kaya | B | 30.05.2020 | 1308m | 38° 37'23.00" 34°48'21.00" |

Yayılışı: Türkiye (A1, A2, A3, A4, B6, B7, B8, B10, C11, C12, C13, C15), Avrupa, Azor Adları, Cezayir, Ekvador, Faroe Adaları, Grönland, İzlanda, Japonya, Kafkas Dağları, Keşmir, Kuzey Amerika, Orta Asya, Meksika, Pakistan, Peru, Sibirya, Svalbard, Tazmania, Tibet, Yeni Zelanda.

***Hygroamblystegium* Loeske**

2. **Hygroamblystegium tenax* (Hedw.) Jenn

| S.S. | MEVKİ | Işık | Nem | Substrat | Yön | Tarih | Yük. | GPS(N/E) |
|------|--------------------|-----------|-------|----------|-----|------------|-------|----------------------------|
| 1 | Güvercinlik Vadisi | Güneşli | Orta | Toprak | GB | 30.05.2020 | 1320m | 38° 37'12.00" 34°48'19.00" |
| 2 | Gomedâ Vadisi | Tam Gölge | Nemli | Kaya | K | 30.06.2020 | 1190m | 38° 34'29.00" 34°52'19.00" |
| 3 | Kızıl Vadî | Tam Gölge | Orta | Kaya | K | 25.07.2020 | 1170m | 38° 39'15.00" 34°51'39.00" |
| 4 | Güvercinlik Vadisi | Tam Gölge | Nemli | Kaya | K | 23.08.2020 | 1160m | 38° 37'59.00" 34°49'04.00" |

Yayılışı: Türkiye (A1, A2, A4, B6, B8, B9, C11, C12, C13), Altaylar, Azor Adaları, Cezayir, Fas, Fennoskandia, İzlanda, Kafkaslar, Kuzey Amerika, Sibirya.

3. **Hygroamblystegium humile* (P. Beauv.) Vanderp., Goffinet & Hedenäs

| S.S. | MEVKİ | Işık | Nem | Substrat | Yön | Tarih | Yük. | GPS(N/E) |
|------|--|---------------|-------|------------|-----|------------|-------|------------------------------|
| 1 | Güvercinlik Vadisi | Güneşli | Orta | Toprak | G | 30.05.2020 | 1283m | 38° 37'24.00" 34°48'21.00" |
| 2 | Zemi Vadisi | Kısmen Gölgel | Orta | Su içinden | G | 30.05.2020 | 1115m | 38° 38'10.00" 34°50'17.00" |
| 3 | Güvercinlik Vadisi | Kısmen Gölgel | Orta | Humus | K | 22.08.2020 | 1240m | 38° 37'43.00" 34°48'38.00" |
| 4 | Üzengi Vadisi(Havariler Kilisesi Yanı) | Tam Gölgel | Orta | Kaya(kut) | K | 28.11.2020 | 1135m | 38° 35'58.095" 34°53'36.304" |
| 5 | Zemi Vadisi | Kısmen Gölgel | Nemli | Kütük | K | 27.05.2021 | 1200m | 38°37'16.700" 34°49'48.283" |
| 6 | Zemi Vadisi | Kısmen Gölgel | Orta | Kaya(kut) | K | 27.05.2021 | 1210m | 38°37'14.818" 34°49'42.348" |

Yayılışı: Türkiye (A1, A2, A4, A5, B6, B7, C11, C12, 13), Ðzlanda, Kafkasya, Ðran, Himalayalar, Sibirya, Yeni Gine, Kuzey Amerika, Meksika.

4. **Hygroamblystegium varium* (Hedw.) Mönk.

| S.S. | MEVKİ | Işık | Nem | Substrat | Yön | Tarih | Yük. | GPS(N/E) |
|------|--------------------|------------|-------|----------|-----|------------|-------|----------------------------|
| 1 | Güvercinlik Vadisi | Tam Gölgel | İslak | Tüf | K | 22.08.2020 | 1220m | 38° 37'49.00" 34°48'44.00" |

Yayılışı: Türkiye (A1, A2, A3, A4, B6, C11, C12, C13), Afganistan, Amerika, Avrupa, Cezayir, Fas, Irak, İran, İsrail, Kanada, Lübnan.

Conardia H.Rob.

5. **Conardia compacta* (Drumm ex Müll. Hal.) H. Rob.

| S.S. | MEVKİ | Işık | Nem | Substrat | Yön | Tarih | Yük. | GPS(N/E) |
|------|----------------|---------------|-------|----------|-----|------------|-------|----------------------------|
| 1 | Üzengi Vadisi | Kısmen Gölgel | İslak | Toprak | B | 29.06.2020 | 1100m | 38° 36'12.00" 34°53'55.00" |
| 2 | Devrent Vadisi | Kısmen Gölgel | Kuru | Toprak | K | 10.08.2020 | 1112m | 38° 40'20.00" 34°53'13.00" |

Yayılışı: Türkiye, Grönland, Nunavut, Yukon, Alaska, Idaho, Ohio, Utah, Meksika, Orta Amerika, Avrupa, Asya (Keşmir), Atlantik Adaları (İzlanda).

Cratoneuron (Sull.) Spruce

6. **Cratoneuron filicinum* (Hedw.) Spruce

| S.S. | MEVKİ | Işık | Nem | Substrat | Yön | Tarih | Yük. | GPS(N/E) |
|------|-------------|------------|------|----------|-----|------------|-------|----------------------------|
| 1 | Zemi Vadisi | Tam Gölgel | Orta | Kaya | K | 17.10.2020 | 1250m | 38° 37'03.00" 34°49'21.00" |

Yayılışı: Türkiye (A1, A2, A3, A4, A5, B6, B7, B8, B9, B10, C11, C12, C13, C15), Asya, Avrupa, Cezayir, Ekvador, Faroe Adaları, Güney Afrika, İzlanda, Kafkasya, Kenya, Kıbrıs, La Palma, Madeira, Meksika, Svalbard, Tazmanya, Uganda, Yeni Zelanda, Zaire.

***Drepanocladus* (Müll.Hal.) G. Roth**

7. **Drepanocladus sordidus* (Müll.Hal.) Hedenäs

| S.S. | MEVKİ | Işık | Nem | Substrat | Yön | Tarih | Yük. | GPS(N/E) |
|------|-------------|--------------|------|----------|-----|------------|-------|----------------------------|
| 1 | Zemi Vadisi | Kısmen Gölge | Orta | Kaya | K | 17.10.2020 | 1263m | 38° 37'04.00" 34°49'26.00" |

Yayılışı: Türkiye (A4), Almanya, Avusturya, Çek Cumhuriyeti, Estonya, Fransa, Finlandiya, İsveç, İsviçre, İzlanda, Kuzey, Orta ve Güney Amerika, Litvanya, Norveç, Polonya, Rusya.

Brachytheciaceae Schimp.

***Brachythecium* Schimp.**

8. **Brachythecium capillaceum* (F. Weber & D. Mohr) Giacom.

| S.S. | MEVKİ | Işık | Nem | Substrat | Yön | Tarih | Yük. | GPS(N/E) |
|------|----------------|--------------|------|-------------|-----|------------|-------|----------------------------|
| 1 | Gomedha Vadisi | Kısmen Gölge | Orta | Ağaç(Kiraz) | K | 30.06.2020 | 1190m | 38° 34'29.00" 34°52'19.00" |

Yayılışı: Türkiye (B8), Alaska, Iowa, Maine, Ohio, Avrasya.

9. **Brachythecium albicans* (Hedw.) Schimp.

| S.S. | MEVKİ | Işık | Nem | Substrat | Yön | Tarih | Yük. | GPS(N/E) |
|------|--------------------------------|--------------|------|-------------|-----|------------|-------|----------------------------|
| 1 | Zemi Vadisi(Kermil Dağı Giriş) | Tam Gölge | Orta | Toprak | K | 5.07.2020 | 1428m | 38° 36'28.00" 34°48'37.00" |
| 2 | Zemi Vadisi | Kısmen Gölge | Orta | Ağaç(Kavak) | K | 15.07.2020 | 1340m | 38° 36'43.00" 34°48'48.00" |

Yayılışı: Türkiye (A1, A2, A3, A4, A5, B6, B7, C11, C12, C13), Avrupa, Azor Adaları, Avustralya, Faroe Adaları, Grönland, İzlanda, Kafkaslar, Kuzey Amerika, Madeira, Yeni Zelanda.

10. **Brachythecium salebrosum* (Hoffm. ex F. Weber & D. Mohr) Schimp.

| S.S. | MEVKİ | Işık | Nem | Substrat | Yön | Tarih | Yük. | GPS(N/E) |
|------|-------------|--------------|------|----------|-----|------------|-------|----------------------------|
| 1 | Zemi Vadisi | Tam Gölge | Orta | Humus | K | 15.07.2020 | 1360m | 38° 36'39.00" 34°48'40.00" |
| 2 | Kızıl Vadı | Kısmen Gölge | Orta | Toprak | K | 25.07.2020 | 1200m | 38° 39'17.00" 34°51'48.00" |

Yayılışı: Türkiye (A1, A2, A3, A4, B6, C11, C12, C13), Avrupa, Avustralya, Cezayir, Fas, Grönland, Kafkaslar, Libya, Makaronezya, Orta Asya, Yeni Zelanda.

***Brachytheciastrum* Ignatov & Huttunen**

11. **Brachytheciastrum velutinum* (Hedw.) Ignatov & Huttunen

| S.S. | MEVKİ | Işık | Nem | Substrat | Yön | Tarih | Yük. | GPS(N/E) |
|------|----------------------|--------------|-------|--------------|-----|------------|-------|--------------------------------|
| 1 | Güvercinlik Vadisi | Açık | Orta | Kaya | D | 30.05.2020 | 1282m | 38° 37'25.00" 34°48'21.00" |
| 2 | Güvercinlik Vadisi | Tam Gölge | Nemli | Ağaç(Armut) | K | 23.08.2020 | 1170m | 38° 37'56.00" 34°49'00.00" |
| 3 | Akdağın Kuzeyi | Kısmen Gölge | Kuru | Kaya | K | 10.10.2020 | 1132m | 38° 40'20.00" 34°52'44.00" |
| 4 | Zemi Vadisi | Tam Gölge | Orta | Kaya | K | 17.10.2020 | 1229m | 38° 37'14.00" 34°49'41.00" |
| 5 | Aynalı Kilise Vadisi | Tam Gölge | Islak | Kaya | K | 24.10.2020 | 1210m | 38° 38'10.00" 34°50'55.00" |
| 6 | Aynalı Kilise Vadisi | Tam Gölge | Kuru | Kaya | K | 24.10.2020 | 1179m | 38° 38'10.00" 34°50'53.00" |
| 7 | Akdağ(Kuzey) | Kısmen Gölge | Nemli | Topraki | K | 8.11.2020 | 1300m | 38° 39'33.584" 34°51'56.145" |
| 8 | Müze Vadisi | Kısmen Gölge | Nemli | Ağaç(Kayısı) | K | 13.03.2021 | 1130m | 38° 38'24.465" 34°50'37.479" |
| 9 | Zemi Vadisi | Güneşli | Islak | Toprak | G | 21.03.2021 | 1364m | 38° 36'55.0035" 34°48'48.8092" |
| 10 | Zemi Vadisi | Açık | Nemli | Toprak | KD | 21.03.2021 | 1355m | 38° 37'39.8738" 34°50'45.5474" |
| 11 | Bağılı Dere | Kısmen Gölge | Nemli | Ağaç(Söğüt) | GB | 20.05.2021 | 1084m | 38°43'34.1195" 34°54'38.1089" |

Yayılışı: Türkiye (A1, A2, A3, A4, A5, B6, B7, B10, C11, C12, C13, C14), Avrupa, Cezayir, Fas, İran, İskandinavya, İzlanda, Japonya, Kafkaslar, Kıbrıs, Kuzey Amerika Kuzey Asya, Makaronezya.

12. **Brachytheciastrum collinum* (Schleich. ex Müll. Hal.) Ignatov & Huttunen

| S.S. | MEVKİ | Işık | Nem | Substrat | Yön | Tarih | Yük. | GPS(N/E) |
|------|--------------------|--------------|------|----------------|-----|------------|-------|----------------------------|
| 1 | Zemi Vadisi | Kısmen Gölge | Orta | Toprak | K | 15.07.2020 | 1340m | 38° 36'43.00" 34°48'48.00" |
| 2 | Kermil Dağı Kuzeyi | Kısmen Gölge | Kuru | Toprak | K | 11.10.2020 | 1430m | 38° 36'20.00" 34°48'38.00" |
| 3 | Kermil Dağı Kuzeyi | Kısmen Gölge | Kuru | Kaya | K | 11.10.2020 | 1435m | 38° 36'20.00" 34°48'38.00" |
| 4 | Zemi Vadisi | Tam Gölge | Orta | Toprak | K | 17.10.2020 | 1250m | 38° 37'02.00" 34°49'19.00" |
| 5 | Zemi Vadisi | Kısmen Gölge | Orta | Ağaç(Ak Kavak) | K | 17.10.2020 | 1229m | 38° 37'14.00" 34°49'41.00" |

Yayılışı: Türkiye (A1, A4, A5, B6, B8, B9, B10), Asya, Afrika & Madagascar, Avrupa, Kuzey Amerika, Okyanusya, Orta Amerika, Güney Amerika.

***Homalothecium* Schimp.**

13. **Homalothecium lutescens* (Hedw.) H. Rob.

| S.S. | MEVKİ | Işık | Nem | Substrat | Yön | Tarih | Yük. | GPS(N/E) |
|------|--|---------|-------|----------|-----|------------|-------|----------------------------|
| 1 | 15 Temmuz Mahallesi Alparslan Türkeş Bulvarı | Açık | Nemli | Toprak | K | 24.02.2020 | 1206m | 38° 39'29.00" 34°44'14.00" |
| 2 | Aşk Vadisi Bağlı Dere | Güneşli | Kuru | Toprak | GB | 9.06.2020 | 1108m | 38° 40'46.00" 34°50'58.00" |

Yayılışı: Türkiye (A1, A2, A3, A4, B6, B7, B8, C11, C12, C13), Avrupa, Faroe Adaları, Fas, İran, İzlanda, Kafkaslar, Madeira.

14. **Homalothecium philipeanum* (Spruce) Schimp.

| S.S. | MEVKİ | Işık | Nem | Substrat | Yön | Tarih | Yük. | GPS(N/E) |
|------|---|--------------|-------|--------------|-----|------------|-------|----------------------------|
| 1 | Zemi Vadisi | Kısmen Gölge | Orta | Toprak üzeri | G | 30.05.2020 | 1115m | 38° 38'10.00" 34°50'17.00" |
| 2 | Açık Hava Müzesi Yılancı Kilisesinin Üstü | Açık | Nemli | Kaya kütlesi | B | 4.06.2020 | 1117m | 38° 38'24.00" 34°50'49.00" |
| 3 | Güvercinlik Vadisi | Kısmen Gölge | Kuru | Tüf | K | 23.08.2020 | 1200m | 38° 37'51.00" 34°49'01.00" |
| 4 | Kermil Dağı Kuzeyi | Tam Gölge | Kuru | Kaya kütlesi | K | 11.10.2020 | 1490m | 38° 36'18.00" 34°48'33.00" |

Yayılışı: Türkiye (A1, A2, A3, A4, A5, B6, B7, B8, B9, B10, C11, C12, C13), Asya, Avrupa, Kuzey Afrika.

15. **Homalothecium sericeum* (Hedw.) Schimp.

| S.S. | MEVKİ | Işık | Nem | Substrat | Yön | Tarih | Yük. | GPS(N/E) |
|------|----------------------|--------------|-------|-------------------|-----|------------|-------|------------------------------|
| 1 | Kermil Dağı | Tam Gölge | Kuru | Toprak | K | 4.07.2020 | 1420m | 38° 36'13.00" 34°49'30.00" |
| 2 | Zemi Vadisi | Kısmen Gölge | Nemli | Ağaç(Gürgen sp.) | K | 5.07.2020 | 1380m | 38° 36'35.00" 34°48'38.00" |
| 3 | Aynalı Kilise Vadisi | Tam Gölge | Orta | Ağaç(Pyrunus sp.) | K | 24.10.2020 | 1192m | 38° 38'10.00" 34°50'51.00" |
| 4 | Kermil Dağı Kuzeyi | Kısmen Gölge | Nemli | Kaya | KB | 14.11.2020 | 1531m | 38° 36'15.431" 34°48'57.468" |

Yayılışı: Türkiye (A1, A2, A3, A4, A5, B6, B7, B8, B9, B10, C11, C12, C13, C14), Avrupa, Çin, Faroe Adaları, İzlanda, Kıbrıs, Kesmir, Kuzey Amerika, Kuzey Afrika, Makaronezya, Orta Doğu.

16. *Homalothecium aureum* (Spruce) H. Rob.

| S.S. | MEVKİ | Işık | Nem | Substrat | Yön | Tarih | Yük. | GPS(N/E) |
|------|--|-----------|-------|----------|-----|------------|-------|------------------------------|
| 1 | Güvercinlik Vadisi | Açık | Kuru | Tüf | K | 22.08.2020 | 1200m | 38° 37'53.00" 34°48'53.00" |
| 2 | Üzengi Vadisi(Havariler Kilisesi Yani) | Tam Gölge | Nemli | Türf | K | 28.11.2020 | 1129m | 38° 36'08.961" 34°53'51.363" |

Yayılışı: Türkiye (A1, A2, B6, B7, B8, B9, C11, C12, C13), Cezayir, Balerik Adaları, Fransa, Irak, İspanya, İsrail, İtalya, Kıbrıs, Kuzey Amerika, Lübnan, Portekiz, Suriye, Ukrayna, Ürdün, Yugoslavya, Yunanistan.

Rhynchostegiella (Schimp.) Limpr.

17. **Rhynchostegiella tenella* (Dicks.) Limpr.

| S.S. | MEVKİ | Işık | Nem | Substrat | Yön | Tarih | Yük. | GPS(N/E) |
|------|--------------------|---------|------|----------|-----|------------|-------|----------------------------|
| 1 | Güvercinlik Vadisi | Güneşli | Orta | Toprak | GB | 30.05.2020 | 1320m | 38° 37'12.00" 34°48'19.00" |

Yayılışı: Türkiye (A1, A2, A3, A4, A5, B6, B9, C11, C12, C13), Afganistan, Avrupa, Çin, Irak, İsrail, Kafkasya, Kıbrıs, Kuzey ve Orta Afrika, Lübnan, Makaronezya, Mısır, Ürdün.

Eurhynchiastrum Ignatov & Huttunen

18. **Eurhynchiastrum pulchellum* (Hedw.) Ignatov & Huttunen

| S.S. | MEVKİ | Işık | Nem | Substrat | Yön | Tarih | Yük. | GPS(N/E) |
|------|--------------------|--------------|-------|----------|-----|------------|-------|----------------------------|
| 1 | Zemi Vadisi | Güneşli | Nemli | Kaya | KD | 30.05.2020 | 1129m | 38° 37'59.00" 34°50'14.00" |
| 2 | Zemi Vadisi | Güneşli | Orta | Toprak | GD | 4.06.2020 | 1132m | 38° 38'01.00" 34°50'13.00" |
| 3 | Güvercinlik Vadisi | Kısmen Gölge | Kuru | Kaya | K | 23.08.2020 | 1200m | 38° 37'51.00" 34°49'01.00" |

Yayılışı: Türkiye (A1, A2, A3, A4, A5, B6, B8, B10, C11, C13), Avrupa, Svalbard, Kafkasya, Arktik Asya, Japonya, Çin, Yeni Zelanda, Faro Adaları, Afganistan, Kuzey ve Güney Amerika, Grönland.

19. **Eurhynchiastrum diversifolium* (Schimp.) J. Guerra

| S.S. | MEVKİ | Işık | Nem | Substrat | Yön | Tarih | Yük. | GPS(N/E) |
|------|------------------|-----------|-------|----------|-----|------------|-------|-------------------------------|
| 1 | Ortahisar Vadisi | Tam Gölge | Orta | Toprak | K | 28.11.2020 | 1142m | 38° 36'15.287" 34°53'51.661" |
| 2 | Zemi Vadisi | Açık | Nemli | Toprak | KD | 21.03.2021 | 1359m | 38° 37'31.2579" 34°49'5.9404" |

Yayılışı: Türkiye (A1, A2, A4, B6), Asya, Afrika & Madagaskar, Karayıp, Avrupa, Kuzey Amerika, Okyanusya, Orta Amerika, Güney Amerika.

Kindbergia Ochyra

20. **Kindbergia praelonga* (Hedw.) Ochyra

| S.S. | MEVKİ | Işık | Nem | Substrat | Yön | Tarih | Yük. | GPS(N/E) |
|------|--------------------|--------------|-------|-------------|-----|------------|-------|----------------------------|
| 1 | Kermil Dağı | Kısmen Gölge | Orta | Toprak | KB | 4.07.2020 | 1424m | 38° 36'11.00" 34°49'31.00" |
| 2 | Zemi Vadisi | Kısmen Gölge | Nemli | Ağaç(Söğüt) | K | 5.07.2020 | 1380m | 38° 36'35.00" 34°48'38.00" |
| 3 | Kızıl Vadı | Kısmen Gölge | Nemli | Taş duvar | K | 25.07.2020 | 1060m | 38° 39'09.00" 34°50'54.00" |
| 4 | Güvercinlik Vadisi | Kısmen Gölge | Kuru | Tüf | K | 23.08.2020 | 1170m | 38° 37'56.00" 34°49'00.00" |
| 5 | Güvercinlik Vadisi | Tam Gölge | Nemli | Tüf | K | 23.08.2020 | 1170m | 38° 37'56.00" 34°49'00.00" |
| 6 | Güvercinlik Vadisi | Kısmen Gölge | Kuru | Tüf | K | 23.08.2020 | 1200m | 38° 37'51.00" 34°49'01.00" |
| 7 | Kermil Dağı Kuzeyi | Kısmen Gölge | Kuru | Toprak | K | 11.10.2020 | 1430m | 38° 36'20.00" 34°48'38.00" |
| 8 | Kermil Dağı Kuzeyi | Kısmen Gölge | Kuru | Toprak | K | 11.10.2020 | 1430m | 38° 36'20.00" 34°48'38.00" |

Yayılışı: Türkiye (A1, A2, A3, A4, B6, B8, C11, C12, C13), Andorra, Arjantin, Avrupa, Avustralya, Azorlar, Balear Adaları, Cezayir, Çin, Faroe Adaları, Fas, Güney Afrika, İzlanda, Japonya, Kafkasya, Karadağ, Kıbrıs, Kuzey Amerika, Kuzey Asya, Madaira Adaları, Makaronezya, Suriye, Tunus, Tanzanya, Yeni Zelanda.

Sciuro-hypnum (Hampe) Hampe

21. **Sciuro-hypnum populeum* (Hedw.) Ignatov & Huttunen

| S.S. | MEVKİ | Işık | Nem | Substrat | Yön | Tarih | Yük. | GPS(N/E) |
|------|---------------|--------------|-------|----------|-----|------------|-------|----------------------------|
| 1 | Üzengi Vadisi | Kısmen Gölge | Islak | Toprak | B | 29.06.2020 | 1100m | 38° 36'12.00" 34°53'55.00" |

Yayılışı: Türkiye (A1, A2, A4, B6, B7, C11, C13), Avrupa'da Kuzeyde Fennoscandian Yarımadası'na, Cezayir, Faroe Adaları, Fas, Himalayalar, İran, İzlanda, Japonya, Kafkasya, Keşmir, Kuzey Amerika, Makaronezya.

22. **Sciuro-hypnum glaciale* (Schimp.) Ignatov & Huttunen

| S.S. | MEVKİ | Işık | Nem | Substrat | Yön | Tarih | Yük. | GPS(N/E) |
|------|------------|-----------|------|-------------------|-----|------------|-------|----------------------------|
| 1 | Kızıl Vadı | Tam Gölge | Kuru | Peribacası tabanı | K | 25.07.2020 | 1170m | 38° 39'15.00" 34°51'39.00" |

Yayılışı: Asya, Afrika & Madagaskar, Karayıp, Avrupa, Kuzey Amerika, Okyanusya, Orta Amerika, Güney Amerika.

Rhynchostegium Bruch & Schimp. [Platyhypnidium M. Fleisch.]

23. **Rhynchostegium megapolitanum* (Blandow ex F. Weber & D. Mohr) Schimp.

| S.S. | MEVKİ | Işık | Nem | Substrat | Yön | Tarih | Yük. | GPS(N/E) |
|------|---------------|---------|-------|----------|-----|------------|-------|----------------------------|
| 1 | Gomeda Vadisi | Güneşli | Islak | Kaya | K | 30.06.2020 | 1190m | 38° 35'44.00" 34°52'22.00" |

Yayılışı: Türkiye (A1, A2, A3, A4, A5, B6, B7, C11, C12, C13), Avrupa, Cezayir, Fas, İran, Kıbrıs, Lübnan, Makaronezya, Suriye.

BRYALES Limpr.

Bryaceae Schwägr.

Bryum Hedw.

24. **Bryum argenteum* Hedw.

| S.S. | MEVKİ | Işık | Nem | Substrat | Yön | Tarih | Yük. | GPS(N/E) |
|------|--|--------------|-------|----------|-----|------------|-------|----------------------------|
| 1 | NHBV Üniversitesi Kampüsü | Kısmen gölge | Islak | Toprak | D | 24.01.2020 | 1120m | 38° 40'36.00" 34°43'57.00" |
| 2 | Güvercinlik Vadisi | Güneşli | Orta | Toprak | GB | 30.05.2020 | 1320m | 38° 37'12.00" 34°48'19.00" |
| 3 | Güvercinlik Vadisi | Güneşli | Orta | Toprak | B | 30.05.2020 | 1308m | 38° 37'23.00" 34°48'21.00" |
| 4 | Açık Hava Müzesi Yılanlı Kilisesi Yanı | Güneşli | Nemli | Toprak | GD | 4.06.2020 | 1127m | 38° 38'22.00" 34°50'41.00" |
| 5 | Kermil Dağı | Kısmen Gölge | Kuru | Toprak | KB | 4.07.2020 | 1417m | 38° 36'13.00" 34°49'30.00" |

Yayılışı: Türkiye (A1, A2, A4, A5, B6, B7, B8, B9, B10, C11, C12, C13, C14), kozmopolit.

25. **Bryum dichotomum* Hedw.

| S.S. | MEVKİ | Işık | Nem | Substrat | Yön | Tarih | Yük. | GPS(N/E) |
|------|----------------|--------------|-------|----------------|-----|------------|-------|----------------------------|
| 1 | Sulusaray yolu | Açık | Nemli | Kaya kütlesi | K | 24.01.2020 | 1200m | 38° 40'60.00" 34°43'46.00" |
| 2 | Zemi Vadisi | Kısmen Gölge | Orta | Kaya kütlesi | G | 30.05.2020 | 1115m | 38° 38'10.00" 34°50'17.00" |
| 3 | Zemi Vadisi | Açık | Nemli | Toprak üzeri | GD | 4.06.2020 | 1125m | 38° 38'47.00" 34°50'13.00" |
| 4 | Zemi Vadisi | Tam Gölge | Orta | Humus | K | 15.07.2020 | 1360m | 38° 36'39.00" 34°48'40.00" |
| 5 | Kızıl Vadı | Açık | Orta | Çürümekte | K | 25.07.2020 | 1060m | 38° 39'09.00" 34°50'54.00" |
| 6 | Akdağın Kuzeyi | Açık | Kuru | Türf(Kum taşı) | K | 10.10.2020 | 1108m | 38° 40'26.00" 34°52'41.00" |

Yayılışı: Türkiye (A1, A4, B6, B10, C11, C12, C13), Avrupa, Faroe Adaları İskandinavya, Hindistan, Kafkaslar, Kıbrıs, Kuzey Afrika, Kuzey Amerika. Makaronezya.

26. **Bryum radiculosum* Brid.

| S.S. | MEVKİ | Işık | Nem | Substrat | Yön | Tarih | Yük. | GPS(N/E) |
|------|--------------------|--------------|------|----------|-----|------------|-------|----------------------------|
| 1 | Güvercinlik Vadisi | Güneşli | Orta | Toprak | G | 30.05.2020 | 1283m | 38° 37'24.00" 34°48'21.00" |
| 2 | Üzengi Vadisi | Kısmen Gölge | Orta | Humus | K | 29.06.2020 | 1100m | 38° 36'12.00" 34°53'55.00" |

Yayılışı: Türkiye (A2, C11), Avrupa, Kafkaslar, Filistin, Güneydoğu Asya, Japonya, Maderia, Kanarya Adaları, Kuzey Afrika, Bermuda.

27. *Bryum arachnoideum* C. Müll.**

| S.S. | MEVKİ | Işık | Nem | Substrat | Yön | Tarih | Yük. | GPS(N/E) |
|------|--------------|--------------|------|-----------|-----|------------|-------|----------------------------|
| 1 | Zelve Vadisi | Kısmen Gölge | Kuru | Kaya(kut) | K | 16.07.2020 | 1110m | 38° 39'55.00" 34°51'49.00" |

Yayılışı: Asya, Afrika & Madagaskar, Karayıp, Avrupa, Kuzey Amerika, Okyanusya, Orta Amerika, Güney Amerika.

***Imbribryum* Pedersen**

28. **Imbribryum mildeanum* (Jur.) J.R. Spence

| S.S. | MEVKİ | Işık | Nem | Substrat | Yön | Tarih | Yük. | GPS(N/E) |
|------|--------------------|-----------|-------|----------|-----|------------|-------|----------------------------|
| 1 | Güvercinlik Vadisi | Güneşli | Orta | Toprak | GB | 30.05.2020 | 1320m | 38° 37'12.00" 34°48'19.00" |
| 2 | Üzengi Vadisi | Açık | Islak | Kaya | B | 29.06.2020 | 1100m | 38° 36'12.00" 34°53'55.00" |
| 3 | Devrent Vadisi | Tam Gölge | Orta | Toprak | D | 10.08.2020 | 1120m | 38° 40'20.00" 34°53'13.00" |

Yayılışı: Türkiye (A1, A2, A3, A4, B7, C11, C12, C13, C14), Asya, Avrupa, Azor Adaları, Faroe Adaları, Kuzey Amerika.

***Ptychostomum* Hornsch.**

29. **Ptychostomum capillare* (Hedw.) Holyoak & N. Pedersen

| S.S. | MEVKİ | Işık | Nem | Substrat | Yön | Tarih | Yük. | GPS(N/E) |
|------|--------------------------------|--------------|-------|----------|-----|------------|-------|-------------------------------|
| 1 | Sulusaray yolu | Açık | Nemli | Kaya | K | 24.01.2020 | 1200m | 38° 40'60.00" 34°43'46.00" |
| 2 | Güvercinlik Vadisi | Güneşli | Orta | Toprak | G | 30.05.2020 | 1283m | 38° 37'24.00" 34°48'21.00" |
| 3 | Zemi Vadisi | Kısmen Gölge | Orta | Toprak | G | 30.05.2020 | 1115m | 38° 38'10.00" 34°50'17.00" |
| 4 | Kızılıçukur Vadisi | Açık | Orta | Kaya | G | 4.06.2020 | 1197m | 38° 39'14.00" 34°51'43.00" |
| 5 | Gomedha Vadisi | Kısmen Gölge | Orta | Kaya | K | 30.06.2020 | 1210m | 38° 34'24.00" 34°52'25.00" |
| 6 | Zemi Vadisi(Kermil Dağı Giriş) | Tam Gölge | Orta | Toprak | K | 5.07.2020 | 1428m | 38° 36'28.00" 34°48'37.00" |
| 7 | Kızıl Vadı | Açık | Kuru | Toprak | K | 25.07.2020 | 1210m | 38° 39'17.00" 34°51'48.00" |
| 8 | Kızıl Vadı | Kısmen Gölge | Orta | Toprak | K | 25.07.2020 | 1200m | 38° 39'17.00" 34°51'48.00" |
| 9 | Devrent Vadisi | Kısmen Gölge | Kuru | Toprak | K | 11.08.2020 | 1125m | 38° 40'18.00" 34°53'12.00" |
| 10 | Güvercinlik Vadisi | Tam Gölge | Nemli | Kaya | K | 22.08.2020 | 1240m | 38° 37'43.00" 34°48'38.00" |
| 11 | Güvercinlik Vadisi | Açık | Kuru | Toprak | K | 22.08.2020 | 1200m | 38° 37'53.00" 34°48'53.00" |
| 12 | Kermil Dağı Kuzeyi | Açık | Kuru | Toprak | K | 11.10.2020 | 1410m | 38° 36'25.00" 34°48'38.00" |
| 13 | Zemi Vadisi | Tam Gölge | Orta | Toprak | K | 17.10.2020 | 1294m | 38° 36'56.00" 34°49'04.00" |
| 14 | Akdağ(Kuzey) | Kısmen Gölge | Nemli | Toprak | K | 8.11.2020 | 1300m | 38° 39'33.584" 34°51'56.145" |
| 15 | Müze Vadisi | Kısmen Gölge | Orta | Toprak | K | 13.03.2021 | 1161m | 38° 38'16.338" 34°50'41.786" |
| 16 | Bağlı Dere Yolu | Güneşli | Kuru | Kaya | G | 20.05.2021 | 1062m | 38°40'14.1972" 34°48'29.2621" |
| 17 | Bağlı Dere | Güneşli | Kuru | Toprak | G | 20.05.2021 | 1057m | 38°39'58.2232" 34°50'27.0556" |
| 18 | Bağlı Dere | Güneşli | Kuru | Toprak | G | 20.05.2021 | 1125m | 38°39'41.6478" 34°49'28.1936" |
| 19 | Bağlı Dere | Güneşli | Kuru | Toprak | D | 20.05.2021 | 1056m | 38°39'59.2541" 34°50'25.3726" |
| 20 | Bağlı Dere | Güneşli | Kuru | Toprak | B | 20.05.2021 | 1073m | 38°39'49.9262" 34°49'46.6487" |
| 21 | Zemi Vadisi | Kısmen Gölge | Islak | Toprak | K | 27.05.2021 | 1160m | 38°37'35.506" 34°50'09.257" |

Yayılışı: Türkiye (A1, A2, A3, A4, A5, B6, B7, B8, B9, B10, C11, C12, C13), kozmopolit.

30. **Ptychostomum inclinatum* (Sw. ex Brid.) J.R. Spence

| S.S. | MEVKİ | Işık | Nem | Substrat | Yön | Tarih | Yük. | GPS(N/E) |
|------|--------------------------------|--------------|-------|-----------|-----|------------|-------|------------------------------|
| 1 | Akdağ(Kuzey) | Kısmen Gölge | Nemli | Toprak | K | 8.11.2020 | 1315m | 38° 39'28.272" 34°51'59.022" |
| 2 | Akdağ(Kuzey) | Kısmen Gölge | Nemli | Toprak | K | 8.11.2020 | 1318m | 38° 39'27.951" 34°52'00.000" |
| 3 | Zemi Vadisi | Tam Gölge | Orta | Toprak | K | 17.10.2020 | 1250m | 38° 37'02.00" 34°49'19.00" |
| 4 | Kermil Dağı Kuzeyi | Kısmen Gölge | Kuru | Toprak | K | 11.10.2020 | 1430m | 38° 36'20.00" 34°48'38.00" |
| 5 | Kermil Dağı Kuzeyi | Kısmen Gölge | Kuru | Toprak | K | 11.10.2020 | 1430m | 38° 36'20.00" 34°48'38.00" |
| 6 | Akdağ(Bozdağ) | Açık | Kuru | Toprak | K | 3.09.2020 | 1331m | 38° 39'71.00" 34°52'98.00" |
| 7 | Kızıl Vadı | Kısmen Gölge | Nemli | Taş duvar | K | 25.07.2020 | 1060m | 38° 39'09.00" 34°50'54.00" |
| 8 | Zemi Vadisi(Kermil Dağı Giriş) | Kısmen Gölge | Orta | Kaya | K | 5.07.2020 | 1384m | 38° 36'35.00" 34°48'38.00" |
| 9 | Zemi Vadisi(Kermil Dağı Giriş) | Kısmen Gölge | Orta | Toprak | K | 5.07.2020 | 1382m | 38° 36'33.00" 34°48'38.00" |
| 10 | Aşk Vadisi Bağlı Dere | Güneşli | Kuru | Kaya | GB | 9.06.2020 | 1108m | 38° 40'46.00" 34°50'58.00" |
| 11 | Zemi Vadisi | Kısmen Gölge | Orta | Toprak | G | 30.05.2020 | 1115m | 38° 38'10.00" 34°50'17.00" |
| 12 | Güvercinlik Vadisi | Güneşli | Orta | Toprak | G | 30.05.2020 | 1283m | 38° 37'24.00" 34°48'21.00" |

Yayılışı: Türkiye (A1, A2.A3, A4, B6, B7, C11, C12, C13), Grönland, İzlanda, Kuzey Asya, Kuzey Amerika, Svalbard.

31. **Ptychostomum pallens* (Sw. ex anon.) J.R. Spence

| S.S. | MEVKİ | Işık | Nem | Substrat | Yön | Tarih | Yük. | GPS(N/E) | |
|------|--------------------|--------------|-------|------------------|-----|------------|-------|-----------------|----------------|
| 1 | Güvercinlik Vadisi | Güneşli | Orta | Toprak | B | 30.05.2020 | 1308m | 38° 37'23.00" | 34°48'21.00" |
| 2 | Gomeda Vadisi | Kısmen Gölge | Orta | Kaya | K | 30.06.2020 | 1190m | 38° 35'44.00" | 34°52'22.00" |
| 3 | Kermil Dağı | Kısmen Gölge | Kuru | Crategers altı | KB | 4.07.2020 | 1417m | 38° 36'13.00" | 34°49'30.00" |
| 4 | Zemi Vadisi | Kısmen Gölge | Nemli | Ağaç(Söğüt sp.) | K | 5.07.2020 | 1384m | 38° 36'35.00" | 34°48'38.00" |
| 5 | Zemi Vadisi | Kısmen Gölge | Orta | Ağaç kökü | K | 5.07.2020 | 1380m | 38° 36'35.00" | 34°48'38.00" |
| 6 | Zemi Vadisi | Kısmen Gölge | Nemli | Toprak | K | 5.07.2020 | 1380m | 38° 36'35.00" | 34°48'38.00" |
| 7 | Zemi Vadisi | Tam Gölge | Orta | Toprak | K | 15.07.2020 | 1360m | 38° 36'39.00" | 34°48'40.00" |
| 8 | Zemi Vadisi | Tam Gölge | Orta | Kaya | K | 15.07.2020 | 1340m | 38° 36'43.00" | 34°48'48.00" |
| 9 | Zemi Vadisi | Tam Gölge | Nemli | Kütük(Çürümekte) | K | 15.07.2020 | 1290m | 38° 36'46.00" | 34°48'59.00" |
| 10 | Zelve Vadisi | Kısmen Gölge | Orta | Toprak | K | 16.07.2020 | 1100m | 38° 40'01.00" | 34°51'51.00" |
| 11 | Rose Valley | Kısmen Gölge | Orta | Kütük(Çürümekte) | K | 25.07.2020 | 1090m | 38° 39'22.00" | 34°51'13.00" |
| 12 | Güvercinlik Vadisi | Kısmen Gölge | Kuru | Ağaç(İğde) | K | 22.08.2020 | 1240m | 38° 37'43.00" | 34°48'38.00" |
| 13 | Güvercinlik Vadisi | Kısmen Gölge | Orta | Toprak | K | 23.08.2020 | 1200m | 39° 37'59.00" | 34°48'58.00" |
| 14 | Güvercinlik Vadisi | Tam Gölge | Nemli | Kaya | K | 23.08.2020 | 1160m | 38° 37'59.00" | 34°49'04.00" |
| 15 | Güvercinlik Vadisi | Kısmen Gölge | Kuru | Kaya | K | 23.08.2020 | 1170m | 38° 37'56.00" | 34°49'00.00" |
| 16 | Zemi Vadisi | Kısmen Gölge | Nemli | Kaya | K | 17.10.2020 | 1293m | 38° 36'20.00" | 34°49'81.00" |
| 17 | Zemi Vadisi | Tam Gölge | Orta | Kaya | K | 17.10.2020 | 1249m | 38° 37'12.00" | 34°49'36.00" |
| 18 | Kermil Dağı Kuzeyi | Kısmen Gölge | Nemli | Toprak | K | 14.11.2020 | 1473m | 38° 36'20.600" | 34°48'42.336" |
| 19 | Akdağ(Kuzey) | Kısmen Gölge | Nemli | Toprak | K | 6.03.2021 | 1205m | 38° 40'05.443" | 34°52'57.708" |
| 20 | Zemi Vadisi | Açık | Nemli | Ağaç(Söğüt) | D | 21.03.2021 | 1358m | 38° 36'38.0540" | 34°48'38.8501" |
| 21 | Zemi Vadisi | Açık | Nemli | Toprak | B | 21.03.2021 | 1363m | 38° 37'31.1822" | 34°49'5.9021" |
| 22 | Bağlı Dere Yolu | Güneşli | Kuru | Kata | G | 20.05.2021 | 1062m | 38°40'14.1972" | 34°48'29.2621" |
| 23 | Zemi Vadisi | Kısmen Gölge | İslak | Kaya(kut) | K | 27.05.2021 | 1170m | 38°37'31.526" | 34°50'06.618" |

Yayılışı: Türkiye (A1, A2, A3, A4, B6, B8, B10, C11, C13), Asya, Avrupa, Çin, Ekvador, Faroe Adaları, İzlanda, Kafkasya, İran, Nepal, Japonya, Tenerife, Kuzey ve Orta Afrika, Kuzey Amerika, Grönland, Peru.

32. **Ptychostomum imbricatum* (Müll. Hal.) Holyoak & N. Pedersen

| S.S. | MEVKİ | Işık | Nem | Substrat | Yön | Tarih | Yük. | GPS(N/E) | |
|------|--------------------|--------------|-------|--------------|-----|------------|-------|-----------------|---------------|
| 1 | Güvercinlik Vadisi | Kısmen Gölge | Orta | Toprak | B | 22.08.2020 | 1220m | 38° 37'49.00" | 34°48'44.00" |
| 2 | Akdağ(Bozdağ) | Güneşli | Kuru | Kaya | K | 3.09.2020 | 1331m | 38° 39'71.00" | 34°52'98.00" |
| 3 | Akdağ(Bozdağ) | Güneşli | Kuru | Toprak | K | 3.09.2020 | 1331m | 38° 39'71.00" | 34°52'98.00" |
| 4 | Zemi Vadisi | Kısmen Gölge | Orta | Devrik kütük | K | 17.10.2020 | 1271m | 38° 37'03.00" | 34°49'23.00" |
| 5 | Akdağ(Kuzey) | Tam Gölge | Nemli | Kaya | K | 8.11.2020 | 1316m | 38° 39'26.002" | 34°52'00.330" |
| 6 | Kermil Dağı Kuzeyi | Kısmen Gölge | Nemli | Toprak | K | 14.11.2020 | 1462m | 38° 38'20.177" | 34°51'38.169" |
| 7 | Kermil Dağı Kuzeyi | Kısmen Gölge | Nemli | Toprak | KB | 14.11.2020 | 1452m | 38° 36'20.163" | 34°48'40.464" |
| 8 | Zemi Vadisi | Açık | Nemli | Toprak | B | 21.03.2021 | 1363m | 38° 37'31.1822" | 34°49'5.9021" |

Yayılışı: Türkiye (A1, A2, A3, A4, B6, B7, B8, B9, B10, C11, C12, C13, C14), kozmopolit.

33. **Ptychostomum bornholmense* (Wink. & R. Ruthe) Holyoak & N. Pedersen

| S.S. | MEVKİ | Işık | Nem | Substrat | Yön | Tarih | Yük. | GPS(N/E) |
|------|--|--------------|-------|----------|-----|------------|-------|------------------------------|
| 1 | Üzengi Vadisi(Havariler Kilisesi Yani) | Kısmen Gölge | Islak | Beton | K | 28.11.2020 | 1128m | 38° 35'58.857" 34°53'35.929" |

Yayılışı: Türkiye (A1, A2, B6, B7), Asya, Afrika & Madagaskar, Karayıp, Avrupa, Kuzey Amerika, Okyanusya, Orta Amerika, Güney Amerika.

Dicranaceae Schimp.

***Dicranella* (Müll.Hal.) Schimp.**

34. **Dicranella heteromalla* (Hedw.) Schimp.

| S.S. | MEVKİ | Işık | Nem | Substrat | Yön | Tarih | Yük. | GPS(N/E) |
|------|--------------------|--------------|-------|----------|-----|------------|-------|------------------------------|
| 1 | Kermil Dağı Kuzeyi | Kısmen Gölge | Kuru | Kaya | K | 11.10.2020 | 1435m | 38° 36'20.00" 34°48'38.00" |
| 2 | Kermil Dağı Kuzeyi | Kısmen Gölge | Nemli | Toprak | K | 14.11.2020 | 1473m | 38° 36'20.600" 34°48'42.336" |

Yayılışı: Türkiye (A1, A2, A3, A4, A5, B6, C11, C12, C13), Bolivya, Faroe Adaları, Himalayalar İskandinavya, İzlanda, Kafkaslar, Kenya, Kuzey Amerika, Kuzey Avrupa, Lübnan, Malezya, Makaronezya.

Ditrichaceae Limpr.

***Ceratodon* Brid.**

35. **Ceratodon purpureus* (Hedw.) Brid.

| S.S. | MEVKİ | Işık | Nem | Substrat | Yön | Tarih | Yük. | GPS(N/E) |
|------|--|--------------|-------|----------|-----|------------|-------|----------------------------|
| 1 | 15 Temmuz Mahallesi Alparslan Türkeş Bulvarı | Açık | Nemli | Toprak | B | 24.02.2020 | 1206m | 38° 39'29.00" 34°44'14.00" |
| 2 | Açık Hava Müzesi Yılaklı Kilisesinin Üstü | Açık | Nemli | Kaya | B | 4.06.2020 | 1117m | 38° 38'24.00" 34°50'49.00" |
| 3 | Kızıl Vadı | Tam Gölge | Orta | Kaya | K | 25.07.2020 | 1170m | 38° 39'15.00" 34°51'39.00" |
| 4 | Devrent Vadisi | Kısmen Gölge | Kuru | Toprak | K | 10.08.2020 | 1112m | 38° 40'20.00" 34°53'13.00" |

Yayılışı: Türkiye (A1, A2, A4, A5, B6, B7, B8, C11, C14), Kozmopolit.

***Distichium* Bruch & Schimp.**

36. **Distichium inclinatum* (Hedw.) Bruch & Schimp.

| S.S. | MEVKİ | Işık | Nem | Substrat | Yön | Tarih | Yük. | GPS(N/E) |
|------|---------------|--------------|-------|----------|-----|------------|-------|----------------------------|
| 1 | Gomedâ Vadisi | Kısmen Gölge | Orta | Kil | K | 30.06.2020 | 1190m | 38° 35'44.00" 34°52'22.00" |
| 2 | Gomedâ Vadisi | Tam Gölge | Nemli | Tüf | K | 30.06.2020 | 1190m | 38° 34'29.00" 34°52'19.00" |

Yayılışı: Türkiye (A1, A2, A4), Asya, Afrika & Madagaskar, Karayıp, Avrupa, Kuzey Amerika, Okyanusya, Orta Amerika, Güney Amerika.

Ditrichum Timm ex Hampe

37. **Ditrichum pusillum* (Hedw.) Hampe

| S.S. | MEVKİ | İşik | Nem | Substrat | Yön | Tarih | Yük. | GPS(N/E) |
|------|------------|-----------|------|----------|-----|------------|-------|----------------------------|
| 1 | Kızıl Vadı | Tam Gölge | Orta | Toprak | K | 25.07.2020 | 1170m | 38° 39'15.00" 34°51'39.00" |

Yayılışı: Türkiye (A1, A2, A4, C12), Asya, Afrika & Madagaskar, Karayip, Avrupa, Kuzey Amerika, Okyanusya, Orta Amerika, Güney Amerika.

Flexitrichum Ignatov & Fedosov

38. **Flexitrichum flexicaule* (Schwägr.) Ignatov & Fedosov

| S.S. | MEVKİ | İşik | Nem | Substrat | Yön | Tarih | Yük. | GPS(N/E) |
|------|-----------------------|-----------|------|----------|-----|------------|-------|----------------------------|
| 1 | Aynalı Kilise Çevresi | Tam Gölge | Kuru | Kaya | K | 24.10.2020 | 1259m | 38° 38'11.00" 34°51'09.00" |

Yayılışı: Türkiye (A1, A2, A3, A4, C11, C12),

Encalyptaceae Schimp.

Encalypta Hedw.

39. **Encalypta vulgaris* Hedw.

| S.S. | MEVKİ | İşik | Nem | Substrat | Yön | Tarih | Yük. | GPS(N/E) |
|------|--|--------------|-------|----------|-----|------------|-------|--------------------------------|
| 1 | Sulusaray yolu | Açık | Nemli | Kaya | K | 24.01.2020 | 1200m | 38° 40'60.00" 34°43'46.00" |
| 2 | 15 Temmuz Mahallesi Alparslan Türkeş Bulvari | Açık | Nemli | Toprak | B | 24.02.2020 | 1206m | 38° 39'29.00" 34°44'14.00" |
| 3 | Güvercinlik Vadisi | Güneşli | Orta | Toprak | G | 30.05.2020 | 1281m | 38° 37'46.00" 34°48'13.00" |
| 4 | Güvercinlik Vadisi | Güneşli | Orta | Kaya | B | 30.05.2020 | 1308m | 38° 37'23.00" 34°48'21.00" |
| 5 | Kızılıçukur Vadisi | Açık | Orta | Toprak | G | 4.06.2020 | 1214m | 38° 38'52.00" 34°49'47.00" |
| 6 | Akdağ(Kuzey) | Açık | Nemli | Toprak | K | 6.03.2021 | 1100m | 38° 40'20.31" 34°53'04.274" |
| 7 | Akdağ(Kuzey) | Açık | Kuru | Toprak | K | 6.03.2021 | 1245m | 38° 40'01.549" 34°52'56.949" |
| 8 | Ortahisar | Kısmen Gölge | Kuru | Toprak | K | 7.03.2021 | 1243m | 38° 38'08.21" 34°51'43.34" |
| 9 | Zemi Vadisi | Açık | Nemli | Toprak | B | 21.03.2021 | 1363m | 38° 37'31.1822" 34°49'5.9021" |
| 10 | Sulusaray yolu | Açık | Kuru | Kaya | GD | 21.03.2021 | 1172m | 38° 41'28.2336" 34°43'53.9892" |
| 11 | Tekeli Tepe | Tam Gölge | Nemli | Kaya | B | 28.03.2021 | 1090m | 38° 38'22.054" 34°48'15.815" |

Yayılışı: Türkiye (A1, A2, A3, A4, A5, B6 B7, B8, B9, C11, C12, C13, C14), Afrika, Avrupa, Batı ve Orta Asya, Çin, Madeira, Kanarya adaları, Kuzey ve Orta Amerika, Tazmanya, Yeni Gine, Yeni Zelanda.

Funariaceae Schwägr.

Funaria Schwägr.

40. **Funaria hygrometrica* Hedw.

| S.S. | MEVKİ | Işık | Nem | Substrat | Yön | Tarih | Yük. | GPS(N/E) |
|------|--------------------|--------------|-------|-----------|-----|------------|-------|-----------------------------|
| 1 | Sulusaray yolu | Açık | Nemli | Kaya | K | 24.01.2020 | 1200m | 38° 40'60.00" 34°43'46.00" |
| 2 | Güvercinlik Vadisi | Güneşli | Orta | Toprak | G | 30.05.2020 | 1281m | 38° 37'46.00" 34°48'13.00" |
| 3 | Güvercinlik Vadisi | Güneşli | Orta | Toprak | GB | 30.05.2020 | 1320m | 38° 37'12.00" 34°48'19.00" |
| 4 | Zemi Vadisi | Kısmen Gölge | Orta | Kaya | G | 30.05.2020 | 1115m | 38° 38'10.00" 34°50'17.00" |
| 5 | Zemi Vadisi | Güneşli | Orta | Kaya | KB | 4.06.2020 | 1133m | 38° 37'57.00" 34°50'19.00" |
| 6 | Zemi Vadisi | Kısmen Gölge | Islak | Kaya(kut) | K | 27.05.2021 | 1170m | 38°37'31.526" 34°50'06.618" |

Yayılışı: Türkiye (A1, A2, A3, A4, A5, B6, B7, B8, B10, C11, C12, C13, C14, C15), Kozmopolit.

Grimmiaceae Arn.

***Grimmia* Hedw.**

41. **Grimmia ovalis* (Hedw.) Lindb.

| S.S. | MEVKİ | Işık | Nem | Substrat | Yön | Tarih | Yük. | GPS(N/E) |
|------|---------------------------|--------------|-------|----------|-----|------------|-------|------------------------------|
| 1 | Gomeda Vadisi | Kısmen Gölge | Orta | Kaya | K | 30.06.2020 | 1190m | 38° 35'44.00" 34°52'22.00" |
| 2 | Güvercinlik Vadisi | Kısmen Gölge | Kuru | Kaya | K | 23.08.2020 | 1170m | 38° 37'56.00" 34°49'00.00" |
| 3 | Kermil Dağı Kuzeyi | Açık | Kuru | Kaya | K | 11.10.2020 | 1470m | 38° 37'23.00" 34°48'28.00" |
| 4 | Kermil Dağı Kuzeyi | Kısmen Gölge | Nemli | Kaya | KB | 14.11.2020 | 1531m | 38° 36'15.431" 34°48'57.468" |
| 5 | Kermil Dağı Kuzeyi | Kısmen Gölge | Nemli | Toprak | K | 14.11.2020 | 1544m | 38° 36'14.243" 34°48'58.240" |
| 6 | NHBV Üniversitesi Kampüsü | Kısmen gölge | Orta | Toprak | K | 9.01.2020 | 1200m | 38° 40'36.00" 34°43'57.00" |

Yayılışı: Türkiye (A1, A2, A3, A4, A5, B6, B7, B8, B9, B10, C11, C12, C13, C14, C15), Avrupa, ılıman ve tropikal Asya, Guatemala, Kanarya Adaları, Kuzey Afrika, Kuzey Amerika, Madeira, Meksika.

42. **Grimmia pulvinata* (Hedw.) Sm.

| S.S. | MEVKİ | Işık | Nem | Substrat | Yön | Tarih | Yük. | GPS(N/E) |
|------|--|--------------|-------|-----------|-----|------------|-------|----------------------------|
| 1 | NHBV Üniversitesi Kampüsü | Açık | Nemli | Toprak | D | 17.01.2020 | 1120m | 38° 40'36.00" 34°43'57.00" |
| 2 | 15 Temmuz Mahallesi Alparslan Türkeş Bulvari | Açık | Nemli | Toprak | K | 24.02.2020 | 1206m | 38° 39'29.00" 34°44'14.00" |
| 3 | Güvercinlik Vadisi | Güneşli | Orta | Toprak | GB | 30.05.2020 | 1320m | 38° 37'12.00" 34°48'19.00" |
| 4 | Zemi Vadisi | Güneşli | Orta | Toprak | GD | 4.06.2020 | 1132m | 38° 38'01.00" 34°50'13.00" |
| 5 | Gomeda Vadisi | Kısmen Gölge | Orta | Kaya | K | 30.06.2020 | 1190m | 38° 35'44.00" 34°52'22.00" |
| 6 | Zemi Vadisi | Tam Gölge | Orta | Kaya | K | 15.07.2020 | 1340m | 38° 36'43.00" 34°48'48.00" |
| 7 | Zelve Vadisi | Kısmen Gölge | Kuru | Kaya | K | 16.07.2020 | 1100m | 38° 40'01.00" 34°51'51.00" |
| 8 | Zelve Vadisi | Kısmen Gölge | Kuru | Kaya(kut) | K | 16.07.2020 | 1110m | 38° 39'55.00" 34°51'49.00" |
| 9 | Kızıl Vadı | Kısmen Gölge | Nemli | Taş duvar | K | 25.07.2020 | 1060m | 38° 39'09.00" 34°50'54.00" |
| 10 | Rose Valley | Kısmen Gölge | Orta | Taş duvar | K | 25.07.2020 | 1107m | 38° 39'22.00" 34°51'13.00" |
| 11 | Devrent Vadisi | Kısmen Gölge | Kuru | Kaya(kut) | D | 11.08.2020 | 1095m | 38° 40'39.00" 34°52'56.00" |
| 12 | Devrent Vadisi | Kısmen Gölge | Kuru | Toprak | K | 11.08.2020 | 1125m | 38° 40'18.00" 34°53'12.00" |
| 13 | Devrent Vadisi | Kısmen Gölge | Kuru | Kaya | K | 11.08.2020 | 1125m | 38° 40'18.00" 34°53'12.00" |
| 14 | Güvercinlik Vadisi | Açık | Kuru | Kaya | K | 22.08.2020 | 1180m | 38° 37'56.00" 34°48'59.00" |
| 15 | Güvercinlik Vadisi | Kısmen Gölge | Kuru | Kaya | K | 23.08.2020 | 1170m | 38° 37'56.00" 34°49'00.00" |

42 (devam). **Grimmia pulvinata* (Hedw.) Sm.

| S.S. | MEVKİ | Işık | Nem | Substrat | Yön | Tarih | Yük. | GPS(N/E) |
|------|--|--------------|-------|------------------|-----|------------|-------|------------------------------|
| 16 | Güvercinlik Vadisi | Tam Gölge | Nemli | Kaya | K | 23.08.2020 | 1206m | 38° 37'51.00" 34°49'01.00" |
| 17 | Güvercinlik Vadisi | Kısmen Gölge | Kuru | Kaya | K | 23.08.2020 | 1200m | 38° 37'51.00" 34°49'01.00" |
| 18 | Akdağın Kuzeyi | Açık | Kuru | Kaya | K | 10.10.2020 | 1127m | 38° 40'35.00" 34°52'42.00" |
| 19 | Akdağın Kuzeyi | Açık | Kuru | Kaya(kut) | K | 10.10.2020 | 1132m | 38° 40'20.00" 34°52'44.00" |
| 20 | Kermil Dağı Kuzeyi | Kısmen Gölge | Kuru | Kaya | K | 11.10.2020 | 1435m | 38° 36'20.00" 34°48'38.00" |
| 21 | Kermil Dağı Kuzeyi | Kısmen Gölge | Kuru | Kaya | K | 11.10.2020 | 1511m | 38° 36'18.00" 34°48'32.00" |
| 22 | Kermil Dağı Kuzeyi | Açık | Kuru | Kaya | K | 11.10.2020 | 1470m | 38° 37'23.00" 34°48'28.00" |
| 23 | Zemi Vadisi | Tam Gölge | Kuru | Gövde | K | 17.10.2020 | 1270m | 38° 36'59.00" 34°49'05.00" |
| 24 | Aynalı Kilise Çevresi | Kısmen Gölge | Kuru | Kaya | K | 24.10.2020 | 1259m | 38° 38'11.00" 34°51'09.00" |
| 25 | Aynalı Kilise Vadisi | Tam Gölge | Orta | Kaya(kut) | K | 24.10.2020 | 1193m | 38° 38'10.00" 34°50'56.00" |
| 26 | Aynalı Kilise Vadisi | Tam Gölge | Kuru | Kaya | K | 24.10.2020 | 1179m | 38° 38'10.00" 34°50'53.00" |
| 27 | Aynalı Kilise Vadisi | Tam Gölge | Orta | Kaya | K | 24.10.2020 | 1193m | 38° 38'10.00" 34°50'52.00" |
| 28 | Aynalı Kilise Vadisi | Kısmen Gölge | Kuru | Kaya | K | 24.10.2020 | 1262m | 38° 38'00.00" 34°51'02.00" |
| 29 | Akdağ(Zirve) | Kısmen Gölge | Nemli | Kaya | K | 8.11.2020 | 1326m | 38° 39'25.745" 34°52'00.731" |
| 30 | Akdağ(Kuzey) | Tam Gölge | Nemli | Kaya | K | 8.11.2020 | 1305m | 38° 39'31.609" 34°51'57.556" |
| 31 | Kermil Dağı Kuzeyi | Kısmen Gölge | Nemli | Kaya(kit) | KB | 14.11.2020 | 1452m | 38° 36'20.163" 34°48'40.464" |
| 32 | Kermil Dağı Kuzeyi | Kısmen Gölge | Nemli | Kaya | K | 14.11.2020 | 1481m | 38° 36'20.445" 34°48'43.404" |
| 33 | Kermil Dağı Kuzeyi | Açık | Orta | Kaya | K | 14.11.2020 | 1492m | 38° 36'19.441" 34°48'43.989" |
| 34 | Kermil Dağı Kuzeyi | Kısmen Gölge | Nemli | Kaya | K | 14.11.2020 | 1541m | 38° 36'14.243" 34°48'58.240" |
| 35 | Üzengi Vadisi(Havariler Kilisesi Yanı) | Tam Gölge | Nemli | Kütük(çürümekte) | K | 28.11.2020 | 1129m | 38° 36'09.090" 34°53'52.421" |
| 36 | Üzengi Vadisi(Havariler Kilisesi Yanı) | Tam Gölge | Nemli | Kaya(kut) | K | 28.11.2020 | 1133m | 38° 36'08.875" 34°53'51.892" |
| 37 | Üzengi Vadisi(Havariler Kilisesi Yanı) | Kısmen Gölge | İslak | Beton | K | 28.11.2020 | 1128m | 38° 35'58.857" 34°53'35.929" |
| 38 | Üzengi Vadisi(Havariler Kilisesi Yanı) | Tam Gölge | Nemli | Kaya | K | 28.11.2020 | 1129m | 38° 36'08.961" 34°53'51.363" |
| 39 | Üzengi Vadisi(Havariler Kilisesi Yanı) | Tam Gölge | Orta | Kaya(kut) | K | 28.11.2020 | 1135m | 38° 35'58.095" 34°53'36.304" |
| 40 | Üzengi Vadisi(Havariler Kilisesi Yanı) | Tam Gölge | Orta | Kaya(kut) | K | 28.11.2020 | 1148m | 38° 35'47.839" 34°53'21.481" |
| 41 | Gomed Vadisi | Tam Gölge | Nemli | Kaya(kut) | K | 28.11.2020 | 1155m | 38° 35'40.813" 34°53'02.701" |
| 42 | Ortahisar | Kısmen Gölge | Kuru | Kaya | K | 7.03.2021 | 1231m | 38° 38'10.69" 34°51'39.40" |
| 43 | Müze Vadisi | Kısmen Gölge | Nemli | Toprak (kö) | D | 13.03.2021 | 1131m | 38° 38'22.020" 34°50'34.550" |
| 44 | Gomed Vadisi | Açık | Orta | Kaya | K | 30.06.2020 | 1190m | 38° 34'29.00" 34°52'19.00" |

Yayılışı: Türkiye (A1, A2, A3, A4, A5, B6, B7, B8, B9, B10, C11, C12, C13, C14), Kozmopolit.

43. *Grimmia laevigata* (Brid.) Brid.

| S.S. | MEVKİ | Işık | Nem | Substrat | Yön | Tarih | Yük. | GPS(N/E) |
|------|----------------|-----------|-------|----------|-----|------------|-------|------------------------------|
| 1 | Tekeli Tepe | Tam Gölge | Nemli | Kaya | B | 28.03.2021 | 1095m | 38° 38'22.780" 34°48'26.320" |
| 2 | Sulusaray yolu | Açık | Nemli | Kaya | K | 24.01.2020 | 1200m | 38° 40'60.00" 34°43'46.00" |

Yayılışı: Türkiye (A1, A2, A3, A4, A5, B6, B7, B8, B9, B10, C11, C12, C13, C14,C15), Akdeniz Bölgesi’nden Güney İskandinavya’ya, Arjantin, Brezilya, Kıbrıs, Kafkasya, İliman ve Tropik Asya, Makaronezya, Şili, Hawaï.

44. **Grimmia crinita* Brid.

| S.S. | MEVKİ | Işık | Nem | Substrat | Yön | Tarih | Yük. | GPS(N/E) |
|------|--|--------------|-------|-----------|-----|------------|-------|----------------------------|
| 1 | Güvercinlik Vadisi | Güneşli | Orta | Toprak | G | 30.05.2020 | 1283m | 38° 37'24.00" 34°48'21.00" |
| 2 | Güvercinlik Vadisi | Güneşli | Orta | Sarı tuf | G | 30.05.2020 | 1280m | 38° 37'38.00" 34°48'40.00" |
| 3 | Açık Hava Müzesi Yılanlı Kilisesi Yanı | Açık | Nemli | Kaya | KD | 4.06.2020 | 1147m | 38° 38'26.00" 34°51'01.00" |
| 4 | Gomed Vadisi | Kısmen Gölge | Orta | Vertikal | K | 30.06.2020 | 1190m | 38° 35'44.00" 34°52'22.00" |
| 5 | Akdağın Kuzeyi | Açık | Kuru | Kaya(Kut) | K | 10.10.2020 | 1099m | 38° 40'37.00" 34°52'38.00" |

Yayılışı: Türkiye (B8, B9, C14) Asya, Afrika & Madagaskar, Karayıp, Avrupa, Kuzey Amerika, Okyanusya, Orta Amerika, Güney Amerika.

45. *Grimmia plagiopodia* Hedw.

| S.S. | MEVKİ | Işık | Nem | Substrat | Yön | Tarih | Yük. | GPS(N/E) |
|------|---------------|------|------|----------|-----|------------|-------|----------------------------|
| 1 | Gomeda Vadisi | Açık | Orta | Kaya | K | 30.06.2020 | 1190m | 38° 34'29.00" 34°52'19.00" |

Yayılışı: Türkiye (A5, B6, B8, B10, C13) Asya, Afrika & Madagaskar, Karayıp, Avrupa, Kuzey Amerika, Okyanusya, Orta Amerika, Güney Amerika.

46. **Grimmia tergestina* Tomm. ex Bruch & Schimp.

| S.S. | MEVKİ | Işık | Nem | Substrat | Yön | Tarih | Yük. | GPS(N/E) |
|------|--------------------|--------------|-------|-----------|-----|------------|-------|------------------------------|
| 1 | Zelve Vadisi | Açık | Kuru | Kaya(kut) | K | 16.07.2020 | 1000m | 38° 41'17.00" 34°48'27.00" |
| 2 | Kermil Dağı Kuzeyi | Kısmen Gölge | Nemli | Toprak | K | 14.11.2020 | 1473m | 38° 36'20.600" 34°48'42.336" |

Yayılışı: Türkiye (A3, A4, B6, B7, B9, B10, C11, C12, C13, C14) Asya, Batı, Güney ve Orta Avrupa, Bolivya, Kanarya Adaları (Tenerife), Karayıpler, Meksika, Peru.

***Schistidium* Bruch & Schimp.**

47. **Schistidium helveticum* (Schkuhr) Deguchi

| S.S. | MEVKİ | Işık | Nem | Substrat | Yön | Tarih | Yük. | GPS(N/E) |
|------|--------------------|------|------|----------|-----|------------|-------|----------------------------|
| 1 | Güvercinlik Vadisi | Açık | Kuru | Tüf | K | 22.08.2020 | 1200m | 38° 37'53.00" 34°48'53.00" |

Yayılışı: Türkiye (A1, A4, A5, B6, B7, B9, B10, C11, C12, C13), Güney Batı Asya, Irak, İran, Kuzey Afrika, Orta ve Güney Avrupa.

***Coscinodon* Spreng.**

48. *Coscinodon monchiquensis* R.D. Porley, Ochyra & Ignatova**

| S.S. | MEVKİ | Işık | Nem | Substrat | Yön | Tarih | Yük. | GPS(N/E) |
|------|-------------|-----------|-------|----------|-----|------------|-------|------------------------------|
| 1 | Tekeli Tepe | Tam Gölge | Nemli | Kaya | B | 28.03.2021 | 1095m | 38° 38'22.780" 34°48'26.320" |

Yayılışı: Güney Portekiz

Hypnaceae Schimp.

***Hypnum* Hedw.**

49. **Hypnum cupressiforme* Hedw.

| S.S. | MEVKİ | Işık | Nem | Substrat | Yön | Tarih | Yük. | GPS(N/E) |
|------|-------------|-----------|------|----------|-----|------------|-------|----------------------------|
| 1 | Zemi Vadisi | Tam Gölge | Orta | Kütük | K | 15.07.2020 | 1360m | 38° 36'39.00" 34°48'40.00" |

Yayılışı: Türkiye (A1, A2, A3, A4, A5, B6, B7, C11, C12, C13), Dünya üzerinde yaygın.

Leucodontaceae Schimp.

Leucodon Schwägr.

50. **Leucodon immersus* Lindb.

| S.S. | MEVKİ | Işık | Nem | Substrat | Yön | Tarih | Yük. | GPS(N/E) |
|------|--------------------|--------------|-------|----------|-----|------------|-------|------------------------------|
| 1 | Kermil Dağı Kuzeyi | Kısmen Gölge | Kuru | Kaya | K | 11.10.2020 | 1511m | 38° 36'18.00" 34°48'32.00" |
| 2 | Kermil Dağı Kuzeyi | Tam Gölge | Kuru | Kaya | K | 11.10.2020 | 1490m | 38° 36'18.00" 34°48'33.00" |
| 3 | Kermil Dağı Kuzeyi | Açık | Orta | Kaya | K | 14.11.2020 | 1492m | 38° 36'19.441" 34°48'43.989" |
| 4 | Kermil Dağı Kuzeyi | Tam Gölge | Nemli | Kaya | K | 14.11.2020 | 1505m | 38° 36'19.420" 34°48'51.147" |

Yayılışı: Türkiye (A2, A3, A4, B7, B8), Asya, Afrika & Madagaskar, Karayıp, Avrupa, Kuzey Amerika, Okyanusya, Orta Amerika, Güney Amerika.

Mniaceae Schwägr.

Pohlia Hedw.

51. **Pohlia lescuriana* (Sull.) Ochi

| S.S. | MEVKİ | Işık | Nem | Substrat | Yön | Tarih | Yük. | GPS(N/E) |
|------|--------------------|--------------|-------|--------------|-----|------------|-------|-----------------------------|
| 1 | Güvercinlik Vadisi | Kısmen Gölge | Islak | Toprak üzeri | K | 23.08.2020 | 1200m | 40° 37'59.00" 34°48'58.00" |
| 2 | Güvercinlik Vadisi | Kısmen Gölge | Islak | Toprak üzeri | K | 23.08.2020 | 1200m | 38° 37'51.00" 34°49'01.00" |
| 3 | Zemi Vadisi | Kısmen Gölge | Orta | Kaya kütlesi | K | 17.10.2020 | 1263m | 38° 37'04.00" 34°49'26.00" |
| 4 | Zemi Vadisi | Tam Gölge | Nemli | Vertikal | K | 27.05.2021 | 1210m | 38°37'18.158" 34°49'51.551" |

Yayılışı: Asya, Afrika & Madagaskar, Karayıp, Avrupa, Kuzey Amerika, Okyanusya, Orta Amerika, Güney Amerika.

Orthotrichaceae Arn.

Orthotrichum Hedw.

52. **Orthotrichum pellucidum* Lindb.

| S.S. | MEVKİ | Işık | Nem | Substrat | Yön | Tarih | Yük. | GPS(N/E) |
|------|----------------|------|-------|----------|-----|------------|-------|----------------------------|
| 1 | Sulusaray yolu | Açık | Nemli | Kaya | K | 24.01.2020 | 1200m | 38° 40'60.00" 34°43'46.00" |

Yayılışı: Türkiye (B8), Asya, Afrika & Madagaskar, Karayıp, Avrupa, Kuzey Amerika, Okyanusya, Orta Amerika, Güney Amerika.

53. **Orthotrichum alpestre* Bruch & Schimp.

| S.S. | MEVKİ | Işık | Nem | Substrat | Yön | Tarih | Yük. | GPS(N/E) |
|------|--------------------------------|-----------|------|-------------|-----|------------|-------|----------------------------|
| 1 | Zemi Vadisi(Kermil Dağı Giriş) | Tam Gölge | Kuru | Ağaç(Söğüt) | K | 5.07.2020 | 1420m | 38° 36'28.00" 34°48'37.00" |
| 2 | Güvercinlik Vadisi | Güneşli | Orta | Toprak | G | 30.05.2020 | 1281m | 38° 37'46.00" 34°48'13.00" |

Yayılışı: Türkiye (A1, A2, A4, B7, C12), Asya, Avrupa, Pasifik Adaları (Yeni Zelanda).

54. **Orthotrichum diaphanum* Brid.

| S.S. | MEVKİ | Işık | Nem | Substrat | Yön | Tarih | Yük. | GPS(N/E) |
|------|--------------------------------|-----------|------|-------------|-----|------------|-------|----------------------------|
| 1 | Güvercinlik Vadisi | Güneşli | Orta | Toprak | GB | 30.05.2020 | 1320m | 38° 37'12.00" 34°48'19.00" |
| 2 | Aşk Vadisi Bağlı Dere | Güneşli | Kuru | Kaya | GB | 9.06.2020 | 1108m | 38° 40'46.00" 34°50'58.00" |
| 3 | Gomeda Vadisi | Tam Gölge | Orta | Kaya | K | 30.06.2020 | 1190m | 38° 34'29.00" 34°52'19.00" |
| 4 | Zemi Vadisi/Kermil Dağı Giriş) | Tam Gölge | Orta | Ağaç(Söğüt) | D | 15.07.2020 | 1360m | 38° 36'36.00" 34°48'38.00" |

Yayılışı: Türkiye (A1, A2, A3, A4, B6, B7, C11, C12, C13), Afrika, Amerika, Asya, Avrupa, Azor Adaları, Ekvator, Faroe Adaları, Hawaï, Kafkasya, Kıbrıs, La Palma, Madeira, Makaronezya, Meksika, Norveç, Sibirya, Tenerife.

55. **Orthotrichum anomalum* Hedw.

| S.S. | MEVKİ | Işık | Nem | Substrat | Yön | Tarih | Yük. | GPS(N/E) |
|------|--------------------|---------|------|--------------|-----|------------|-------|----------------------------|
| 1 | Güvercinlik Vadisi | Güneşli | Orta | Toprak üzeri | G | 30.05.2020 | 1283m | 38° 37'24.00" 34°48'21.00" |

Yayılışı: Türkiye (A1, A2, A3, A4, B6, B7, B8, B10, C11, C12, C13, C14), Avrupa, Grönland, Guatemala, Himalayalar, Hon Kong, İzlanda, Japonya, Kafkaslar, Kanarya Adaları, Keşmir, Kıbrıs, Kuzey Amerika, Kuzey ve Doğu Afrika, Madeira.

56. **Orthotrichum pumilum* Sw. ex anon.

| S.S. | MEVKİ | Işık | Nem | Substrat | Yön | Tarih | Yük. | GPS(N/E) |
|------|--|--------------|-------|---------------------|-----|------------|-------|-------------------------------|
| 1 | Güvercinlik Vadisi | Güneşli | Orta | Ağaç(Elma) | D | 30.05.2020 | 1282m | 38° 37'25.00" 34°48'21.00" |
| 2 | Zemi Vadisi | Kısmen Gölge | Orta | Ağaç(Kavak) | G | 30.05.2020 | 1115m | 38° 38'10.00" 34°50'17.00" |
| 3 | Aşk Vadisi Bağlı Dere | Güneşli | Kuru | Kaya | GB | 9.06.2020 | 1108m | 38° 40'46.00" 34°50'58.00" |
| 4 | Gomeda Vadisi | Kısmen Gölge | Orta | Ağaç(Söğüt) | K | 30.06.2020 | 1190m | 38° 35'44.00" 34°52'22.00" |
| 5 | Gomeda Vadisi | Kısmen Gölge | Orta | Ağaç(Ceviz) | K | 30.06.2020 | 1190m | 38° 34'29.00" 34°52'19.00" |
| 6 | Güvercinlik Vadisi | Kısmen Gölge | Kuru | Ağaç(İğde) | K | 22.08.2020 | 1240m | 38° 37'43.00" 34°48'38.00" |
| 7 | Güvercinlik Vadisi | Kısmen Gölge | Orta | Ağaç(Titrek Kavak) | K | 22.08.2020 | 1240m | 38° 37'43.00" 34°48'38.00" |
| 8 | Güvercinlik Vadisi | Kısmen Gölge | Orta | Ağaç(Ceviz) | K | 22.08.2020 | 1220m | 38° 37'49.00" 34°48'44.00" |
| 9 | Güvercinlik Vadisi | Tam Gölge | Nemli | Ağaç(Armut) | K | 23.08.2020 | 1170m | 38° 37'56.00" 34°49'00.00" |
| 10 | Üzengi Vadisi(Havariler Kilisesi Yanı) | Tam Gölge | Orta | Elaeagnus hortensis | K | 28.11.2020 | 1147m | 38° 35'51.735" 34°53'23.670" |
| 11 | Müze Vadisi | Tam Gölge | Orta | Populus tremula | K | 13.03.2021 | 1140m | 38° 38'21.879" 34°50'40.388" |
| 12 | Bağlı Dere | Güneşli | Kuru | Ağaç(Kavak) | GD | 20.05.2021 | 1092m | 38°39'43.2511" 34°49'28.6987" |
| 13 | Güvercinlik Vadisi | Güneşli | Orta | Toprak | G | 30.05.2020 | 1283m | 38° 37'24.00" 34°48'21.00" |

Yayılışı: Türkiye (A1, A3, A4, B6, B7, C11, C12, C13), Avrupa, Cezayir, Çin, Fas, Japonya, Kafkasya, Kanarya Adaları, Kuzey Amerika, Kuzey Asya, Madeira.

57. **Orthotrichum sprucei* Mont.

| S.S. | MEVKİ | Işık | Nem | Substrat | Yön | Tarih | Yük. | GPS(N/E) |
|------|--------------------|--------------|------|-------------|-----|------------|-------|----------------------------|
| 1 | Güvercinlik Vadisi | Güneşli | Orta | Ağaç(Ceviz) | D | 30.05.2020 | 1282m | 38° 37'25.00" 34°48'21.00" |
| 2 | Gomeda Vadisi | Kısmen Gölge | Orta | Ağaç(Kavak) | K | 30.06.2020 | 1190m | 38° 35'44.00" 34°52'22.00" |

Yayılışı: Türkiye (C11), Asya, Afrika & Madagaskar, Karayıp, Avrupa, Kuzey Amerika, Okyanusya, Orta Amerika, Güney Amerika.

58. **Orthotrichum tenellum* Bruch ex Brid.

| S.S. | MEVKİ | Işık | Nem | Substrat | Yön | Tarih | Yük. | GPS(N/E) |
|------|-----------------------|---------|------|----------|-----|-----------|-------|----------------------------|
| 1 | Aşk Vadisi Bağlı Dere | Güneşli | Kuru | Kaya | GB | 9.06.2020 | 1108m | 38° 40'46.00" 34°50'58.00" |

Yayılışı: Türkiye (A1 B6, C11, C12, C13), Avrupa, Fas, İskandinavya, Kafkasya, Kuzeybatı Amerika, Kuzey Asya, Makaronezya.

59. **Orthotrichum vittii* Lara, Garilleti & Mazimpaka

| S.S. | MEVKİ | Işık | Nem | Substrat | Yön | Tarih | Yük. | GPS(N/E) |
|------|--------------------|--------------|------|------------|-----|------------|-------|----------------------------|
| 1 | Güvercinlik Vadisi | Kısmen Gölge | Orta | Ağaç(iğde) | K | 22.08.2020 | 1240m | 38° 37'43.00" 34°48'38.00" |
| 2 | Rose Valley | Kısmen Gölge | Orta | Kütük | K | 25.07.2020 | 1090m | 38° 39'22.00" 34°51'13.00" |

Yayılışı: Türkiye (A4, C13), Asya, Afrika & Madagaskar, Karayıp, Avrupa, Kuzey Amerika, Okyanusya, Orta Amerika, Güney Amerika.

Lewinskya F. Lara, Garilleti & Goffinet

60. **Lewinskya affinis* (Schrad. ex Brid.) F. Lara, Garilleti & Goffinet

| S.S. | MEVKİ | Işık | Nem | Substrat | Yön | Tarih | Yük. | GPS(N/E) |
|------|-----------------------------------|--------------|-------|-----------------------|-----|------------|-------|----------------------------|
| 1 | Güvercinlik Vadisi | Güneşli | Orta | Toprak | GB | 30.05.2020 | 1320m | 38° 37'12.00" 34°48'19.00" |
| 2 | Zemi Vadisi | Kısmen Gölge | Orta | Kaya | G | 30.05.2020 | 1115m | 38° 38'10.00" 34°50'17.00" |
| 3 | Zemi Vadisi(Kermil Dağı Giriş) | Kısmen Gölge | Kuru | Ağaç(Söğüt) | K | 5.07.2020 | 1420m | 38° 36'28.00" 34°48'37.00" |
| 4 | Zemi Vadisi | Kısmen Gölge | Nemli | Ağaç(Söğüt) | K | 5.07.2020 | 1384m | 38° 36'35.00" 34°48'38.00" |
| 5 | Zemi Vadisi | Tam Gölge | Orta | Ağaç(Adı ceviz) | K | 5.07.2020 | 1384m | 38° 36'35.00" 34°48'38.00" |
| 6 | Zemi Vadisi | Kısmen Gölge | Nemli | Ağaç(Söğüt) | K | 5.07.2020 | 1380m | 38° 36'35.00" 34°48'38.00" |
| 7 | Zemi Vadisi/Kermil Dağı Giriş | Tam Gölge | Orta | Ağaç(Adı ceviz) | D | 15.07.2020 | 1360m | 38° 36'36.00" 34°48'38.00" |
| 8 | Zemi Vadisi | Tam Gölge | Orta | Toprak | K | 15.07.2020 | 1360m | 38° 36'39.00" 34°48'40.00" |
| 9 | Zemi Vadisi | Kısmen Gölge | Orta | Ağaç | K | 15.07.2020 | 1360m | 38° 36'39.00" 34°48'40.00" |
| 10 | Zemi Vadisi | Kısmen Gölge | Orta | Ağaç(Adı ceviz) | K | 15.07.2020 | 1340m | 38° 36'43.00" 34°48'48.00" |
| 11 | Kızıl Vadı | Kısmen Gölge | Orta | Ağaç(Akasya) | K | 25.07.2020 | 1060m | 38° 39'09.00" 34°50'54.00" |
| 12 | Devrent Vadisi(Akdağ kuzey yamaç) | Kısmen Gölge | Kuru | Kütük(Çürümekte) | K | 11.08.2020 | 1220m | 38° 40'05.00" 34°52'57.00" |
| 13 | Güvercinlik Vadisi | Kısmen Gölge | Kuru | Ağaç(Adı ceviz) | K | 22.08.2020 | 1220m | 38° 38'00.00" 34°48'53.00" |
| 14 | Güvercinlik Vadisi | Kısmen Gölge | Orta | Ağaç(Adı ceviz) | K | 23.08.2020 | 1160m | 38° 37'59.00" 34°49'04.00" |
| 15 | Güvercinlik Vadisi | Kısmen Gölge | Kuru | Ağaç(Armut) | K | 23.08.2020 | 1170m | 38° 37'56.00" 34°49'00.00" |
| 16 | Kermil Dağı Kuzeyi | Kısmen Gölge | Kuru | Ağaç | K | 11.10.2020 | 1410m | 38° 36'25.00" 34°48'38.00" |
| 17 | Zemi Vadisi | Tam Gölge | Kuru | Ağaç | K | 17.10.2020 | 1250m | 38° 37'03.00" 34°49'21.00" |
| 18 | Zemi Vadisi | Tam Gölge | Orta | Devrik kütük | K | 17.10.2020 | 1271m | 38° 37'03.00" 34°49'23.00" |
| 19 | Zemi Vadisi | Tam Gölge | Orta | Ağaç(Tilia tomentosa) | K | 17.10.2020 | 1220m | 38° 37'13.00" 34°49'37.00" |
| 20 | Zemi Vadisi | Tam Gölge | Kuru | Kütük(Çürümekte) | K | 17.10.2020 | 1270m | 38° 36'59.00" 34°49'05.00" |

60 (devam). **Lewinskya affinis* (Schrad. ex Brid.) F. Lara, Garilleti & Goffinet

| S.S. | MEVKİ | Işık | Nem | Substrat | Yön | Tarih | Yük. | GPS(N/E) |
|------|---------------------------------------|--------------|-------|-----------------|-----|------------|-------|--------------------------------|
| 21 | Zemi Vadisi | Tam Gölge | Kuru | Ağaç(Ak kavak) | K | 17.10.2020 | 1238m | 38° 37'21.00" 34°49'54.00" |
| 22 | Aynalı Kilise Vadisi | Kısmen Gölge | Kuru | Morus alba | K | 24.10.2020 | 1226m | 38° 38'08.00" 34°51'04.00" |
| 23 | Aynalı Kilise Vadisi | Tam Gölge | Orta | Kaya | K | 24.10.2020 | 1192m | 38° 38'10.00" 34°50'51.00" |
| 24 | Aynalı Kilise Vadisi | Tam Gölge | Orta | Ağaç(Erik) | K | 24.10.2020 | 1193m | 38° 38'10.00" 34°50'51.00" |
| 25 | Aynalı Kilise Vadisi | Kısmen Gölge | Kuru | Morus alba | K | 24.10.2020 | 1245m | 38° 38'06.00" 34°51'14.00" |
| 26 | Üzengi Vadisi(Havariler Kilisesi Yam) | Kısmen Gölge | Nemli | Populus alba | KD | 28.11.2020 | 1134m | 38° 36'12.195" 34°53'58.934" |
| 27 | Üzengi Vadisi(Havariler Kilisesi Yam) | Kısmen Gölge | Nemli | Ağaç(Iğde) | K | 28.11.2020 | 1131m | 38° 36'09.491" 34°53'53.079" |
| 28 | Üzengi Vadisi(Havariler Kilisesi Yam) | Tam Gölge | Orta | Ağaç(Adi ceviz) | K | 28.11.2020 | 1135m | 38° 35'57.726" 34°53'35.054" |
| 29 | Müze Vadisi | Açık | Kuru | Kavak | KD | 13.03.2021 | 1100m | 38° 38'28.871" 34°50'34.573" |
| 30 | Müze Vadisi | Tam Gölge | İslak | Ağaç(Elma) | K | 13.03.2021 | 1172m | 38° 38'20.410" 34°50'39.935" |
| 31 | Zemi Vadisi | Açık | Nemli | Ağaç(Söğüt) | D | 21.03.2021 | 1356m | 38° 37'35.2309" 34°48'48.1749" |
| 32 | Zemi Vadisi | Açık | Nemli | Ağaç(Söğüt) | D | 21.03.2021 | 1358m | 38° 36'38.0540" 34°48'38.8501" |
| 33 | Zemi Vadisi | Açık | Nemli | Ağaç(Akça) | GB | 21.03.2021 | 1357m | 38° 37'31.1810" 34°49'5.9015" |
| 34 | Zemi Vadisi | Açık | Nemli | Ağaç(Söğüt) | KD | 21.03.2021 | 1359m | 38° 37'31.2579" 34°49'5.9404" |
| 35 | Baglı Dere | Kısmen Gölge | Kuru | Ağaç(Kavak) | GB | 20.05.2021 | 1069m | 38°42'29.8831" 34°51'39.5388" |
| 36 | Zemi Vadisi | Kısmen Gölge | Kuru | Salix alba | K | 27.05.2021 | 1160m | 38°37'35.506" 34°50'09.257" |
| 37 | Zemi Vadisi | Kısmen Gölge | İslak | Kaya(kut) | K | 27.05.2021 | 1170m | 38°37'31.526" 34°50'06.618" |
| 38 | Zemi Vadisi | Tam Gölge | Orta | Salix alba | K | 27.05.2021 | 1210m | 38°37'18.715" 34°49'51.551" |
| 39 | Zemi Vadisi | Tam Gölge | Orta | Carpinus sp. | K | 27.05.2021 | 1200m | 38°37'16.700" 34°49'48.283" |
| 40 | Zemi Vadisi | Kısmen Gölge | Orta | Salix alba | K | 27.05.2021 | 1270m | 38°36'58.165" 34°49'05.298" |

Yayılışı: Türkiye (A1, A2, A3, A4, B6, B7, B10, C11, C12, C13), Avrupa, Irak, İran, İskandinavya, İsrail, Kafkaslar, Kanarya Adaları, Keşmir, Kıbrıs, Kuzey ve Batı Amerika, Kuzey ve Batı Afrika, Lübnan, Madeira, Sibiry, Suriye.

61. **Lewinskya acuminata* (H. Philib.) F. Lara, Garilleti & Goffinet

| S.S. | MEVKİ | Işık | Nem | Substrat | Yön | Tarih | Yük. | GPS(N/E) |
|------|--------------------|---------|------|------------------|-----|------------|-------|----------------------------|
| 1 | Güvercinlik Vadisi | Güneşli | Orta | Kütük(Cürümekte) | B | 30.05.2020 | 1308m | 38° 37'23.00" 34°48'21.00" |

Yayılışı: Türkiye (A4, B6, C12), Almanya, Arnavutluk, Belçika, Bosna ve Hersek, Fransa, Hırvatistan, İngiltere, İtalya, Kıbrıs, Montenegro, Norveç, Portekiz, Slovenya, Yunanistan.

62. **Lewinskya rupestris* (Schleich. ex Schwägr.) F. Lara, Garilleti & Goffinet

| S.S. | MEVKİ | Işık | Nem | Substrat | Yön | Tarih | Yük. | GPS(N/E) |
|------|-----------------------|--------------|-------|-------------|-----|------------|-------|------------------------------|
| 1 | Güvercinlik Vadisi | Güneşli | Orta | Toprak | G | 30.05.2020 | 1283m | 38° 37'24.00" 34°48'21.00" |
| 2 | Aşk Vadisi Bağlı Dere | Güneşli | Kuru | Kütük | GB | 9.06.2020 | 1108m | 38° 40'46.00" 34°50'58.00" |
| 3 | Zemi Vadisi | Açık | Orta | Ağaç(Vışne) | B | 15.07.2020 | 1360m | 38° 36'39.00" 34°48'40.00" |
| 4 | Kermil Dağı Kuzeyi | Kısmen Gölge | Kuru | Kaya | K | 11.10.2020 | 1511m | 38° 36'18.00" 34°48'32.00" |
| 5 | Aynalı Kilise Vadisi | Tam Gölge | Orta | Kaya(kut) | K | 24.10.2020 | 1193m | 38° 38'10.00" 34°50'56.00" |
| 6 | Kermil Dağı Kuzeyi | Kısmen Gölge | Nemli | Kaya | KB | 14.11.2020 | 1531m | 38° 36'15.431" 34°48'57.468" |
| 7 | Tekeli Tepe | Tam Gölge | Nemli | Kaya | B | 28.03.2021 | 1095m | 38° 38'22.780" 34°48'26.320" |

Yayılışı: Türkiye (A1, A2, A4, A5, B6, B7, B8, B9, B10, C11, C12, C13, C14), Avrupa'nın kuzeyinden kuzey İskandinav Yarımadasına, Avustralasya, Faroe Adaları,

Grönland, Güney Amerika, Hindistan, İzlanda, Kafkaslar, Kıbrıs, Kanarya Adaları, Kuzey ve Doğu Afrika, Kuzeybatı Amerika, Madeira Adaları.

63. **Lewinskya sordida* (Sull. & Lesq.) F. Lara, Garilleti & Goffinet

| S.S. | MEVKİ | Işık | Nem | Substrat | Yön | Tarih | Yük. | GPS(N/E) |
|------|------------|--------------|------|--------------|-----|------------|-------|----------------------------|
| 1 | Kızıl Vadı | Kısmen Gölge | Orta | Ağaç(Kayısı) | K | 25.07.2020 | 1170m | 38° 39'15.00" 34°51'39.00" |

Yayılışı: Türkiye (A4, C12), Alaska, Çin, Gürcistan, Grönland, Kuzey Amerika, Kafkaslar, Rusya, Svalbard ve Jan Mayen Adası.

64. **Lewinskya speciosa* (Nees) F. Lara, Garilleti & Goffinet

| S.S. | MEVKİ | Işık | Nem | Substrat | Yön | Tarih | Yük. | GPS(N/E) |
|------|--------------------|--------------|------|---------------|-----|------------|-------|----------------------------|
| 1 | Güvercinlik Vadisi | Kısmen Gölge | Orta | Ağaç(Karadut) | K | 22.08.2020 | 1220m | 38° 37'49.00" 34°48'44.00" |

Yayılışı: Türkiye (A1, A2, A4, B6, B7, C11, C12, C13), Akdeniz Havzası, Almanya, Avusturya, Batı Avrupa, Çek Cumhuriyeti, Danimarka, Fransa, İspanya, İtalya, İsviçre, Macaristan, Norveç, Polonya, Portekiz, Rusya, Sırbistan, Yunanistan.

65. **Lewinskya breviseta* (F. Lara, Garilleti & Mazimpaka) F. Lara, Garilleti & Goffinet

| S.S. | MEVKİ | Işık | Nem | Substrat | Yön | Tarih | Yük. | GPS(N/E) |
|------|-------------|-----------|-------|-----------------|-----|------------|-------|----------------------------|
| 1 | Zemi Vadisi | Tam Gölge | Nemli | Ağaç(Adi ceviz) | K | 17.10.2020 | 1288m | 38° 36'56.00" 34°49'04.00" |

Yayılışı: Türkiye (C12, B9), Asya, Afrika & Madagaskar, Karayip, Avrupa, Kuzey Amerika, Okyanusya, Orta Amerika, Güney Amerika.

Rhabdoweisiaceae Limpr.

Dicranoweisia Milde

66. **Dicranoweisia cirrata* (Hedw.) Lindb.

| S.S. | MEVKİ | Işık | Nem | Substrat | Yön | Tarih | Yük. | GPS(N/E) |
|------|-------------|---------|-------|----------|-----|------------|-------|----------------------------|
| 1 | Zemi Vadisi | Güneşli | Nemli | Kaya | KD | 30.05.2020 | 1129m | 38° 37'59.00" 34°50'14.00" |

Yayılışı: Türkiye (A1, A2, A3, A4, B6, B7, C11, C12, C13) Avrupa, Faroe Adları, Hawai, Himalayalar, Kafkasya, Kıbrıs, Kuzey Afrika, Kuzey Amerika, Makaronezya, Mogolistan, Tazmanya.

Pottiaceae Schimp.

Syntrichia Brid.

67. **Syntrichia ruralis* (Hedw.) F. Weber & D. Mohr

| S.S. | MEVKİ | Işık | Nem | Substrat | Yön | Tarih | Yük. | GPS(N/E) |
|------|--|--------------|-------|----------------------|-----|------------|-------|------------------------------|
| 1 | NHBV Üniversitesi Kampüsü | Kısmen gölge | Nemli | Toprak(kö) | K | 13.10.2019 | 1120m | 38° 40'36.00" 34°43'57.00" |
| 2 | Sulusaray yolu | Açık | Nemli | Kaya | K | 24.01.2020 | 1200m | 38° 40'60.00" 34°43'46.00" |
| 3 | Güvercinlik Vadisi | Güneşli | Orta | Kütük(çürümekte) | B | 30.05.2020 | 1308m | 38° 37'23.00" 34°48'21.00" |
| 4 | Güvercinlik Vadisi | Güneşli | Orta | Kaya | B | 30.05.2020 | 1308m | 38° 37'23.00" 34°48'21.00" |
| 5 | Zemi Vadisi | Kısmen Gölge | Orta | Toprak | G | 30.05.2020 | 1115m | 38° 38'10.00" 34°50'17.00" |
| 6 | Kızılıçukur Vadisi | Güneşli | Orta | Toprak | B | 4.06.2020 | 1149m | 38° 39'37.00" 34°50'06.00" |
| 7 | Kızılıçukur Vadisi | Açık | Orta | Kaya | G | 4.06.2020 | 1197m | 38° 39'14.00" 34°51'43.00" |
| 8 | Aşk Vadisi Bağlı Dere | Güneşli | Kuru | Kaya | GB | 9.06.2020 | 1108m | 38° 40'46.00" 34°50'58.00" |
| 9 | Kermil Dağı Doğusu | Kısmen Gölge | Kuru | Toprak | KB | 4.07.2020 | 1417m | 38° 36'13.00" 34°49'30.00" |
| 10 | Kermil Dağı | Kısmen Gölge | Orta | Toprak(kö) | KB | 4.07.2020 | 1424m | 38° 36'11.00" 34°49'31.00" |
| 11 | Kermil Dağı | Açık | Kuru | Toprak(kö) | KB | 4.07.2020 | 1401m | 38° 36'35.00" 34°49'17.00" |
| 12 | Zemi Vadisi(Kermil Dağı Giriş) | Tam Gölge | Orta | Toprak | K | 5.07.2020 | 1428m | 38° 36'28.00" 34°48'37.00" |
| 13 | Zemi Vadisi | Kısmen Gölge | Nemli | Ağaç | K | 5.07.2020 | 1380m | 38° 36'35.00" 34°48'38.00" |
| 14 | Zemi Vadisi | Kısmen Gölge | Orta | Ağaç(populus alba) | K | 15.07.2020 | 1340m | 38° 36'43.00" 34°48'48.00" |
| 15 | Zemi Vadisi | Tam Gölge | Nemli | Devrik, çürümekte | K | 15.07.2020 | 1290m | 38° 36'46.00" 34°48'59.00" |
| 16 | Zelve Vadisi | Kısmen Gölge | Kuru | Kaya kütlesi | K | 16.07.2020 | 1100m | 38° 40'01.00" 34°51'51.00" |
| 17 | Kızıl Vadı | Kısmen Gölge | Orta | Toprak | K | 25.07.2020 | 1210m | 38° 39'17.00" 34°51'48.00" |
| 18 | Kızıl Vadı | Kısmen Gölge | Orta | Toprak | K | 25.07.2020 | 1190m | 38° 39'17.00" 34°51'48.00" |
| 19 | Kızıl Vadı | Kısmen Gölge | Orta | Kayısı ağacı | K | 25.07.2020 | 1170m | 38° 39'15.00" 34°51'39.00" |
| 20 | Devrent Vadisi | Kısmen Gölge | Kuru | Toprak | K | 11.08.2020 | 1095m | 38° 40'39.00" 34°52'56.00" |
| 21 | Devrent Vadisi | Kısmen Gölge | Kuru | Toprak | K | 11.08.2020 | 1125m | 38° 40'18.00" 34°53'12.00" |
| 22 | Güvercinlik Vadisi | Açık | Kuru | Tüf | K | 22.08.2020 | 1200m | 38° 37'53.00" 34°48'53.00" |
| 23 | Güvercinlik Vadisi | Kısmen Gölge | Kuru | Tüf | K | 23.08.2020 | 1200m | 38° 37'51.00" 34°49'01.00" |
| 24 | Güvercinlik Vadisi | Kısmen Gölge | Kuru | Ağaç(Quercus cerris) | K | 23.08.2020 | 1200m | 38° 37'51.00" 34°49'01.00" |
| 25 | Akdağ(Bozdağ) | Güneşli | Kuru | Kaya kütlesi | K | 3.09.2020 | 1331m | 38° 39'71.00" 34°52'98.00" |
| 26 | Akdağ(Bozdağ) | Güneşli | Kuru | Toprak | K | 3.09.2020 | 1331m | 38° 39'71.00" 34°52'98.00" |
| 27 | Akdağın Kuzeyi | Kısmen Gölge | Orta | Toprak | K | 10.10.2020 | 1104m | 38° 40'43.00" 34°52'40.00" |
| 28 | Akdağın Kuzeyi | Açık | Kuru | Türf(Kum taşı) | K | 10.10.2020 | 1127m | 38° 40'35.00" 34°52'42.00" |
| 29 | Akdağın Kuzeyi | Kısmen Gölge | Kuru | Kaya kütlesi | K | 10.10.2020 | 1132m | 38° 40'20.00" 34°52'44.00" |
| 30 | Akdağın Kuzeyi | Kısmen Gölge | Kuru | Toprak | K | 10.10.2020 | 1132m | 38° 40'20.00" 34°52'44.00" |
| 31 | Kermil Dağı Kuzeyi | Açık | Kuru | Toprak | K | 11.10.2020 | 1410m | 38° 36'25.00" 34°48'38.00" |
| 32 | Kermil Dağı Kuzeyi | Kısmen Gölge | Kuru | Toprak | K | 11.10.2020 | 1430m | 38° 36'20.00" 34°48'38.00" |
| 33 | Kermil Dağı Kuzeyi | Kısmen Gölge | Kuru | Kaya kütlesi | K | 11.10.2020 | 1435m | 38° 36'20.00" 34°48'38.00" |
| 34 | Kermil Dağı Kuzeyi | Kısmen Gölge | Kuru | Kaya kütlesi | K | 11.10.2020 | 1511m | 38° 36'18.00" 34°48'32.00" |
| 35 | Kermil Dağı Kuzeyi | Açık | Kuru | Kaya kütlesi | K | 11.10.2020 | 1470m | 38° 37'23.00" 34°48'28.00" |
| 36 | Zemi Vadisi | Kısmen Gölge | Orta | Devrik kütük | K | 17.10.2020 | 1271m | 38° 37'03.00" 34°49'23.00" |
| 37 | Zemi Vadisi | Tam Gölge | Orta | Kaya kütlesi | K | 17.10.2020 | 1234m | 38° 37'14.00" 34°49'41.00" |
| 38 | Aynalı Kilise Çevresi | Tam Gölge | Kuru | Kaya kütlesi | K | 24.10.2020 | 1259m | 38° 38'11.00" 34°51'09.00" |
| 39 | Aynalı Kilise Vadisi | Kısmen Gölge | Kuru | Ağaç(Morus alba) | K | 24.10.2020 | 1227m | 38° 38'09.00" 34°51'08.00" |
| 40 | Akdağ(Zirve) | Açık | Nemli | Toprak | K | 8.11.2020 | 1338m | 38° 39'24.435" 34°52'02.247" |
| 41 | Akdağ(Kuzey) | Tam Gölge | Nemli | Humus | K | 8.11.2020 | 1305m | 38° 39'31.605" 34°51'57.550" |
| 42 | Akdağ(Kuzey) | Açık | Nemli | Toprak | K | 8.11.2020 | 1315m | 38° 39'31.605" 34°51'53.140" |
| 43 | Kermil Dağı Kuzeyi | Açık | Nemli | Toprak | KB | 14.11.2020 | 1492m | 38° 39'31.605" 34°48'43.988" |
| 44 | Kermil Dağı Kuzeyi | Kısmen Gölge | Orta | Toprak | K | 14.11.2020 | 1504m | 38° 39'31.605" 34°48'52.651" |
| 45 | Kermil Dağı Kuzeyi | Kısmen Gölge | Nemli | Toprak | K | 14.11.2020 | 1544m | 38° 39'31.605" 34°48'58.240" |
| 46 | Kermil Dağı Kuzeyi | Kısmen Gölge | Nemli | Toprak | K | 14.11.2020 | 1506m | 38° 39'31.605" 34°48'50.586" |
| 47 | Üzengi Vadisi(Havariler Kilisesi Yanı) | Tam Gölge | Orta | Kum taşı | K | 28.11.2020 | 1148m | 38° 39'31.605" 34°53'21.481" |
| 48 | Ortahisar Vadisi | Tam Gölge | Orta | Toprak | K | 28.11.2020 | 1142m | 38° 39'31.605" 34°53'51.661" |
| 49 | Ortahisar | Kısmen Gölge | Kuru | Toprak | K | 7.03.2021 | 1215m | 38° 39'31.605" 34°51'36.23" |
| 50 | Ortahisar | Kısmen Gölge | Kuru | Kaya Kütlesi | K | 7.03.2021 | 1231m | 38° 39'31.605" 34°51'39.40" |
| 51 | Ortahisar | Kısmen Gölge | Kuru | Toprak(kö) | K | 7.03.2021 | 1243m | 38° 39'31.605" 34°51'43.34" |
| 52 | Müze Vadisi | Kısmen Gölge | Nemli | Toprak | D | 13.03.2021 | 1131m | 38° 39'31.605" 34°50'34.553" |
| 53 | Tekeli Tepe | Açık | Nemli | Toprak | B | 28.03.2021 | 1082m | 38° 39'31.605" 34°48'25.605" |
| 54 | Tekeli Tepe | Açık | Nemli | Toprak | GB | 28.03.2021 | 1070m | 38° 39'31.605" 34°48'13.680" |

Yayılışı: Türkiye (A1, A2, A3, A4, A5, B6, B7, B8, B9, B10, C11, C12, C13, C14, C15), Asya, Afrika, Avrupa, Avustralya, Faroe Adaları, Grönland, İzlanda, Kafkasya, Kıbrıs, Kuzey Amerika, Makaronezya, Patagoniya, Okyanusya, Svalbard.

68. ***Syntrichia rigescens* (Broth. & Geh.) Ochyra

| S.S. | MEVKİ | Işık | Nem | Substrat | Yön | Tarih | Yük. | GPS(N/E) |
|------|----------------|------|-------|----------|-----|------------|-------|----------------------------|
| 1 | Sulusaray yolu | Açık | Nemli | Kaya | K | 24.01.2020 | 1200m | 38° 40'60.00" 34°43'46.00" |

Yayılışı: Asya, Afrika & Madagaskar, Karayıp, Avrupa, Kuzey Amerika, Okyanusya, Orta Amerika, Güney Amerika.

69. **Syntrichia virescens* (De Not.) Ochyra

| S.S. | MEVKİ | Işık | Nem | Substrat | Yön | Tarih | Yük. | GPS(N/E) |
|------|----------------------|--------------|-------|-----------------|-----|------------|-------|------------------------------|
| 1 | Sulusaray yolu | Açık | Nemli | Kaya | K | 24.01.2020 | 1200m | 38° 40'60.00" 34°43'46.00" |
| 2 | Zemi Vadisi | Kısmen Gölge | Nemli | Ağaç(söğüt) | K | 5.07.2020 | 1380m | 38° 36'35.00" 34°48'38.00" |
| 3 | Aynalı Kilise Vadisi | Tam Gölge | Orta | Ağaç(Adı ceviz) | K | 24.10.2020 | 1193m | 38° 38'10.00" 34°50'56.00" |
| 4 | Tekeli Tepe | Açık | Orta | Toprak | K | 28.03.2021 | 1080m | 38° 38'26.983" 34°48'28.710" |

Yayılışı: Türkiye (A1, A2, A4, A5, B6, B7, B10, C11, C12, C13), Avrupa, İskandinavya, Kafkaslar, Kanarya Adaları, Keşmir, Kuzey Amerika.

70. **Syntrichia caninervis* var. *gypsophila* (J.J. Amann ex G. Roth) Ochyra

| S.S. | MEVKİ | Işık | Nem | Substrat | Yön | Tarih | Yük. | GPS(N/E) |
|------|----------------|------|-------|----------|-----|------------|-------|----------------------------|
| 1 | Sulusaray yolu | Açık | Nemli | Kaya | K | 24.01.2020 | 1200m | 38° 40'60.00" 34°43'46.00" |

Yayılışı: Türkiye (B10, C11), Avrupa, Güneydoğu Asya, Kuzey Afrika.

71. **Syntrichia caninervis* Mitt.

| S.S. | MEVKİ | Işık | Nem | Substrat | Yön | Tarih | Yük. | GPS(N/E) |
|------|--|---------|-------|----------|-----|-----------|-------|----------------------------|
| 1 | Açık Hava Müzesi Yılanlı Kilisesi Yanı | Güneşli | Nemli | Toprak | GD | 4.06.2020 | 1127m | 38° 38'22.00" 34°50'41.00" |

Yayılışı: Asya, Afrika & Madagaskar, Karayıp, Avrupa, Kuzey Amerika, Okyanusya, Orta Amerika, Güney Amerika.

72. **Syntrichia calcicola* J.J. Amann

| S.S. | MEVKİ | Işık | Nem | Substrat | Yön | Tarih | Yük. | GPS(N/E) |
|------|----------------------|--------------|------|-----------------|-----|------------|-------|----------------------------|
| 1 | Aynalı Kilise Vadisi | Kısmen Gölge | Kuru | Ağaç(Adı ceviz) | K | 24.10.2020 | 1178m | 38° 38'10.00" 34°50'48.00" |

Yayılışı: Türkiye (A1, A2, B6, C11, C12), Avrupa, Rusya.

73. **Syntrichia handelii* (Schiffn.) S. Agnew & Vondr.

| S.S. | MEVKİ | Işık | Nem | Substrat | Yön | Tarih | Yük. | GPS(N/E) |
|------|--------------|------|-------|----------|-----|-----------|-------|------------------------------|
| 1 | Akdağ(Kuzey) | Açık | Nemli | Toprak | K | 8.11.2020 | 1310m | 38° 39'33.270" 34°51'53.150" |

Yayılışı: Türkiye (A1, A4, B6, B7, B8, B10, C11, C12, C13, C14), Afganistan, Batı Akdeniz, Güneybatı Avrupa, Irak, İran, İsrail, Kıbrıs, Suriye.

74. **Syntrichia caninervis* Mitt. var. *caninervis*

| S.S. | MEVKİ | Işık | Nem | Substrat | Yön | Tarih | Yük. | GPS(N/E) |
|------|-------------|--------------|------|----------|-----|------------|-------|------------------------------|
| 1 | Tekeli Tepe | Kısmen Gölge | Orta | Toprak | B | 28.03.2021 | 1175m | 38° 38'17.652" 34°48'22.133" |

Yayılışı: Türkiye (A3, A4, B6, B7, B8, B9, B10, C11, C12, C13, C15), Çin, İspanya, Moğolistan, Rusya.

***Pterygoneurum* Jur.**

75. **Pterygoneurum ovatum* (Hedw.) Dixon

| S.S. | MEVKİ | Işık | Nem | Substrat | Yön | Tarih | Yük. | GPS(N/E) |
|------|--|--------------|-------|----------|-----|------------|-------|--------------------------------|
| 1 | Sulusaray yolу | Açık | Orta | Toprak | K | 24.01.2020 | 1200m | 38° 40'60.00" 34°43'57.00" |
| 2 | Sulusaray yolу | Açık | Nemli | Kaya | K | 24.01.2020 | 1200m | 38° 40'60.00" 34°43'46.00" |
| 3 | 15 Temmuz Mahallesi Alparslan Türkeş Bulvarı | Açık | Nemli | Toprak | B | 24.02.2020 | 1206m | 38° 39'29.00" 34°44'14.00" |
| 4 | Aşk Vadisi Bağlı Dere | Güneşli | Kuru | Toprak | GB | 9.06.2020 | 1108m | 38° 40'46.00" 34°50'58.00" |
| 5 | Akdağ(Bozdağ) | Açık | Kuru | Toprak | K | 3.09.2020 | 1346m | 38° 39'79.00" 34°51'89.00" |
| 6 | Akdağ(Bozdağ) | Açık | Kuru | Toprak | K | 3.09.2020 | 1350m | 38° 39'30.00" 34°52'34.00" |
| 7 | Akdağ(Zirve) | Kısmen Gölge | Nemli | Toprak | K | 8.11.2020 | 1329m | 38° 39'25.616" 34°52'00.677" |
| 8 | Akdağ(Kuzey) | Açık | Nemli | Toprak | K | 8.11.2020 | 1322m | 38° 39'33.250" 34°51'53.140" |
| 9 | Akdağ(Kuzey) | Açık | Kuru | Toprak | K | 8.11.2020 | 1325m | 38° 39'33.230" 34°51'53.130" |
| 10 | Kermil Dağı Kuzeyi | Açık | Orta | Kaya | K | 14.11.2020 | 1492m | 38° 36'19.441" 34°48'43.989" |
| 11 | Kermil Dağı Kuzeyi | Kısmen Gölge | Orta | Toprak | K | 14.11.2020 | 1504m | 38° 36'17.475" 34°48'52.651" |
| 12 | Kermil Dağı Kuzeyi | Kısmen Gölge | Nemli | Toprak | KB | 14.11.2020 | 1544m | 38° 36'14.243" 34°48'58.240" |
| 13 | Akdağ(Kuzey) | Açık | Nemli | Toprak | K | 6.03.2021 | 1100m | 38° 40'20.31" 34°53'04.274" |
| 14 | Akdağ(Kuzey) | Kısmen Gölge | Nemli | Toprak | K | 6.03.2021 | 1153m | 38° 40'13.053" 34°52'55.576" |
| 15 | Müze Vadisi | Tam Gölge | Nemli | Toprak | K | 13.03.2021 | 1160m | 38° 38'16.335" 34°50'41.785" |
| 16 | Müze Vadisi | Kısmen Gölge | Nemli | Toprak | K | 13.03.2021 | 1150m | 38° 38'21.850" 34°50'40.350" |
| 17 | Sulusaray yolу | Açık | Kuru | Kaya | GD | 21.03.2021 | 1172m | 38° 41'28.2336" 34°43'53.9892" |
| 18 | Bağlı Dere | Güneşli | Kuru | Kaya | KD | 20.05.2021 | 1093m | 38°39'10.7612" 34°49'13.9415" |
| 19 | Güvercinlik Vadisi | Güneşli | Orta | Toprak | B | 30.05.2020 | 1308m | 38° 37'23.00" 34°48'21.00" |

Yayılışı: Türkiye (A1, A3, A4, A5, B6, B7, B8, B9, B10, C11, C12, C13, C14), Avrupa, Avustralya, Cezayir, Batı ve Güneydoğu Asya, Fas, Kafkaslar.

76. *Pterygoneurum compactum* M.J. Cano, J. Guerra & Ros**

| S.S. | MEVKİ | Işık | Nem | Substrat | Yön | Tarih | Yük. | GPS(N/E) |
|------|--|------|-------|----------|-----|-----------|-------|-------------------------|
| 1 | Nevşehir Hacı Bektaş Veli Üniversitesi Kampüsü | Açık | Nemli | Toprak | D | 5.02.2020 | 1120m | 38° 40' 27" 34° 44' 45" |

Yayılışı: İspanya, Maceristan.

***Didymodon* Hedw.**

77. **Didymodon fallax* (Hedw.) R.H. Zander

| S.S. | MEVKİ | Işık | Nem | Substrat | Yön | Tarih | Yük. | GPS(N/E) |
|------|----------------|--------------|-------|--------------|-----|------------|-------|----------------------------|
| 1 | Sulusaray yolu | Açık | Nemli | Kaya kütlesi | K | 24.01.2020 | 1200m | 38° 40'60.00" 34°43'46.00" |
| 2 | Kızıl Vadı | Kısmen Gölge | Nemli | Taş duvar | K | 25.07.2020 | 1060m | 38° 39'09.00" 34°50'54.00" |
| 3 | Zemi Vadisi | Tam Gölge | Islak | Kaya kütlesi | K | 17.10.2020 | 1220m | 38° 37'27.00" 34°49'03.00" |

Yayılışı: Türkiye (A2, A3, A4, B6, B8, B9, B10, C11, C13), Avrupa, İskandinavya, Faro Adaları, İzlanda, Kıbrıs, Kafkasya, Asya, La Palma, Madeira, Kuzey Afrika, Güney Afrika, Kuzey Amerika, Grönland.

78. **Didymodon acutus* (Brid.) K. Saito

| S.S. | MEVKİ | Işık | Nem | Substrat | Yön | Tarih | Yük. | GPS(N/E) |
|------|--|--------------|-------|-----------|-----|------------|-------|------------------------------|
| 1 | Sulusaray yolu | Açık | Nemli | Kaya | K | 24.01.2020 | 1200m | 38° 40'60.00" 34°43'46.00" |
| 2 | Gomeda Vadisi | Kısmen Gölge | Orta | Kaya | K | 30.06.2020 | 1190m | 38° 35'44.00" 34°52'22.00" |
| 3 | Zelve Vadisi | Kısmen Gölge | Kuru | Kaya | K | 16.07.2020 | 1100m | 38° 40'01.00" 34°51'51.00" |
| 4 | Zelve Vadisi | Kısmen Gölge | Kuru | Kaya(kut) | K | 16.07.2020 | 1110m | 38° 39'55.00" 34°51'49.00" |
| 5 | Kızıl Vadı | Açık | Kuru | Toprak | K | 25.07.2020 | 1210m | 38° 39'17.00" 34°51'48.00" |
| 6 | Rose Valley | Kısmen Gölge | Orta | Kaya | K | 25.07.2020 | 1107m | 38° 39'22.00" 34°51'13.00" |
| 7 | Rose Valley | Kısmen Gölge | Orta | Kaya | K | 25.07.2020 | 1090m | 38° 39'22.00" 34°51'13.00" |
| 8 | Devrent Vadisi | Kısmen Gölge | Kuru | Toprak | K | 10.08.2020 | 1112m | 38° 40'20.00" 34°53'13.00" |
| 9 | Devrent Vadisi | Kısmen Gölge | Kuru | Toprak | K | 11.08.2020 | 1095m | 38° 40'39.00" 34°52'56.00" |
| 10 | Devrent Vadisi | Kısmen Gölge | Kuru | Toprak | K | 11.08.2020 | 1125m | 38° 40'18.00" 34°53'12.00" |
| 11 | Devrent Vadisi | Açık | Kuru | Toprak | K | 11.08.2020 | 1124m | 38° 40'16.00" 34°53'33.00" |
| 12 | Güvercinlik Vadisi | Açık | Kuru | Kaya | K | 22.08.2020 | 1200m | 38° 37'53.00" 34°48'53.00" |
| 13 | Akdağ(Bozdağ) | Güneşli | Kuru | Toprak | K | 3.09.2020 | 1331m | 38° 39'71.00" 34°52'98.00" |
| 14 | Akdağın Kuzeyi | Kısmen Gölge | Orta | Toprak | K | 10.10.2020 | 1104m | 38° 40'43.00" 34°52'40.00" |
| 15 | Akdağın Kuzeyi | Kısmen Gölge | Kuru | Kaya | K | 10.10.2020 | 1132m | 38° 40'20.00" 34°52'44.00" |
| 16 | Akdağın Kuzeyi | Kısmen Gölge | Kuru | Toprak | K | 10.10.2020 | 1132m | 38° 40'20.00" 34°52'44.00" |
| 17 | Zemi Vadisi | Tam Gölge | Orta | Kaya | K | 17.10.2020 | 1234m | 38° 37'14.00" 34°49'41.00" |
| 18 | Üzengi Vadisi(Havariler Kilisesi Yanı) | Tam Gölge | Nemli | Kaya | K | 28.11.2020 | 1133m | 38° 36'08.875" 34°53'51.892" |
| 19 | Ortahisar | Kısmen Gölge | Kuru | Toprak | K | 7.03.2021 | 1243m | 38° 38'08.21" 34°51'43.34" |
| 20 | Müze Vadisi | Kısmen Gölge | Nemli | Kaya | K | 13.03.2021 | 1172m | 38° 38'24.465" 34°50'37.479" |

Yayılışı: Türkiye (A1, A2, A3, A4, B6, B7, B9, C11, C12), Avrupa, Kıbrıs, Kuzey ve Orta Amerika, Makaronezia.

79. **Didymodon cordatus* Jur.

| S.S. | MEVKİ | Işık | Nem | Substrat | Yön | Tarih | Yük. | GPS(N/E) |
|------|---------------------------------------|------|-------|----------|-----|------------|-------|----------------------------|
| 1 | 15 Temmuz Mahallesi Alparslan Bulvarı | Açık | Nemli | Toprak | B | 24.02.2020 | 1206m | 38° 39'29.00" 34°44'14.00" |

Yayılışı: Türkiye (A2, A3, B6, B7, C11, C12), Avrupa'da Belçika ve Almanya'nın kuzeyi, Kafkasya, Kırım'ın doğusu.

80. *Didymodon tophaceus* (Brid.) Lisa

| S.S. | MEVKİ | Işık | Nem | Substrat | Yön | Tarih | Yük. | GPS(N/E) |
|------|--------------------|-----------|------|-----------------|-----|------------|-------|------------------------------|
| 1 | Güvercinlik Vadisi | Güneşli | Orta | Toprak üzeri | G | 30.05.2020 | 1283m | 38° 37'24.00" 34°48'21.00" |
| 2 | Zemi Vadisi | Güneşli | Orta | Kaya kütlesi | KB | 4.06.2020 | 1133m | 38° 37'57.00" 34°50'19.00" |
| 3 | Müze Vadisi | Tam Gölge | Orta | Populus tremula | K | 13.03.2021 | 1140m | 38° 38'21.879" 34°50'40.388" |

Yayılışı: Türkiye (A1, A2, A4, A5, B6, B7, C11, C12, C13, C15), Afrika, Asya, Avrupa, Bolivya. Çin, Faroe Adaları, Fas, İzlanda, Kafkasya, Kanarya Adaları, Keşmir, Kıbrıs, Kuzey Amerika, Makaronezya, Meksika Tibet, Tunus.

81. **Didymodon vinealis* (Brid.) R.H. Zander

| S.S. | MEVKİ | Işık | Nem | Substrat | Yön | Tarih | Yük. | GPS(N/E) |
|------|--|--------------|-------|-----------|-----|------------|-------|-------------------------------|
| 1 | Kızılıçukur Vadisi | Açık | Orta | Toprak | G | 4.06.2020 | 1214m | 38° 38'52.00" 34°49'47.00" |
| 2 | Zemi Vadisi | Kısmen Gölge | Orta | Tüf | K | 15.07.2020 | 1340m | 38° 36'43.00" 34°48'48.00" |
| 3 | Kızıl Vadı | Kısmen Gölge | Nemli | Kaya | K | 25.07.2020 | 1060m | 38° 39'09.00" 34°50'54.00" |
| 4 | Zemi Vadisi | Tam Gölge | Orta | Kaya | K | 17.10.2020 | 1234m | 38° 37'14.00" 34°49'41.00" |
| 5 | Zemi Vadisi | Kısmen Gölge | Nemli | Kaya | K | 17.10.2020 | 1229m | 38° 37'14.00" 34°49'41.00" |
| 6 | Akdağ(Kuzey) | Kısmen Gölge | Nemli | Toprak | K | 8.11.2020 | 1318m | 38° 39'27.951" 34°52'00.000" |
| 7 | Akdağ(Kuzey) | Kısmen Gölge | Nemli | Toprak | K | 8.11.2020 | 1300m | 38° 39'33.584" 34°51'56.145" |
| 8 | Üzengi Vadisi(Havariler Kilisesi Yanı) | Tam Gölge | Orta | Kaya(kut) | K | 28.11.2020 | 1135m | 38° 35'58.095" 34°53'36.304" |
| 9 | Ortahisar Vadisi | Tam Gölge | Orta | Toprak | K | 28.11.2020 | 1142m | 38° 36'15.287" 34°53'51.661" |
| 10 | Akdağ(Kuzey) | Tam Gölge | Nemli | Toprak | K | 6.03.2021 | 1122m | 38° 40'14.130" 34°53'02.053" |
| 11 | Müze Vadisi | Kısmen Gölge | Nemli | Kaya | K | 13.03.2021 | 1100m | 38° 38'28.000" 34°50'34.200" |
| 12 | Bağlı Dere | Kısmen Gölge | Orta | Toprak | K | 20.05.2021 | 1091m | 38°42'14.8799" 34°48'40.1569" |

Yayılışı: Türkiye (A1, A2, A3, A4, B6, B7, B8, B9, B10, C11, C12, C13, C14), Avrupa, Çin, Güney ve Doğu Asya, Kafkasya, Kıbrıs, Kuzey Afrika, Kuzey ve Orta Amerika, Hawai, İskandinavya, İzlanda, Jamaika, Makaronezya, Meksika, Nepal.

82. **Didymodon rigidulus* Hedw.

| S.S. | MEVKİ | Işık | Nem | Substrat | Yön | Tarih | Yük. | GPS(N/E) |
|------|----------------|--------------|------|----------|-----|------------|-------|----------------------------|
| 1 | Zemi Vadisi | Tam Gölge | Orta | Humus | K | 15.07.2020 | 1360m | 38° 36'39.00" 34°48'40.00" |
| 2 | Zemi Vadisi | Tam Gölge | Orta | Kütük | K | 15.07.2020 | 1360m | 38° 36'39.00" 34°48'40.00" |
| 3 | Kızıl Vadı | Kısmen Gölge | Orta | Toprak | K | 25.07.2020 | 1190m | 38° 39'17.00" 34°51'48.00" |
| 4 | Devrent Vadisi | Kısmen Gölge | Kuru | Toprak | K | 10.08.2020 | 1120m | 38° 40'20.00" 34°53'13.00" |

Yayılışı: Türkiye (A1, A2, A4, B6, B8, C11, C13), Afrika, Antarktika, Asya, Avrupa, İskandinavya, Kafkasya, Kanarya Adaları, Kıbrıs, Kuzey ve Orta Amerika.

83. **Didymodon tomaculosus* (Blockeel) M.F.V. Corley

| S.S. | MEVKİ | Işık | Nem | Substrat | Yön | Tarih | Yük. | GPS(N/E) |
|------|--------------|------|------|-----------|-----|------------|-------|----------------------------|
| 1 | Zelve Vadisi | Açık | Kuru | Kaya(kut) | K | 16.07.2020 | 1000m | 38° 41'17.00" 34°48'27.00" |

Yayılışı: Türkiye (A3), Britanya Adaları, Almanya'nın Güneyi.

84. **Didymodon tophaceus* (Brid.). *Lisa* subsp. *sicculus* (M.J.Cano, Ros, García-Zam. & J. Guerra) Jan Kučera

| S.S. | MEVKİ | Işık | Nem | Substrat | Yön | Tarih | Yük. | GPS(N/E) |
|------|--------------------|--------------|------|----------|-----|------------|-------|----------------------------|
| 1 | Güvercinlik Vadisi | Kısmen Gölge | Kuru | Kaya | K | 23.08.2020 | 1200m | 38° 37'51.00" 34°49'01.00" |

Yayılışı: Türkiye (A1, A2, A4, A5, B6, B7, C11, C12, C13, C15), Afrika, Asya, Avrupa, Bolivya. Çin, Faroe Adaları, Fas, İzlanda, Kafkasya, Kanarya Adaları, Keşmir, Kıbrıs, Kuzey Amerika, Makaronezya, Meksika Tibet, Tunus.

***Tortula* Hedw.**

85. **Tortula vlassovii* (Laz.) Ros & Herrnst.

| S.S. | MEVKİ | Işık | Nem | Substrat | Yön | Tarih | Yük. | GPS(N/E) |
|------|---------------------------|------|-------|----------|-----|------------|-------|----------------------------|
| 1 | NHBV Üniversitesi Kampüsü | Açık | Nemli | Toprak | D | 15.01.2020 | 1121m | 38° 40'28.00" 34°44'35.00" |

Yayılışı: Türkiye, İspanya, Almanya, Ukrayna, Ermenistan, Rusya, Kanada ve Amerika.

86. **Tortula subulata* Hedw.

| S.S. | MEVKİ | Işık | Nem | Substrat | Yön | Tarih | Yük. | GPS(N/E) |
|------|---|--------------|-------|--------------|-----|------------|-------|----------------------------|
| 1 | Sulusaray yolu | Açık | Nemli | Kaya | K | 24.01.2020 | 1200m | 38° 40'60.00" 34°43'46.00" |
| 2 | Güvercinlik Vadisi | Güneşli | Orta | Toprak | G | 30.05.2020 | 1281m | 38° 37'46.00" 34°48'13.00" |
| 3 | Güvercinlik Vadisi | Açık | Nemli | Toprak | G | 30.05.2020 | 1281m | 38° 37'46.00" 34°48'21.00" |
| 4 | Güvercinlik Vadisi | Güneşli | Orta | Toprak | G | 30.05.2020 | 1283m | 38° 37'24.00" 34°48'21.00" |
| 5 | Açık Hava Müzesi Yılanlı Kilisesinin Üstü | Açık | Nemli | Kaya | B | 4.06.2020 | 1117m | 38° 38'24.00" 34°50'49.00" |
| 6 | Zemi Vadisi | Kısmen Gölge | Orta | Kaya | K | 5.07.2020 | 1380m | 38° 36'35.00" 34°48'38.00" |
| 7 | Zemi Vadisi | Tam Gölge | Orta | Toprak | K | 15.07.2020 | 1360m | 38° 36'39.00" 34°48'40.00" |
| 8 | Zemi Vadisi | Kısmen Gölge | Orta | Ağaç(Kavak) | K | 15.07.2020 | 1340m | 38° 36'43.00" 34°48'48.00" |
| 9 | Zemi Vadisi | Kısmen Gölge | Orta | Kaya | K | 15.07.2020 | 1340m | 38° 36'43.00" 34°48'48.00" |
| 10 | Zelve Vadisi | Tam Gölge | Orta | Ağaç(Kayısı) | K | 16.07.2020 | 1100m | 38° 40'01.00" 34°51'51.00" |
| 11 | Güvercinlik Vadisi | Kısmen Gölge | Orta | Toprak | B | 22.08.2020 | 1220m | 38° 37'49.00" 34°48'44.00" |
| 12 | Güvercinlik Vadisi | Açık | Kuru | Kaya | K | 22.08.2020 | 1200m | 38° 37'53.00" 34°48'53.00" |
| 13 | Aynalı Kilise Vadisi | Tam Gölge | Islak | Toprak | K | 24.10.2020 | 1179m | 38° 38'10.00" 34°50'53.00" |

Yayılışı: Türkiye (A1, A2, A3, A4, B6, B7, B8, C11, C12, C13), Avrupa, Cezayir, Çin, Faroe Adaları, Kafkaslar, Kanarya Adaları, Kuzeydoğu Amerika, Madeira Adası.

87. **Tortula muralis* Hedw.

| S.S. | MEVKİ | Işık | Nem | Substrat | Yön | Tarih | Yük. | GPS(N/E) |
|------|--------------------|--------------|-------|--------------|-----|------------|-------|--------------------------------|
| 1 | Güvercinlik Vadisi | Güneşli | Nemli | Kaya kütlesi | GD | 30.05.2020 | 1262m | 38° 37'37.00" 34°48'50.00" |
| 2 | Gomeda Vadisi | Kısmen Gölge | Orta | Kaya kütlesi | K | 30.06.2020 | 1190m | 38° 35'44.00" 34°52'22.00" |
| 3 | Kermil Dağı Doğusu | Kısmen Gölge | Kuru | Toprak üzeri | KB | 4.07.2020 | 1417m | 38° 36'13.00" 34°49'30.00" |
| 4 | Zemi Vadisi | Tam Gölge | Orta | Kaya kütlesi | K | 17.10.2020 | 1234m | 38° 37'14.00" 34°49'41.00" |
| 5 | Zemi Vadisi | Açık | Islak | Toprak üzeri | K | 21.03.2021 | 1361m | 38° 36'49.5857" 34°48'24.6957" |

Yayılışı: Türkiye (A1, A2, A3, A4, B6, B7, C11, C12, C13), Kozmopolit.

88. *Tortula brevissima* Schiffn.

| S.S. | MEVKİ | Işık | Nem | Substrat | Yön | Tarih | Yük. | GPS(N/E) |
|------|--|--------------|-------|----------|-----|------------|-------|------------------------------|
| 1 | Açık Hava Müzesi Yılanlı Kilisesi Yanı | Güneşli | Nemli | Toprak | GD | 4.06.2020 | 1127m | 38° 38'22.00" 34°50'41.00" |
| 2 | Gomeda Vadisi | Kısmen Gölge | Orta | Vertikal | K | 30.06.2020 | 1190m | 38° 35'44.00" 34°52'22.00" |
| 3 | Zelve Vadisi | Kısmen Gölge | Kuru | Kaya | K | 16.07.2020 | 1100m | 38° 40'01.00" 34°51'51.00" |
| 4 | Kızıl Vadı | Açık | Kuru | Toprak | K | 25.07.2020 | 1170m | 38° 39'01.00" 34°51'38.00" |
| 5 | Devrent Vadisi | Kısmen Gölge | Kuru | Kaya | K | 10.08.2020 | 1159m | 38° 40'24.00" 34°53'17.00" |
| 6 | Devrent Vadisi | Kısmen Gölge | Kuru | Kaya | K | 10.08.2020 | 1160m | 38° 40'24.00" 34°53'17.00" |
| 7 | Üzengi Vadisi(Havariler Kilisesi Yanı) | Kısmen Gölge | Islak | Beton | K | 28.11.2020 | 1128m | 38° 35'58.857" 34°53'35.929" |

Yayılışı: Türkiye (A1, A4, B6, C11, C12), Amerika, Avrupa, Avustralya, Çin, İzlanda, Japonya.

89. **Tortula mucronifolia* Schwägr.

| S.S. | MEVKİ | Işık | Nem | Substrat | Yön | Tarih | Yük. | GPS(N/E) |
|------|---------------|---------|------|----------|-----|------------|-------|----------------------------|
| 1 | Zemi Vadisi | Güneşli | Orta | Toprak | GD | 4.06.2020 | 1132m | 38° 38'01.00" 34°50'13.00" |
| 2 | Üzengi Vadisi | Açık | Orta | Kaya | B | 29.06.2020 | 1100m | 38° 36'12.00" 34°53'55.00" |
| 3 | Kızıl Vadı | Açık | Orta | Kütük | K | 25.07.2020 | 1060m | 38° 39'09.00" 34°50'54.00" |

Yayılışı: Türkiye (A1, A2, B6, B7, B8, C11, C13), Asya, Afrika & Madagaskar, Karayıp, Avrupa, Kuzey Amerika, Okyanusya, Orta Amerika, Güney Amerika.

90. **Tortula lingulata* Lindb.

| S.S. | MEVKİ | Işık | Nem | Substrat | Yön | Tarih | Yük. | GPS(N/E) |
|------|---------------|--------------|------|----------|-----|------------|-------|----------------------------|
| 1 | Üzengi Vadisi | Kısmen Gölge | Kuru | Kaya | K | 29.06.2020 | 1100m | 38° 36'12.00" 34°53'55.00" |

Yayılışı: Türkiye (B8), Asya, Afrika & Madagaskar, Karayıp, Avrupa, Kuzey Amerika, Okyanusya, Orta Amerika, Güney Amerika.

91. **Tortula muralis* subsp. *obtusifolia* (Schwägr.) Culm.

| S.S. | MEVKİ | Işık | Nem | Substrat | Yön | Tarih | Yük. | GPS(N/E) |
|------|---------------|--------------|------|----------|-----|------------|-------|----------------------------|
| 1 | Gomeda Vadisi | Kısmen Gölge | Orta | Kaya | K | 30.06.2020 | 1190m | 38° 34'29.00" 34°52'19.00" |

Yayılışı: Türkiye (A1, A2, A4, B6, B7, B10, C11, C12, C13), Asya, Afrika & Madagaskar, Karayıp, Avrupa, Kuzey Amerika, Okyanusya, Orta Amerika, Güney Amerika.

92. **Tortula revolvens* (Schimp.) G. Roth

| S.S. | MEVKİ | Işık | Nem | Substrat | Yön | Tarih | Yük. | GPS(N/E) |
|------|--------------------|--------------|------|----------|-----|------------|-------|----------------------------|
| 1 | Güvercinlik Vadisi | Kısmen Gölge | Kuru | Kaya | K | 22.08.2020 | 1220m | 38° 38'00.00" 34°48'53.00" |

Yayılışı: Türkiye (C11), Asya, Afrika & Madagaskar, Karayıp, Avrupa, Kuzey Amerika, Okyanusya, Orta Amerika, Güney Amerika.

Tortella (Müll.Hal.) Limpr.

93. **Tortella inclinata* (R. Hedw.) Limpr.

| S.S. | MEVKİ | Işık | Nem | Substrat | Yön | Tarih | Yük. | GPS(N/E) |
|------|--------------------|--------------|-------|----------|-----|------------|-------|------------------------------|
| 1 | Kızıl Vadı | Kısmen Gölge | Orta | Toprak | K | 25.07.2020 | 1190m | 38° 39'17.00" 34°51'48.00" |
| 2 | Kermil Dağı Kuzeyi | Açık | Nemli | Toprak | KB | 14.11.2020 | 1492m | 38° 36'19.439" 34°48'43.988" |
| 3 | Ortahisar Vadisi | Tam Gölge | Orta | Türf | K | 28.11.2020 | 1142m | 38° 36'15.287" 34°53'51.661" |
| 4 | Akdağ(Kuzey) | Tam Gölge | Nemli | Toprak | K | 6.03.2021 | 1122m | 38° 40'14.130" 34°53'02.053" |

Yayılışı: Türkiye (A2, A3, B6, C11), Avrupa, İskandinavya, Kafkasya, Kuzey Asya, Azor Adaları, Cezayir, Güney Afrika, Kuzey Amerika, Avustralya.

Barbula Hedw.

94. **Barbula unguiculata* Hedw.

| S.S. | MEVKİ | Işık | Nem | Substrat | Yön | Tarih | Yük. | GPS(N/E) |
|------|--------------------------------|--------------|------|----------|-----|------------|-------|----------------------------|
| 1 | Güvercinlik Vadisi | Güneşli | Orta | Toprak | GB | 30.05.2020 | 1320m | 38° 37'12.00" 34°48'19.00" |
| 2 | Aşk Vadisi Bağlı Dere | Güneşli | Kuru | Toprak | GB | 9.06.2020 | 1108m | 38° 40'46.00" 34°50'58.00" |
| 3 | Zemi Vadisi(Kermil Dağı Giriş) | Kısmen Gölge | Orta | Kaya | B | 5.07.2020 | 1420m | 38° 36'28.00" 34°48'37.00" |

Yayılışı: Türkiye (A1, A2, A3, A4, A5, B6, B7, B10, C11, C12, C13), Amerika, Asya, Avrupa, Avustralya, Cezayir, Çin, Faroe Adaları, Honkong, İskandinavya, İzlanda, Kıbrıs, Japonya, Meksika, Orta ve Güney Afrika, Yeni Zelanda.

Microbryum Schimp.

95. **Microbryum floerkeanum* (F. Weber & D. Mohr) Schimp.

| S.S. | MEVKİ | Işık | Nem | Substrat | Yön | Tarih | Yük. | GPS(N/E) |
|------|--------------------|--------------|-------|------------|-----|------------|-------|--------------------------------|
| 1 | Kızılıçukur Vadisi | Güneşli | Orta | Toprak | B | 4.06.2020 | 1149m | 38° 39'37.00" 34°50'06.00" |
| 2 | Zemi Vadisi | Açık | Nemli | Toprak | GD | 4.06.2020 | 1125m | 38° 38'47.00" 34°50'13.00" |
| 3 | Müze Vadisi | Kısmen Gölge | Nemli | Taş duvar | K | 13.03.2021 | 1130m | 38° 38'24.468" 34°50'37.479" |
| 4 | Zemi Vadisi | Güneşli | İslak | Ağaç(Alıç) | D | 21.03.2021 | 1361m | 38° 36'31.2150" 34°48'38.9431" |
| 5 | Sulusaray yolu | Açık | Kuru | Kaya | GD | 21.03.2021 | 1172m | 38° 41'28.2336" 34°43'53.9892" |

Yayılışı: Türkiye (A3, B6, C11), Asya, Afrika & Madagaskar, Karayıp, Avrupa, Kuzey Amerika, Okyanusya, Orta Amerika, Güney Amerika.

***Hennediella* Paris**

96. *Hennediella polyseta* (C. Müll.) Zand.**

| S.S. | MEVKİ | Işık | Nem | Substrat | Yön | Tarih | Yük. | GPS(N/E) |
|------|-----------------------|--------------|------|----------|-----|------------|-------|-------------------------------|
| 1 | Aşk Vadisi Bağlı Dere | Güneşli | Kuru | Toprak | GB | 9.06.2020 | 1108m | 38° 40'46.00" 34°50'58.00" |
| 2 | Bağlı Dere | Kısmen Gölge | Orta | Toprak | K | 20.05.2021 | 1091m | 38°42'14.8799" 34°48'40.1569" |

Yayılışı: Asya, Afrika & Madagaskar, Karayip, Avrupa, Kuzey Amerika, Okyanusya, Orta Amerika, Güney Amerika.

***Bryoerythrophyllum* P.C.Chen**

97. **Bryoerythrophyllum rubrum* (Jur. ex Geh.) P.C. Chen

| S.S. | MEVKİ | Işık | Nem | Substrat | Yön | Tarih | Yük. | GPS(N/E) |
|------|-----------------------|--------------|------|-----------|-----|------------|-------|----------------------------|
| 1 | Rose Valley | Kısmen Gölge | Orta | Asma altı | K | 25.07.2020 | 1090m | 38° 39'22.00" 34°51'13.00" |
| 2 | Kermil Dağı Kuzeyi | Kısmen Gölge | Kuru | Kaya | K | 11.10.2020 | 1490m | 38° 36'18.00" 34°48'33.00" |
| 3 | Aynalı Kilise Çevresi | Kısmen Gölge | Kuru | Kaya | K | 24.10.2020 | 1259m | 38° 38'11.00" 34°51'09.00" |

Yayılışı: Türkiye (A4, B8, C13), Çin, Fransa, İtalya, Nepal.

***Crossidium* Jur.**

98. **Crossidium squamiferum* (Viv.) Jur.

| S.S. | MEVKİ | Işık | Nem | Substrat | Yön | Tarih | Yük. | GPS(N/E) |
|------|---------------|------|------|-----------|-----|-----------|-------|----------------------------|
| 1 | Akdağ(Bozdağ) | Açık | Kuru | Kaya(kut) | K | 3.09.2020 | 1250m | 38° 39'69.00" 34°52'70.00" |

Yayılışı: Türkiye (A2, B6, B7, B8, B9, C11, C12, C13, C14), Akdeniz Havzası ve Asya, Kaliforniya, Pakistan.

***Pseudocrossidium* R.S. Williams**

99. *Pseudocrossidium hornschuchianum* (Schultz) R.H. Zander

| S.S. | MEVKİ | Işık | Nem | Substrat | Yön | Tarih | Yük. | GPS(N/E) |
|------|----------------|--------------|------|----------|-----|------------|-------|----------------------------|
| 1 | Devrent Vadisi | Kısmen Gölge | Kuru | Toprak | K | 11.08.2020 | 1125m | 38° 40'18.00" 34°53'12.00" |

Yayılışı: Türkiye (B6, C11), Avrupa, Asya, Makaronezya, Kuzey Afrika, İngiltere, Kolombiya, Avustralya.

100. **Pseudocrossidium obtusulum* (Lindb.) H.A. Crum & L.E. Anderson

| S.S. | MEVKİ | Işık | Nem | Substrat | Yön | Tarih | Yük. | GPS(N/E) | |
|------|--------------|------|-------|----------|-----|-----------|-------|----------------|---------------|
| 1 | Akdağ(Kuzey) | Açık | Nemli | Toprak | K | 8.11.2020 | 1297m | 38° 39'34.954" | 34°51'54.015" |
| 2 | Akdağ(Kuzey) | Açık | Nemli | Toprak | K | 8.11.2020 | 1315m | 38° 39'33.260" | 34°51'53.140" |

Yayılışı: Türkiye (A1), Asya, Afrika & Madagaskar, Karayıp, Avrupa, Kuzey Amerika, Okyanusya, Orta Amerika, Güney Amerika.

5.1. Taksonların Karakteristik Yapılarının Mikroskopik Görüntüleri

Amblystegium serpens (Hedw.) Schimp.



Bitkinin Kuru Hali



Genel Görünüm



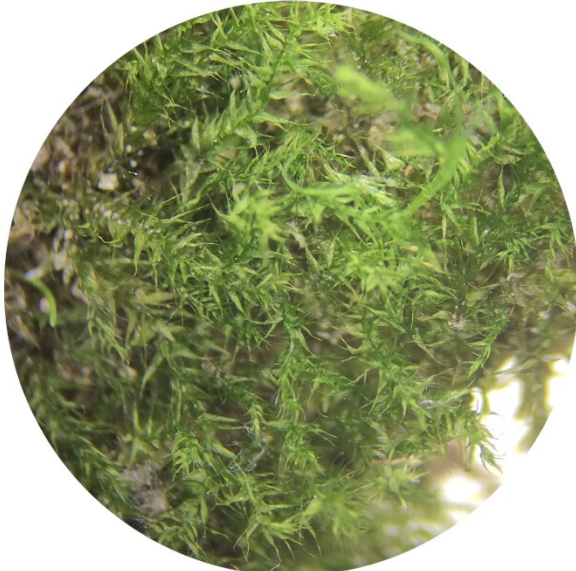
Yaprak



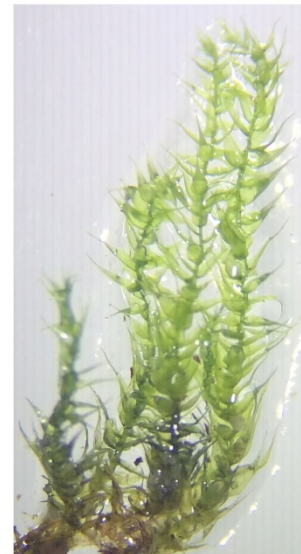
Yaprak Tabanı

Şekil 5. 1. *Amblystegium serpens*'in mikroskobik görüntüleri

Hygroamblystegium tenax (Hedw.) Jenn.



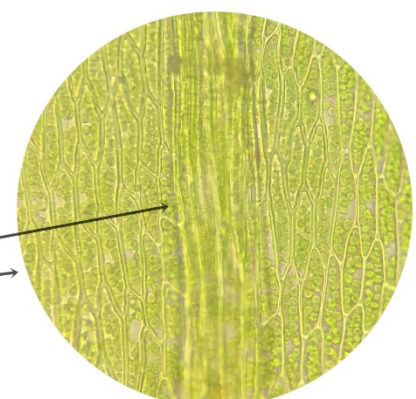
Bitkinin Kuru Hali



Genel Görünüm



Yaprak



Yaprak Orta Kısım Hücreleri

Şekil 5. 2. *Hygroamblystegium tenax*'ın mikroskobik görüntüleri

Hygroamblystegium humile (P.Beauv.) Vanderp., Goffinet & Hedenäs



Şekil 5. 3. *Hygroamblystegium humile*'nin mikroskobik görüntüleri

Hygroamblystegium varium (Hedw.) Mönk



Şekil 5. 4. *Hygroamblystegium varium*'un mikroskopik görüntüleri

Conardia compacta (Drumm ex Müll. Hal.) H. Rob.



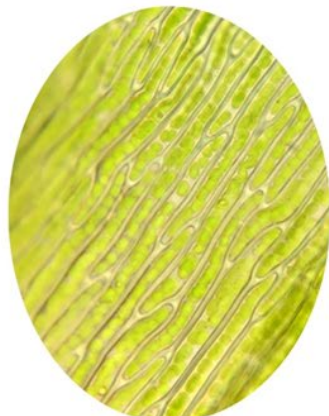
Bitkinin Kuru Hali



Yaprak



Yaprak Ucu



Yaprak Orta Kısım Hücreleri



Yaprak Tabanı

Şekil 5. 5. *Conardia compacta*'nın mikroskobik görüntüleri

Cratoneuron filicinum (Hedw.) Spruce



Bitkinin Kuru Hali



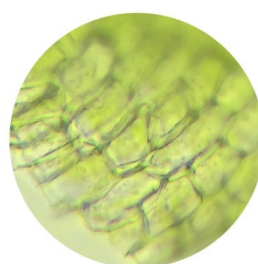
Yaprak



Yaprak Kenar Hücreleri



Yaprak Ucu



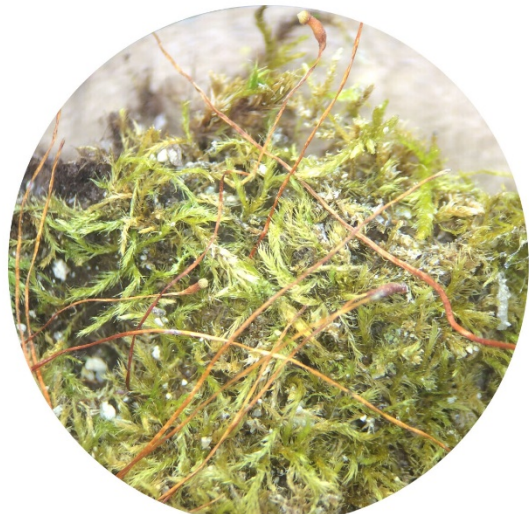
Taban Hücreler



Yaprak Orta Kısım Hücreleri

Şekil 5. 6. *Cratoneuron filicinum*'un mikroskopik görüntüleri

Drepanocladus sordidus (Müll.Hal.) Hedenäs



Bitkinin Kuru Hali

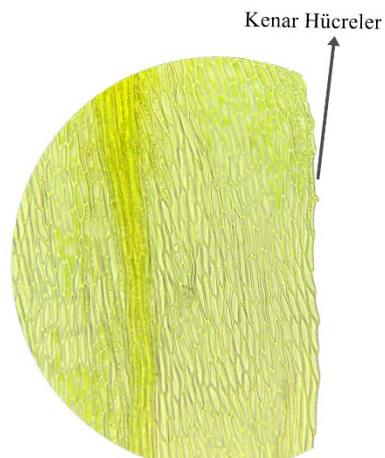


Genel Görünüm



Yaprak

Yaprak Ucu



Yaprak Orta Kısım Hücreleri



Yaprak Tabani

Şekil 5. 7. *Drepanocladus sordidus*'un mikroskobik görüntüleri

Brachythecium capillaceum (F. Weber & D. Mohr) Giacom.



Bitkinin Kuru Hali



Genel Görünüm



Kapsül



Peristom Dişleri



Yaprak



Yaprak Ucu



Yaprak Tabanı

Şekil 5. 8. *Brachythecium capillaceum*'un mikroskopik görüntüleri

Brachythecium albicans (Hedw.) Schimp.



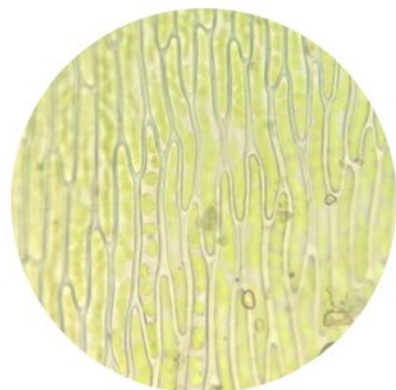
Bitkinin Genel Görünümü



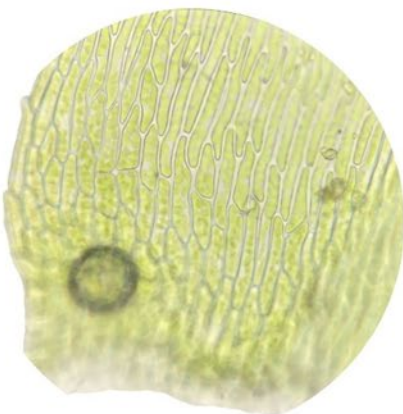
Yaaprak



Yaprak Ucu



Yaprak Orta Kısım Hücreleri



Taban Hücreler

Şekil 5. 9. *Brachythecium albicans*'ın mikroskopik görüntüleri

Brachythecium salebrosum (Hoffm. ex F. Weber & D. Mohr) Schimp.



Bitkinin Kuru Hali



Genel Görünüm



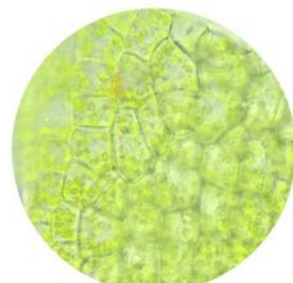
Yaprak



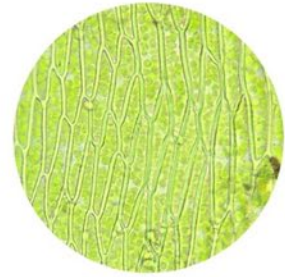
Yaprak Taban Hücreleri



Yaprak Ucu



Yaprak Taban Hücreleri



Yaprak Orta Kısım Hücreleri

Şekil 5. 10. *Brachythecium salebrosum*'un mikroskopik görüntüleri

Brachytheciastrum velutinum (Hedw.) Ignatov & Huttunen



Bitkinin Kuru Hali



Bitkinin Islak Hali



Yaprak



Kapsül



Genel Görünüm



Yaprak Ucu



Yaprak Orta Bölüm Hücreleri



Yaprak Tabanı

Şekil 5. 11. *Brachytheciastrum velutinum*'un mikroskopik görüntüleri

Brachytheciastrum collinum (Schleich. ex Müll. Hal.) Ignatov & Huttunen



Bitkinin Kuru Hali



Bitkinin Islak Hali



Yaprak



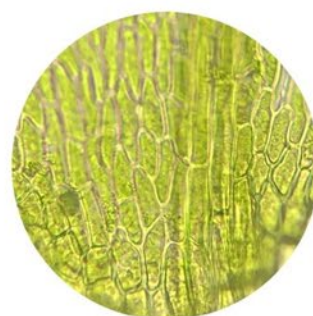
Genel Görünüm



Peristom Dişleri



Yaprak Ucu



Yaprak Taban Hücreleri

Şekil 5. 12. *Brachytheciastrum collinum*'un mikroskopik görüntüleri

Homalothecium lutescens (Hedw.) H. Rob.



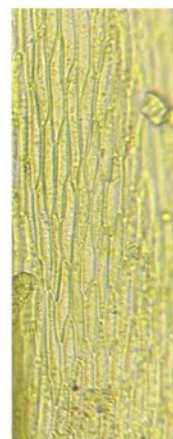
Bitkinin Kuru Hali



Yaprak



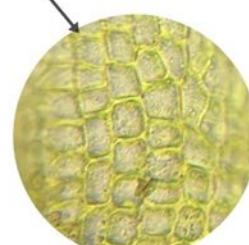
Yaprak



Yaprak Orta Kısmı Hücreleri



Taban Hücreler



Taban Hücreler



Genel Görünüm

Şekil 5. 13. *Homalothecium lutescens*' in mikroskopik görüntüleri

Homalothecium philippeanum (Spruce) Schimp.



Şekil 5. 14. *Homalothecium philippeanum*' un mikroskopik görüntüleri

Homalothecium sericeum (Hedw.) Schimp.



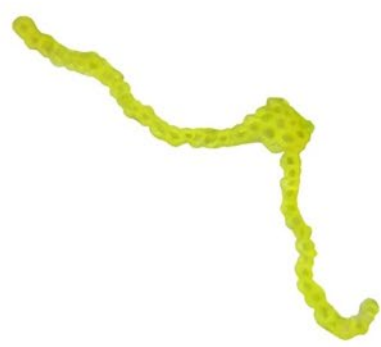
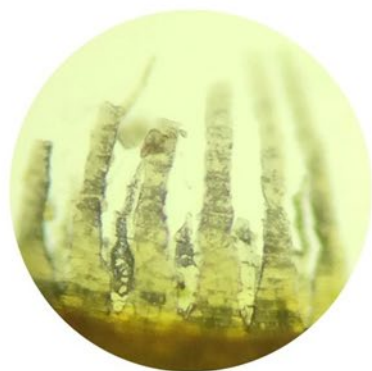
Bitkinin Kuru Hali



Genel Görünüm



Yaprak Ucu



Şekil 5. 15. *Homalothecium sericeum*' un mikroskobik görüntüleri

Homalothecium aureum (Spruce) H. Rob.



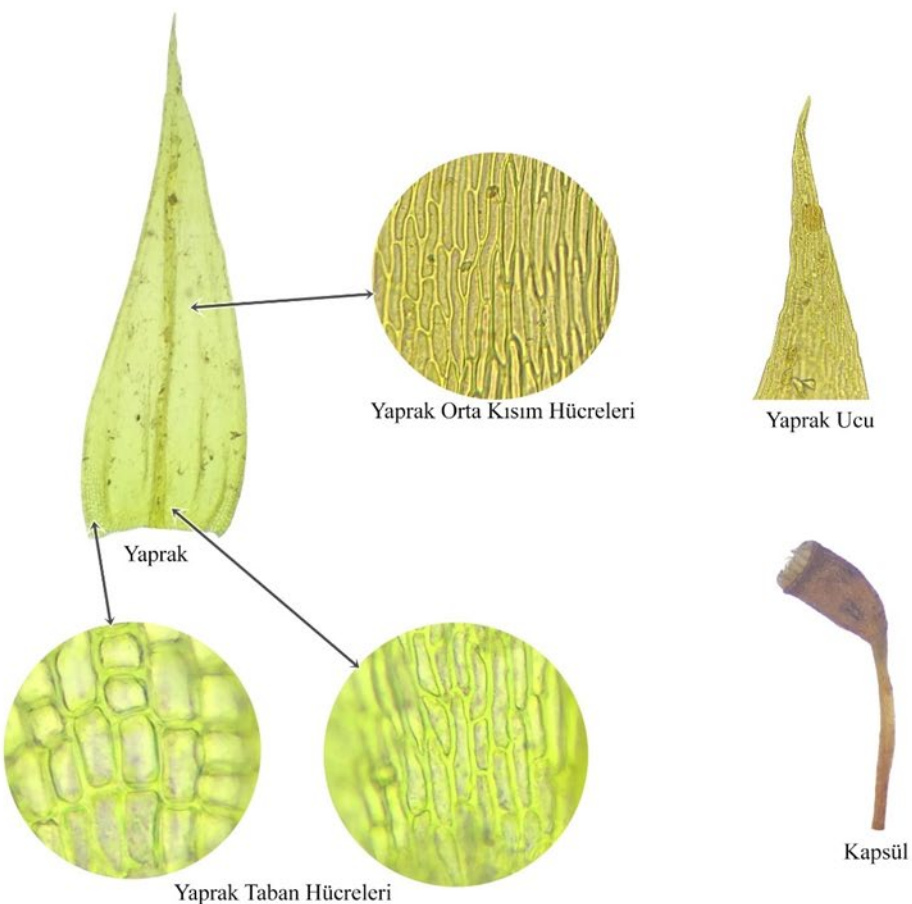
Bitkinin Kuru Hali



Genel Görünüm



Yaprak Ucu



Şekil 5. 16. *Homalothecium aureum*' un mikroskobik görüntüleri

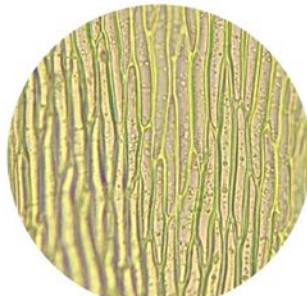
Rhynchostegiella tenella (Dicks.) Limpr.



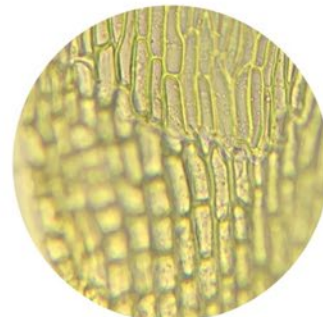
Bitkinin Genel Görünümü



Yaprak



Yaprak Orta Kısım Hücreler



Yaprak Tabanı

Şekil 5. 17. *Rhynchostegiella tenella*'nın mikroskopik görüntüleri

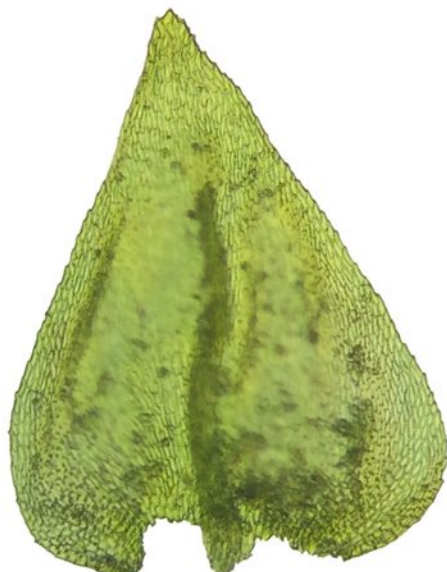
Eurhynchiastrum pulchellum (Hedw.) Ignatov & Huttunen



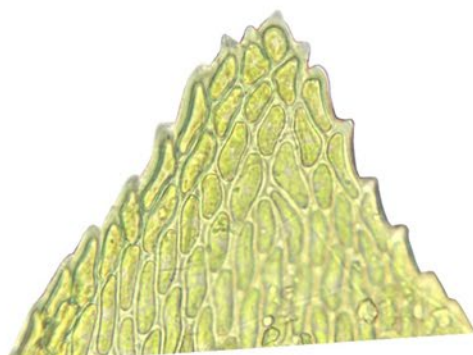
Bitkinin Kuru Hali



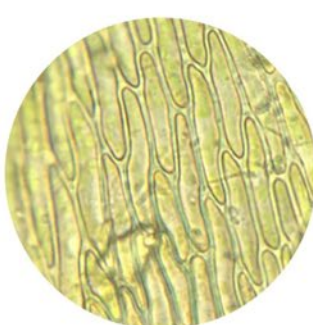
Bitkinin Islak Hali



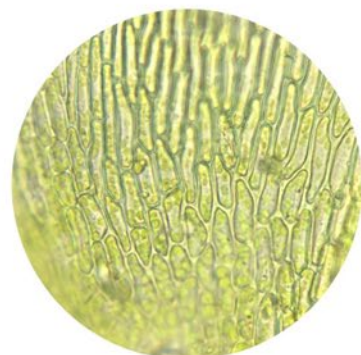
Yaprak



Yaprak Ucu



Yaprak Orta Kısım Hücreleri



Taban Hücreler

Şekil 5. 18. *Eurhynchiastrum pulchellum'* un mikroskopik görüntüleri

Eurhynchiastrum diversifolium (Schimp.) J.Guerra



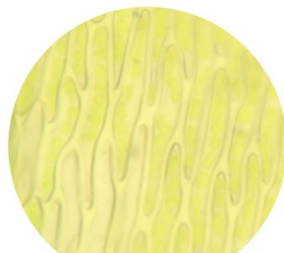
Bitkinin Kuru Hali



Genel Görünüm



Yaprak



Orta Kısmı Hücreler



Yaprak Ucu



Taban Hücreler

Şekil 5. 19. *Eurhynchiastrum diversifolium*' un mikroskobik görüntüleri

Kindbergia praelonga (Hedw.) Ochyra



Bitkinin Kuru Hali



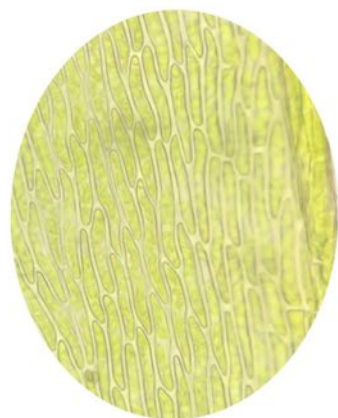
Genel Görünüm



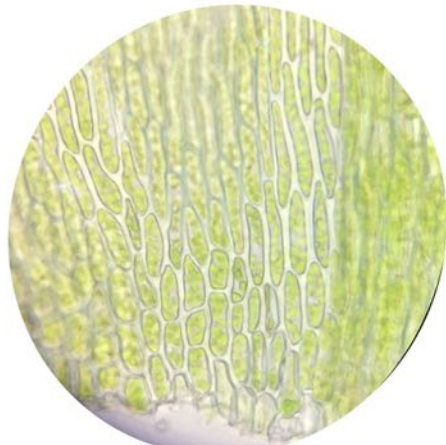
Yaprak



Yaprak Ucu



Yaprak Orta Kısım Hücreleri



Yaprak Tabanı

Şekil 5. 20. *Kindbergia praelonga*'nın mikroskopik görüntüleri

Sciuro-hypnum populeum (Hedw.) Ignatov & Huttunen



Şekil 5. 21. *Sciuro-hypnum populeum*'un mikroskopik görüntüleri

Sciuro-hypnum glaciale (Schimp.) Ignatov & Huttunen



Şekil 5. 22. *Sciuro-hypnum glaciale*'nin mikroskobik görüntüleri

Rhynchostegium megapolitanum (Blandow ex. F. Weber & D. Mohr) Schimp.



Şekil 5. 23. *Rhynchostegium megapolitanum*'un mikroskobik görüntüleri

Bryum argenteum Hedw.



Bitkinin Kuru Hali



Genel Görünüm



Yaprak



Enine Kesit

Şekil 5. 24. *Bryum argenteum*'un mikroskopik görüntüleri

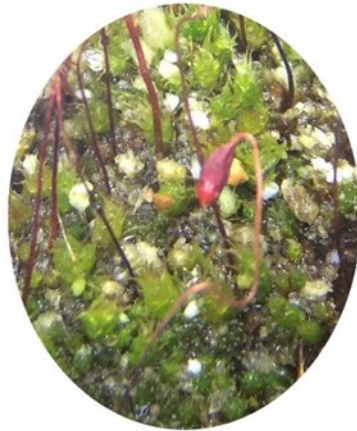
Bryum dichotomum Hedw.



Bitkinin Kuru Hali



Kapsül



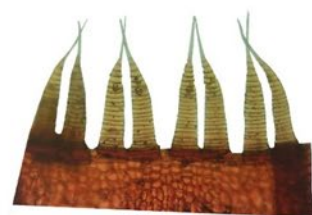
Bitkinin Islak Hali



Yaprak



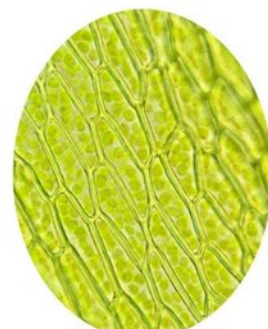
Genel Görünüm



Dişler



Yaprak Ucu



Yaprak Orta Kısım
Hücreleri



Yaprak Taban Hücreleri

Şekil 5. 25. *Bryum dichotomum*'un mikroskopik görüntüleri

Bryum radiculosum Brid.



Bitkinin Kuru Hali



Bitkinin Islak Hali



Yaprak



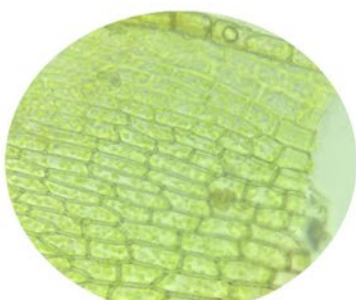
Kapsül



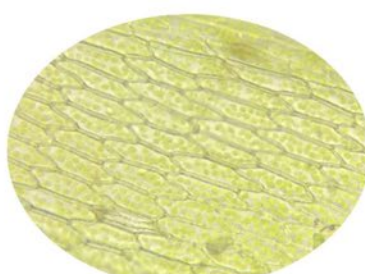
Dişler



Yaprak Ucu



Yaprak Tabanı



Yaprak Orta Kısmı Hücreleri

Şekil 5. 26. *Bryum radiculosum*'un mikroskopik görüntüleri

Bryum arachnoideum C. Müll.



Bitkinin Kuru Hali



Yaprak



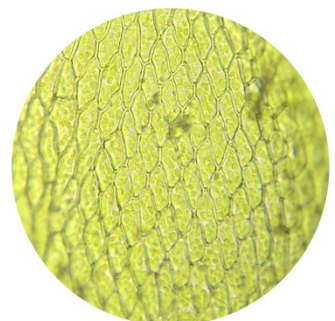
Yaprak Ucu



Genel Görünüm



Yaprak Taban Hücreleri



Yaprak Orta Kısım Hücreleri

Şekil 5. 27. *Bryum arachnoideum*'un mikroskopik görüntüleri

Imbribryum mildeanum (Jur.) J.R. Spence



Şekil 5. 28. *Imbribryum mildeanum*'un mikroskobik görüntüleri

Ptychostomum capillare (Hedw.) Holyoak & N. Pedersen



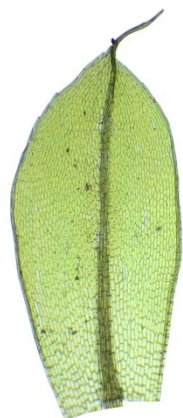
Bitkinin Kuru Görünümü



Bitkinin Islak Görünümü



Genel Görünüm



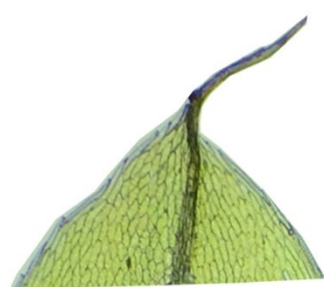
Yaprak



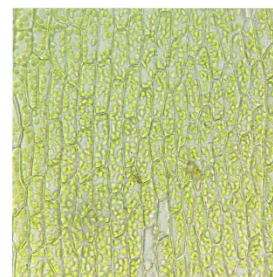
Kapsül



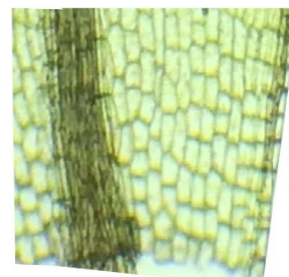
Peristom Dişleri



Yaprak Ucu



Yaprak Orta Kısım Hücreler



Yaprak Tabanı

Şekil 5. 29. *Ptychostomum capillare*'nin mikroskopik görüntüleri

Ptychostomum inclinatum (Sw. ex Brid.) J.R.Spence



Şekil 5. 30. *Ptychostomum inclinatum*'un mikroskopik görüntüleri

Ptychostomum pallens (Sw. ex anon.) J.R.Spence



Bitkinin Islak Görünümü



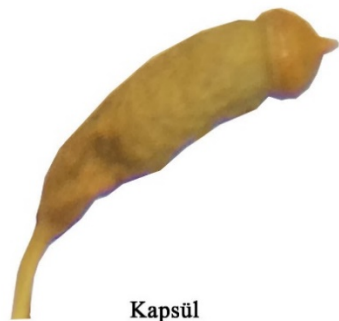
Bitkinin Kuru Görünümü



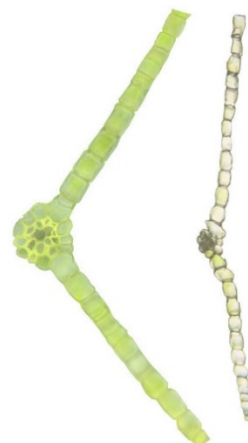
Genel Görünüm



Yaprak



Kapsül



Yaprak Enine Kesit



Yaprak Ucu



Yaprak Orta Kısmı Hücreleri



Yaprak Tabanı

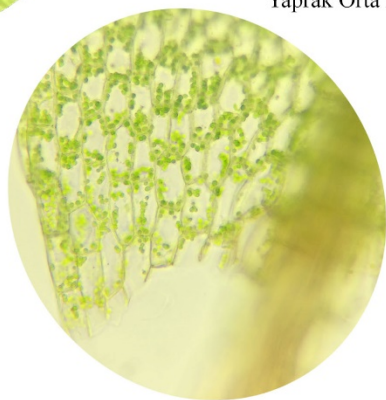
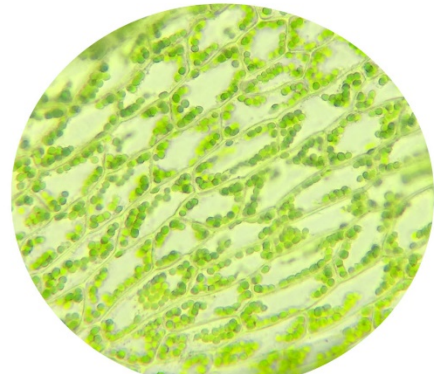
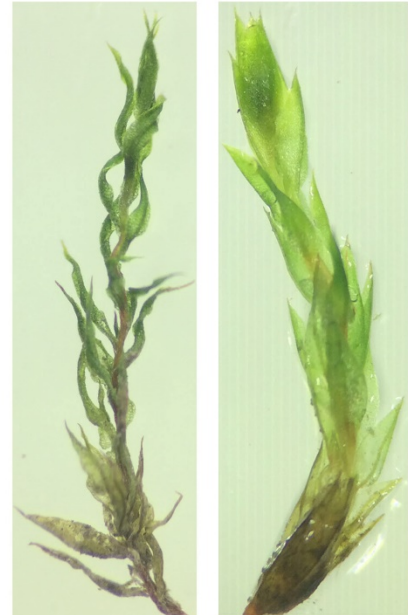
Şekil 5. 31. *Ptychostomum pallens*'in mikroskopik görüntüleri

Ptychostomum imbricatulum (Müll. Hal.) Holyoak & N. Pedersen



Şekil 5. 32. *Ptychostomum imbricatulum*'un mikroskobik görüntüleri

Ptychostomum bornholmense (Wink. & R.Ruthe) Holyoak & N.Pedersen



Şekil 5. 33. *Ptychostomum bornholmense*'nin mikroskopik görüntüleri

Dicranella heteromalla (Hedw.) Schimp.



Bitkinin Kuru Hali



Genel Görünüm



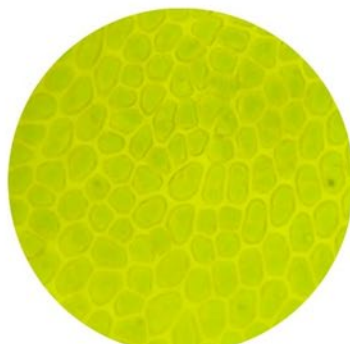
Yaprak



Yaprak Ucu



Enine Kesit



Yaprak Orta Kısım Hücreleri



Yaprak Tabanı

Şekil 5. 34. *Dicranella heteromalla*'nın mikroskobik görüntüleri

Ceratodon purpureus (Hedw.) Brid. subsp.



Şekil 5. 35. *Ceratodon purpureus*'un mikroskopik görüntüleri

Distichium inclinatum (Hedw.) Bruch & Schimp.



Bitkinin Kuru Hali



Enine Kesit



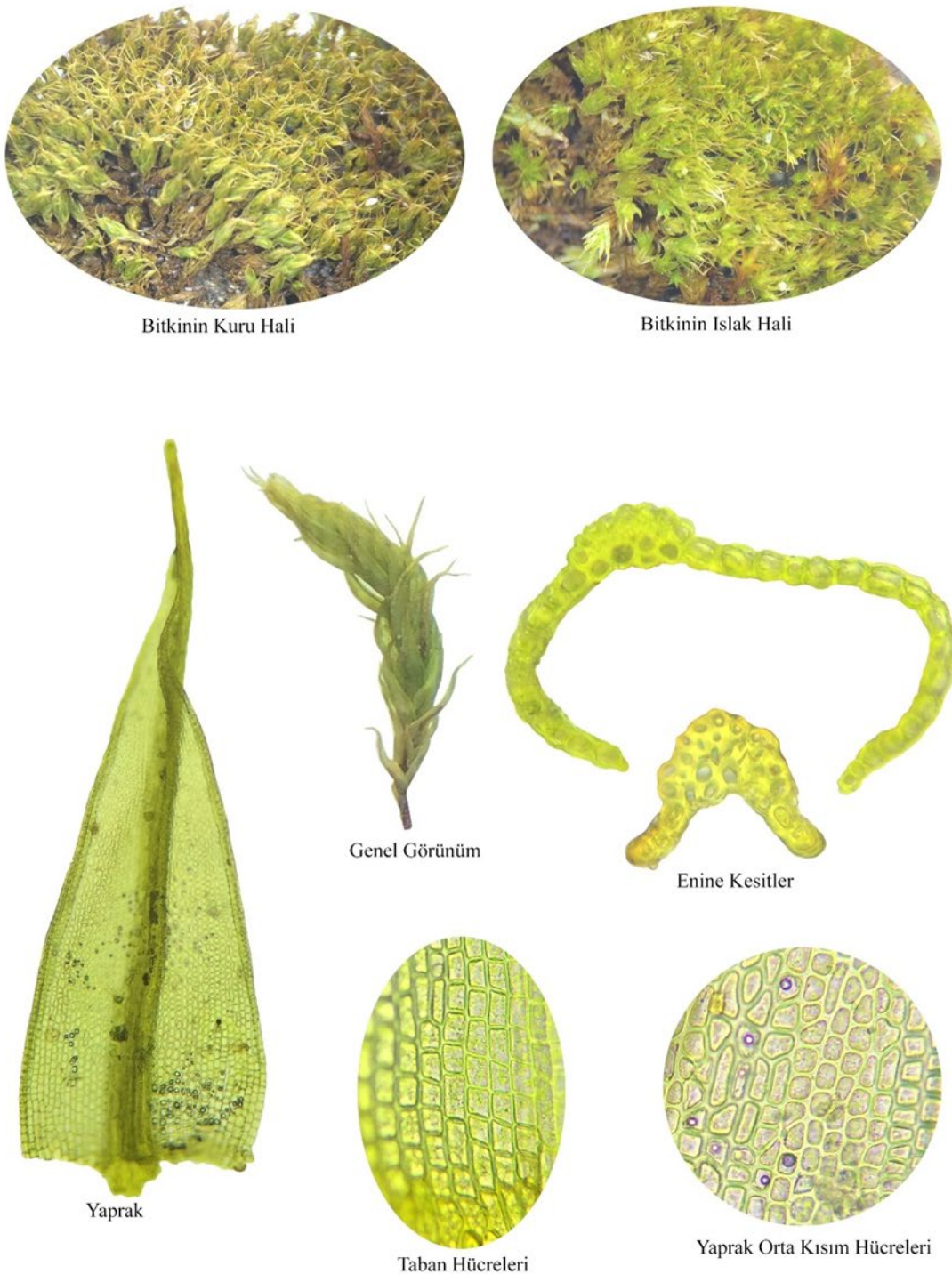
Yaprak Ucu



Taban Hücreler

Şekil 5. 36. *Distichium inclinatum*'un mikroskopik görüntüleri

Ditrichum pusillum (Hedw.) Hampe



Şekil 5. 37. *Ditrichum pusillum*'un mikroskobik görüntüleri

Flexitrichum flexicaule (Schwägr.) Ignatov & Fedosov



Şekil 5. 38. *Flexitrichum flexicaule*'nin mikroskobik görüntüleri

Encalypta vulgaris Hedw.



Bitkinin Kuru Hali



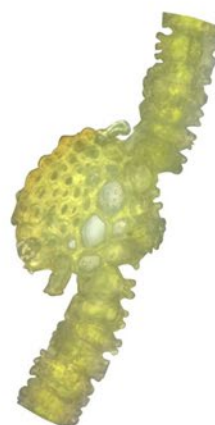
Bitkinin Islak Hali



Yaprak



Genel Görünüm



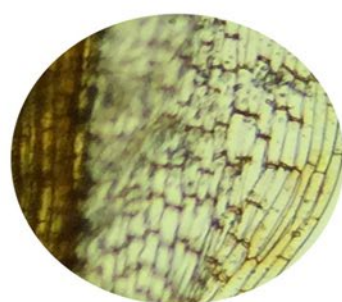
Enine Kesit



Yaprak Ucu



Yaprak Orta Kısım Hücreleri



Yaprak Tabanı

Şekil 5. 39. *Encalypta vulgaris*'in mikroskopik görüntüleri

Funaria hygrometrica Hedw.



Bitkinin Genel Görünümü



Yaprak



Kapsül



Enine Kesitler

Şekil 5. 40. *Funaria hygrometrica*'nın mikroskobik görüntüleri

Grimmia ovalis (Hedw.) Lindb.



Bitkinin Kuru Hali



Genel Görünüm



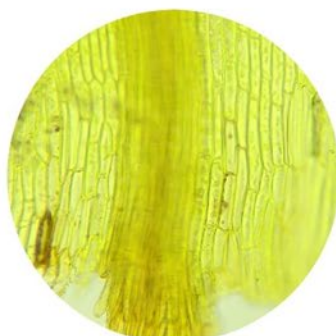
Yaprak



Yaprak Ucu



Enine Kesit



Yaprak Tabanı



Yaprak Orta Kısmı Hücreleri

Şekil 5. 41. *Grimmia ovalis*'in mikroskobik görüntüleri

Grimmia pulvinata (Hedw.) Sm.



Şekil 5. 42. *Grimmia pulvinata*'nın mikroskobik görüntüleri

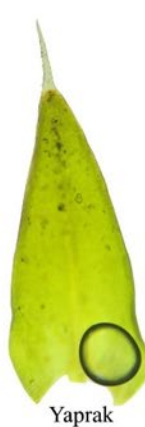
Grimmia laevigata (Brid.) Brid.



Bitkinin Kuru Hali



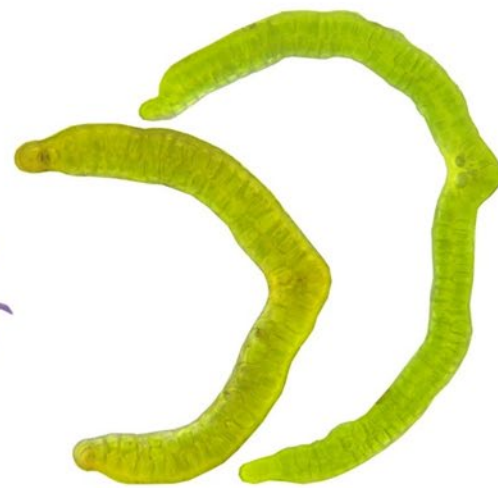
Bitkinin Islak Hali



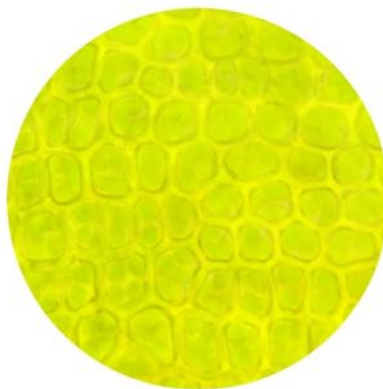
Yaprak



Genel Görünüm



Enine Kesitler



Yaprak Orta Kısmı Hücreleri



Yaprak Tabanı

Şekil 5. 43. *Grimmia laevigata*'nın mikroskobik görüntüleri

Grimmia crinita Brid.



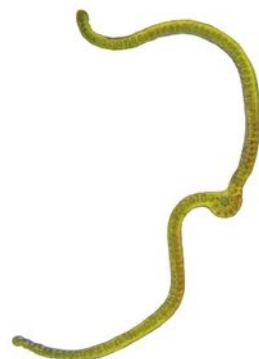
Bitkinin Kuru Hali



Genel Görünüm



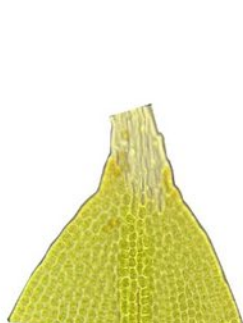
Yaprak



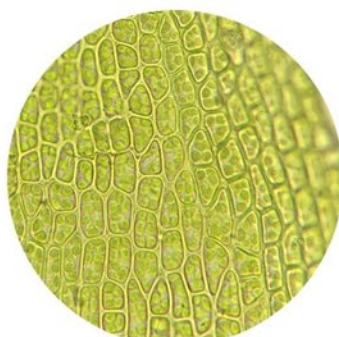
Enine Kesit



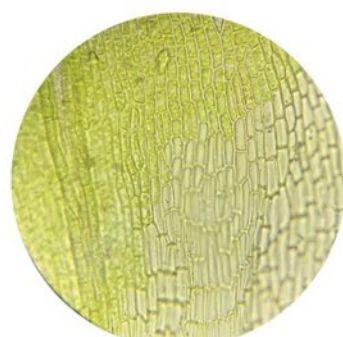
Dişler



Yaprak Ucu



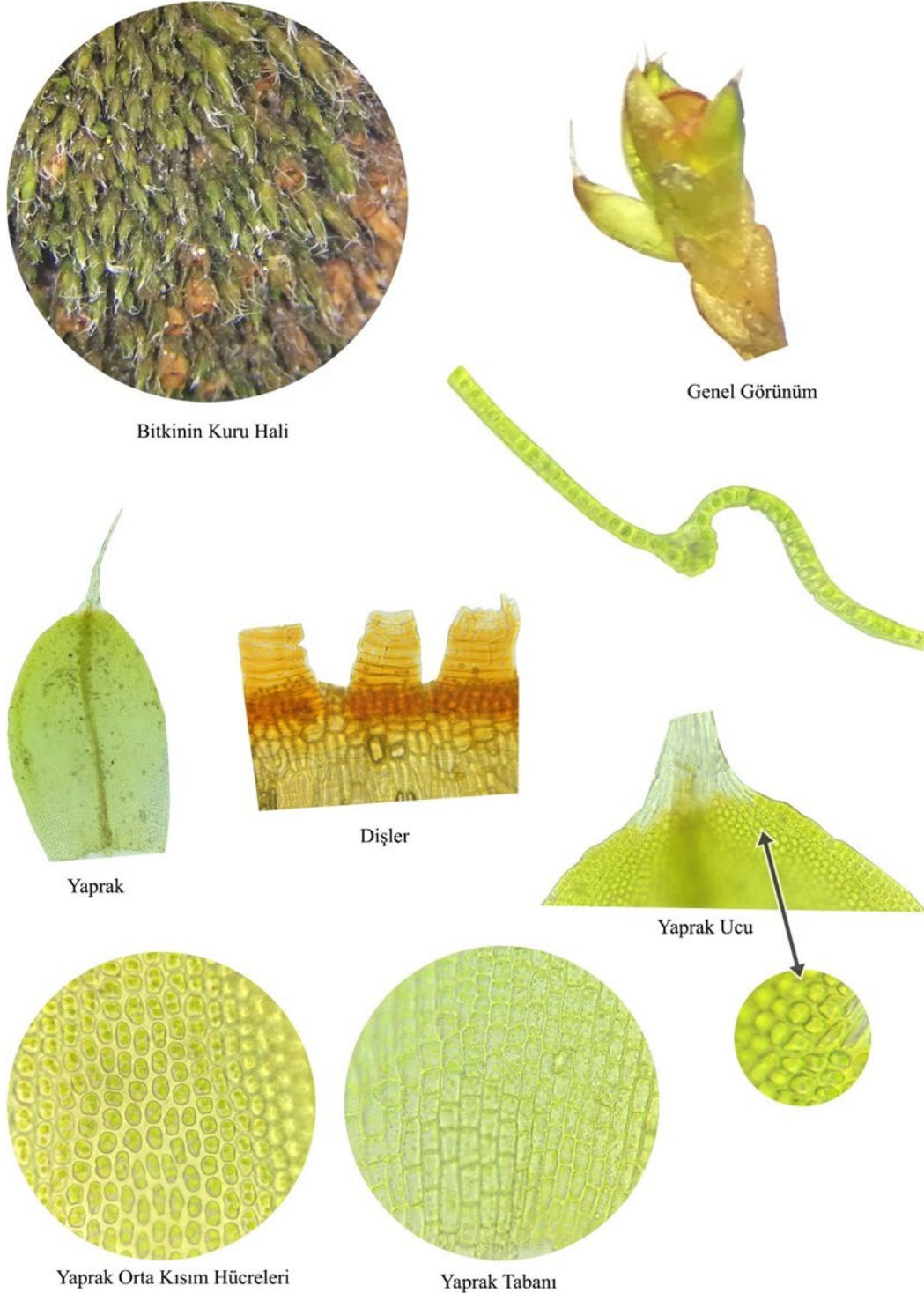
Orta Kısım Hücreleri



Yaprak Taban Hücreleri

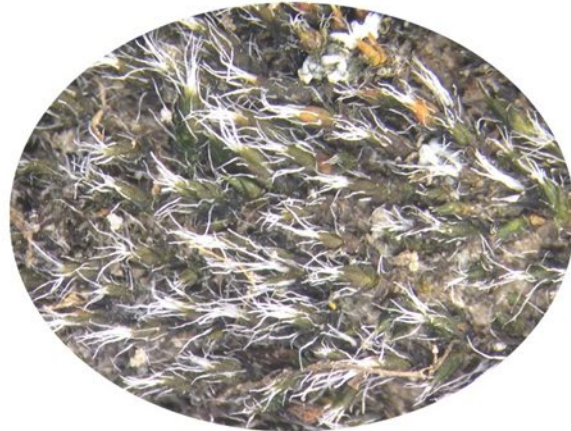
Şekil 5. 44. *Grimmia crinita*'nın mikroskopik görüntüleri

Grimmia plagiopodia Hedw.



Şekil 5. 45. *Grimmia plagiopodia*'nın mikroskopik görüntüleri

Grimmia tergestina Tomm. ex Bruch & Schimp.



Bitkinin Kuru Hali



Yaprak



Genel Görünüm



Enine Kesit



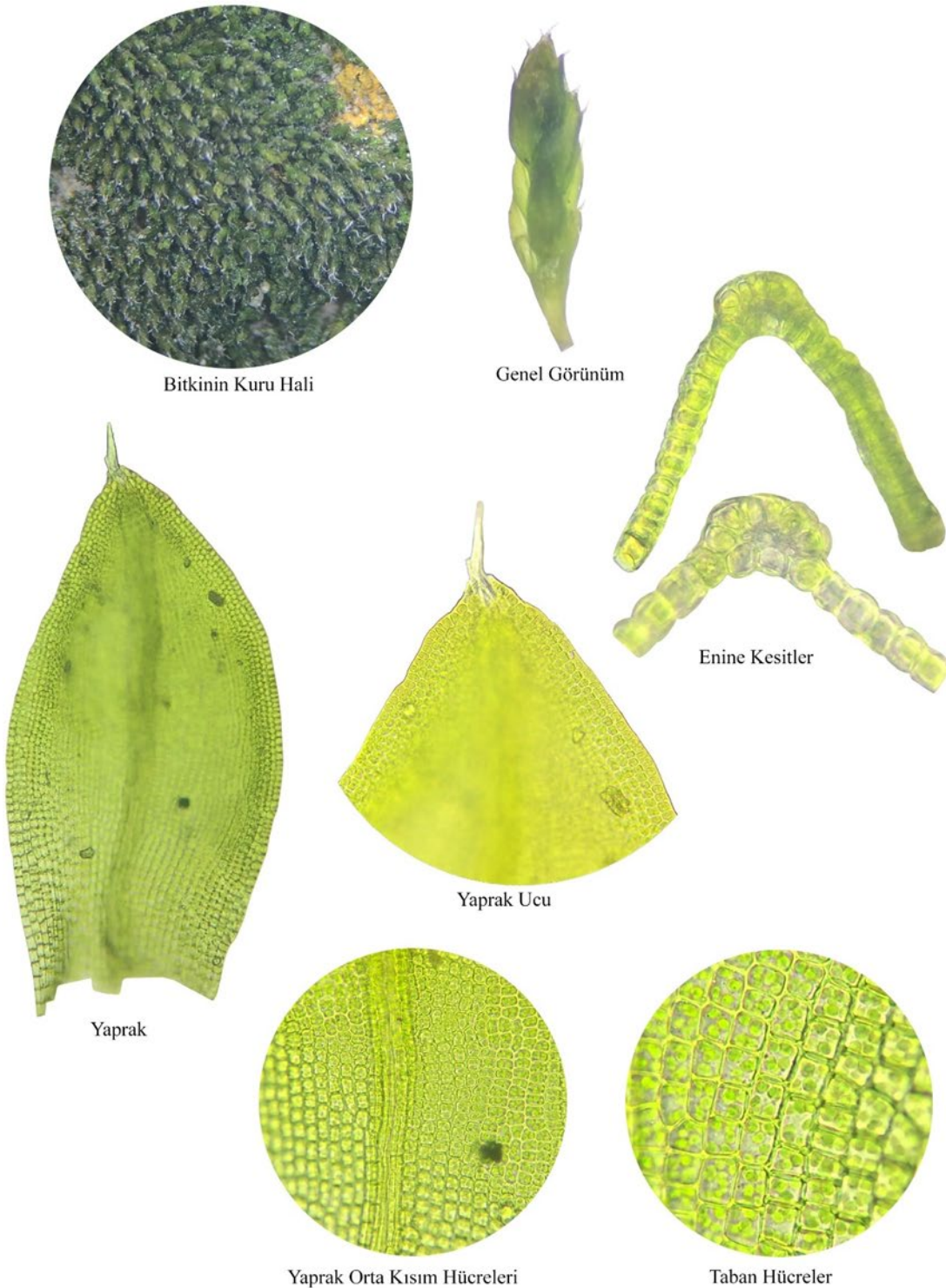
Yaprak Ucu



Yaprak Orta Kısım Hücreleri

Şekil 5. 46. *Grimmia tergestina*'nın mikroskopik görüntüleri

Schistidium helveticum (Schkuhr) Deguchi



Şekil 5. 47. *Schistidium helveticum*'un mikroskobik görüntüleri

Coscinodon monchiquensis R.D.Porley, Ochyra & Ignatova



Şekil 5. 48. *Coscinodon monchiquensis*'in mikroskopik görüntüleri

Hypnum cupressiforme Hedw.



Bitkinin Kuru Hali



Genel Görünüm



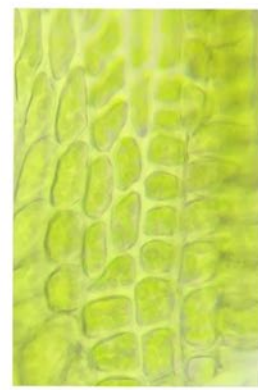
Yaprak



Taban Hücreler



Yaprak Ucu



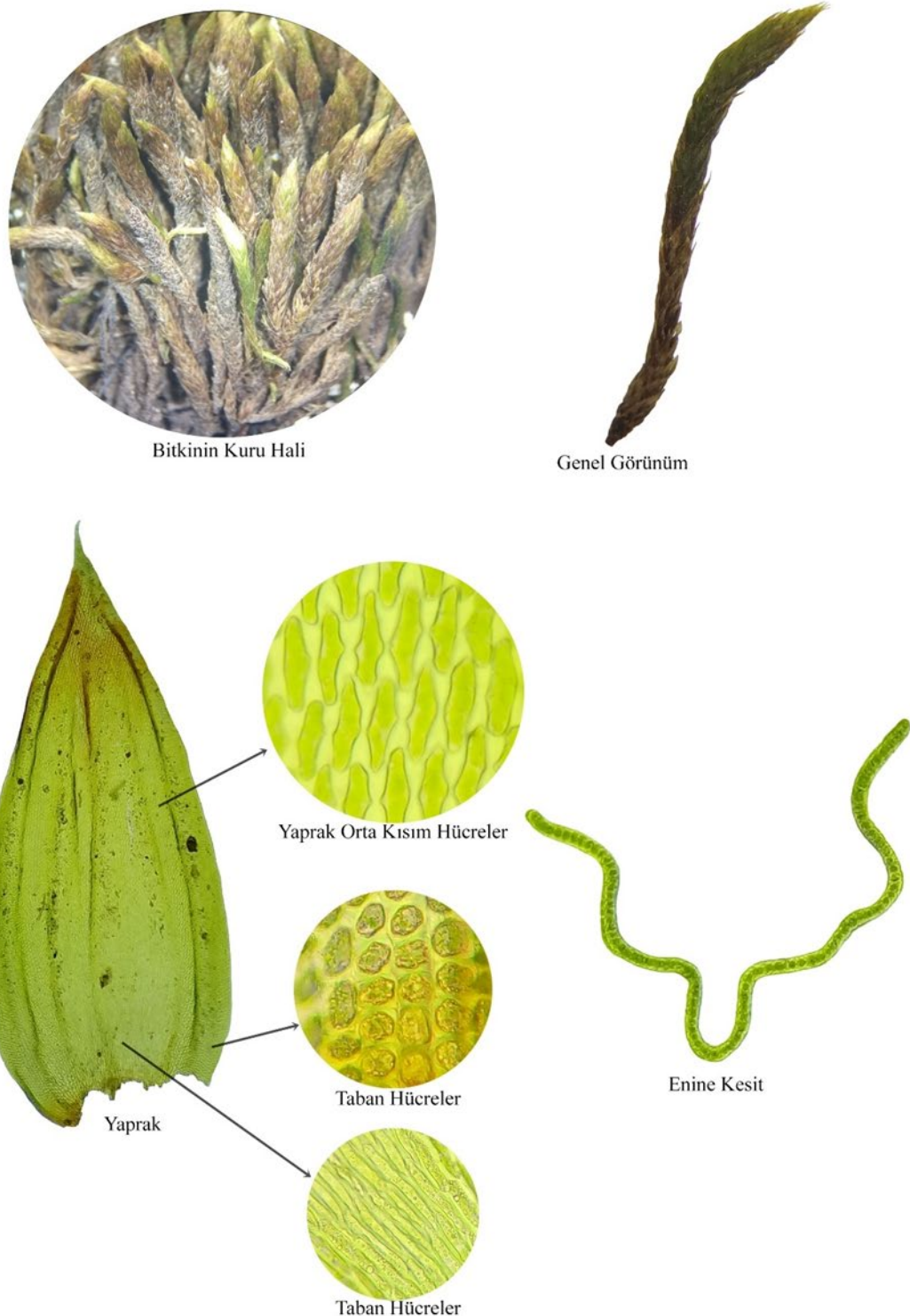
Taban Hücreler



Orta Kısım Hücreleri

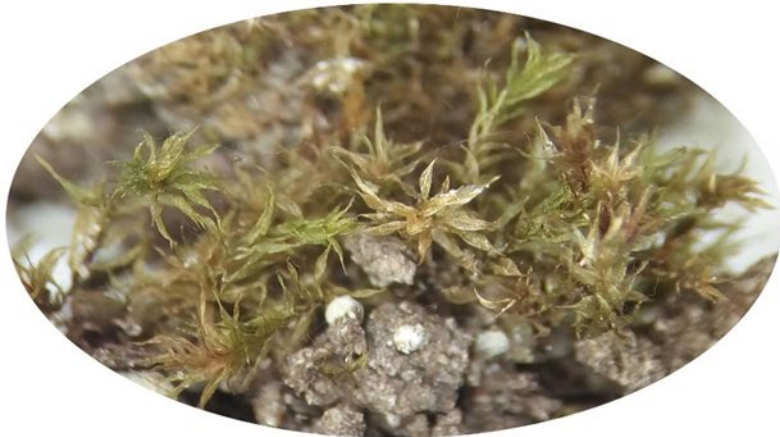
Şekil 5. 49. *Hypnum cupressiforme*'nin mikroskobik görüntüleri

Leucodon immersus Lindb.



Şekil 5. 50. *Leucodon immersus*'un mikroskopik görüntüleri

Pohlia lescuriana (Sull.) Ochi



Bitkinin Kuru Görünümü



Yaprak



Bitkinin Islak Görünümü



Yaprak Ucu



Yaprak Orta Kısım Hücreleri



Yaprak Taban Hücreleri

Şekil 5. 51. *Pohlia lescuriana*'nın mikroskobik görüntüleri

Orthotrichum pellucidum Lindb.



Şekil 5. 52. *Orthotrichum pellucidum*'un mikroskopik görüntüleri

Orthotrichum alpestre Bruch & Schimp.



Şekil 5. 53. *Orthotrichum alpestre*'nin mikroskobik görüntüleri

Orthotrichum diaphanum Brid.



Şekil 5. 54. *Orthotrichum diaphanum*'un mikroskopik görüntüleri

Orthotrichum anomalum Hedw.



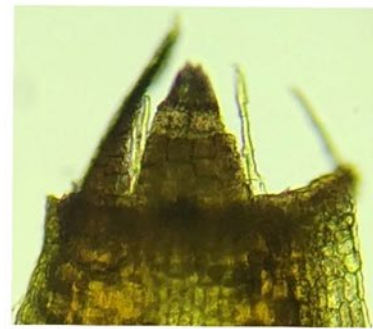
Bitkinin Kuru Hali



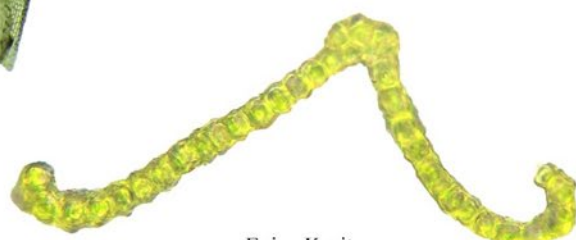
Yaprak



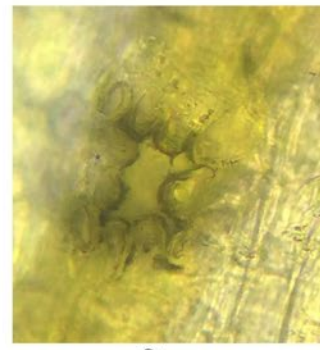
Genel Görünüm



Dişler



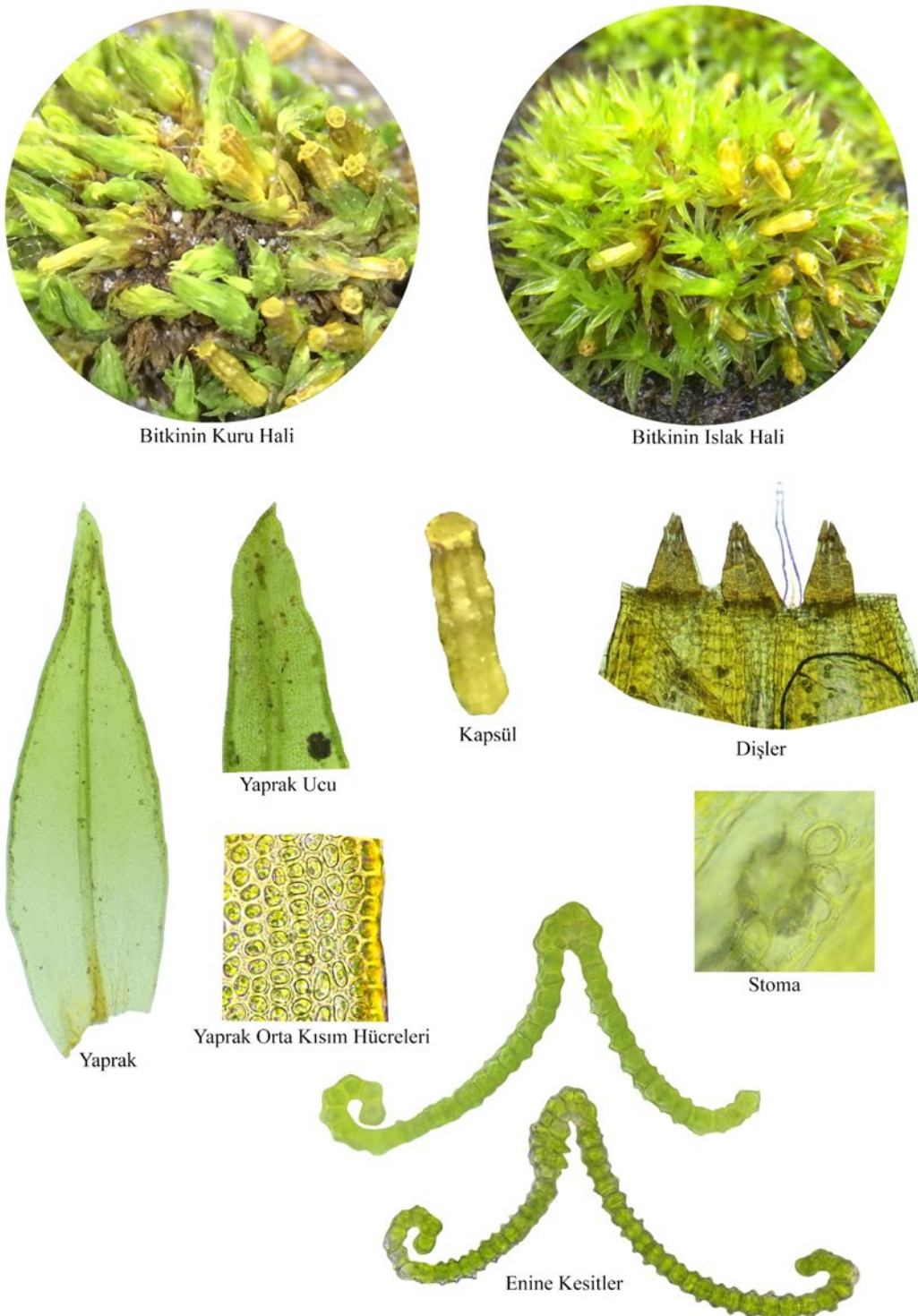
Enine Kesit



Stoma

Şekil 5. 55. *Orthotrichum anomalum*'un mikroskopik görüntüleri

Orthotrichum pumilum Sw. ex anon.



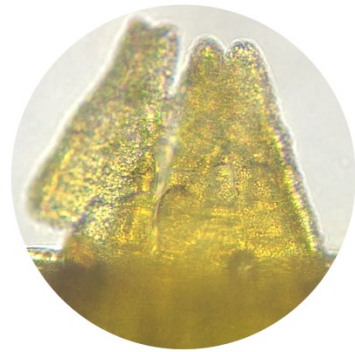
Şekil 5. 56. *Orthotrichum pumilum*'un mikroskobik görüntüleri

Orthotrichum sprucei Mont.



Şekil 5. 57. *Orthotrichum sprucei*'nin mikroskopik görüntüleri

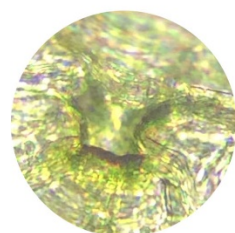
Orthotrichum tenellum Bruch ex Brid.



Yaprak



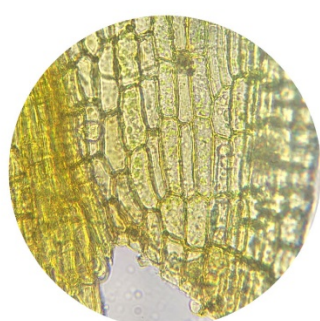
Yaprak Ucu



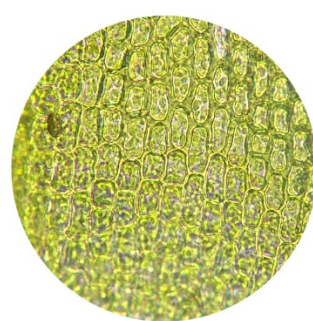
Stoma



Enine Kesit



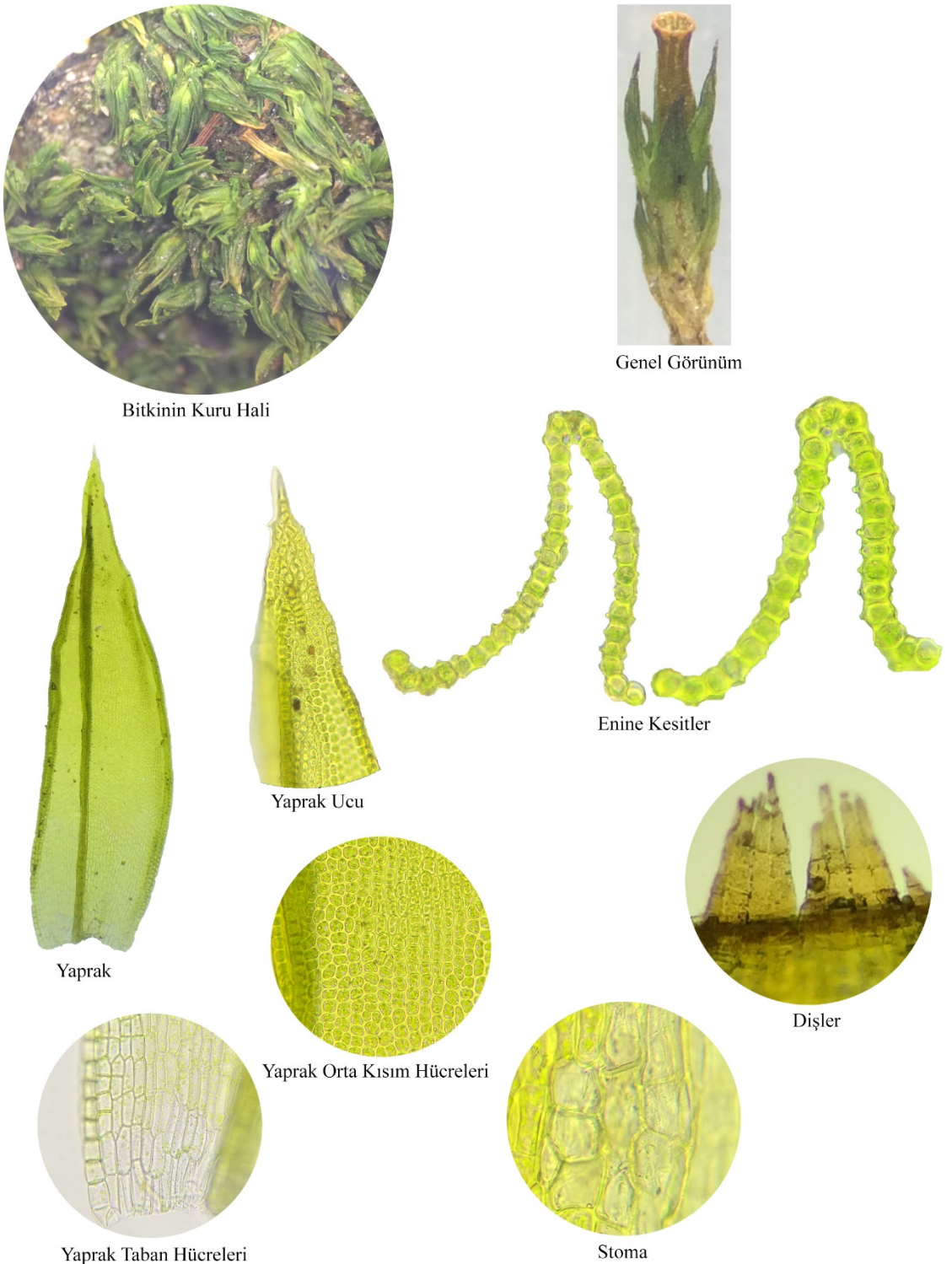
Yaprak Taban Hücreleri



Yaprak Orta Kısım Hücreleri

Şekil 5. 58. *Orthotrichum tenellum*'un mikroskobik görüntüleri

Orthotrichum vittii F.Lara, Garilleti & Mazimpaka



Şekil 5. 59. *Orthotrichum vittii*'nin mikroskopik görüntüleri

Lewinskya affinis (Schrad. ex Brid.) F.Lara, Garilleti & Goffinet



Bitkinin Islak Hali



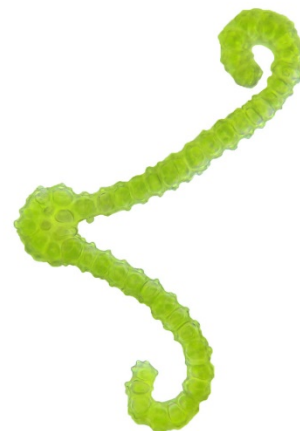
Bitkinin Genel Görüntüsü



Yaprak



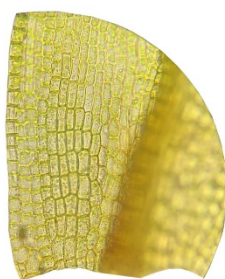
Yaprak Ucu



Enine Kesit



Stoma



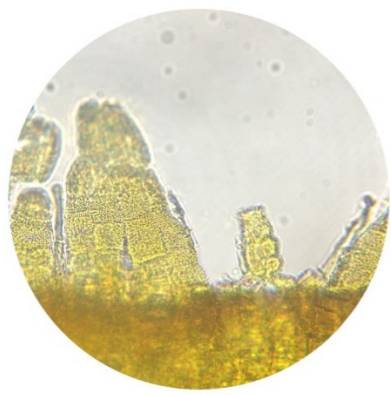
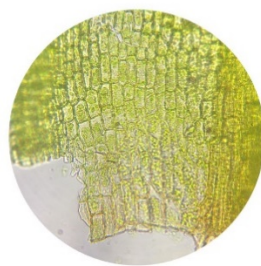
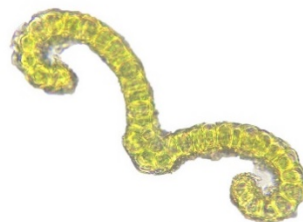
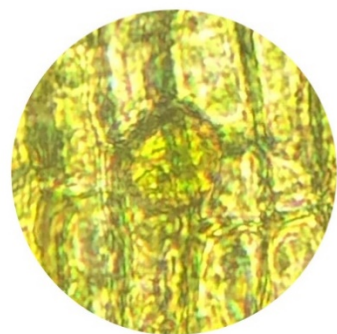
Yaprak Tabani



Dişler

Şekil 5. 60. *Lewinskya affinis*'in mikroskopik görüntüleri

Lewinskya acuminata (H.Philb.) F.Lara, Garilletti & Goffinet



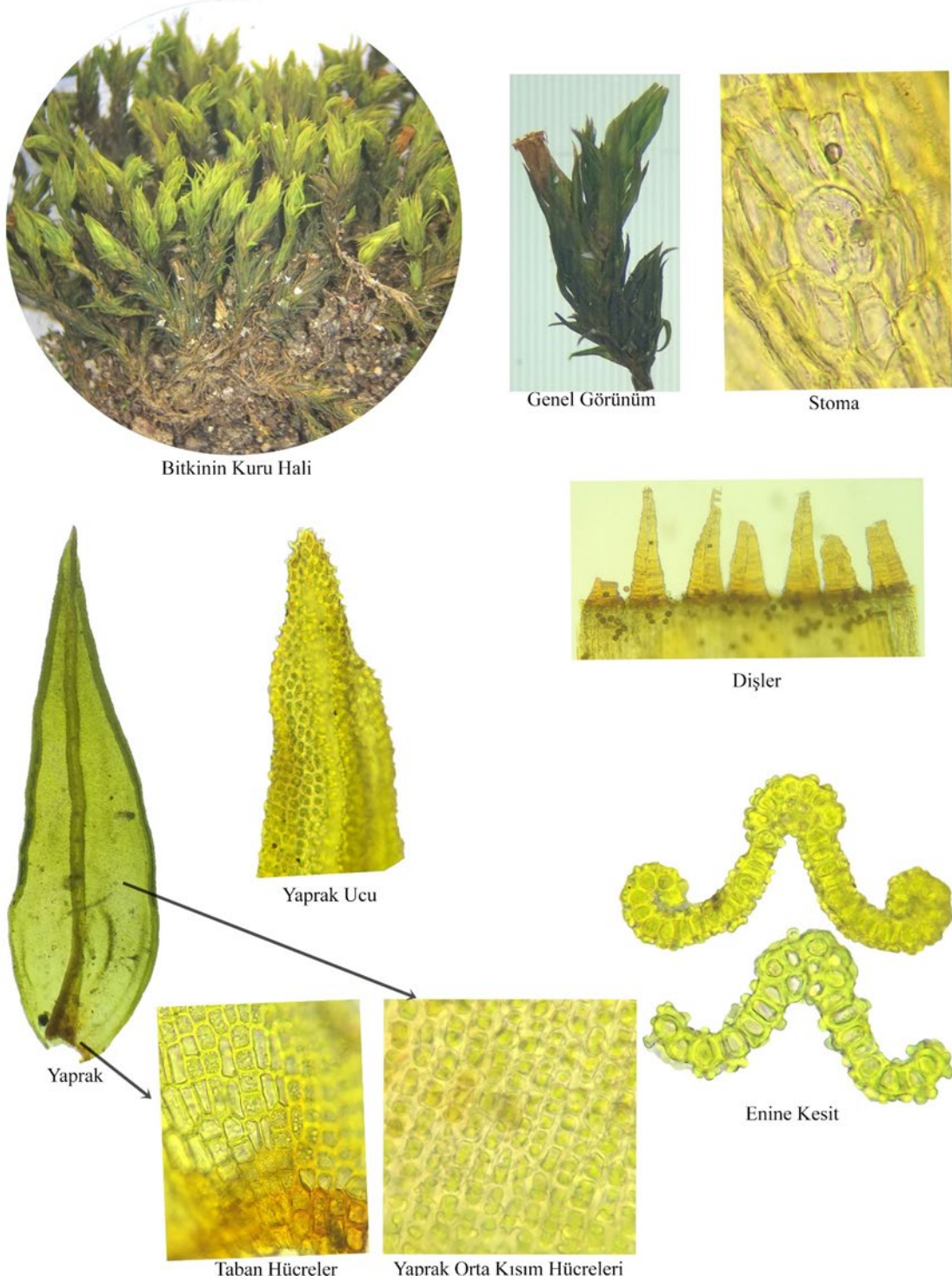
Şekil 5. 61. *Lewinskya acuminata*'nın mikroskobik görüntüleri

Lewinskya rupestris (Schleich. ex Schwägr.) F.Lara, Garilleti & Goffinet



Şekil 5.62. *Lewinskya rupestris*'in mikroskobik görüntüleri

Lewinskya sordida (Sull. & Lesq.) F.Lara, Garilletti & Goffinet



Şekil 5. 63. *Lewinskya sordida*'nın mikroskobik görüntüleri

Lewinskya speciosa (Nees) F.Lara, Garilleti & Goffinet



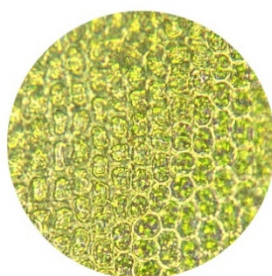
Bitkinin Kuru Hali



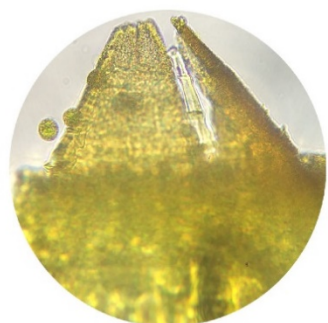
Genel Görünüm



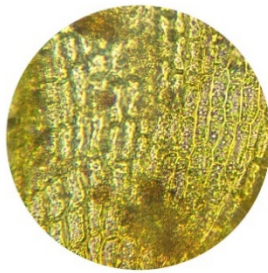
Yaprak



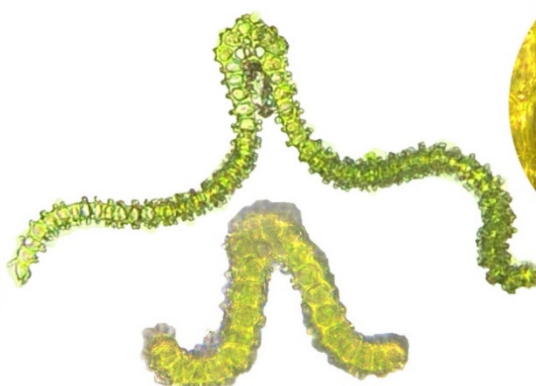
Yaprak Orta Kısım Hücreleri



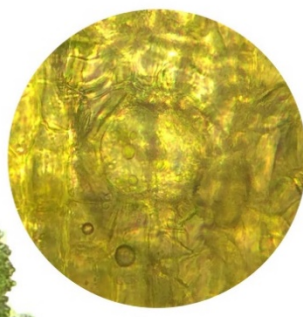
Dişler



Yaprak Taban Hücreler



Enine Kesitler



Stoma

Şekil 5. 64. *Lewinskya speciosa*'nın mikroskopik görüntüleri

Lewinskya breviseta (F.Lara, Garilleti & Mazimpaka) F.Lara,
Garilleti & Goffinet



Bitkinin Kuru Hali



Genel Görünüm



Yaprak



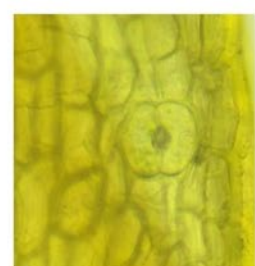
Yaprak Ucu



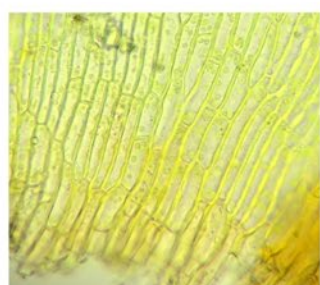
Kaliptra



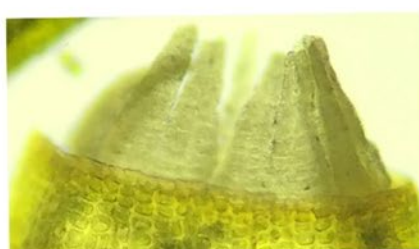
Enine Kesit



Stoma



Taban Hücreler



Dişler

Şekil 5. 65. *Lewinskya breviseta*'nın mikroskopik görüntüleri

Dicranoweisia cirrata(Hedw.)Lindb.



Şekil 5. 66. *Dicranoweisia cirrata*'nın mikroskobik görüntüleri

Syntrichia ruralis (Hedw.) F. Weber & D. Mohr



Bitkinin Kuru Görünümü



Bitkinin Islak Görünümü



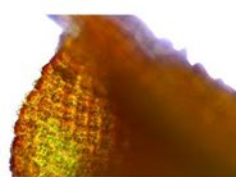
Genel Görünüm



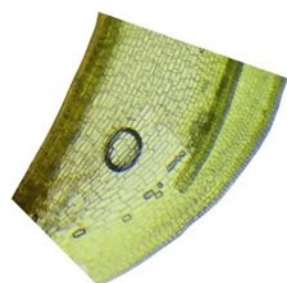
Enine Kesit



Yaprak



Yaprak ucu



Yaprak Tabanı

Şekil 5. 67. *Syntrichia ruralis*'in mikroskopik görüntüleri

Syntrichia rigescens (Broth. & Geh.) Ochyra



Şekil 5. 68. *Syntrichia rigescens*'in mikroskopik görüntüleri

Synterichia virescens (De Not.) Ochyra



Bitkinin Kuru Hali



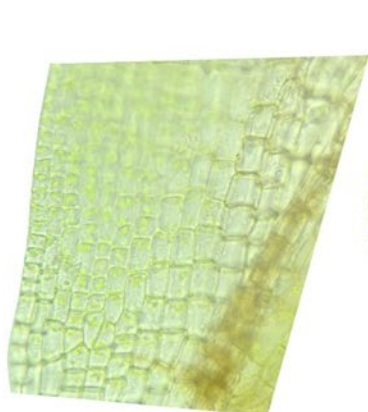
Bitkinin Islak Hali



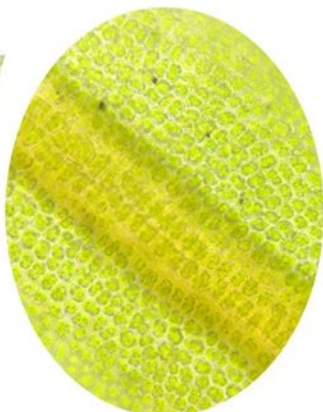
Yaprak



Enine Kesit



Yaprak Taban Hücreleri



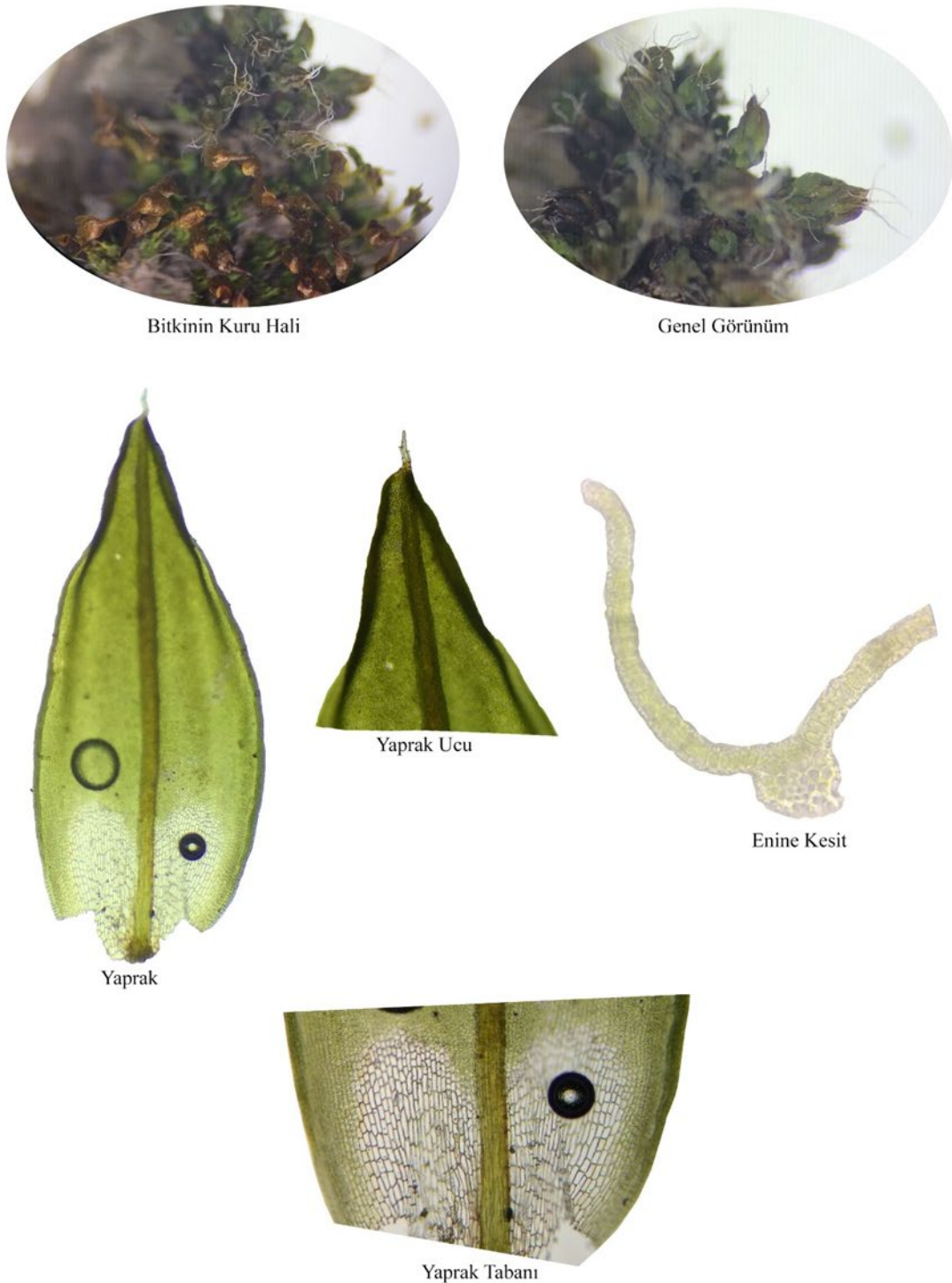
Yaprak Orta Kısım Hücreleri



Yaprak Ucu

Şekil 5. 69. *Synterichia virescens*'in mikroskobik görüntüleri

Syntrichia caninervis var. *gypsophila* (J.J. Amann ex G. Roth) Ochyra



Şekil 5. 70. *Syntrichia caninervis* var. *gypsophila*'nın mikroskopik görüntüleri

Syntrichia caninervis Mitt.



Şekil 5. 71. *Syntrichia caninervis*'in mikroskopik görüntüleri

Syntrichia calcicola J.J. Amann



Şekil 5. 72. *Syntrichia calcicola*'nın mikroskopik görüntüleri

Syntrichia handelii (Schiffn.) S.Agnew & Vondr.

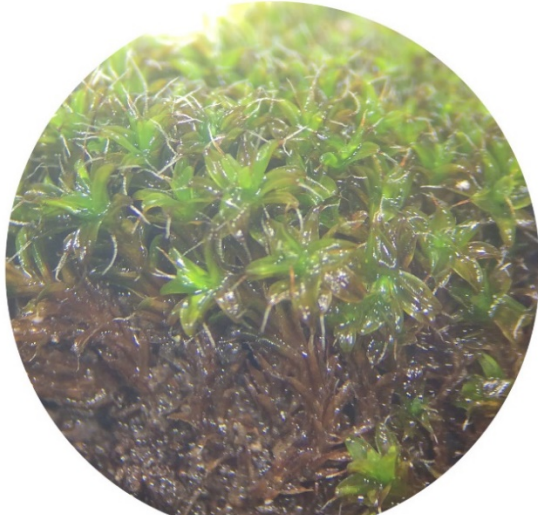


Şekil 5. 73. *Syntrichia handelii*'nin mikroskopik görüntüleri

Syntrichia caninervis Mitt. var. *caninervis*



Bitkinin Kuru Hali



Bitkinin Islak Hali



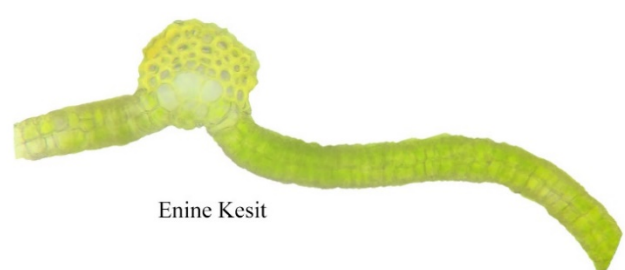
Yaprak



Genel Görünüm



Yaprak Orta Kısım Hücreleri



Enine Kesit

Şekil 5. 74. *Syntrichia caninervis* Mitt. var. *caninervis*'in mikroskopik görüntüleri

Pterygoneurum ovatum (Hedw.) Dixon



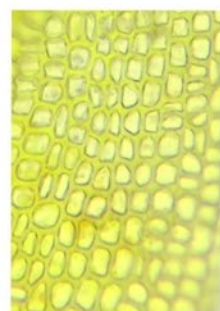
Bitkinin Kuru Hali



Genel Görünüm



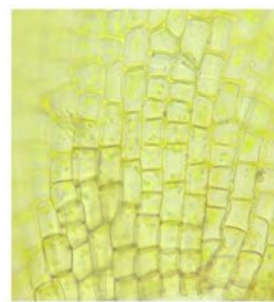
Yaprak



Yaprak Ucu Hücreleri



Enine Kesit



Taban Hücreler

Şekil 5. 75. *Pterygoneurum ovatum*'un mikroskobik görüntüleri

Pterygoneurum compactum Cano,J.Guerra & Roszz



Şekil 5. 76. *Pterygoneurum compactum*'un mikroskopik görüntülerı

Didymodon fallax (Hedw.) R.H. Zander



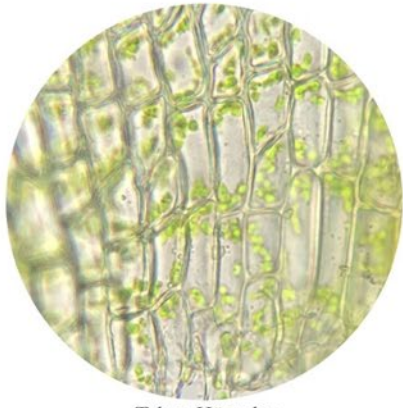
Yaprak



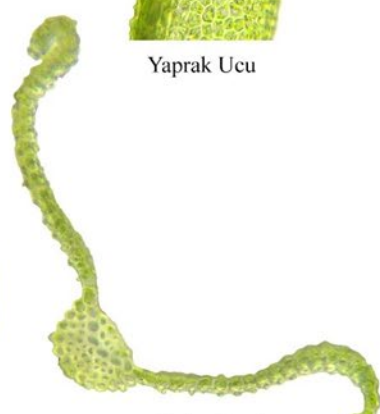
Yaprak Orta Kısım Hücreleri



Yaprak Ucu



Taban Hücreler



Enine Kesit

Şekil 5. 77. *Didymodon fallax*'ın mikroskobik görüntüleri

Didymodon acutus (Brid.) K. Saito



Şekil 5. 78. *Didymodon acutus*'un mikroskobik görüntüleri

Didymodon cordatus Jur.



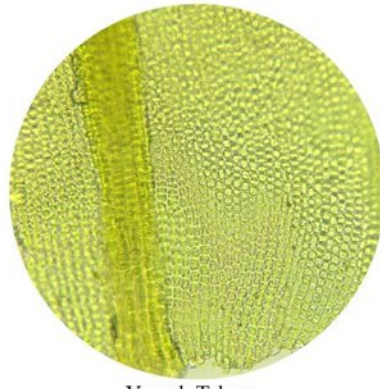
Bitkinin Kuru Hali



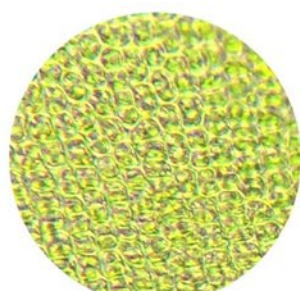
Yaprak



Genel Görünüm



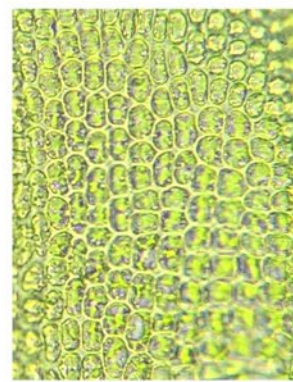
Yaprak Tabanı



Yaprak Orta Kısmı Hücreleri



Yaprak Ucu



Yaprak Taban Hücreleri

Şekil 5. 79. *Didymodon cordatus*'un mikroskopik görüntüleri

Didymodon tophaceus (Brid.) Lisa



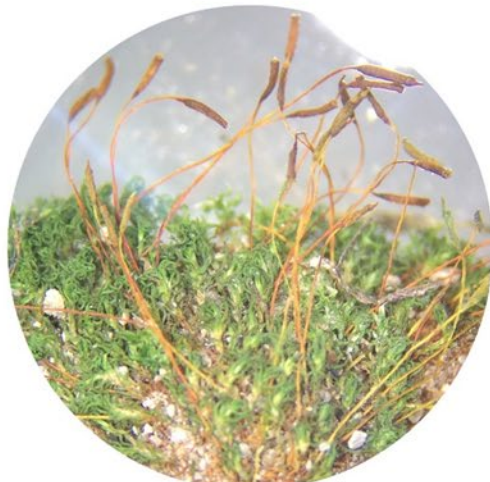
Şekil 5. 80. *Didymodon tophaceus*'un mikroskopik görüntüleri

Didymodon vinealis (Brid.) R.H.Zander



Şekil 5. 81. *Didymodon vinealis*'in mikroskobik görüntüleri

Didymodon rigidulus Hedw.



Bitkinin Kuru Hali



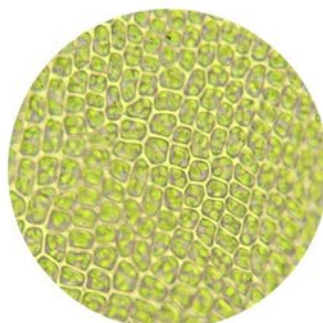
Genel Görünüm



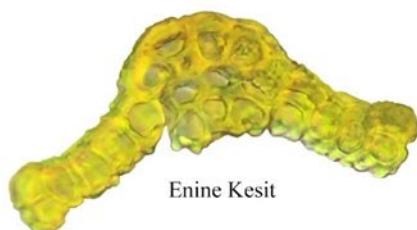
Enine Kesit



Yaprak



Taban Hücreler



Enine Kesit

Şekil 5. 82. *Didymodon rigidulus*'un mikroskopik görüntüleri

Didymodon tomaculosus (Blockeel) M.F.V.Corley



Bitkinin Kuru Hali



Genel Görünüm



Yaprak



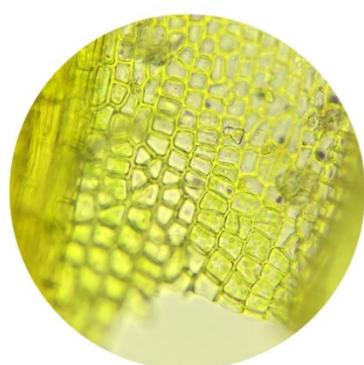
Yaprak Ucu



Enine Kesit



Yaprak Orta Bölüm Hücreleri



Yaprak Tabanı

Şekil 5. 83. *Didymodon tomaculosus*'un mikroskopik görüntüleri

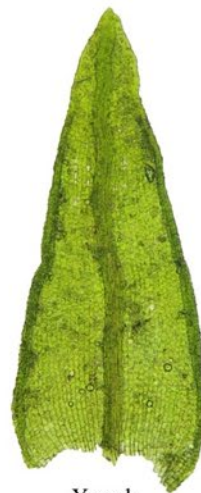
Didymodon tophaceus (Brid.). Lisa subsp. *siccarius* (M.J.Cano, Ros, García-Zam. & J.Guerra) Jan Kučera



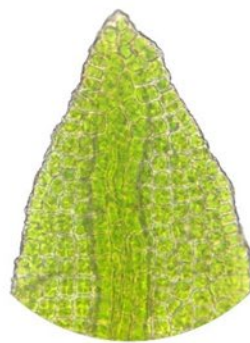
Bitkinin Kuru Hali



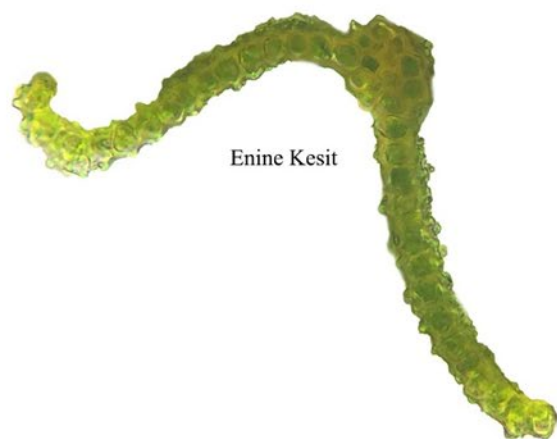
Genel Görünüm



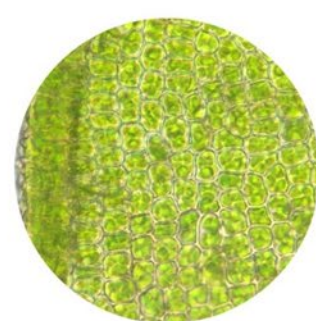
Yaprak



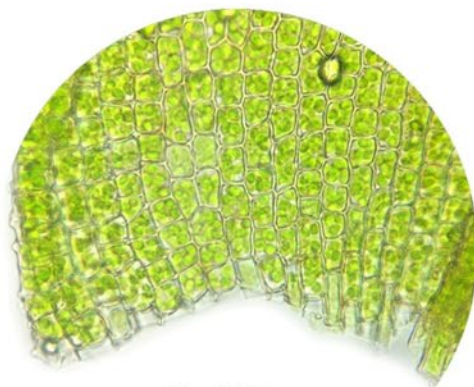
Yaprak Ucu



Enine Kesit

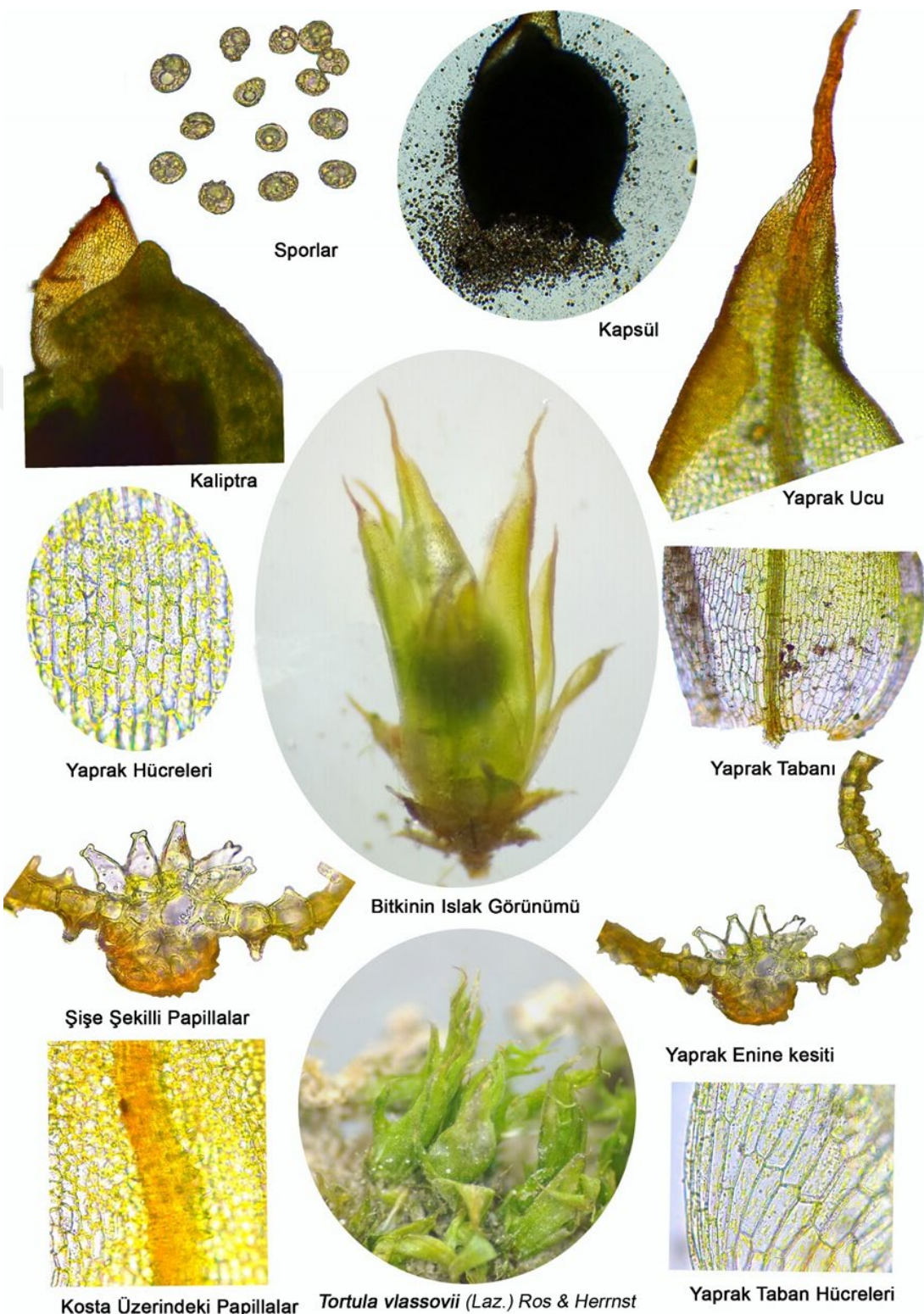


Yaprak Orta Kısım Hücreleri



Yaprak Tabani

Şekil 5. 84. *Didymodon tophaceus*'un mikroskopik görüntüleri



Şekil 5. 85. *Tortula vlassovii*'nin mikroskopik görüntüleri

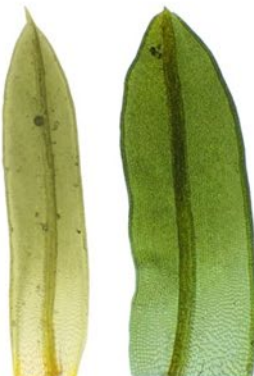
Tortula subulata Hedw.



Bitkinin Kuru Hali



Bitkinin Islak Hali



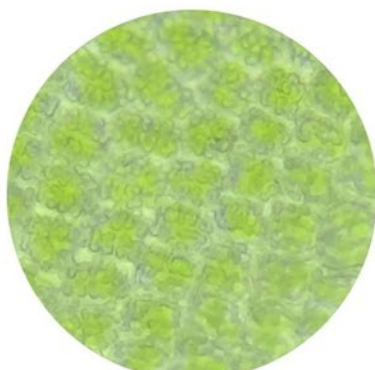
Yapraklar



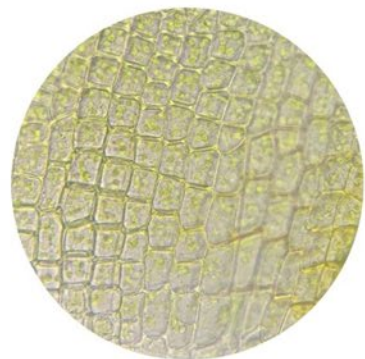
Kapsül



Enine Kesit



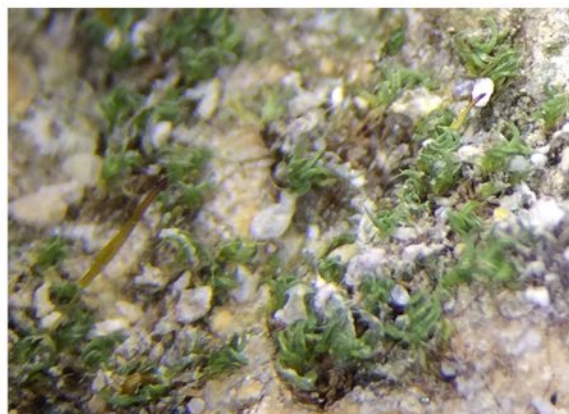
Yaprak Uç Kısımlı Hücreleri



Yaprak Taban Hücreleri

Şekil 5. 86. *Tortula subulata*'nın mikroskopik görüntüleri

Tortula muralis Hedw.



Bitkinin Kuru Hali



Genel Görünüm



Yaprak



Yaprak Ucu



Enine Kesit



Yaprak Orta Kısım Hücreler

Şekil 5. 87. *Tortula muralis*'in mikroskobik görüntüleri

Tortula brevissima Schiffn.



Bitkinin Islak Hali



Bitkinin Genel Görünümü



Yaprak



Kapsül



Enine Kesit



Yaprak Orta Kısım Hücreleri



Yaprak Taban Hücreleri

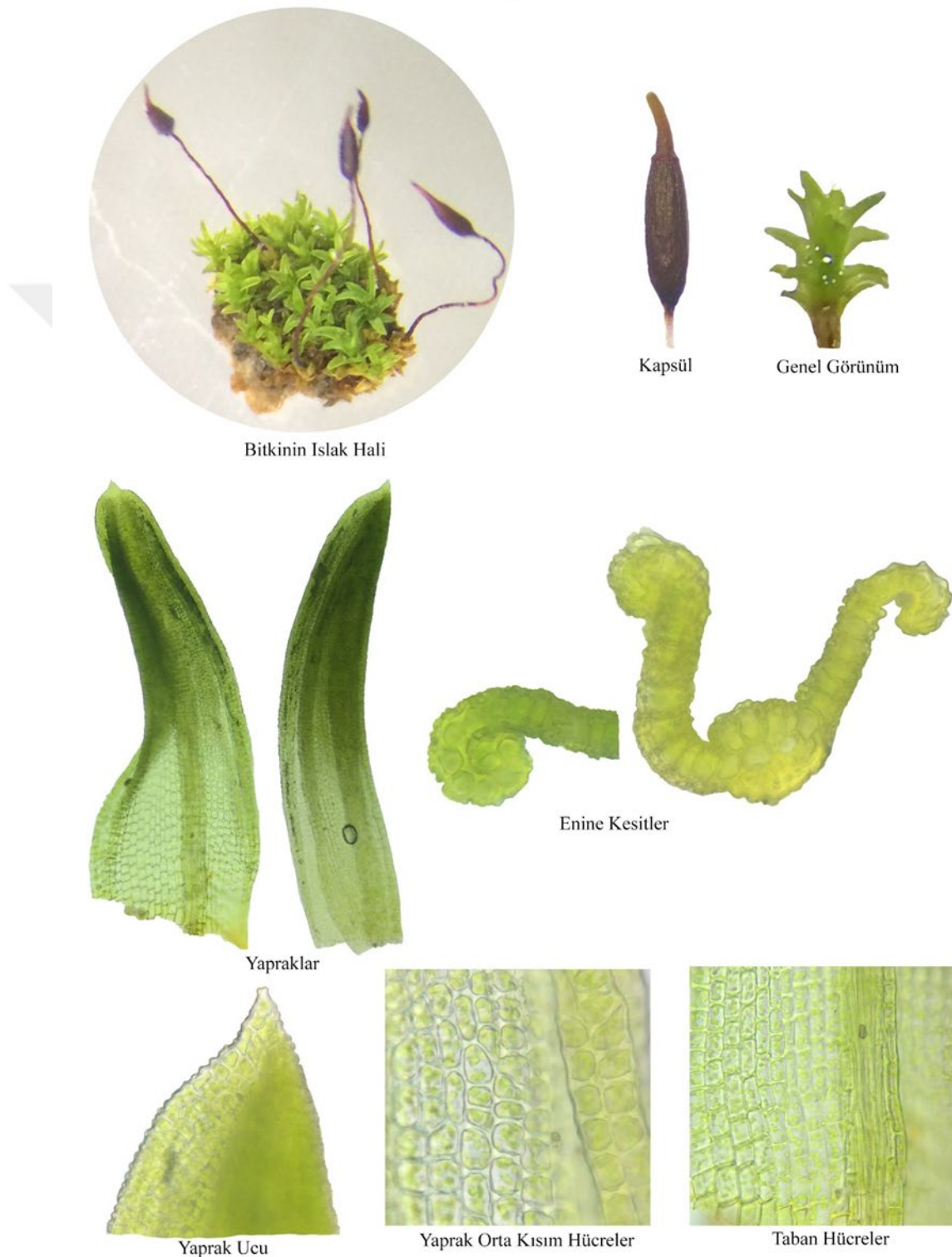
Şekil 5. 88. *Tortula brevissima*'nın mikroskobik görüntüleri

Tortula mucronifolia Schwägr.



Şekil 5. 89. *Tortula mucronifolia*'nın mikroskopik görüntüleri

Tortula lingulata Lindb.



Şekil 5. 90. *Tortula lingulata*'nın mikroskopik görüntüleri

Tortula muralis subsp. *obtusifolia* (Schwägr.) Culm.



Şekil 5. 91. *Tortula muralis* subsp. *obtusifolia*'nın mikroskopik görüntüleri

Tortula revolvens (Schimp.) G.Roth



Bitkinin Kuru Hali



Bitkinin Islak Hali



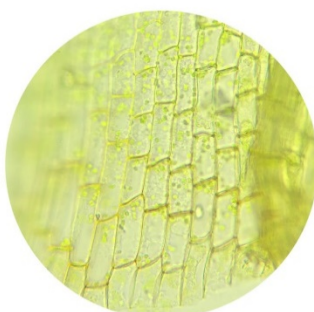
Yapraklar



Genel Görünüm



Yaprak Ucu



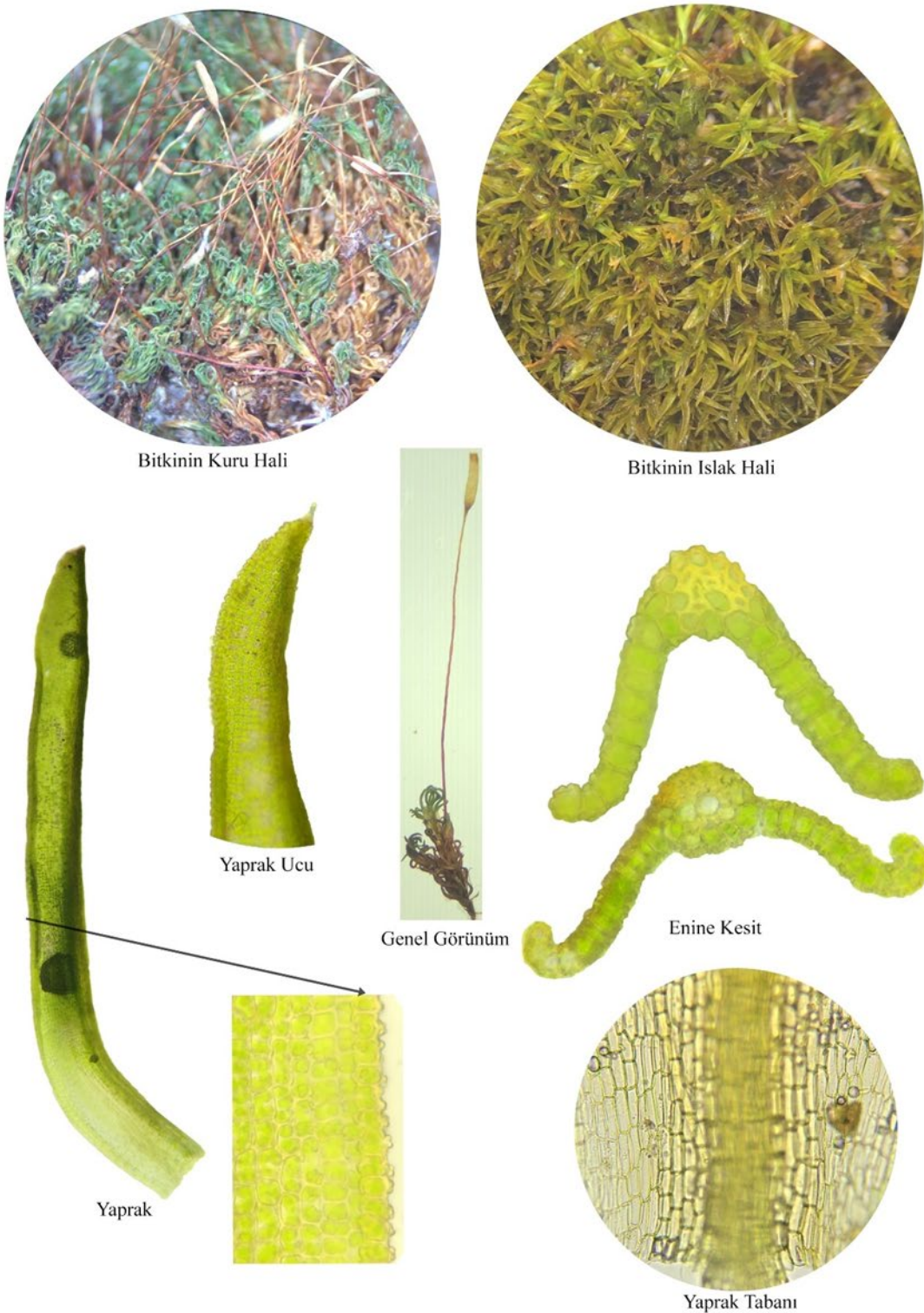
Yaprak Taban Hücreler



Enine Kesit

Şekil 5. 92. *Tortula revolvens*'in mikroskopik görüntüleri

Tortella inclinata (R. Hedw.) Limpr.



Şekil 5. 93. *Tortella inclinata*'nın mikroskopik görüntüleri

Barbula unguiculata Hedw.



Bitkinin Kuru Hali



Bitkinin Islak Hali



Yaprak



Yaprak Ucu



Enine Kesit



Yaprak Orta Kısım Hücreleri



Yaprak Tabanı

Şekil 5. 94. *Barbula unguiculata*'nın mikroskopik görüntüleri

Microbryum floerkeanum (F. Weber & D. Mohr) Schimp.



Şekil 5. 95. *Microbryum floerkeanum*'nın mikroskopik görüntüleri



Şekil 5. 96. *Hennediella polyseta*'nın mikroskopik görüntüleri

Bryoerythrophyllum rubrum (Jur. ex Geh.) P.C.Chen



Bitkinin Kuru Hali



Genel Görünüm



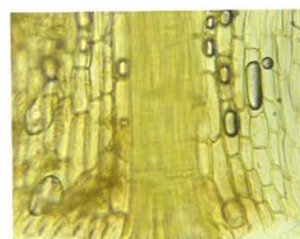
Yaprak



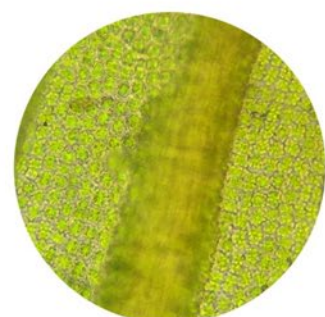
Yaprak Ucu



Enine Kesit



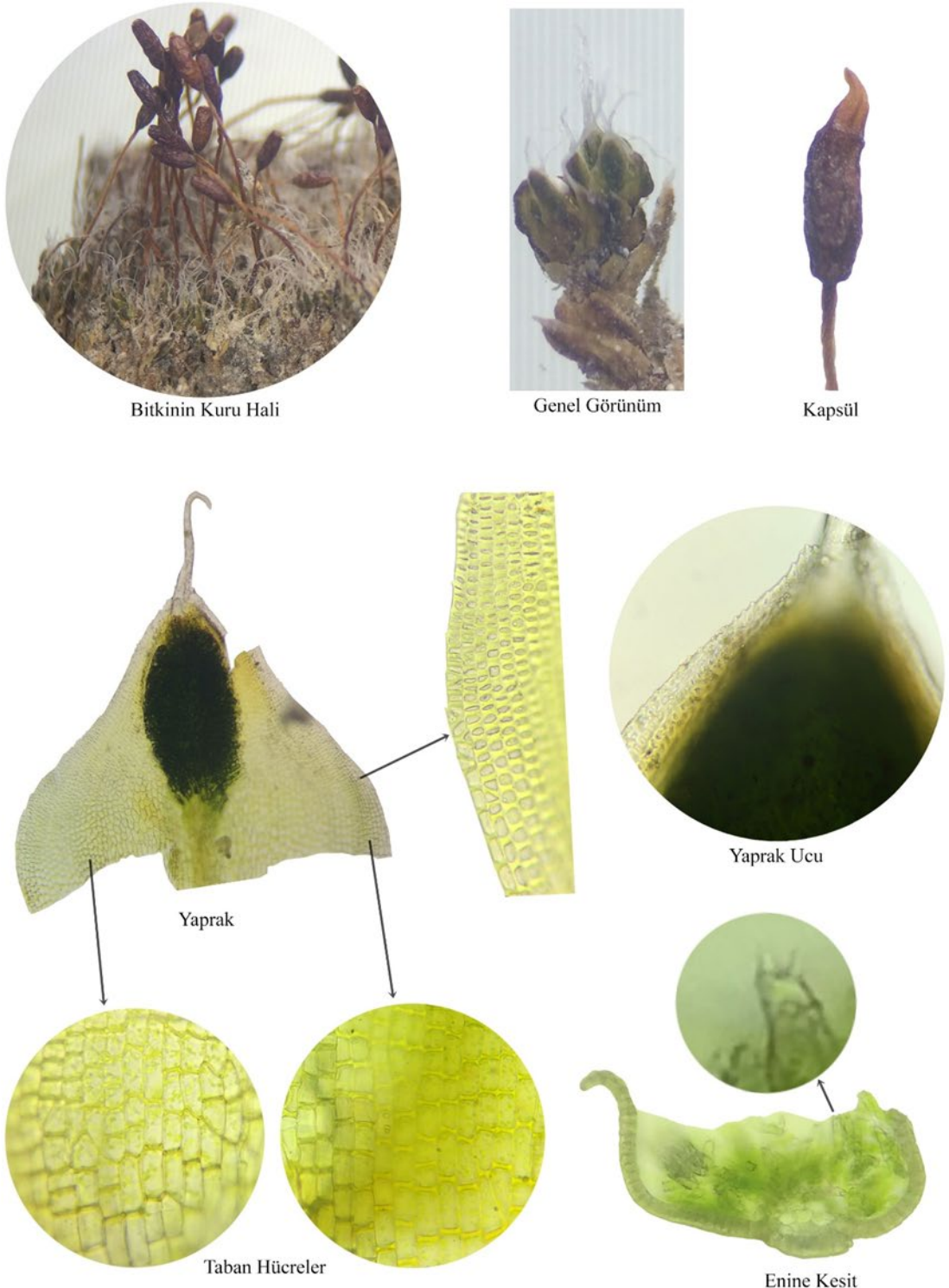
Yaprak Tabanı



Yaprak Orta Kesim

Şekil 5. 97. *Bryoerythrophyllum rubrum*'un mikroskobik görüntüleri

Crossidium squamiferum (Viv.) Jur.



Şekil 5. 98. *Crossidium squamiferum*'un mikroskopik görüntüleri

Pseudocrossidium hornschuchianum (Schultz) R.H. Zander

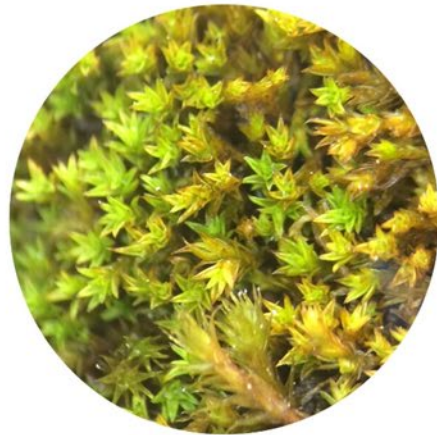


Şekil 5. 99. *Pseudocrossidium hornschuchianum*'un mikroskopik görüntüleri

Pseudocrossidium obtusulum (Lindb.) H. A. Crum & L. E. Anderson



Bitkinin Kuru Hali



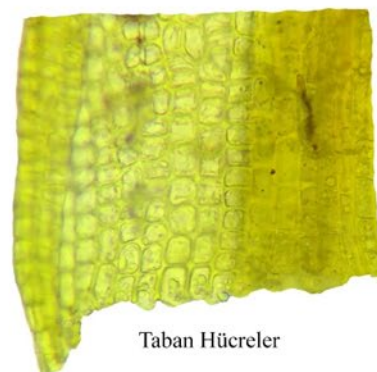
Bitkinin Islak Hali



Yaprak



Enine Kesit



Taban Hücreler

Şekil 5. 100. *Pseudocrossidium obtusulum*'un mikroskopik görüntüleri

BÖLÜM 6

SONUÇLAR VE ÖNERİLER

Araştırma alanından 2019-2021 yılları arasında farklı mevsimlerde yapılan arazi çalışmalarında farklı lokalitelerden ±670 briyofit örneği toplanmıştır. Bitki örneklerinin değerlendirilmesi sonucunda, Bryophyta bölümünden 14 familya ve 43 cinse ait 100 takson tespit edilmiştir. Bu taksonlardan *Pterygoneurum compactum* M.J. Cano, J. Guerra & Ros, *Syntrichia rigescens* (Broth. & Geh.) Ochyra, *Hennediella polyseta* (C. Müll.) Zand. *Coscinodon monchiquensis* R.D.Porley, Ochyra & Ignatova ve *Bryum arachnoideum* C.Müller Türkiye Karayosunu Florası için yeni kayittır. *Tortula vlassovii* (Laz.) Ros & Herrnst, *Sciuro-hypnum glaciale* (Schimp.) Ignatov & Huttunen Türkiye'den ikinci kez, *Pohlia lescuriana* (Sull.) Ochi ise bu çalışma ile Türkiye'den üçüncü kez kaydedilmiştir. Nevşehir ili için 94 tür/tür altı, 33 cins ve 9 familya yeni kayittır. Bu çalışmamızda Marchantiophyta ve Anthocerotophyta'ya ait herhangi bir taksona rastlanmamıştır.

Pterygoneurum compactum, ilk kez Avrupa kıtasında İspanya'nın Alicante ilinden tanımlanmıştır [159]. İkinci kez Macaristan'dan tanımlanmıştır [160]. Bu durumu ile Avrupa için endemik olarak kabul edilmektedir [161]. Bu çalışma ile Türkiye'den de lokalite kaydı verilerek Avrupa için endemik olmadığı ispatlanmıştır. *Pterygoneurum compactum*'a en çok benzeyen tür *Pterygoneurum crossidiooides* türüdür. İkisi arasındaki ayırtedici karakterler Tablo 6.1'de verilmiştir.

Tablo 6. 1. *Pterygoneurum compactum* ve *Pterygoneurum crossidiooides* türleri arasındaki ayırtedici karakterler

| | <i>Pterygoneurum compactum</i> | <i>Pterygoneurum crossidiooides</i> |
|-------------------------|---|--|
| Yaprak | Yaprak kenarı orta kısımda hafifçe geriye kıvrılmıştır. | Yaprak kenarı düzdir. |
| Filament | Filamentlerin ucundaki hücreler küresel ve 4-8 basit veya çatallanmış papillalıdır. | Filamentlerin ucundaki hücreler konik veya hafifçe küresel ve papillasızdır. |
| Lamel | Lameller dar ve yaprağın tabanına ulaşmaz. | Lameller geniş ve yaprağın tabanına ulaşır. |
| Lamina hücreleri | Lamina hücreleri yaprağın üst kısmında papillalıdır. | Lamina hücreleri yaprağın üst kısmında papillasızdır. |

Syntrichia rigescens 1-2 cm yüksekliğinde, koyu zeytin yeşili bitkilerdir. Gövde dik, zayıf bir şekilde dallanmıştır. Yapraklar kuruyken hafifçe sarmal olarak bükülür, nemliyken çoğunlukla açıktır. Bazen orta yaprakta daralma görülmektedir. Yaprağın üst üçte birlik ve orta yaprak kısmında düzensiz bistratoz görülmektedir. Uç kısmı yuvarlak, geniş; kenarları yaprağın üst üçte birlik kısmına kadar kıvrılmış ve papillalıdır. Hair point hiyalin, dişli, bazen tabanda kahverengimsi, 1,2-2,6 mm'dir. Kosta genişliği 100-137,5 μm , yüksekliği 10-17,5(35) μm 'dir. Sırtta yıldız şeklinde dallı papillalar bulunmaktadır [162]. *Syntrichia rigescens*'e en çok benzeyen tür *Syntrichia caninervis* türüdür. İkisi arasındaki ayırtedici karekterler Tablo 6.2'de verilmiştir.

Tablo 6. 2. *Syntrichia rigescens* ve *Syntrichia caninervis* türleri arasındaki ayırtedici karakterler

| | <i>Syntrichia rigescens</i> | <i>Syntrichia caninervis</i> |
|-------------------|--------------------------------------|--|
| Yaprak | Yaprak uç kısmı oval ve genişir. | Yaprak uç kısmı dikdörtgenimsi ve genişir. |
| | Yapraklar daha seyrek sıralanmıştır. | Yapraklar daha sık sıralanmıştır. |
| Kosta | Papillalıdır. | Çok daha yoğun papillalıdır. |
| Hair point | Hiyalin ve dişlidir. | Hiyalin, dişli ve daha uzundur. |

Coscinodon monchiquensis, küçük bitkiler yoğun bandlar halinde olan, koyu yeşil ila zeytin yeşili bazen üstte sarımsı, alta kahverengi ila siyahımsı kahverengi renkte bitkilerdir. Gövdeler dik, sert, 2-5 mm uzunluğunda, basit veya genellikle seyrek dallı, tabanda çok sayıda rizoitler içerir. Kahverengimsi, düz, basit veya seyrek dallı rizoitler bulundurur. Hiyalin, 6-8 uzun hücreden oluşur, nadiren tabana doğru daha kısadır. Yapraklar üst üste yığılmıştır ve düzdür. Kuruyken dik ve yapışık, nemliyken dik ve geniş, 1,5–1,8 mm uzunluğunda (hair point olmadan), 0,4-0,6 mm genişliğinde omuz, oval tabandan kademeli olarak aniden mızrak şeklinde sivrilen bir yapısı vardır. Ayrıca dişli hair point 0,1–0,5(–0,8) mm uzunluğundadır. Yaprak kenarları zayıf bir şekilde kıvrılmıştır. Kapsüller silindirik, yaklaşık 1,3 mm uzunluğunda, 0,5–0,6 mm genişliğinde, hafif kahverengimsi veya sarı-kahverengi, hafif çizgili bir görünüm sahiptir [163]. *Coscinodon monchiquensis*'e en çok benzeyen tür *Coscinodon cribrosus* türüdür. İkisi arasındaki ayırtedici karekterler Tablo 6.3'te verilmiştir.

Tablo 6. 3. *Coscinodon monchiquensis* ve *Coscinodon cribrosus* türleri arasındaki ayırtedici karakterler

| | <i>Coscinodon monchiquensis</i> | <i>Coscinodon cribrosus</i> |
|---------------|--|--|
| Yaprak | Hafif bir şekilde kıvrılmış yapraklara sahiptir. | Güçlü bir şekilde kıvrılmış yapraklara sahiptir. |
| Stoma | Stoma kapsülün tabanında bulunur. | Stoma kapsülde dağılmış halde bulunur. |

Hennediella polyseta; 1-2 cm yüksekliğinde, kahverengi, öbekler halinde yoğunlaşmış bir türdür. Yapraklar diktir ve kurduğunda buruşur. Nemliyken açılır ve eski haline döner. Yapraklar 3-5 mm uzunlığında ve 0,75 mm genişliktedir. Genel olarak mızrak şeklindedir. Yaprağın üst kısmının kenarının üçte ikisi testere dışlidir. Dişler uca doğru daha keskindir. Kosta sert, kahverengi veya sarı renkte, yaprağın uç kısmının birkaç hücre altında biter. Sırt yüzeyinde ara ara düşük (zayıf) papillalar bulunmaktadır. Bazal hücreler aniden farklılaşmıştır. Seta 15-20 mm uzunlığında kahverengi veya sarı renktedir. Kapsül 3-4,5 mm uzunlığında ve düzdür. Peristom dişleri bulunmamaktadır [164]. *Hennediella polyseta*'ya en çok benzeyen tür *Hennediella heimii* türüdür. İkisi arasındaki ayırtedici karekterler Tablo 6.4'te verilmiştir.

Tablo 6. 4. *Hennediella polyseta* ve *Hennediella heimii* türleri arasındaki ayırtedici karakterler

| | <i>Hennediella polyseta</i> | <i>Hennediella heimii</i> |
|---------------|--|--|
| Yaprak | Mızrak şeklindedir, uca doğru sıvrilir. | Uç kısmı polysetaya göre daha genişir. |
| Kapsül | Uzun ve düzdür. | Boyu daha kısa ve silindiriktir. |
| Kosta | Yaprak uç kısmının birkaç hücre altında biter. | Kosta yaprak ucundan dışarı uzar. |

Bryum arachnoideum, beyazimsı ila sarımsı beyaz renkte, geniş, üst üste dizili yapraklara sahiptir. Yapraklar hemen hemen yörüngeseldir. Yaprak kenarları düzgün, papillalı değildir. Kosta belirdir. Kosta yaprağın dışına uzanır. Dışa uzanan kısmı uzun, sarımsı, düz, dik ve yayılmış arasındadır.

Yetersiz anlaşılmış bir tür olan *Bryum arachnoideum*'un izotopu üzerine çalışma yapan Frahm, bu türün *Bryum argenteum* ve *B. lanatum* ile ayırcı karakterlerini ortaya koymuştur [165]. *Bryum argenteum*; sağlam ve yoğun, kosta uca kadar ulaşmaz. Kapsüller daha kısıdadır. *Bryum lanatum* küçük, narin, genellikle çok gevşek tutamlar halindedir. Kosta hyalin noktasında yaprağın dışına uzanır, kurduğunda aşağı doğru eğiktir [165]. *Bryum*

arachnoideum'a en çok benzeyen tür *Bryum lanatum* türüdür. İkisi arasındaki ayırtedici karekterler Tablo 6.5'te verilmiştir.

Tablo 6. 5. *Bryum arachnoideum* ve *Bryum lanatum* türleri arasındaki ayırtedici karakterler

| | <i>Bryum arachnoideum</i> | <i>Bryum lanatum</i> |
|----------------------|---|---|
| Genel Görünüş | Bitkiler küçük ve sık tutamlar halindedirler. | Bitkiler daha küçük ve seyrek tutamlar halindedirler. |
| Yaprak | Uca doğru kademeli daralma görülür. | Uca doğru aniden daralma görülür. |

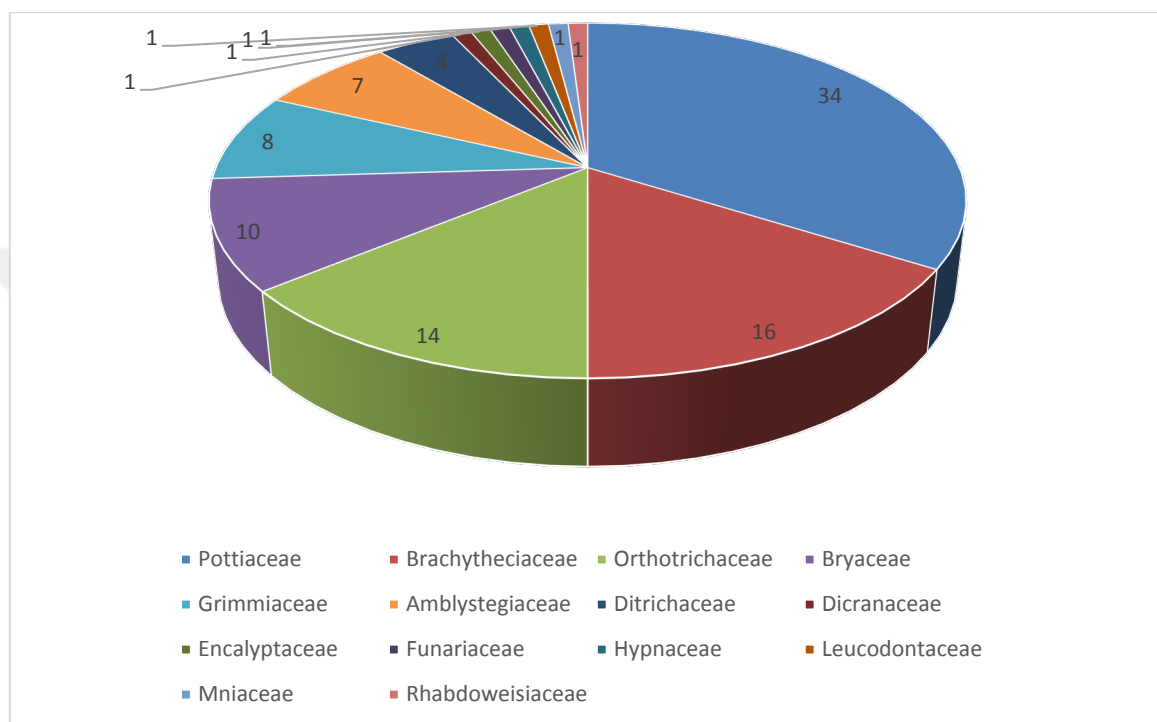
Tortula vlassovii, Türkiye'den ilk kez 30 Mart 1972 tarihinde Elsa Cecilia Nyhom (1911-2002) tarafından Burdur ilinden toplanmıştır ve İsveç Sanal Herbaryumu'nda, B56713 numara ile kayıtlıdır (Sewden's Virtual Herbarium-B56713). Bu tür, kontrol listelerinde Türkiye'den şüpheli kayıt olarak değerlendirilmiştir. Çünkü Türkiye'deki ilk kaydından sonra geçen 48 yıl boyunca ülkemizde tekrardan bulunamamıştır. Bulunduğu ülkelerde de çok dar yayılışlı olan bu tür IUCN koruma kriterlerine göre nesli tehlikede (EN) olarak değerlendirilmektedir. Bu tür ülkemizden 48 yıl sonra ilk defa farklı bir lokaliteden bu çalışma ile tekrardan bulunmuştur [166].

Çalışma alanından teşhisini yapılan taksonların familyalara dağılımı içerdikleri takson sayıları ve yüzde oranları ile birlikte Tablo 6.6'da verilmiştir.

Tablo 6. 6. Karayosunu familyalarının içerdikleri takson sayısı ve yüzde oranları

| Sıra No | Familya | Takson Sayısı | Toplam Takson Sayısına Oran(%) |
|---------|------------------|---------------|--------------------------------|
| 1 | Pottiaceae | 34 | 34 |
| 2 | Brachytheciaceae | 16 | 16 |
| 3 | Orthotrichaceae | 14 | 14 |
| 4 | Bryaceae | 10 | 10 |
| 5 | Grimmiaceae | 8 | 8 |
| 6 | Amblystegiaceae | 7 | 7 |
| 7 | Ditrichaceae | 4 | 4 |
| 8 | Dicranaceae | 1 | 1 |
| 9 | Encalyptaceae | 1 | 1 |
| 10 | Funariaceae | 1 | 1 |
| 11 | Hypnaceae | 1 | 1 |
| 12 | Leucodontaceae | 1 | 1 |
| 13 | Mniaceae | 1 | 1 |
| 14 | Rhabdoweisiaceae | 1 | 1 |

Çalışma alanından teşhisi yapılan karayosunu taksonlarının familyalara göre dağılımı Şekil 6.1'de gösterilmiştir.



Şekil 6.1. Karayosunu taksonlarının familyalara göre dağılımı

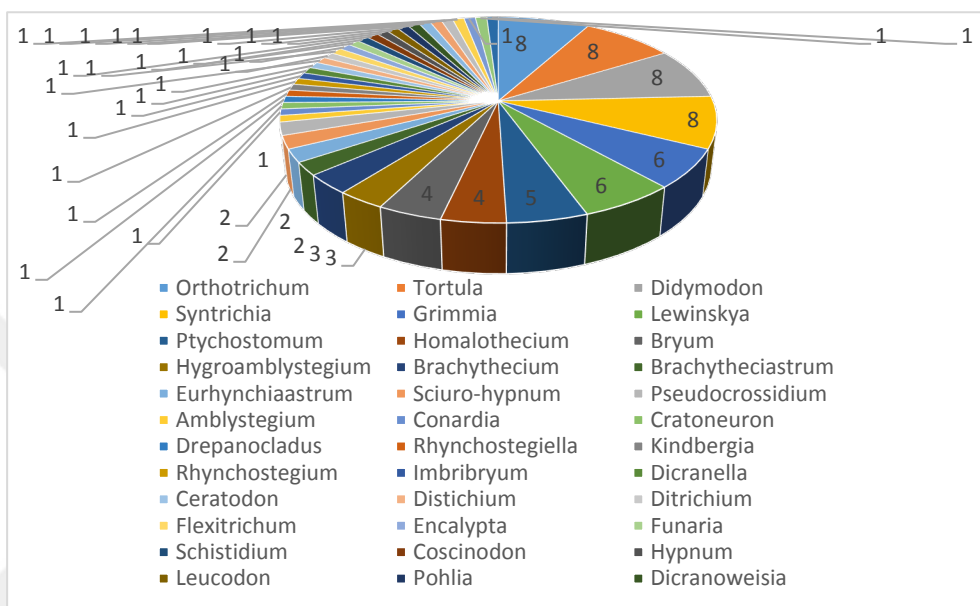
İçerdiği takson sayısı açısından bakıldığından ilk sırada 34 takson ile Pottiaceae familyası bulunmaktadır. Bunu sırasıyla 16 takson ile Brachytheciaceae, 14 takson ile Orthotrichaceae, 10 takson ile Bryaceae, 8 takson ile Grimmiaceae, 7 takson ile Amblystegiaceae, 4 takson ile Ditrichaceae takip etmektedir. Bunların dışındaki diğer 7 familya ise birer takson içermektedir. Kserofit karakterli akrokarp türlerin fazlalığı; alanın İran-Turan fitocoğrafik bölgesi içerisinde yer alması, alanda Karasal ikliminin görülmesi ve Akdeniz ikliminin etkisi altında kalmasından kaynaklanmaktadır.

Çalışma alanından teşhisi yapılan taksonların cinslere göre dağılımları, içerdikleri takson sayıları ve yüzde oranları ile birlikte Tablo 6.7'de verilmiştir.

Tablo 6. 7. Karayosunu cinslerinin içerdikleri takson sayısı ve yüzde oranları

| Sıra No | Cins | Takson Sayısı | Toplam Takson Sayısına Oranı (%) |
|---------|--------------------------|---------------|----------------------------------|
| 1 | <i>Orthotrichum</i> | 8 | 8 |
| 2 | <i>Tortula</i> | 8 | 8 |
| 3 | <i>Didymodon</i> | 8 | 8 |
| 4 | <i>Syntrichia</i> | 8 | 8 |
| 5 | <i>Grimmia</i> | 6 | 6 |
| 6 | <i>Lewinskya</i> | 6 | 6 |
| 7 | <i>Ptychostomum</i> | 5 | 5 |
| 8 | <i>Homalothecium</i> | 4 | 4 |
| 9 | <i>Bryum</i> | 4 | 4 |
| 10 | <i>Hygroamblystegium</i> | 3 | 3 |
| 11 | <i>Brachythecium</i> | 3 | 3 |
| 12 | <i>Brachytheciastrum</i> | 2 | 2 |
| 13 | <i>Eurhynchiaastrum</i> | 2 | 2 |
| 14 | <i>Sciuro-hypnum</i> | 2 | 2 |
| 15 | <i>Pseudocrossidium</i> | 2 | 2 |
| 16 | <i>Pterygoneurum</i> | 2 | 2 |
| 17 | <i>Amblystegium</i> | 1 | 1 |
| 18 | <i>Conardia</i> | 1 | 1 |
| 19 | <i>Cratoneuron</i> | 1 | 1 |
| 20 | <i>Drepanocladus</i> | 1 | 1 |
| 21 | <i>Rhynchostegiella</i> | 1 | 1 |
| 22 | <i>Kindbergia</i> | 1 | 1 |
| 23 | <i>Rhynchostegium</i> | 1 | 1 |
| 24 | <i>Imbribryum</i> | 1 | 1 |
| 25 | <i>Dicranella</i> | 1 | 1 |
| 26 | <i>Ceratodon</i> | 1 | 1 |
| 27 | <i>Distichium</i> | 1 | 1 |
| 28 | <i>Ditrichium</i> | 1 | 1 |
| 29 | <i>Flexitrichum</i> | 1 | 1 |
| 30 | <i>Encalypta</i> | 1 | 1 |
| 31 | <i>Funaria</i> | 1 | 1 |
| 32 | <i>Schistidium</i> | 1 | 1 |
| 33 | <i>Coscinodon</i> | 1 | 1 |
| 34 | <i>Hypnum</i> | 1 | 1 |
| 35 | <i>Leucodon</i> | 1 | 1 |
| 36 | <i>Pohlia</i> | 1 | 1 |
| 37 | <i>Dicranoweisia</i> | 1 | 1 |
| 38 | <i>Barbula</i> | 1 | 1 |
| 39 | <i>Microbryum</i> | 1 | 1 |
| 40 | <i>Hennediella</i> | 1 | 1 |
| 41 | <i>Bryoerytrophylum</i> | 1 | 1 |
| 42 | <i>Crossidium</i> | 1 | 1 |
| 43 | <i>Tortella</i> | 1 | 1 |

Çalışma alanından teşhis yapılan karayosu taksonlarının cinslere göre dağılımı Şekil 6.2'de gösterilmiştir.



Şekil 6.2. Karayosunu taksonlarının cinslere göre dağılımı

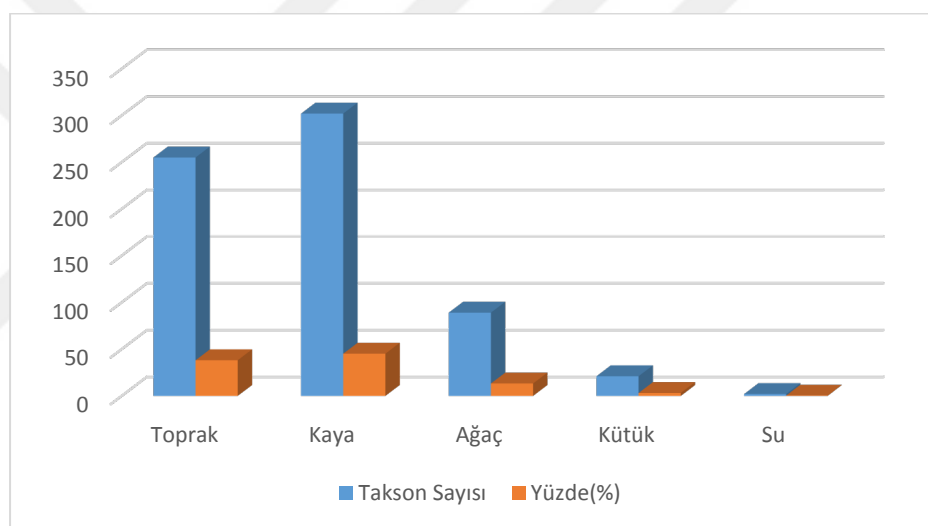
Orthotrichum, Tortula, Didymodon ve Syntrichia üyeleri içерdiği 8 takson ile alanda en yaygın grup olarak ilk sırada yer almaktadır. Bu sırayı içерdiği 6 takson ile Grimmia ve Lewinskyia, içerdeği 5 takson ile Ptychostomum cinsi takip etmektedir. Bunların dışında kalan diğer cinsler ise nispeten az sayıda takson ile sırayı takip etmekteylerdir.

Syntrichia ruralis 54 toplanma sayısı ile alanda en yaygın takson olmuştur. *Grimmia pulvinata* 44 toplanma sayısı ile ikinci, *Lewinskyia affinis* 40 toplanma sayısı alanda en yaygın olarak bulunan üçüncü takson olmuştur. Bu taksonları sırasıyla *Ptychostomum pallens* (23), *Ptychostomum capillare* (21) takip etmektedir.

Çalışma sonucunda toplanan tüm karayosunlarının (669) substrat, ışık ve nem tercihlerine ilişkin istatistik verileri kaydedilmiştir. Bu veriler aşağıda tablolar ve grafikler halinde verilmiştir. Substrat tercihlerine göre %45,14 ile kaya, %38,12 ile toprak üzerinde (Tablo 6.8.), ışık durumuna göre %46 ile kısmen gölge, %21 ile tam gölge alanlarda (Tablo 6.9.), nem durumuna ise %34,7 ile orta ve %34,2 ile kuru alanlarda (Tablo 6.10.) dağılım gösterdikleri görülmüştür.

Tablo 6. 8. Taksonların substratlara dağılımı ve yüzdesi

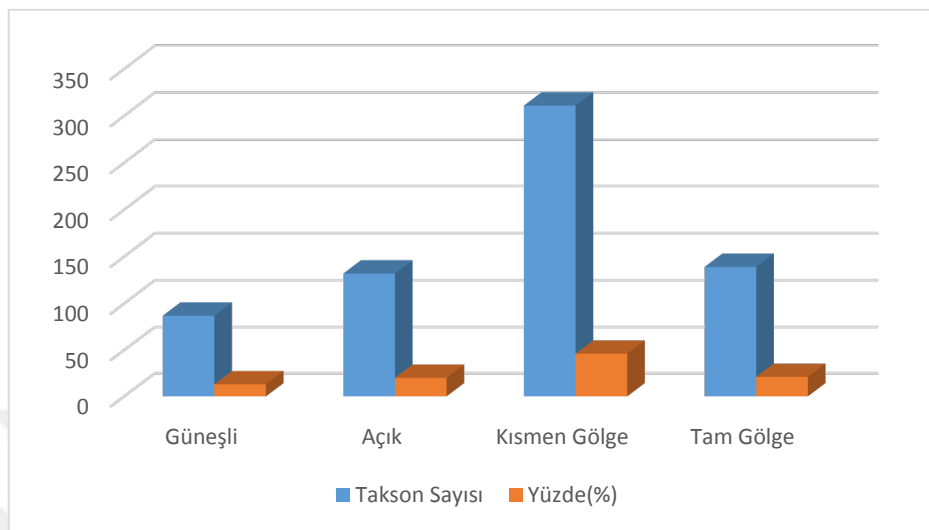
| Substrat | Takson Sayısı | Yüzde (%) |
|---------------|---------------|------------|
| Toprak | 255 | 38,12 |
| Kaya | 302 | 45,14 |
| Ağaç | 89 | 13,3 |
| Kütük | 21 | 3,14 |
| Su | 2 | 0,3 |
| TOPLAM | 669 | 100 |



Şekil 6.3. Taksonların substrat tercihlerine ilişkin grafik

Tablo 6. 9. Taksonların ışık durumuna göre dağılımı ve yüzdesi

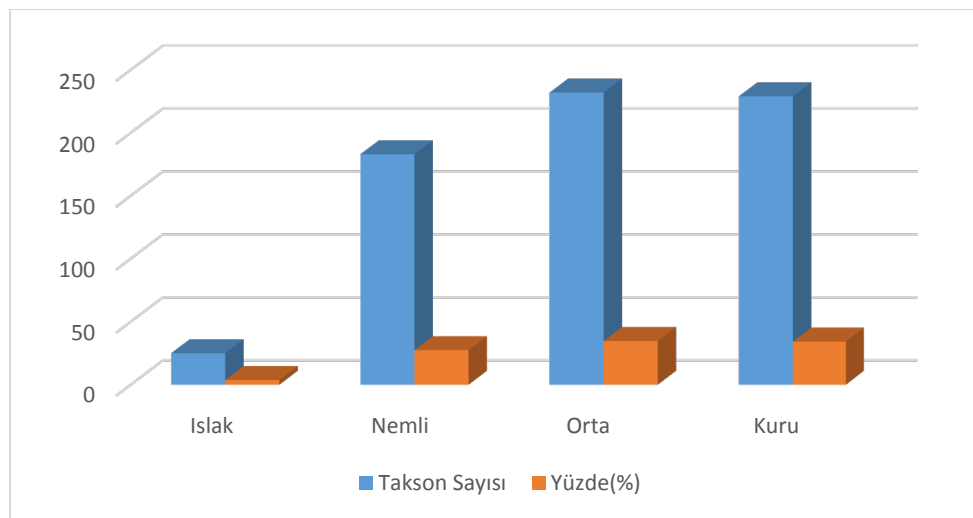
| İşık | Takson Sayısı | Yüzde (%) |
|---------------|---------------|------------|
| Güneşli | 87 | 13 |
| Açık | 132 | 20 |
| Kısmen Gölge | 311 | 46 |
| Tam Gölge | 139 | 21 |
| TOPLAM | 669 | 100 |



Şekil 6.4. Taksonların ışık durumuna ilişkin grafik

Tablo 6. 10. Taksonların nem durumuna göre dağılımı ve yüzdesi

| Nem | Takson Sayısı | Yüzde(%) |
|---------------|---------------|------------|
| Islak | 25 | 3,7 |
| Nemli | 183 | 27,4 |
| Orta | 232 | 34,7 |
| Kuru | 229 | 34,2 |
| TOPLAM | 669 | 100 |



Şekil 6.5. Taksonların nem durumuna ilişkin grafik

Kürschner ve Erdağ (2021) Yakın ve Orta Doğu'daki bryofit verilerini belirlemek amacıyla yapmış oldukları çalışma sonucunda Nevşehir ilindeki briyofit listesini bildirmişlerdir [97]. Bu verilere göre Nevşehir ilinde bugüne kadar kaydı yapılan briyofitler altta Çizelge 6.11'de verilmiştir.

Tablo 6. 11. Nevşehir ili için daha önce kaydı yapılan karayosunları

| No | Familya | Takson Adı |
|----|------------------|---|
| 1 | Bryaceae | <i>Gemmabryum kunzei</i> (Horns.) J.R. Spence |
| 2 | Bryaceae | <i>Rosulabryum torguescens</i> (Bruch & Schimp.) J.R. Spence |
| 3 | Brachytheciaceae | <i>Homalothecium aureum</i> (Spruce) H. Rob. |
| 4 | Brachytheciaceae | <i>Rhynchostegium alopecuroid</i> (Brid.) A.J.E.Sm. |
| 5 | Ditrichaceae | <i>Ceratodon conicus</i> (Hampe) Lindb. |
| 6 | Ditrichaceae | <i>Ditrichum flexicaule</i> (Schwägr.) Hampe var. <i>flexicaule</i> |
| 7 | Grimmiaceae | <i>Grimmia laevigata</i> (Brid.) Brid. |
| 8 | Grimmiaceae | <i>Grimmia plagiopodia</i> Hedw. |
| 9 | Pottiaceae | <i>Bryoerythrophyllum recurvirostrum</i> (Hedw.) P.C. Chen |
| 10 | Pottiaceae | <i>Didymodon tophaceus</i> (Brid.) Lisa |
| 11 | Pottiaceae | <i>Pseudocrossidium hornschuchianum</i> (Schultz) R.H. Zander |
| 12 | Pottiaceae | <i>Pterygoneurum medium</i> (E.S. Salmon) Broth. |
| 13 | Pottiaceae | <i>Tortula brevissima</i> Schiffn. |

Alanda daha önce yapılan çalışmalar sonucu 5 familya, 12 cins ve 13 tür/ tür altı karayosunu tespit edilmiştir.

Bu çalışma sonucunda Nevşehir ili için yeni kayıt olan karayosunu taksonları Tablo 6.12'de verilmiştir.

Tablo 6. 12. Nevşehir ili için yeni kayıt olan karayosunu taksonları

| No | Familya | Takson Adı |
|----|------------------|---|
| 1 | Amblystegiaceae | <i>Amblystegium serpens</i> (Hedw.) Schimp. |
| 2 | Amblystegiaceae | <i>Hygroamblystegium tenax</i> (Hedw.) Jenn. |
| 3 | Amblystegiaceae | <i>Hygroamblystegium humile</i> (P.Beauv.) Vanderp., Goffinet & Hedenäs |
| 4 | Amblystegiaceae | <i>Hygroamblystegium varium</i> (Hedw.) Mönk. |
| 5 | Amblystegiaceae | <i>Conardia compacta</i> (Drumm ex Müll. Hal.) H. Rob. |
| 6 | Amblystegiaceae | <i>Cratoneuron filicinum</i> (Hedw.) Spruce |
| 7 | Amblystegiaceae | <i>Drepanocladus sordidus</i> (Müll.Hal.) Hedenäs |
| 8 | Brachytheciaceae | <i>Brachythecium capillaceum</i> (F. Weber & D. Mohr) Giacom. |
| 9 | Brachytheciaceae | <i>Brachythecium albicans</i> (Hedw.) Schimp. |
| 10 | Brachytheciaceae | <i>Brachythecium salebrosum</i> (Hoffm. ex F. Weber & D. Mohr) Schimp. |
| 11 | Brachytheciaceae | <i>Brachytheciastrum velutinum</i> (Hedw.) Ignatov & Huttunen |
| 12 | Brachytheciaceae | <i>Brachytheciastrum velutinum</i> (Hedw.) Ignatov & Huttunen |

Tablo 6. 13. (devam) Nevşehir ili için yeni kayıt olan karayosunu taksonları

| No | Familya | Takson Adı |
|----|------------------|---|
| 13 | Brachytheciaceae | <i>Homalothecium lutescens</i> (Hedw.) H. Rob. |
| 14 | Brachytheciaceae | <i>Homalothecium philippeanum</i> (Spruce) Schimp. |
| 15 | Brachytheciaceae | <i>Homalothecium sericeum</i> (Hedw.) Schimp. |
| 16 | Brachytheciaceae | <i>Rhynchostegiella tenella</i> (Dicks.) Limpr. |
| 17 | Brachytheciaceae | <i>Euryhynchiastrum pulchellum</i> (Hedw.) Ignatov & Huttunen |
| 18 | Brachytheciaceae | <i>Euryhynchiastrum diversifolium</i> (Schimp.) J.Guerra |
| 19 | Brachytheciaceae | <i>Kindbergia praelonga</i> (Hedw.) Ochyra |
| 20 | Brachytheciaceae | <i>Sciuro-hypnum populeum</i> (Hedw.) Ignatov & Huttunen |
| 21 | Brachytheciaceae | <i>Sciuro-hypnum glaciale</i> (Schimp.) Ignatov & Huttunen |
| 22 | Brachytheciaceae | <i>Rhynchostegium megapolitanum</i> (Blandow ex F. Weber & D. Mohr) Schimp. |
| 23 | Bryaceae | <i>Bryum argenteum</i> Hedw. |
| 24 | Bryaceae | <i>Bryum dichotomum</i> Hedw. |
| 25 | Bryaceae | <i>Bryum radiculosum</i> Brid. |
| 26 | Bryaceae | <i>Bryum arachnoideum</i> C.Müll. |
| 27 | Bryaceae | <i>Imbribryum mildeanum</i> (Jur.) J.R. Spence |
| 28 | Bryaceae | <i>Ptychostomum capillare</i> (Hedw.) Holyoak & N. Pedersen |
| 29 | Bryaceae | <i>Ptychostomum inclinatum</i> (Sw. ex Brid.) J.R. Spence |
| 30 | Bryaceae | <i>Ptychostomum pallens</i> (Sw. ex anon.) J.R. Spence |
| 31 | Bryaceae | <i>Ptychostomum imbricatum</i> (Müll. Hal.) Holyoak & N. Pedersen |
| 32 | Bryaceae | <i>Ptychostomum bornholmense</i> (Wink. & R. Ruthe) Holyoak & N. Pedersen |
| 33 | Dicranaceae | <i>Dicranella heteromalla</i> (Hedw.) Schimp. |
| 34 | Ditrichaceae | <i>Ceratodon purpureus</i> (Hedw.) Brid. |
| 35 | Ditrichaceae | <i>Distichium inclinatum</i> (Hedw.) Bruch & Schimp. |
| 36 | Ditrichaceae | <i>Ditrichum pusillum</i> (Hedw.) Hampe |
| 37 | Ditrichaceae | <i>Flexitrichum flexicaule</i> (Schwägr.) Ignatov & Fedosov |
| 38 | Encalyptaceae | <i>Encalypta vulgaris</i> Hedw. |
| 39 | Funariaceae | <i>Funaria hygrometrica</i> Hedw. |
| 40 | Grimmiaceae | <i>Funaria hygrometrica</i> Hedw. |
| 41 | Grimmiaceae | <i>Grimmia pulvinata</i> (Hedw.) Sm. |
| 42 | Grimmiaceae | <i>Grimmia crinita</i> Brid. |
| 43 | Grimmiaceae | <i>Grimmia tergestina</i> Tomm. ex Bruch & Schimp. |
| 44 | Grimmiaceae | <i>Schistidium helveticum</i> (Schkuhr) Deguchi |
| 45 | Grimmiaceae | <i>Coscinodon monchiquensis</i> R.D.Porley, Ochyra & Ignatova |
| 46 | Hypnaceae | <i>Hypnum cupressiforme</i> Hedw. |
| 47 | Leucodontaceae | <i>Leucodon immersus</i> Lindb. |
| 48 | Mniaceae | <i>Pohlia lescuriana</i> (Sull.) Ochi |
| 49 | Orthotrichaceae | <i>Orthotrichum pellucidum</i> Lindb. |
| 50 | Orthotrichaceae | <i>Orthotrichum alpestre</i> Bruch & Schimp. |
| 51 | Orthotrichaceae | <i>Orthotrichum diaphanum</i> Brid. |
| 52 | Orthotrichaceae | <i>Orthotrichum anomalum</i> Hedw. |
| 53 | Orthotrichaceae | <i>Orthotrichum pumilum</i> Sw. ex anon. |
| 54 | Orthotrichaceae | <i>Orthotrichum sprucei</i> Mont. |
| 55 | Orthotrichaceae | <i>Orthotrichum tenellum</i> Bruch ex Brid |
| 56 | Orthotrichaceae | <i>Orthotrichum vittii</i> Lara, Garilleti & Mazimpaka |
| 57 | Orthotrichaceae | <i>Lewinskya affinis</i> (Schrad. ex Brid.) F.Lara, Garilleti & Goffinet |
| 58 | Orthotrichaceae | <i>Lewinskya acuminata</i> (H.Philib.) F.Lara, Garilleti & Goffinet |
| 59 | Orthotrichaceae | <i>Lewinskya rupestris</i> (Schleich. ex Schwägr.) F.Lara, Garilleti & Goffinet |
| 60 | Orthotrichaceae | <i>Lewinskya sordida</i> (Sull. & Lesq.) F.Lara, Garilleti & Goffinet |
| 61 | Orthotrichaceae | <i>Lewinskya speciosa</i> (Nees) F.Lara, Garilleti & Goffinet |
| 62 | Orthotrichaceae | <i>Lewinskya breviseta</i> (F.Lara, Garilleti & Mazimpaka) F.Lara, Garilleti & Goffinet |
| 63 | Rhabdoweisiaceae | <i>Dicranoweisia cirrata</i> (Hedw.) Lindb. |
| 64 | Pottiaceae | <i>Syntrichia ruralis</i> (Hedw.) F.Weber & D.Mohr |

Tablo 6. 14. (devam) Nevşehir ili için yeni kayıt olan karayosunu taksonları

| No | Familya | Takson Adı |
|----|------------|--|
| 65 | Pottiaceae | <i>Syntrichia rigescens</i> (Broth. & Geh.) Ochyra |
| 66 | Pottiaceae | <i>Syntrichia virescens</i> (De Not.) Ochyra |
| 67 | Pottiaceae | <i>Syntrichia caninervis</i> var. <i>gypsophila</i> (J.J. Amann ex G. Roth) Ochyra |
| 68 | Pottiaceae | <i>Syntrichia caninervis</i> Mitt. |
| 69 | Pottiaceae | <i>Syntrichia calcicola</i> J.J. Amann |
| 70 | Pottiaceae | <i>Syntrichia handelii</i> (Schiffn.) S. Agnew & Vondr. |
| 71 | Pottiaceae | <i>Syntrichia caninervis</i> Mitt. var. <i>caninervis</i> |
| 72 | Pottiaceae | <i>Pterygoneurum ovatum</i> (Hedw.) Dixon |
| 73 | Pottiaceae | <i>Didymodon fallax</i> (Hedw.) R.H. Zander |
| 74 | Pottiaceae | <i>Didymodon acutus</i> (Brid.) K. Saito |
| 75 | Pottiaceae | <i>Didymodon cordatus</i> Jur. |
| 76 | Pottiaceae | <i>Didymodon vinealis</i> (Brid.) R.H. Zander |
| 77 | Pottiaceae | <i>Didymodon rigidulus</i> Hedw. |
| 78 | Pottiaceae | <i>Didymodon tomaculosus</i> (Blockeel) M.F.V. Corley |
| 79 | Pottiaceae | <i>Didymodon tophaceus</i> (Brid.). <i>Lisa</i> subsp. <i>siccarius</i> (M.J.Cano, Ros, García-Zam. & J.Guerra) Jan Kučera |
| 80 | Pottiaceae | <i>Tortula vlassovii</i> (Laz.) Ros & Herrnst. |
| 81 | Pottiaceae | <i>Tortula subulata</i> Hedw. |
| 82 | Pottiaceae | <i>Tortula muralis</i> Hedw. |
| 83 | Pottiaceae | <i>Tortula mucronifolia</i> Schwägr. |
| 84 | Pottiaceae | <i>Tortula lingulata</i> Lindb. |
| 85 | Pottiaceae | <i>Tortula muralis</i> subsp. <i>obtusifolia</i> (Schwägr.) Culm. |
| 86 | Pottiaceae | <i>Tortula revolvens</i> (Schimp.) G.Roth |
| 87 | Pottiaceae | <i>Tortella inclinata</i> (R. Hedw.) Limpr. |
| 88 | Pottiaceae | <i>Barbula unguiculata</i> Hedw. |
| 89 | Pottiaceae | <i>Microbryum floerkeanum</i> (F. Weber & D. Mohr) Schimp. |
| 90 | Pottiaceae | <i>Hennediella polyseta</i> (C. Müll.) Zand. |
| 91 | Pottiaceae | <i>Bryoerythrophyllum rubrum</i> (Jur. ex Geh.) P.C.Chen |
| 92 | Pottiaceae | <i>Crossidium squamiferum</i> (Viv.) Jur. |
| 93 | Pottiaceae | <i>Pseudocrossidium obtusulum</i> (Lindb.) H.A.Crum & L.E.Anderson |

Bu çalışma sonucu Göreme Milli Parkı ve dolayısıyla Nevşehir ili için 9 familya, 33 cins ve 94 tür/ tür altı karayosunu daha listeye eklenmiştir. Böylece önceki kayıtlarla birlikte alanda toplam karayosunu sayısı 101'e ulaşmıştır.

Çalışma sonucu elde edilen verilerle çalışma alanına yakın, benzer iklim ve habitatlara sahip olan İhlara Vadisi ve Göllüdağ Volkani'ndan yakın tarihte yapılan briyofloristik çalışmaların sonuçları familya bazında karşılaştırılmıştır (Tablo 6.13.).

Tablo 6. 15. Çalışma sonuçlarının yakın diğer alanlarda yapılmış olan bazı briyofloristik çalışmalar ile familya bazında karşılaştırılması

| Familya | Kapadokya-Göreme Milli Parkı | | Ihlara Vadisi | | Göllüdağ Volkani | |
|------------------|------------------------------|----|---------------|----|------------------|----|
| | T.S. | % | T.S. | % | T.S. | % |
| Pottiaceae | 34 | 34 | 19 | 32 | 27 | 26 |
| Brachytheciaceae | 16 | 16 | 10 | 17 | 11 | 11 |
| Orthotrichaceae | 14 | 14 | 7 | 12 | 7 | 6 |
| Bryaceae | 10 | 10 | 6 | 10 | 8 | 8 |
| Grimmiaceae | 8 | 8 | 5 | 8 | 18 | 17 |

Bu karşılaştırmaya göre çalışma alanımızla Ihlara Vadisi'nin (takson sayıları farklı olmakla birlikte) ilk beş familya sıralamasının benzer olduğu görülmektedir. Yaz kuraklığını seven Pottiaceae familyası her üç çalışmada da ilk sıradadır. Grimmiaceae familyası oranındaki farkın sebebi Göllüdağ Volkani'nda nem oranının daha düşük olmasından kaynaklandığı düşünülmektedir. Orthotrichaceae familyasının çalışma alanımızda diğer çalışma alanlarına göre daha fazla görülmesi alanında çok daha fazla ağaç popülasyonunun olmasından kaynaklanmaktadır. Genel olarak sonuçların benzerlik göstermesinin sebebinin Pottiaceae, Grimmiaceae, Bryaceae ve Orthotrichaceae familyaları gibi akrokarp gelişme gösteren taksonların uzun yaz kuraklığına daha dayanıklı olmasından kaynaklandığı düşünülmektedir.

94 taksonun Nevşehir için yeni kayıt olması önemli sonuçlardandır. Diğer taraftan *Syntrichia rigescens* (Broth. & Geh.) Ochyra, *Hennediella polyseta* (C. Müll.) Zand. *Coscinodon monchiquensis* R.D. Porley, Ochyra & Ignatova ve *Bryum arachnoideum* C. Müller'in Türkiye Karayosunu Florası için yeni kayıt olması, *Tortula vlassovii* (Laz.) Ros & Herrnst, *Sciuro-hypnum glaciale* (Schimp.) Ignatov & Huttunen Türkiye'den ikinci kayıt olarak belirlenmesi çalışmanın en önemli sonuçlarındandır. Çalışma sonucunda elde edilen bu veriler Nevşehir ilinde briyofitler ile ilgili yapılacak diğer flora çalışmalarına kaynak teşkil edecektir ve Türkiye Briyofit Florası'na ve biyoçeşitliliğine önemli ölçüde katkılar sağlayacaktır.

Sonuç olarak bu çalışma ile ortaya çıkarılan yeni kayıtların bolluğu bize Türkiye Briyofit Florası için henüz çok fazla eksigimiz olduğunu göstermektedir. Özellikle çalışılmamış ve kısmen çalışılmış bölgelerde çalışmaların arttırılması ile bu eksikliğin giderilebileceği düşünülmektedir. Böylece Türkiye Briyofit Florası'nın yazımına büyük katkılar sağlanacaktır.



ÖNERİLER

1. Nevşehir-Kapadokya Göreme Milli Parkı jeolojik olduğu kadar flora açısından ekoturizm potansiyeli olan bir alandır. Bununla ilgi çalışmalara öncelik verilmelidir.
2. Bu tez ile briyolojik olarak bryoflora için 7 hassas takson belirlenmiştir. Bunlar için biyolojik koruma çalışmaları yapılmalıdır.
3. Milli Park içerisinde Güvercinlik, Üzengi, Gomeda, Zemi, Ballıdere, Ortahisar vadileriyle; Kermil dağı ve Akdağ mevkisi ile Kızıl Çukur, Çavuşin mevkileri hassas doğal alanlardır. Bu alanlar için koruma stratejisi geliştirilmelidir.
4. Çalışma alanı turizm faaliyetlerinin baskısı altındadır. Baskıyı azaltabilmek için farkındalık çalışmaları yapılmalıdır.
5. Araştırma bölgesindeki briyofit habitatlarını belirleme çalışmaları yapılmalı ve nesli tehlike altında olan türlerin habitatları korunmalıdır.
6. Çalışma alanında milli parkın statüsü kaldırılmıştır. Fakat hala UNESCO nun dünya mirası listesindedir. Bu yüzden yeniden bir koruma statüsü belirlenmesi gereklidir.
7. Hayvancılık, tarım faaliyetleri ve erozyon bitki örtüsü tehdit etmektedir. Bu tehdit faktörleriyle mücadele yöntemleri geliştirilmelidir.
8. Likenler her ne kadar bitkiler alemi içerisinde yer almasa da alandaki likenlerin briyofitlerle olan ekolojik ilişkileri araştırılmalıdır.
9. Milli Park sınırları içerisinde kaçak avcılık ve izinsiz piknik faaliyetlerine rastlanmıştır. Bunların engellenebilmesi için yasal denetimler sıklaştırılmalıdır.
10. Kapadokya-Göreme Milli Parkı'nın koruma statüsü milli park olarak kaldırılsa da acil olarak bölgedeki yerleşik halkında görüşleri alınarak rezerv alanı olarak kabul edilmesi gereklidir.

KAYNAKLAR

- [1] Ekşi S., "Çamlık ve Cimil Deresi (İkizdere/Rize) Çevresinin Briyofit Florası", *Recep Tayyip Erdoğan Üniversitesi Fen Bilimleri Enstitüsü, Yüksek Lisans Tezi*, s.2-2, Rize, 2016.
- [2] Goffinet, Bernard, William R. Buck, and A. Jonatham Shaw. "Morphology, anatomy, and classification of the Bryophyta." *Bryophyte biology*, 2, 55-138, 2009.
- [3] Batan, N., "Artvin Bölgesi Yapraklı Karayosunu (Musci) Florasına Katkılar" *KTÜ Fen Bilimleri Enstitüsü, Yüksek Lisans Tezi*, s.2-2, Trabzon, 2008.
- [4] Pabuçcu, K., and Z. Altuner. "Planctonic Algal Flora of Yeşilırmak River (Tokat) Turkey." *Bulletin of pure and applied sciences*, 17(2), 101-112, 1998.
- [5] Sunter, G., "Bitkiler Dünyası", *İletişim Yayınları, İstanbul*, 2007.
- [6] GÖKLER, İ., "Az Bilinen Biyolojik Zenginliğimiz Ciğer otları", *Ekoloji*, 2(6), 16-18, 1993.
- [7] Cangül, C., "Kaplandede Dağı'nın Briyofit Florası (Düzce)", *NÜ Fen Bilimleri Enstitüsü Yüksek Lisans Tezi*, s.1-1, Niğde, 2010.
- [8] Kamer, D., "Briyofitlerin Ekolojisi", *Ankara Üniversitesi Çankırı Orman Fakültesi Orman Mühendisliği Bölümü, Lisans Bitirme Tezi*, Çankırı, 2006.
- [9] Alataş, M., "Yenice Ormanları ve Keltepe Karayosunları (= Musci) Florası", *Zonguldak Karaelmas Üniversitesi Fen Bilimleri Enstitüsü, Bilim Uzmanlığı Tezi*, s.1-1. Şubat, 2006.
- [10] Bowden, William B., Janice M. Glime, and Riis, T., "Macrophytes and bryophytes", *Methods in Stream Ecology, Volume 1. Academic Press*, 243-271, 2017.
- [11] Vanderpoorten, Alain, and Goffinet B., "Introduction to bryophytes" *Cambridge University Press*, 2009.
- [12] During, Heinjo J. "Life strategies of bryophytes: a preliminary review", *Lindbergia*, 2-18, 1979.
- [13] Schofield, W.B., "Introduction to bryology", *The Blackburn Press*, US, 2001.

- [14] Abay, G. Ve Kamer, D., "Biyoçeşitliliğimizin Az Bilinen Bileşenleri Bryofitler", *III. Ulusal Karadeniz Ormancılık Kongresi*, Sayfa: 1115-1125, Artvin, 20-22 Mayıs 2010.
- [15] Barkman, J. J., "Phytosociology and Ecology of Cryptogamic Epiphytes. van Gorcum & Comp." NV, Assen, The Netherlands, 1958.
- [16] Smith, A.J.E., "Bryophyte Ecology", *Chapman and Hall*, (ed.), London, 1982.
- [17] Bates, J.W., "Bryophyte Ecology", Quantitative Approches in Bryophyte Ecology. London: Chapman and Hall, Chapter, 1, 1-44, 1982.
- [18] Bates, J. W. "Epiphytic bryophytes preserved in a French farmhouse." *Journal of bryology*, 17, 511-512, 1993.
- [19] Moe, B., Botnen, A., "Epiphytic vegetation on pollarded trunks of *Fraxinus excelsior* in four different habitats at Grinde, Leikanger, western Norway." *Plant ecology*, 151, 143-159, 2000.
- [20] Le, T.Nenvironments, dry ., ve McQueen-Mason, S.J., "Desiccation-tolerant plants in dry environments", Rev Environ Sci Biotechnol, 2006.
- [21] Tuba, Z., Slack, N.G. ve Stark, L.R., "Bryophyte Ecology and Climate Change", *Cambridge University Press, Cambridge*, 2011.
- [22] Oliver, M.J., "Biochemical and molecular mechanisms of desiccation tolerance in bryophytes", In *Bryophyte Biology*, B. Goffinet ve A.J. Shaw, *Cambridge University Press*, New York, 2009.
- [23] Çolak E. "Bazı Pleurokarpik Karayosunlarının Antimikrobiyal Aktivitelerinin İncelenmesi" Niğde Üniversitesi Fen Bilimleri Enstitüsü, Yüksek Lisans Tezi, s.4-4, Niğde, 2010.
- [24] ALataş, M., Uyar, G., KARA R., EZER, T., "Abant Dağları'ndaki Uludağ Göknarı *Abies nordmanniana* subsp. *bornmuelleriana* ağaçlarının epifitik bryofitleri", *Biyolojik Çeşitlilik ve Koruma*, 5(1), 69-74, 2008.

- [25] Saxena, D.K. ve Harinder, "Uses of Bryophytes", *Resonance*, Haziran, 2004.
- [26] Abay, G., Ursavaş, S., Kadioğlu, N. B., & Tarhan, İ., "Artvin (A4) ve Antalya (C12)'dan Bazı Karayosunu (= Musci) Kayıtları." *Tabiat ve İnsan*, 4, 19-32, 2006.
- [27] Richardson, D.H.S., "The Biology of Mosses", *Blackwell Sci. Publ*, Edinburgh, 1981.
- [28] Ezer, T., "Güney Amanos Dağları (Musa Dağı) Biryofit Florası ve Epifitik Biryofit Vejetasyonunun Araştırılması", *ÇÜ Fen Bilimleri Enstitüsü Doktora Tezi*, Adana, 2008.
- [29] Sharma, O. P. "Diversity of Microbes and Cryptogams: Bryophyta", *New Delhi: McGraw- Hill Education*, 2014.
- [30] Çolak E., "Bazı Pleurokarpik Karayosunlarının Antimikrobiyal Aktivitelerinin İncelenmesi, Niğde Üniversitesi Fen Bilimleri Enstitüsü", Yüksek Lisans Tezi, Niğde, 2010.
- [31] Rensing, S. A., et al, "The Physcomitrella genome reveals evolutionary insights into the conquest of land by plants." *Science* 319.5859, 64-69, 2008.
- [32] Rensing, S. A. "Why we need more non-seed plant models." *New Phytologist*, 216 (2), 355-360, 2017.
- [33] Perroud, P. F., et al, "The Physcomitrella patens gene atlas project: large-scale RNA-seq based expression data", *The Plant Journal*, 95(1), 168-182, 2018.
- [34] Veillet, F., et al, "Expanding the CRISPR toolbox in *P. patens* using SpCas9-NG variant and application for gene and base editing in Solanaceae crops" *International journal of molecular sciences*, 21 (3), 1024, 2020.
- [35] Zhang, Y., et al, "The emerging and uncultivated potential of CRISPR technology in plant science", *Nature Plants*, 5 (8), 778-794, 2019.
- [36] Rensing, S. A., "Great moments in evolution: the conquest of land by plants", *Current opinion in plant biology*, 42, 49-54, 2018.

- [37] Kammerer, W., Cove, D. J., "Genetic analysis of the effects of re-transformation of transgenic lines of the moss *Physcomitrella patens*", *Molecular and General Genetics MGG*, 250 (3), 380-382, 1996.
- [38] Schaefer, D. G., Zryd, J. P. "Efficient gene targeting in the moss *Physcomitrella patens*." *The Plant Journal*, 11 (6), 1195-1206, 1997.
- [39] Hohe, A., Reski, R., "Optimisation of a bioreactor culture of the moss *Physcomitrella patens* for mass production of protoplasts", *Plant Science*, 163 (1), 69-74, 2002.
- [40] Hohe, A., et al, "An improved and highly standardised transformation procedure allows efficient production of single and multiple targeted gene-knockouts in a moss, *Physcomitrella patens*", *Current genetics*, 44 (6), 339-347, 2004.
- [41] Schween, G., et al, "Effects of nutrients, cell density and culture techniques on protoplast regeneration and early protonema development in a moss, *Physcomitrella patens*", *Journal of plant physiology*, 160 (2), 209-212, 2003.
- [42] Schween, G., et al, "Large-scale analysis of 73 329 *Physcomitrella* plants transformed with different gene disruption libraries: production parameters and mutant phenotypes", *Plant Biology*, 7 (03), 228-237, 2005.
- [43] Reski, R., "Physcomitrella and Arabidopsis: the David and Goliath of reverse genetics", *Trends in Plant Science*, 6 (3), 209-210, 1998.
- [44] Schaefer, D. G., Zryd, J. P., "The moss *Physcomitrella patens*, now and then", *Plant physiology*, 127 (4), 1430-1438, 2001.
- [45] Büttner-Mainik, A., et al, "Production of biologically active recombinant human factor H in *Physcomitrella*", *Plant biotechnology journal*, 9 (3), 373-383, 2011.
- [46] Lang, D., et al, "Exploring plant biodiversity: the *Physcomitrella* genome and beyond", *Trends in plant science*, 13 (10), 542-549, 2008.

- [47] Drobniak, J., Stebel, A., "Medicinal mosses in pre-Linnaean bryophyte floras of central Europe. An example from the natural history of Poland", *Journal of ethnopharmacology*, 153 (3), 682-685, 2014.
- [48] Noris, M., Remuzzi, G., "Atypical hemolytic-uremic syndrome", *New England Journal of Medicine*, 361 (17), 1676-1687, 2009.
- [49] Barbour, T. D., Pickering, M. C., Cook, H. T., "Recent insights into C3 glomerulopathy", *Nephrology Dialysis Transplantation*, 28 (7), 1685-1693, 2013.
- [50] Schofield, W.B., "Introduction to Bryology. The Blackburn Press", *Caldwell*, USA, 973-228-7077, 2001.
- [51] Glime J. M., "Economic and ethnic uses of bryophytes", *Flora of North America, Bryophytes, Mosses*, Part 1 (27), 14-41, 2007.
- [52] Crum, H. A., "Mosses of the Great Lakes forest", *University of Michigan Herbarium*, Michigan, 404, 2004.
- [53] Hawksworth, D.L., Roze, F., "Lichens as Pollution Monitors", *Studies in biology*, Edward Arnold, London, 66, 1976.
- [54] Nieboer, E., and Richardson, D.H.S., "Lichens as monitors of atmospheric deposition. In Atmospheric Inputs of Pollutants to Natural Waters", Eisenrich S.J. Ann Arbor Science Publishing, Michigan, 1981.
- [55] Gilbert, O.L., "Bryophytes as indicators of air pollution", *J. Ecol.*, 55, 56-57, 1967.
- [56] Gilbert, O.L., "The effects of SO₂ on lichens and bryophytes around Newcastle upon Tyne. In: European Congress on the Influence of Air Pollution", Air Pollution: *Proceedings of the First European Congress on the Influence of Air Pollution on Plants and Animals*. Wageningen, 223–233, 1969.
- [57] Taoda, H., "Mapping of atmospheric pollution in Tokyo based upon epiphytic bryophytes", *Jap. J. Ecol.*, 22, 125-133, 1972.

- [58] Taoda, H., "Mapping of air pollution based on epiphytic cryptogams in bay-coast cities of Chiba Prefecture", M. Numata, *Integrated Ecological Studies in Bay-coast Cities II. Chiba.*, 21–25, 1980.
- [59] Briggs, D., "Population differentiation in Marchantia polymorpha L. in various lead pollution levels", *Nature*, 238, 166–167, 1972.
- [60] Schilling, A. J., *Johann Jakob Dillenius "sein Leben und Wirken: Gedenkblätter zur 200 fachen Wiederkehr des Jahrestages seiner Geburt"*, Verlagsanstalt und Druckerei A.=G. (vorm. JF Richter), 1687-1747, 1889.
- [61] Kürschner, H., and ERDAĞ, A., "Bryophytes of Turkey: an annotated reference list of the species with synonyms from the recent literature and an annotated list of Turkish bryological literature", *Turkish journal of botany*, 29 (2), 95-154, 2005.
- [62] ERDAĞ, A., and KÜRSCHNER, H., "A reference list of Turkish bryophytes. The state of knowledge from 1829 until 2017", *Anatolian Bryology*, 3 (2), 81-102, 2017.
- [63] Müller, R. O. "Sandon und Sardanapal", *Rheinisches Museum für Philologie, Geschichte und griechische Philosophie*, 3 (1), 22-42, 1829.
- [64] Tchihatcheff, P. D. "Asie Mineure Vol. III, Tome 2: 676 p", *Botanique, Paris*, 1860.
- [65] Juratzka, J., and Milde, J., "Beitrag zur Moosflora des Orientes", *Verhandlungen der zoologisch-botanischen Gesellschaft in Wien*, 20, 589-602, 1870.
- [66] Wettstein, R., "Beitrag zur flora des Orientes", aus der KK Hof. und Staatsdruckerei, 1889.
- [67] Barbey, W., and Boissier E., "Lydie, Lycie, Carie, 1842, 1883, 1887: études botaniques", Bridel, 1890.
- [68] Schiffner, V., "Ueber die von Sintenis in Türkisch-Armenien gesammelten Kryptogamen", *Österreichische botanische Zeitschrift*, 46(8), 274-278, 1896.
- [69] Schiffner, V., "Musci Bornmülleriani. Ein Beitrag zur Cryptogamenflora des Orients." *Österreichische Botanische Zeitschrift*, 47(4), 125-132, 1897.

- [70] Unal, R. "Reflexions-six mois après sur la victoire des étudiants turcs,-«L'Etudiant»", (1961).
- [71] Walther, K., "Beiträge zur Moosflora Westanatoliens I. Mitteilungen aus dem Staatsinstitut für Allgemeine" Botanik in Hamburg 12: 129-186, 1967..
- [72] Henderson, D. M., and Prentice, H. T., "Contributions to the bryophyte flora of Turkey. VIII", *Edinb Roy Bot Gard Notes*, 1969.
- [73] Yayintaş, A., and Iwatsuki, Z., "Some moss records from Western Turkey", *Hikobia*, 10, 209-213, 1988.
- [74] Çetin, B., "Antalya çevresi (Kurşunlu Şelalesi-Köprülü Kanyon Milli Parkı) ciğerotları (Hepaticae)", *Doğa Tu. Bot. D*, 13(2), 151-156, 1989.
- [75] Gökler, İ., Inoue, H. and Öztürk, M., "A new record for Turkey, *Pellia neesiana* (Gott.) Limpr." *J Faculty Sci Ege Univ B*, 7, 85-89, 1984.
- [76] Seçmen, Ö., E. Leblebici, and İ. Gökler. "Türkiye için yeni bir ciğerotu, *Ricciocarpus natans* (L.) Corda." *Doğa TU. Bot*, 13(2), 311-313, 1989.
- [77] Yücel E ve Tokur S (1989) Eskişehir Yöresi Bazı Brydae Alt Sınıfı Türleri Üzerine Floristik Çalışmalar. AÜ Fen Edebiyat Dergisi, 2 (1): 9-16
- [78] Yayintaş, A., and A. Erdağ. "Some mosses from İhlara Valley." *Journal of Faculty of Science Ege University*, 18.1, 1-7, (1995)
- [79] Tonguç, Özlem, and Ahmet Yayintaş. "Çal dağı (Manisa) karayosunları." (1996).
- [80] GÖKLER, İ., and ÖZENOĞLU, H., "Kazdağı Milli Parkı ve çevresi ciğer otlarının taksonomisi ve ekolojisi." *Ekoloji Çevre Dergisi*, 8.30, 22-26, (1999).
- [81] ÇETİN, B., and UYAR, G., "The moss flora of Sinop and its environs (Ayancık, Boyabat and Gerze)." *Turkish journal of botany*, 21.4, 231-244, 1997.
- [82] Everest, A., and Ellis, L., "A contribution to the bryophyte flora of southern Turkey" *Cryptogamie Bryologie*, 20.1, 43-48, (1999).

- [83] Yayıntaş A. Higuchi M. Tonguç Ö., "The moss flora of İstıranca (Kırklareli) mountains in Turkey". Journal of Faculty of Science Ege University, 19:2, 33-45, 1996.
- [84] Kürschner H. & Parolly G., "Tortula brevissima Schiffn., a new record for the moss flora of Turkey", Lindbergia, 23: 110-112, 1998.
- [85] Muñoz J., "A taxonomic revision of Grimmia Subgenus Orthogrimmia (Musci, Grimmiaceae)", Annals of the Missouri Botanical Garden, 85: 367-403, 1998.
- [86] Kara R., Ertek A., Can S. M. & Ezer T., "A morphometric study on *Pterygoneurum ovatum*", Biological Diversity and Conservation, 5: 146-154, 2012.
- [87] Kara R., Ezer T., & düzenli A., "The bryophyte flora of northern Amanos (Nur) Mountain (Hatay – Turkey)", Evansia, 30: 1-14, 2013.
- [88] Kara R., Ezer T., Can Gözcü S. M., & Bozdoğan Ş. D., "Bryophyte flora of Erciyes Mountain in Turkey, with 6 bryophyte records from the country", Turkish Journal of Botany 38: 763-781, 2014.
- [89] Kara R., et al., "Bryophyte flora of Akdağ (Pozanti-Adana/Turkey)", Biological Diversity and Conservation 8: 188-194, 2015.
- [90] Kara R., et al., "Three new records from Turkey, Southwest Asia and Mediterranean", Plant Biosystems, 151 (1): 92-97, 2017.
- [91] Kürschner, H., and Frey, W., "Liverworts, mosses and hornworts of southwest Asia (Marchantiophyta, Bryophyta, Anthocerotophyta)", 2011.
- [92] LARA F., et al., "Northeastern Turkey, an unnoticed but very important area for the Orthotrichaceae (Bryophyta)", Nova Hedwigia Beihefte, 138: 165-180, 2010.
- [93] Ros, M. R., et al., "Mosses of the Mediterranean, an annotated checklist", Cryptogamie, Bryologie, 34: 99-283, 2013.
- [94] Erdağ, A., and Kürschner, H., "The Cinclidotus P. Beauv./Dialytrichia (Schimp.) Limpr. complex (Bryopsida, Pottiaceae) in Turkey", *Botanica Serbica*, 35.1, 13-29, 2011.

- [95] Kirmacı, M., and Kürschner, H., "The genus *Sphagnum* L. in Turkey—with *S. contortum*, *S. fallax*, *S. magellanicum* and *S. rubellum*, new to Turkey and Southwest Asia", *Nova Hedwigia* 96.3-4, 383-397, 2013.
- [96] Ezer, Tülay, and Richard H. Zander. "Tortula galilaea (Herrnst. & Heyn) T. Ezer & RH Zander comb. nov.(Pottiaceae, Bryophyta)." *Journal of Bryology* 39.2 (2017): 207-209.
- [97] ERDAĞ, A., and KÜRSCHNER, H., "Türkiye Bitkileri Listesi, Karayosunları: Eklentiler 2018–2020", *Bağbahçe Bilim Dergisi*, 8(2), 32-37, 2021.
- [98] Kara, R., Taşpinar, H., "Göreme milli parkındaki (Nevşehir) epifitik karayosunlarının substrat tercihleri", *Anatolian bryology*, 96-108, 2021.
- [99] Yök Tez Merkezi, "Briyofit Florası"= <https://tez.yok.gov.tr/>
- [100] Kaşmer, Ö., "Zelve Açık Hava Müzesindeki (Kapadokya) kayadan oyma tarihi yapıların jeomekanik açıdan değerlendirilmesi", (2011).
- [101] Karameşe, B., "Kapadokya jeopark önerisinin yerel halk açısından değerlendirilmesi", *MS thesis. Balıkesir Üniversitesi Sosyal Bilimler Enstitüsü*, 2014.
- [102] Vural M., Kol Ü., "Çopuroğlu S. ve Umut B., Göreme Milli Parkındaki Bitkilerin Tespiti ve Bunların Peyzaj Mimarisi Yönünden Değerlendirilmesi", Ormancılık Araştırma Enstitüsü Yayınları, Teknik Bülten, No: 263, Ankara, 1996.
- [103] Smith, A. J. E., "The Liverworts of Britain and Ireland", Cambridge: Cambridge Univ. Press, 1990..
- [104] Smith, A.J E., "The Liverworts of Britain and Ireland", *Cambridge University Press*, Cambridge, 1991.
- [105] Ireland R., "Moss Flora of Maritime Provinces", National Museum of Natural Sciences, Publication in Botany No: 13, Ottova, 1982.
- [106] Nyholm E., "Illustrated Moss Flora of Fennoscandia", Swedish Natural Science Research Council, The Nordic Bryological Society, Lund, 1981.

- [107] Crum A.H., Anderson E.L., "Mosses of Eastern North America", Columbia University Press, Newyork, 1981.
- [108] Landwehr, J., and Barkman, J., "Atlas van de Nederlandse Bladmossen.– Koninklijke Nederlandse Natuurhistorische Vereiniging." *Landwehr, J. 1980. Atlas van de Nederlandse Levermossen. Koninklijke Nederlandse Natuurhistorische Vereniging. Mabelis, B. 1962. Nieuwkoop. Kruipnieuws* 24.2, 8-22, 1966.
- [109] Agnew, S., and Vondráček, M., "A moss flora of Iraq." *Feddes Repertorium* 86.6-8, 341-489, 1975.
- [110] Frey, W., and Kürschner. H., "Lebensstrategien von terrestrischen Bryophyten in der Judäischen Wüste; life strategies of terrestrial bryophytes in the Judean Desert", *Botanica Acta* 104.3 (1991): 172-182.
- [111] Söderström, L., et al. "Bryophyte conservation for the future", *Biological conservation* 59.2-3, 265-270, 1992.
- [112] Pedrotti, C.C., " Flora dei muschi d'Italia, Sphagnopsida, Andreaopsida, Bryopsida." Antonia Delfino Editore, Roma, 2001.
- [113] Pedrotti C.C., "Flora dei muschi d'Italia, Bryopsida", Antonia Delfino, 2, 827- 1235, Roma, 2006.
- [114] Erdag, A., and H. Kurschner. "Orthotrichum rivulare Turn.(Orthotrichaceae, Bryopsida), a hygrophytic species new to the bryophyte flora of Turkey and Southwest-Asia.-With a key to the Turkish Orthotrichum species." *Nova Hedwigia* 74.1-2, 251-256, 2002.
- [114] Erdağ, A., Kırmacı, M., and Kürschner, H., "The Hedwigia ciliata (Hedw.) Ehr. ex P. beauv. complex in Turkey, with a new record, H. ciliata var. leucophaea Bruch & Schimp.(Hedwigiaceae, Bryopsida)", *Turkish journal of botany* 27.5, 349-356, 2003.
- [115] Greven, H. C., "The identity of Grimmia hartmannii ssp. bullata Luis. and additions to the moss flora of Macaronesia." *Journal of bryology* 18.4, 830-832, 1995.

- [116] Cao, T., and Vitt, D. H., "A taxonomic revision and phylogenetic analysis of Grimmia and Schistidium (Bryopsida; Grimmiaceae) in China." *Journal of the Hattori Botanical Laboratory*, 61, 123-247, 1986.
- [117] Lewinsky, Jette. A "synopsis of the genus *Orthotrichum* Hedw. (Musci, Orthotrichaceae)", Finnish Bryological Society, 1993.
- [118] Lara, F., Garilleti, R., and Mazimpaka. V., "Orthotrichum macrocephalum sp. nov., a new moss of section Diaphana from the Iberian Peninsula." *Bryologist*, 402-408, 1994.
- [119] Sharp, Aron J. "The moss flora of Mexico", No. 580.744747 M4/v. 69/2 pt./4 ej.. 1994.
- [120] Munoz, J., "A taxonomic revision of Grimmia subgenus Orthogrimmia (Musci, Grimmiaceae)", *Annals of the Missouri botanical garden*, 367-403, 1998.
- [121] Munoz, J., "A revision of Grimmia (Musci, Grimmiaceae) in the Americas. 1: Latin America." *Annals of the Missouri botanical garden*, 118-191, 1999.
- [122] Gao, C., Crosby, M. R., and He, S. "Moss Flora of China, Vol. 1. Sphagnaceae-Leucobryaceae", (1999).
- [123] Li, X. J., et al. "Moss Flora of China English version, vol. 2. Fissidentaceae-Ptychomitriaceae", (2001).
- [124] He, S. "Moss flora of China (Volume 6, Hookeriaceae–Thuidiaceae)." (2002).
- [125] Ignatova, E., and Munoz, J., "The Genus Grimmia Hedw. In Russia." *Arctoa* 13 (2005): 101-182.
- [126] Zander R.H., "Genera of the Pottiaceae: Mosses of Harsh Environments", Bulletin of Buffalo Society of Natural Sciences, 32: 1-378, 1993.
- [127] Hofmann, H., "A monograph of the genus Homalothecium (Brachytheciaceae, Musci)", *Lindbergia*, 119-159, 1998.
- [128] Sim-Sim, Manuela. "The genus Frullania Raddi (Hepaticae) in Portugal and Madeira." *Cryptogamie Bryologie* 20.2, 83-144, 1999.

- [129] Arnell, S. "Illustrated Moss Flora of Fennoscandia, Fasc. I." *Hepaticae, Swedish Natural Science Research Council, Stockholm*, 1981.
- [130] Paton, Jean A., "The liverwort flora of the British Isles", Brill, 1999.
- [131] Webby, Rosemary F., Kenneth R. Markham, and Ronald I. Lewis Smith. "Chemotypes of the Antarctic moss Bryum algens delineated by their flavonoid constituents." *Biochemical systematics and ecology* 24.5, 469-475, 1996.
- [132] Heyn, C. C., and Herrnstadt, I., "bryophyte flora of Israel and adjacent regions." Israel Academy of Sciences and Humanities, 2004.
- [133] Kürschner, H., and Frey, W., "Tortula grandiretis Broth.(Pottiaceae), an Irano-Turanian moss new to Iraq and further novelties from the Near and Middle East Towards a bryophyte flora of the Near and Middle East, 4." *Nova Hedwigia*, 143-149, 2006.
- [134] Kürschner, H., "A key to the Pottiaceae (Bryopsida-Bryophytina) of the Near and Middle East Towards a bryophyte flora of the Near and Middle East, 6." *Nova Hedwigia*, 21-50, 2007.
- [135] Casas, C., et al. "Checklist of mosses of the spanish central pyrenees." *Cryptogamie* 30.1, 33, 2009.
- [136] Guerra, J., Cros, M., "Flora Briofítica Ibérica", Volumen III. Sociedad Española de Briología. Murcia, 2006.
- [137] Guerra J., Cros M., "Flora Briofítica Ibérica, Volumen I", Sociedad Española de Briología. Murcia, 2007.
- [138] Uyar, G., and Çetin, B., "A new check-list of the mosses of Turkey", *Journal of bryology* 26.3, 203-220, 2004.
- [139] Kiremit, H. Özenoğlu, and Keceli, T., "An annotated check-list of the Hepaticae and Anthocerotae of Turkey." *Cryptogamie Bryologie*, 30.3, 343-356, 2009.

- [140] Watson, E.V., “British Mosses and Liverworts, Cambridge: Cambridge University Press” Weber, H.E. 2000. “Moravec J and Theurillat J P (2000) International Code of Phytosociological Nomenclature”, Vegetation Scince, 3, 739-768, 1981.
- [141] Paton, J., “The Liverworts Flora of the British Isles”, İngiltere: Harley Books, 1999.
- [142] Smith, A.J.E., “The Liverworts of Britain and Ireland” Cambridge: Cambridge University Press, 1996.
- [143] Nyholm, E., “Illustrated Flora of Nordic Mosses, Fasc 1. Fissidentaceae – Seligeriaceae” Lund: The Nordic Bryological Society, 1986.
- [144] Nyholm, E., “Illustrated Flora of Nordic Mosses, Fasc. 2. Pottiaceae – Splachnaceae – Schistostegaceae”, Lund: The Nordic Bryological Society, 1989.
- [145] Nyholm, E., “Illustrated Flora of Nordic Mosses, Fasc. 3. Bryaceae – Rhodobryaceae – Mniaceae – Cinclidiaceae – Plagiomniaceae”, Lund: The Nordic Bryological Society, 1993.
- [146] Nyholm, E., “Illustrated Flora of Nordic Mosses, Fasc. 4. Aulacomniaceae – Meesiaceae – Catocopiaceae – Bartramiaceae – Timmiaceae – Encalyptaceae – Grimmiaceae – Ptychomitriaceae – Hedwigiaceae – Orthotrichaceae”, Lund: The Nordic Bryological Society. Önder, F., Göncüoğlu, M.C. 1989. “Armutlu Yarımadasında (batı pontidler) üst triyas konodontları”, MTA Dergisi, 109, 147-152, 1998.
- [147] Hedenas, L., “Flora of Maderian Pleurocarpous Mosses (Isobryales, Hypnobryales, Hookeriales), Bryophytorum Bibliotheca”, Band 44, Stuttgart: J. Cramer, 1992.
- [148] Schumacker, R., Vana, J., “Identification Keys to The Liverworts and Hornworts of Europe and Macaronesia (Distribution and Status), Second Edition”, Polonya: SORUS Publishing & Printing House, 2005.
- [149] Guerra, J., Cano, M.J., Cros, R.M., “Flora Brifitica Iberica Volumen 3, Pottiales: Pottiaceae, Encalyptales: Encalyptaceae, Murcia: Uniersidad de Murcia. Sociedad Espanola de Briyologia, 2006.

- [150] Brugues, M., Cros, R.M., Guerra, J., “Flora Briofitica Ibérica Volumen I, Sphagnales: Sphagnaceae, Andreaeales: Andreaeaceae, Polytrichales: Polytrichaceae, Tetraphidales: Tetraphidaceae, Buxbaumiales: Buxbaumiaceae, Diphyscales: Diphysciaceae. Murcia: Uniersidad de Murcia, Sociedad Espanola de Briyologia, 2007.
- [151] Casas, C., Brugues, M., Cros, M.R., Sergio, C., Infante, M., “Handbook of Liverworts and Hornworts of The Iberian Peninsula and The Balearic Islands. Spain: Institut D'estudis Catalans, 2009.
- [152] Greven, H.C., “Grimmia Hedw. (Grinniaceae, Musci) in Europe. Leiden: Backhuys Publishers, 1995.
- [153] Blom, H.H., “A Revision of the Schistidium apocarpum complex in Norway and Sweden, Bryophytorum Bibliotheca, Band 49. Stuttgart: J. Cramer, 1996.
- [154] Agnew, S., Vondracek, M., “A moss flora of Iraq”, Feddes Repertorium, 86, 341-489, 1975.
- [155] Kara, R., “Kuzey Amanos Dağları (Hatay-Dörtyol) Biryofit Florası ve Epifitik Biryofit Vejetasyonunun Araştırılması, Çukurova Üniversitesi Fen Bilimleri Enstitüsü”, Doktora Tezi, Adana, 2008.
- [156] Uygur, A., “Taşeli Platosu ve Ermenek Vadisi'nin (Antalya, Karaman, Mersin) Biryofit Florasının Araştırılması, Üniversitesi Fen Bilimleri Enstitüsü”, Doktora Tezi, Aksaray, 2021.
- [157] Karaburun, P., “Bolu-Yukarı Gerede Vadisi Briyofit Florası, Bülent Ecevit Üniversitesi Fen Bilimleri Enstitüsü”, Yüksek Lisans Tezi, Zonguldak, 2012.
- [158] Karakaş, M., “Göllüdağ Volkanı (Niğde) Briyofit Florası, Ömer Halisdemir Üniversitesi Fen Bilimleri Enstitüsü”, Yüksek Lisans Tezi, Niğde, 2017.
- [159] Cano M.J., Guerra 1. & Ros R.M., “*Pterygoneurum compactum* sp. nov. (Musci: Pottiaceae) from Spain”, Bryologist 97(4):412-415, 1994.

- [160] Oesau, A., "Pterygoneurum papillosum (Bryopsida: Pottiaceae), a New moss species from Germany. *Journal of Bryology*. 25:247-252, 2003.
- [161] Dierssen, K., "Distribution, ecological amplitude and pytosociological characterization of European bryophytes. *Bryophytorum Bibliotheca*. 56:1-289, 2001.
- [162] Gallego, M. T., "A taxonomic study of the genus Syntrichia Brid.(Pottiaceae, Musci) in the Mediterranean region and Macaronesia", *The Journal of the Hattori Botanical Laboratory*, 98, 47-122, 2005.
- [163] Ignatov, M. S., et al., "Coscinodon monchiquensis RD Porley, Ochyra & Ignatova (Grimmiaceae), a new species from the Algarve, southern Portugal", *Journal of Bryology*, 40 (2), 125-136, 2018.
- [164] Manuel, M. G., "Additions to the moss flora of Mexico", *Bryologist*, 77-79, 1972.
- [165] Frahm, J. P., "The taxonomic status of Bryum arachnoideum C. Mull. and B. lanatum (P. Beauv.) Brid", *Tropical bryology*, 53-56, 2002.
- [166] Kara, R., Serin, S., and Taşpinar, H., "Türkiye'de Tortula vlassovii (Laz.) Ros & Herrnst'nin yeniden keşfi üzerine notlar", 2020.
- [167] İnternet: Plant Stomata Encyclopedia "Stomata in the moss Physcomitrella patens"
<https://plantstomata.wordpress.com/>.
- [168] İnternet: "Karayosunlarının Hayat Döngüsü" <https://www.camfect.com/>.